

# Traité VLCC — Fondation Morphogénique du Temps et de la Lumière

---

*Édition Canonique – Version 1*

**Frédérick Vronsky**

Chercheur indépendant en cosmologie théorique

ORCID : <https://orcid.org/0009-0003-5719-9604>

Licence : Creative Commons BY-NC-SA 4.0 International

Toulouse - décembre 2025

« *L'énergie d'une masse n'est pas seulement contenue en elle-même, mais dans le dialogue qu'elle entretient avec le temps qui la traverse.* »

« *Et si le Temps était le point de singularité de la Masse ?* »

« *Le temps est la partition sur laquelle la conscience écrit sa symphonie.* »

— Vronsky Frédérick —

# AVANT PROPOS

## AVANT-PROPOS — Naître au temps, ouvrir un chemin

Ce traité n'est pas né d'un projet académique, ni d'un programme de recherche institué.

Il est né d'un mouvement plus ancien, plus intime : celui d'une curiosité tenace, plantée dans l'enfance et jamais déracinée. Une curiosité pour le ciel, pour le temps, pour cette énigme familiale qui nous traverse sans jamais se laisser saisir.

J'ai grandi avec cette impression persistante que quelque chose, dans notre compréhension de l'Univers, restait encore muet — comme une mécanique sans moteur, un récit sans souffle, une symphonie dont le thème principal manquait.

Le modèle présenté ici, le VLCC, n'est pas une vérité : c'est une proposition, une piste, un cadre possible.

Il ne cherche pas à détrôner les théories existantes, mais simplement à ouvrir un espace de réflexion, à offrir une manière nouvelle d'habiter les questions. Si ce travail venait un jour à être entièrement réfuté, j'en serais heureux malgré tout : il aurait au moins permis à certains d'interroger autrement la nature du temps, ou d'avancer d'un pas dans leur propre quête intellectuelle.

Je n'ai jamais cherché à bâtir une doctrine.

Je voulais simplement chercher avec d'autres.

## Le monde comme moteur, la pensée comme atelier

Beaucoup des idées qui composent ce modèle trouvent leur origine dans une forme d'analogie mécanique.

Je suis issu d'un milieu animé par la passion de la mécanique automobile, où l'on écoute un ralenti, où l'on observe comment un système vibre, s'étouffe, reprend son souffle, gagne en couple ou en rendement. Où l'on différencie la mécanique à deux temps de celle à quatre temps.

Ces images ne sont pas des métaphores gratuites : elles m'ont appris que toute dynamique est faite de tensions, de régimes, d'états stables et de points de rupture.

Qu'un système respire, hésite, glisse.

Qu'une structure n'existe jamais sans un flux.

Quand je regardais le cosmos, je ne pouvais m'empêcher de voir un moteur colossal : des zones de compression, des zones de détente, des chambres d'allumage, des inerties, des pertes de calories, des allures stables, des pignons de vitesses, des transmissions, des embrayages et des différentiels.

Et je me suis peu à peu demandé :

*Et si l'Univers lui-même était un organisme dynamique, un moteur temporel ?*

*Et si l'énergie, le carburant, était le temps lui-même ?*

*Et si sa gravité n'était pas un champ, mais une réaction interne du temps ?*

Le VLCC est né dans cet atelier-là.

### **Le cosmos et la vie : la même grammaire**

Une autre source d'inspiration, plus silencieuse mais tout aussi présente, vient de l'expérience humaine elle-même.

Plus j'avancais dans la construction du modèle, plus je voyais apparaître une analogie profonde entre la morphogénèse du temps et la trajectoire d'une vie.

- La singularité initiale ressemble à cette première cellule où tout commence.
- Les phases du Big Spume et du Big Glow rappellent l'embryon qui se forme.
- Le Big Flow ressemble à la croissance, à la maturité, à l'élan vital.
- Le Big Sleep, enfin, évoque le retour au repos, la dissolution des formes, le passage vers un autre état.

L'être humain vit, comme le cosmos, non dans un temps —mais dans une durée, façonnée par ce qu'il a été, ce qu'il est, ce qu'il espère.

Sa mémoire ( $t_1$ ) le nourrit,  
son présent ( $t_2$ ) le fait agir,  
son futur ( $t_1'$ ) lui permet de rêver, d'aller de l'avant.

Retirez l'un de ces trois termes, et la vie perd son architecture. Le cosmos également.

Ces résonances n'ont rien de scientifiques, mais elles me sont précieuses. Elles m'ont offert une manière d'approcher la théorie comme un geste humain, non comme un calcul abstrait.

### **Et puis il y a la lumière**

Je dois le reconnaître : une part de ce travail porte une dimension peut-être plus mystique. Depuis toujours, une phrase m'habite :

« *Au commencement la lumière fût.* »

Non pas au sens religieux, mais comme une intuition ontologique.

Si la lumière est ce qui révèle tout, peut-être est-elle aussi ce qui soutient tout. Peut-être n'est-elle qu'une expression du temps lui-même, devenu visible ?

De ce questionnement est née l'idée du photon à fréquence nulle ou « noir », du spectre bouclé, de la lumière gelée et active.

Et si le lecteur y voit une réminiscence du sacré, je n'y peux rien : elle en est une, mais une réminiscence féconde, qui ne dicte rien, qui n'impose rien, qui n'explique rien par magie — simplement un souffle initial.

Ici s'arrête les analogies et le mystérieux, afin de laisser place à la théorie pragmatique du VLCC.

# INTRODUCTION GÉNÉRALE

Le présent Traité expose un modèle spéculatif de cosmologie fondé non pas sur la géométrie, la matière ou l'énergie, mais sur la structure interne du temps lui-même.

Le *VLCC* — *Variable Lagrangian of Cosmic Chronotropy* — propose que le temps ne soit ni un paramètre, ni une simple coordonnée, ni un cadre neutre dans lequel la physique évoluerait, mais une entité morphogénique, dotée d'une dynamique, d'une architecture et d'une cohérence propres.

Cette idée radicale s'enracine dans une observation fondamentale : aucune théorie contemporaine, aussi puissante soit-elle, n'est parvenue à produire une définition ontologique du présent.

- La mécanique quantique traite le temps comme un paramètre externe.
- La relativité générale le dissout dans une métrique géométrique.
- La thermodynamique le confond avec l'irréversibilité.

Aucune approche n'explique pourquoi "quelque chose" comme un présent actif existe, ni comment il se maintient, ni comment il se structure.

Le VLCC part de ce manque, de ce « vide conceptuel », pour formuler une hypothèse plus audacieuse : le présent n'est pas donné, il est fabriqué.

La réalité ne se contente pas d'exister dans le temps ; elle produit le temps. Et cette production est contrainte, régulée, hiérarchisée par des lois internes qui ne ressemblent à aucune des lois fondatrices de la physique classique ou moderne.

## Une théorie ontologique du temps

Alors que les théories existantes se contentent de décrire ce qui se passe *dans* le temps, le VLCC s'attache à décrire la dynamique du temps lui-même, indépendamment de la matière, des champs ou de la géométrie.

La lumière — élément central mais non fondateur — apparaît comme une manifestation du temps, non comme une entité autonome.

Le présent  $t_2$ , selon le VLCC, n'est que la région morphogéniquement cohérente d'un temps tripartite constitué également d'un passé gelé  $t_1$  et d'un futur morphogénique  $t_1'$ .

Cette structure tripartite et tri-phasée n'est pas une abstraction symbolique ; elle décrit un mécanisme interne, semblable à une stratification dynamique dans laquelle la cohérence du temps circule, se tend, s'effondre, se reconstruit, fluctue.

Les concepts de cohérence  $\sigma(x)$ , de glissement  $\Delta t$ , et d'états lumineux actifs, spectraux ou gelés émergent alors comme autant de révélateurs de cette dynamique profonde.

Le VLCC n'est donc pas une théorie descriptive : c'est une théorie générative.

## **Une architecture entièrement nouvelle**

Le modèle ne se contente pas d'introduire une nouvelle variable ou un champ supplémentaire.

Il propose une architecture complète :

- un champ temporel  $\sigma(x)$ , mesurant la cohérence locale du temps,
- une tension interne  $\Delta t$ , traduisant les glissements morphogéniques,
- trois couches temporelles distinctes mais connectées,
- un système de lois régissant la cohérence, la transition, la continuité et la vitesse-limite temporelle.

Certaines de ces lois ressemblent à des principes de conservation, d'autres à des constantes structurelles, d'autres enfin à des contraintes topologiques du temps. Mais aucune ne se rattache à ce que la physique contemporaine nomme classiquement « lois de la nature ».

Il s'agit plutôt de lois morphogéniques, orientées vers la structure, la continuité, la stabilité et la fabrication du présent.

## **Un Traité en quatre mouvements**

Ce Traité se compose de quatres parties complémentaires et strictement séparés :

### **PARTIE I — Les fondements et l'architecture conceptuelle**

C'est ici que naît la structure : les couches temporelles, la cohérence, les états lumineux, les lois fondamentales.

Cette première partie pose les bases sans recourir aux équations complètes.  
Elle expose le cadre mental dans lequel le VLCC doit être compris.

## **PARTIE II — Le formalisme mathématique**

La seconde partie du traité traitée relate l'histoire des Lagrangiens du VLCC, l'action, les équations d'évolution de  $\sigma(x)$ , les contraintes de continuité LCS, la reformulation du problème gravitationnel et les implications cosmologiques profondes. Cette partie introduit de nouvelles lois, principe et l'équation cadre ouverte ; elle construit le squelette mathématique du modèle.

## **PARTIE III — Les implications, limites et perspectives**

La Partie III approfondit la dynamique interne du champ temporel du VLCC à travers l'introduction formelle du triplet morphogénique et du champ T tri-phased. Elle propose des solutions explicites et des démonstrations structurantes y sont présentées, reliant la cohérence  $\sigma(x)$  aux phénomènes observables.

Cette partie consolide l'interprétation morphogénique des structures galactiques et des freeze-sphères. Elle s'achève par l'intronisation canonique et la formulation complète du Lagrangien VLCC v9, pivot mathématique du modèle.

## **PARTIE IV — Architecture Formelle, Validations Observationnelles et Horizons**

### **Conceptuels du Modèle VLCC**

Cette dernière partie rassemble et formalise l'architecture complète du modèle VLCC, en articulant son formalisme canonique, ses extensions mathématiques et ses comparaisons théoriques.

Elle explore les signatures observationnelles potentielles du champ temporel et confronte le VLCC aux données cosmologiques contemporaines. Des modèles cosmologiques simplifiés et des analyses différentielles y sont développés pour tester la cohérence interne du cadre. Enfin, elle ouvre les horizons conceptuels du VLCC, de la morphogénèse cosmique aux implications sur la conscience et le destin du temps.

## **Une vigilance conceptuelle : ce que le VLCC n'est pas**

Parce que le modèle propose quelque chose de radicalement nouveau, il est essentiel d'insister dès l'ouverture sur ce qu'il n'est pas.

Il n'est :

- ni une extension de la relativité générale,
- ni une théorie scalaire,
- ni une théorie photonique,
- ni une topologie temporelle expérimentale,
- ni un dérivé thermodynamique,
- ni une construction philosophique ou métaphorique.

Le VLCC ne s'inscrit dans aucune des catégories existantes.  
Il constitue une tentative d'articuler une vision ontologique du temps comme structure primaire, dont la lumière, la gravité, la matière et les phénomènes cosmologiques dérivent.

## Ambition du Traité

L'ambition de cet ouvrage est double :

- 1. Proposer une théorie cohérente, structurée, mathématiquement articulée du temps.
- Pas simplement une intuition, mais un formalisme complet, doté d'un Lagrangien, d'une action, de lois, de principe, d'équation cadre ouverte, des contraintes et d'une cohérence interne.
- 2. Ouvrir la possibilité d'une cosmologie fondée sur la morphogénèse temporelle.
- Une cosmologie où l'espace n'émerge pas d'un Big Bang géométrique, mais d'une transition cohérente du temps primordial, dans ses différentes couches.

## Esprit de lecture

Ce Traité doit être abordé comme une construction graduelle.

- La Partie 1 bâtit le langage.
- La Partie 2 établit le squelette mathématique.
- La Partie 3 introduit le Lagrangien v<sup>9</sup>
- La partie 4 formalise le modèle et ouvre les horizons

Aucune partie ne peut être comprise sans les autres.

Le VLCC n'est pas une théorie "à équations", ni une théorie "à concepts" : il est une théorie à logique interne, où chaque concept entraîne un autre concept, où chaque loi stabilise une autre loi, où chaque transition prépare une autre transition.

# Table des matières – partie I — Les fondements et l'architecture conceptuelle

<b>Chapitre 1</b> — L'oubli du temps comme fondement de la cosmologie moderne .....	18
<b>Chapitre 2</b> — Le Temps comme réalité physique (Ontologie temporelle du VLCC) .....	23
<b>Chapitre 3</b> — Lumière, photon noir et morphogénèse lumineuse.....	28
<b>Chapitre 4</b> — Le Big Spume : la naissance du temps différentiel.....	35
<b>Chapitre 5</b> — Le Big Glow : l'émergence de l'espace-temps.....	39
<b>Chapitre 6</b> — Le Big Flow : stabilisation temporelle et apparition des structures cosmologiques .....	45
<b>Chapitre 7</b> — Le Big Sleep : repos morphogénique et dissolution des gradients.....	49
<b>Chapitre 8</b> — Freeze Spheres et mémoires fossiles du temps.....	52
<b>Chapitre 9</b> — Le cosmos évolutif : dynamique interne du temps et sélection morphogénique.....	55
<b>Chapitre 10</b> — La conscience cosmique : cohérence, perception et morphodynamique.....	59
<b>Chapitre 11</b> — Architecture du champ T tripartite : PNMD, LCS et structuration profonde du temps.....	63
<b>Chapitre 12</b> — Les États Internes du Temps : structure, régimes et transitions morphogéniques.....	69
<b>Chapitre 13</b> — Les distorsions du présent : fluctuations, ruptures et anomalies temporelles.....	73
<b>Chapitre 14</b> — Trous de temps, effondrements temporels et singularités morphogéniques.....	76
<b>Chapitre 15</b> — Dynamique globale du champ T : architecture, résonances et stabilité cosmique.....	79
<b>Chapitre 16</b> — Le temps comme matrice de la gravité : fondements de la gravité morphogénique.....	83
<b>Chapitre 17</b> — Lumière active, lumière spectrale et lumière figée : une hiérarchie temporelle.....	88
<b>Chapitre 18</b> — Fluctuations quantiques du temps : spectre fermé, états transitoires et émergence des particules.....	91
<b>Chapitre 19</b> — Axions, photons à fréquence nulle et états exotiques du temps .....	95
<b>Chapitre 20</b> — Le champ T comme espace de computation cosmique : information, mémoire et réécriture du réel .....	98
<b>Chapitre 21</b> — Le VLCC et l'émergence de la complexité : des cycles lumineux aux structures cosmologiques.....	101
<b>Conclusion ontologique</b> — La fabrication du présent comme fondement cosmologique.....	106

## Table des matières

### partie II — Cadre mathématique général : Équations structurantes du VLCC

<b>Chapitre 22</b> — Fondements variationnels et architecture formelle du VLCC .....	110
<b>Chapitre 23</b> — Structure du champ $\sigma(x)$ et cohérence morphogénique .....	118
<b>Chapitre 24</b> — La triade temporelle : structure, transitions et articulation morphogénique .....	125
<b>Chapitre 25</b> — Historique des Lagrangiens du VLCC : évolution formelle et structuration canonique .....	131
<b>Chapitre 26</b> — Le Lagrangien anté-canonical V8 : formulation structurale et fondements variationnels .....	140
<b>Chapitre 27</b> — Contraintes variationnelles des lois fondamentales et Équation-Cadre Ouverte du VLCC .....	147
<b>Chapitre 28</b> — Équations d'Euler-Lagrange du VLCC : dérivation canonique et cohérence structurelle .....	160
<b>Chapitre 29</b> — Intégration des lois fondamentales dans l'action morphogénique .....	171
<b>Chapitre 30</b> — Équations morphogéniques unifiées et structure cohérente interne du modèle VLCC (cadre V8) .....	179
<b>Chapitre 31</b> — Cosmologie morphogénique : cadre FLRW et cohérence temporelle .....	185
<b>Chapitre 32</b> — Conclusion générale de la Partie II : synthèse variationnelle et horizon cosmologique .....	192

# **Table des matières – partie III — Dynamique Morphogénique du Temps et Structures Cosmologique**

<b>Chapitre 33 — Intronisation du Triplet Morphogénique et du Champ Tri-Phasé</b> .....	200
<b>Chapitre 34 — Le Champ Tri-Phasé, les 9 Gradients Morphogéniques et la Dynamique du Glissement</b> .....	217
<b>Chapitre 35 — Dynamique interne du temps : régimes, transitions et émergence morphogénique</b> .....	225
<b>Chapitre 36 — Dynamiques combinées du Triplet et émergence des régimes morphogéniques</b> .....	232
<b>Chapitre 37 — Glissement, signatures dynamiques et conditions de cohérence</b> .....	238
<b>Chapitre 38 — Constantes morphogéniques et articulation des nouveaux concepts avec les lois fondamentales</b> .....	246
<b>Chapitre 39 — Solutions analytiques <math>\sigma(r)</math> et zones galactiques</b> .....	252
<b>Chapitre 40 — Freeze Spheres, régimes externes et impossibilité des trous de ver</b> .....	261
<b>Chapitre 41 — Cas d'étude : Voie Lactée (Gaia DR3)</b> .....	279
<b>Chapitre 42 — Cas d'étude : Galaxies naines</b> .....	289
<b>Chapitre 43 — Synthèse morphogénique : individualité, dominance et attracteurs galactiques</b> .....	295
<b>Chapitre 44 — Prédictions fondamentales du VLCC</b> .....	302
<b>Chapitre 45 — Domaines expérimentaux du VLCC</b> .....	313
<b>Chapitre 46 — Cohérence, unification et prédictions finales du VLCC</b> .....	326
<b>Chapitre 47 — Intronisation canonique du Lagrangien V.9</b> .....	332
<b>Chapitre 48 — Formulation complète du Lagrangien canonique V.9 et clôture mathématique de la Partie III</b> .....	336
<b>CONCLUSION GÉNÉRALE</b> .....	343

# **Table des matières – partie IV – Architecture Formelle, Validations Observationnelles et Horizons Conceptuels du Modèle VLCC**

<b>Annexe A — Master mathématique du modèle VLCC .....</b>	347
<b>Annexe B — Mécanismes locaux d'ingénierie temporelle: Modulation, redistribution et stabilisation morphogéniques (et esquisses mathématiques) .....</b>	354
<b>Annexe C — Topologie implicite du VLCC : continuité, régimes et transitions morphologiques .....</b>	362
<b>Annexe D — Cosmologie morphogénique : le « modèle-jouet » VLCC .....</b>	366
<b>Annexe E — Freeze Sphere centrale vs Trou Noir : comprendre la différence fondamentale .....</b>	371
<b>Annexe F — Lecture morphogénique du réel : Comparaisons observationnelles multi-instruments JWST, Euclid, LSST, SKA, LOFAR, ELT, LISA, BISOU, PIXIE+ .....</b>	378
<b>Annexe G — Comparaisons observationnelles et théoriques : position du VLCC dans le paysage contemporain .....</b>	386
<b>Annexe H — Validation et exploration du modèle VLCC par intelligence artificielle scientifique .....</b>	392
<b>Annexe I — Hypothèses ouvertes sur la genèse et la persistance du régime lumineux .....</b>	396
<b>Annexe J — Univers morphogénique, mémoire du temps et limites de la reconstitution cosmique .....</b>	399
<b>Annexe K — Horizons spéculatifs : conscience, morphogénèse et destin du temps .....</b>	403
<b>LEXIQUE MATHÉMATIQUE ET CONCEPTUEL DU VLCC .....</b>	406
<b>BIBLIOGRAPHIE .....</b>	412
<b>REMERCIEMENTS .....</b>	419

# Architecture conceptuelle du VLCC

Le VLCC repose sur une idée simple, mais dont les implications reconfigurent l'ensemble de la cosmologie :

le réel ne se déroule pas dans le temps ; il naît du temps.

Non pas de son écoulement supposé, mais de sa capacité interne à se structurer, à se tendre, à se fragmenter et à se stabiliser.

Derrière les phénomènes visibles, derrière l'ordre apparent des formes physiques, se tient une architecture discrète : la dynamique d'un champ temporel dont la cohérence décide de tout ce qui peut exister.

Cette section propose une vue d'ensemble, une carte des forces conceptuelles qui composent le modèle.

Elle n'expose pas la théorie dans sa totalité : elle en trace les axes, les seuils, les respirations, afin de préparer le lecteur à la traversée qui suit.

## 1. Le temps comme réalité génératrice

Dans le VLCC, le temps n'est ni un axe, ni un cadre, ni une métrique.

Il n'est pas non plus une simple variable d'évolution.

Il est la substance première, le tissu d'où émergent les phénomènes, la cohésion, la lumière, l'espace lui-même.

Ainsi conçu, le temps ne se contente pas de mesurer le réel :

- il le façonne,
- il l'autorise,
- il l'inhibe parfois,
- et toujours, il l'oriente.

Son essence n'est pas l'écoulement : c'est la cohérence – la capacité à maintenir un présent actif – et la tension – la manière dont ce présent hésite, glisse ou se déforme.

Cette inversion ontologique est le premier pilier de la cosmologie du VLCC.

## 2. Les trois paramètres du champ temporel

Le champ temporel n'est pas homogène. Il possède trois grandeurs fondamentales dont les variations dessinent la carte du cosmos :

### — La densité temporelle $\tau(x,t)$

Elle décrit le degré de contraction ou de dilatation interne du temps.

Elle donne à chaque région son "poids temporel", sa capacité à accélérer ou ralentir les transformations.

Cette description macroscopique sera précisée plus loin dans la dynamique interne du triplet  $(t_1, t_2, t_1')$ , qui encode la même structure mais à un niveau variationnel plus fin.

### — La cohérence $\sigma(x)$

Elle mesure la force qui maintient le présent en existence.

Lorsque cette cohérence est forte, les phénomènes se stabilisent et la lumière circule.

Lorsqu'elle diminue, le présent se fragmente, se rétracte ou s'efface.

### — La tension $\Delta t$

Elle exprime les glissements internes du temps entre deux configurations successives.

Ce n'est pas une énergie, ni une dérivée ordinaire :

c'est la dissymétrie intime du temps lorsqu'il se fabrique lui-même. Elle signe les transitions, les basculements, les zones critiques où le présent se renverse.

Ces trois grandeurs composent l'alphabet du VLCC. Leur interaction engendre tout ce qui, par la suite, prend forme.

## 3. Les trois couches du temps : une stratification vivante

Le temps ne se déploie pas en ligne droite. Il se stratifie en trois régimes, qui sont autant d'états internes :

### $t_1$ — le passé stabilisé

Zone figée où la cohérence est maximale ;  
aucune fabrication du présent n'y est active ;  
ce qui y entre s'y dépose définitivement.

### $t_2$ — le présent actif

Seule région où les phénomènes existent vraiment.

C'est l'atelier du réel, la zone où  $\sigma(x)$  dépasse son seuil, où la lumière se propage, où les structures se maintiennent.

### $t_1'$ — le futur morphogénique

Région encore ouverte, où la cohérence est insuffisante pour former un présent ; le temps y porte des potentialités, non des phénomènes.

Le flux temporel n'est donc pas une traversée, mais une migration de cohérence allant de  $t_1'$  vers  $t_2$ , puis de  $t_2$  vers  $t_1$ .

C'est ce mouvement interne, et non l'avancée d'un point sur une ligne abstraite, qui crée l'expérience du devenir.

## 4. La lumière : révélatrice du temps

Dans le VLCC, la lumière n'est pas une entité autonome.

Elle est la voix du temps, le témoin des régimes internes du champ.

- Lorsque la cohérence est forte, elle circule : c'est la lumière active.
- Lorsque la cohérence se dégrade, elle oscille : c'est la lumière spectrale.
- Lorsque le temps s'effondre, elle se fige : c'est la lumière gelée.
- Lorsque la cohérence tombe sous son seuil fondateur, elle s'annule en propagation : c'est le photon à fréquence nulle aussi qualifié de « noir ».

Ainsi, la lumière est distribuée partout dans différents états et gradients.

De cette manière, elle nous révèle l'état du temps.

Le spectre électromagnétique n'est plus une échelle infinie, mais une boucle fermée dont les deux extrémités rejoignent l'état fondamental du photon noir.

La lumière devient une morphologie temporelle, et non un phénomène électromagnétique isolé.

## 5. Les grandes ères de la morphogenèse temporelle

Le cosmos du VLCC naît, non d'une explosion, mais d'une déstabilisation du temps. Quatre grandes phases scandent son histoire :

### — Le Big Spume

Effondrement initial d'un pré-temps saturé.

Apparition de la granularité temporelle et des proto-freeze-sphères.

### — Le Big Glow

Première stabilisation :

la cohérence s'élève,  
la lumière active apparaît,  
l'espace émerge comme projection du temps stabilisé.

### — Le Big Flow

Âge de maturité.

Les structures se forment autour des zones gelées.

La lumière régule la cohérence et consolide la morphogenèse du cosmos.

### — Le Big Sleep

Uniformisation progressive :

le temps réduit ses contrastes internes, les distinctions entre  $t_1'$ ,  $t_2$  et  $t_1$  s'atténuent,  
le cosmos s'approche d'un état de repos temporel.

Cette séquence n'est pas un récit mythologique :

c'est la dynamique des trois paramètres du temps poussée à ses conséquences ultimes.

## 6. L'architecture générale du VLCC

Le modèle VLCC se présente comme un édifice cohérent, hiérarchisé, dans lequel chaque concept soutient les autres et n'acquiert de sens qu'au sein de l'architecture globale :

- **Le temps constitue la substance première du réel**, et non un paramètre ou un cadre abstrait.
- **Un champ temporel unique, morphogénique et tri-phasé**, régit l'ensemble des dynamiques cosmologiques, structuré selon trois régimes internes articulés.

- **Ses trois grandeurs fondamentales** — densité temporelle  $\tau(x,t)$ , cohérence  $\sigma(x)$  et tension morphogénique  $\Delta t$  — déterminent les régimes possibles du temps et conditionnent l'existence du présent.
- **Ces régimes se stratifient en trois couches temporelles** —  $t_1$  (passé stabilisé),  $t_2$  (présent actif) et  $t_1'$  (futur morphogénique) — dont l'articulation interne gouverne la directionnalité et la stabilité du réel.
- **La lumière apparaît comme un révélateur du champ temporel**, manifestant les états de cohérence du présent sous des formes actives, spectrales ou figées.
- **La cosmogenèse résulte de l'évolution morphogénique graduelle de  $\sigma(x)$  et  $\Delta t$** , et non d'une expansion géométrique primitive.
- **L'espace n'émerge que comme un effet dérivé d'une cohérence temporelle suffisante**, et non comme une entité fondatrice.
- **La matière, la gravité et les structures cosmologiques n'existent qu'au sein du régime  $t_2$** , où le présent est stabilisé et opérant.
- **Les freeze-sphères constituent les noyaux de stabilisation du champ temporel**, jouant un rôle central dans l'organisation des structures galactiques et cosmologiques.
- **Le flux du temps ne correspond pas à un écoulement**, mais à la migration ordonnée de la cohérence  $\sigma(x)$  au sein du champ temporel triphasé.
- **L'ensemble de cette architecture est régulé par des lois morphogéniques, des principes structurants et une Équation-Cadre Ouverte**, qui expriment les contraintes internes du champ temporel.
- **Le Lagrangien canonique VLCC v9 constitue la formulation variationnelle complète de cette architecture**, assurant sa cohérence mathématique, sa stabilité conceptuelle et son articulation avec les phénomènes observables.

Le VLCC n'est donc pas une théorie du monde :

c'est une théorie de la fabrication du présent, et, par là même, une théorie de la fabrication du réel.

# PARTIE I — Les fondements et l'architecture conceptuelle

## Chapitre 1 — L'oubli du temps comme fondement de la cosmologie moderne

### 1.1 — Les limites conceptuelles de la cosmologie moderne

Depuis plusieurs décennies, la cosmologie moderne repose sur une architecture théorique qui juxtapose deux cadres conceptuels profondément divergents.

La relativité générale propose une vision géométrique du cosmos, dans laquelle la dynamique du réel résulte des courbures de l'espace-temps. Dans ce formalisme, le temps n'est ni une entité autonome ni une variable possédant une dynamique propre : il est entièrement absorbé dans la métrique, dépendant des masses, des énergies et des géodésiques qui structurent l'univers.

À l'inverse, la mécanique quantique traite le temps comme un paramètre externe, uniforme, dépourvu de tout rôle causal interne et insensible aux fluctuations qui affectent pourtant l'ensemble des observables physiques. Cette opposition ne constitue pas seulement une tension mathématique, mais révèle une incompatibilité ontologique fondamentale.

À mesure que les observations deviennent plus précises, cette incompatibilité se manifeste comme une fracture épistémologique. La relativité générale est incapable de rendre compte des phénomènes dominés par les fluctuations quantiques, tandis que la mécanique quantique ne peut intégrer les déformations géométriques du temps prédictes par la gravitation.

Les tentatives de conciliation – gravitation quantique à boucles, théories des cordes, modèles d'émergence de l'espace-temps – montrent toutes que le temps demeure le point le plus obscur : il y apparaît tantôt comme un résidu géométrique, tantôt comme une variable externe, sans jamais être traité comme un phénomène physique essentiel.

Cette absence d'un concept unifié du temps compromet la possibilité même d'une cosmologie cohérente.

Or, l'univers observable témoigne d'une continuité, d'une direction et d'une stabilité temporelles qui suggèrent une dynamique interne du temps. Aucun modèle contemporain ne parvient à expliquer l'origine de cette cohérence.

Pourquoi existons-nous dans un présent stable ? Pourquoi le flux temporel ne se morcelle-t-il pas ? Pourquoi les phénomènes lumineux, gravitationnels et morphogéniques semblent-ils dépendre d'une structure temporelle sous-jacente ? Les théories actuelles ne répondent à aucune de ces questions.

Elles décrivent les phénomènes, mais ignorent la substance du temps qui les porte. Cette lacune constitue la première limite profonde de la cosmologie moderne, signalant la nécessité d'une révision conceptuelle radicale.

## 1.2 — La fragmentation des modèles contemporains

Le modèle cosmologique standard, largement couronné de succès pour organiser les observations, repose en réalité sur une superposition de modules théoriques disparates.

Chacun d'eux répond à une anomalie, mais aucun ne s'inscrit dans une ontologie unifiée. La matière noire est introduite pour expliquer la cohésion des galaxies, mais demeure invisible à toutes les méthodes de détection directe. L'énergie sombre apparaît pour justifier l'accélération cosmique, mais sa nature reste indéterminée. L'inflation, ajoutée afin de résoudre les difficultés initiales du Big Bang, nécessite un champ hypothétique et des paramètres ajustés sans justification fondamentale.

Ces éléments s'emboîtent comme des pièces forcées dans un puzzle qui tient davantage de l'ingénierie empirique que de la construction conceptuelle.

Plus les données se raffinent, plus les limites de cet assemblage deviennent apparentes. La constante de Hubble présente des valeurs incompatibles selon les méthodes de mesure, révélant un décalage que les modèles actuels ne parviennent pas à absorber. Les anisotropies à grande échelle ne correspondent pas aux symétries attendues, et la croissance des structures semble dévier des prédictions issues de la relativité générale.

Ces tensions, loin d'être anecdotiques, indiquent que le cadre théorique actuel repose sur des hypothèses intermédiaires plutôt que sur des lois fondamentales.

Le modèle standard décrit l'univers, mais ne l'explique pas.

Il ne dit rien de la nature du temps, rien de la cohérence cosmique, rien de l'origine des structures profondes qui traversent l'univers observable. Il ne répond pas à la question essentielle : pourquoi l'univers possède-t-il une architecture temporelle stable ? Cette fragmentation théorique révèle la nécessité d'un modèle qui unifie non pas les équations, mais les fondations mêmes de la réalité.

Une cosmologie cohérente doit reposer sur un principe génératif fondamental : une dynamique interne du temps.

### **1.3 — Le problème fondamental du temps**

Parmi toutes les questions inexplorées de la physique contemporaine, celle du temps est la plus cruciale.

La mécanique quantique utilise le temps comme un paramètre d'évolution, sans lui attribuer de rôle causal. La relativité générale l'assimile à une coordonnée géométrique dépendante de la métrique. La thermodynamique l'associe à l'irréversibilité, sans décrire son existence propre.

Aucun de ces cadres théoriques ne propose une ontologie du présent. Aucun n'explique pourquoi le temps s'écoule, pourquoi il se stabilise, ni pourquoi il ne se confond pas avec le passé ou le futur.

Cette absence est d'autant plus frappante que l'univers n'est pas réversible.

Les phénomènes macroscopiques suivent une direction temporelle claire et irréversible, alors que les lois fondamentales demeurent globalement symétriques. Ce paradoxe révèle un manque structurel dans nos théories. Si les lois sont réversibles mais que le cosmos ne l'est pas, alors la dynamique du temps ne peut être un simple artefact des équations : elle doit constituer une propriété physique autonome.

Le VLCC propose de surmonter cette lacune en considérant le temps comme une entité dotée d'une densité, d'une tension et d'une cohérence interne.

Il ne s'agit plus de se demander ce qui se passe dans le temps, mais de comprendre comment le temps lui-même se structure, se maintient et se transforme. Le présent devient alors une région physique du champ temporel, régulée par des lois internes plutôt qu'imposée par des conventions géométriques.

Ainsi, la question fondamentale de la cosmologie change de nature : elle ne porte plus sur les phénomènes dans l'univers, mais sur la fabrication du temps qui rend ces phénomènes possibles.

### **1.4 — Pourquoi reconstruire la physique depuis le temps**

Repenser la physique depuis le temps implique un renversement conceptuel d'une portée considérable.

Les théories classiques ont toujours pris l'espace comme cadre primaire : une scène sur laquelle les phénomènes se déroulent, une géométrie préexistante qui accueille la matière, la lumière et les interactions fondamentales.

Dans ce schéma, le temps n'est qu'un paramètre secondaire, un simple axe supplémentaire, dépourvu d'épaisseur ontologique. Le VLCC renverse cette hiérarchie. Il avance que le temps n'est pas seulement un arrière-plan, mais la substance même à partir de laquelle l'espace émerge. Le réel ne se déploie pas dans un espace fixe : il se structure à partir d'un champ temporel possédant une densité, une tension et une dynamique interne.

Ce renversement éclaire un problème central : si l'espace était l'élément fondamental, il serait incompréhensible que l'Univers possède une cohérence morphogénique aussi stable.

La gravité, la lumière, la direction temporelle, la cohésion des structures galactiques – tous ces phénomènes semblent dépendre d'un principe sous-jacent, invisible dans les théories traditionnelles. Le VLCC propose que ce principe est la cohérence temporelle : une capacité du temps à se maintenir, à se stabiliser, à se réorganiser. L'espace serait alors un effet dérivé, un mode particulier d'équilibre du champ temporel.

Dans cette perspective, la lumière cesse d'être une entité fondamentale. Elle devient la signature la plus fine de la dynamique interne du temps. Là où la cohérence  $\sigma(x)$  augmente, la lumière circule sans entrave. Là où elle diminue, la lumière se fige, se spectralise ou se déphase.

La lumière n'est donc plus une particule ou une onde indépendante : elle est une manifestation de l'état du temps lui-même. Cette idée permet de relier des phénomènes autrefois disjoints – résonances lumineuses, anomalies galactiques, stabilité des halos, variations locales de propagation – en un cadre conceptuel unifié.

Les glissements morphogéniques  $\Delta t$  prennent alors un sens nouveau. Ils ne décrivent plus de simples variations géométriques ou des perturbations métriques, mais des transitions internes du temps. Ces glissements rendent compte des états lumineux gelés, liquéfiés ou spectraux, ainsi que des zones de transition qui structurent le cosmos. La cohésion galactique, qui dans les modèles standard nécessite une masse invisible, trouve ici une interprétation temporelle : la stabilité des bras spiraux résulte de gradients de cohérence et non d'une matière noire hypothétique.

Reconstruire la physique depuis le temps ouvre ainsi un horizon radical : celui d'un univers où tout phénomène est l'expression d'un état temporel, et où les structures naissent de la manière dont le présent se maintient et se déforme.

Cette vision, loin d'être une spéulation, constitue le socle fondateur du VLCC. Elle permet d'interpréter le cosmos non comme une scène géométrique, mais comme un système de cohérence temporelle en constante métamorphose.

## 1.5 — Le VLCC comme réponse à la crise conceptuelle

Le VLCC apparaît comme une réponse directe à la crise conceptuelle de la cosmologie moderne.

Il ne s'agit pas d'ajouter un champ supplémentaire ou de corriger une équation, mais de reconstruire entièrement la structure ontologique du réel. En traitant le temps comme un fluide morphogénique doté d'une densité, d'une tension et d'une cohérence interne, le modèle propose une nouvelle manière de concevoir l'univers : non pas comme un espace contenant des objets, mais comme une architecture générée par les états internes du temps.

Dans ce cadre, le présent n'est plus un point mathématique ni une illusion perceptive : il devient une région physique du champ temporel, stabilisée par la cohérence  $\sigma(x)$ .

La lumière, loin d'être une entité autonome, devient l'expression locale de cette cohérence. Elle circule, se fige ou se déphase selon les propriétés temporelles du milieu. La gravité, quant à elle, n'est plus la courbure d'une géométrie mais une réorganisation interne du temps : une inclination du présent vers les régions de haute cohérence. Cette interprétation permet de comprendre pourquoi les phénomènes gravitationnels et lumineux semblent intimement liés.

Le VLCC ne remplace pas la relativité générale : il la dépasse en lui offrant un socle ontologique.

Dans ce modèle, la relativité devient une approximation géométrique d'un phénomène temporel plus profond. De même, la mécanique quantique n'est pas corrigée mais recontextualisée : ses lois deviennent des manifestations d'un temps cohérent à échelle microscopique, dont les fluctuations révèlent des limites de cohérence locale. L'unification entre les deux cadres ne se fait pas par une équation commune, mais par une ontologie commune : le temps comme substance première.

En offrant cette fondation, le VLCC répond à des questions que les théories existantes laissaient en suspens : pourquoi un présent existe-t-il ? Comment la cohérence cosmique se maintient-elle ? Pourquoi l'univers ne s'effondre-t-il pas dans ses propres instabilités temporelles ? Comment la lumière peut-elle avoir une vitesse-limite stable ? Ces interrogations, impossibles à résoudre dans un cadre où le temps est secondaire, trouvent ici une réponse naturelle.

Ce chapitre constitue ainsi l'ouverture d'un nouveau paradigme cosmologique.

Le VLCC ne propose pas seulement un modèle : il propose une nouvelle manière de concevoir le réel. En plaçant le temps au cœur de la cosmologie, il inaugure une structure conceptuelle qui sera approfondie dans les chapitres suivants (puis structurée progressivement jusqu'au Chapitre 6), où la dynamique interne du temps, ses couches, sa cohérence et ses transitions constitueront la véritable matière du cosmos.

## Chapitre 2 — Le Temps comme réalité physique (Ontologie temporelle du VLCC)

### 2.1 — Le temps comme entité physique et non comme paramètre

Dans le VLCC, traiter le temps comme un simple paramètre revient à réduire l'une des composantes fondamentales de la réalité à un rôle instrumentaire qui ne rend pas compte de ses effets physiques observables.

Les approches classiques s'appuient sur un temps abstrait, homogène et sans dynamique propre.

Un tel cadre permet de décrire l'évolution des états mais ne fournit aucun mécanisme expliquant pourquoi l'univers présente une continuité, une directionnalité et une organisation interne qui ne peuvent être dérivées d'un simple repère de mesure.

Le VLCC adopte une position inverse : le temps y est une entité physique dotée d'une structure locale, d'une densité et d'une dynamique interne mesurable. Dans ce cadre, le temps n'est plus un décor neutre ; il constitue un champ actif dont dépendent l'émergence, la régulation et la transformation des phénomènes.

Ce renversement conceptuel implique que les variations temporelles deviennent des phénomènes physiques à part entière.

Une contraction temporelle ou une extension n'expriment pas un changement de référentiel, mais un état distinct du champ temporel. De telles variations modulent la propagation lumineuse, l'apparition des régimes de stabilité, ainsi que la capacité du réel à maintenir des structures cohérentes.

Les comportements différenciés observés à grande échelle — variations de luminosité, anomalies dynamiques, instabilités morphogéniques — résultent alors de configurations spécifiques du champ temporel. Cette approche rend possible une unification entre phénomènes jusque-là traités séparément : dynamiques lumineuses, signatures gravitationnelles et transitions morphogéniques.

Dans cette perspective, le temps cesse d'être une variable secondaire. Il devient la substance première dont dérivent l'espace, les interactions et les organisations observables. Placer le temps avant l'espace conduit à une reformulation profonde de la physique : les phénomènes ne résultent plus d'un substrat géométrique préétabli, mais d'un régime particulier du champ temporel.

Le VLCC fait de cette prémissse l'un des fondements de son ontologie, établissant que toute dynamique est la manifestation d'un état interne du temps.

## 2.2 — Le champ temporel $\tau(x,t)$ : densité, tension et cohérence

Le modèle du VLCC décrit le temps comme un champ physique  $\tau(x,t)$  dont la densité locale conditionne la manière dont les phénomènes peuvent se déployer.

Cette densité n'est pas uniforme : elle varie selon les régions du cosmos et influence directement la dynamique interne du champ temporel. À cette densité s'ajoutent deux paramètres essentiels : la tension morphogénique  $\Delta t$  et la cohérence  $\sigma(x)$ .

La première quantifie les écarts internes entre régimes temporels voisins ; la seconde mesure la capacité d'une région à soutenir un présent stable. Ensemble, ces trois grandeurs définissent l'architecture dynamique du temps.

La densité  $\tau$  peut être interprétée comme la quantité de substance temporelle présente dans une région donnée. Une densité élevée correspond à un régime contracté où les transformations s'effectuent plus lentement, tandis qu'une densité faible conduit à un régime dilaté où les évolutions peuvent s'accélérer.

La tension  $\Delta t$  rend compte des glissements internes du champ temporel : zones où le présent se déforme, se fragmente ou se réorganise. Ces glissements constituent des propriétés fondamentales du champ, expliquant l'apparition de phénomènes tels que la lumière figée, les zones instables ou les transitions spectrales.

La cohérence  $\sigma(x)$  occupe un rôle déterminant dans l'organisation du réel. Elle exprime la capacité du champ temporel à maintenir un présent uniifié. Lorsque la cohérence chute, le présent devient instable : il se dédouble, se fragmente ou cesse de soutenir une dynamique continue.

Dans les régions où  $\sigma(x)$  atteint son seuil critique, apparaissent des entités comme les freeze-sphères centrales, où le temps se fige.

À l'inverse, lorsque  $\sigma(x)$  augmente, la lumière retrouve sa propagation continue et les organisations morphogéniques se stabilisent. Le triptyque  $\tau$ ,  $\Delta t$  et  $\sigma$  offre ainsi un cadre précis pour décrire les régimes temporels et comprendre comment les variations internes du temps façonnent la structure cosmique.

**A noter :** Les paramètres  $\tau$ ,  $\sigma$  et  $\Delta t$  sont introduits ici dans leur forme ontologique minimale ; leur structuration canonique complète, opératoire et projective ne sera établie qu'en Partie III

## 2.3 — La tripartition temporelle : $t_1$ , $t_2$ , $t_1'$

La tripartition temporelle introduite par le VLCC constitue une distinction structurale entre trois régimes du champ temporel.

Elle ne correspond ni à des catégories psychologiques ni à une représentation subjective du temps, mais à trois états physiques distincts du champ  $\tau(x,t)$ , définis par leur degré de cohérence interne et leur dynamique morphogénique.

-  $t_1$  désigne la région figée du temps : un domaine où la cohérence a atteint un plateau stable et où les transformations cessent.

-  $t_2$  représente la zone active du présent, caractérisée par une cohérence suffisamment élevée pour permettre l'organisation, la stabilisation et la propagation des phénomènes.

-  $t_1'$  désigne enfin la région instable où le temps n'a pas encore atteint sa cohérence définitive ; elle correspond à un régime pré-stabilisé dans lequel les potentialités morphogéniques demeurent ouvertes.

Cette stratification reflète que la dynamique du réel ne dépend pas d'une progression linéaire du temps, mais du transfert continu de cohérence entre ces régimes.

Le présent  $t_2$  émerge d'un équilibre entre  $t_1$ , qui conserve les formes stabilisées, et  $t_1'$ , qui fournit les configurations encore indéterminées. Cette articulation interne confère au temps sa directionnalité :  $t_2$  se nourrit de la cohérence qui migre progressivement de  $t_1'$  vers  $t_1$ , produisant un flux orienté et irréversible. Le présent devient alors la zone intermédiaire où le champ temporel réalise sa transition entre ce qui est stabilisé et ce qui reste à stabiliser.

Cette tripartition explique également l'origine de la cohésion cosmique. Si  $t_2$  constitue une région physique à part entière, la stabilité du réel dépend de sa capacité à maintenir une cohérence interne suffisante.

Là où cette cohérence s'effondre,  $t_2$  perd son intégrité et laisse place à des régimes critiques : instabilités lumineuses, glissements morphogéniques, apparition de zones figées correspondant à des freeze-sphères.

À l'inverse, lorsque  $t_2$  gagne en extension et en robustesse, les structures se maintiennent et les phénomènes gagnent en continuité. La tripartition temporelle constitue ainsi un cadre dynamique fournissant les conditions d'existence de l'architecture cosmique dans le modèle du VLCC.

Bien que le modèle n'introduise aucune constante numérique nouvelle, la triade temporelle  $\{t_1, t_2, t_1'\}$  et son articulation imposée par les lois morphogéniques et à son champs unique triphasé, jouent à l'échelle ontologique, le rôle de véritables constantes du temps. Elles définissent l'architecture interne invariante selon laquelle la durée se structure et se déploie.

Ainsi, le VLCC n'ajoute pas des paramètres au monde : il identifie le cadre régulateur fondamental, celui qui empêche l'emballlement des dynamiques locales et garantit l'équilibre épistémologique de l'Univers.

## Synthèse des trois couches du temps:

### **t<sub>1</sub> — Zone figée (passé stabilisé)**

- Cohérence  $\sigma(x)$  maximale et stable
- Aucun présent ne se fabrique
- Les phénomènes y sont définitivement fixés
- Fonction : fournir la mémoire stabilisée du réel

### **t<sub>2</sub> — Zone active (présent cohérent)**

- Cohérence  $\sigma(x)$  au-dessus du seuil critique
- Production continue du présent
- Région où émergent et se maintiennent les phénomènes
- Fonction : assurer la dynamique temporelle

### **t<sub>1</sub>' — Zone pré-cohérente (futur morphogénique)**

- Cohérence  $\sigma(x)$  insuffisante pour stabiliser un présent
- Région de potentialités temporelles encore indéterminées
- Fonction : réservoir de configurations en attente de stabilisation

Résumé fonctionnel : Le flux temporel correspond à la migration de la cohérence de

$$t_1' \rightarrow t_2 \rightarrow t_1.$$

#### ➤ **Précision sur la superposition et opérabilité des couches temporelles.**

Les trois régimes temporels  $t_1$ ,  $t_2$  et  $t_1'$  décrivent des configurations internes **du champ temporel unique** bien que tri-phasé, mais doivent aussi être compris comme des états structurels pouvant coexister de manière superposée dans certaines régions.

Le présent  $t_2$  correspond au seul régime accessible à l'observation, tandis que  $t_1$  et  $t_1'$  demeurent structurellement actifs sans être directement observables.

Cette interprétation prépare naturellement le formalisme de la Partie II, dans lequel les couches temporelles apparaissent comme des états projetables du système, associés notamment à l'opérateur  $P_2$  développé en particulier dans les Chapitres 23 et 27.

Aussi seul le régime  $t_2$  — la région active du temps — peut produire des phénomènes observables.  $t_1$  (passé gelé) et  $t_1'$  (futur morphogène) demeurent des couches structurelles essentielles, mais inaccessibles à la mesure directe. Cela implique qu'une description formelle devra distinguer les trois couches tout en reconnaissant que les données empiriques proviennent exclusivement de  $t_2$ .

Cette distinction prépare l'introduction, dans la Partie II, d'un projecteur associé au présent actif, qui formalise le fait que toute observation correspond à une extraction depuis  $t_2$ .

## 2.4 — La cohérence $\sigma(x)$ : la condition d'existence du présent

La cohérence  $\sigma(x)$  représente l'un des paramètres fondamentaux du VLCC, car elle détermine directement l'existence du présent  $t_2$  en tant que régime physique du temps.

Contrairement aux approches traditionnelles qui définissent le présent comme une frontière sans épaisseur, le VLCC postule qu'il n'existe que lorsque le champ temporel atteint un seuil critique de cohérence.

Le présent correspond alors à une région active où les phénomènes peuvent se maintenir, se structurer et se transmettre de manière continue. Lorsque  $\sigma(x)$  est élevée, les interactions sont synchronisées, la propagation lumineuse demeure stable et la dynamique temporelle peut se prolonger sans rupture.

Cette conception introduit une compréhension nouvelle du temps comme système réglé par un paramètre d'ordre. À l'image de la température dans un système de matière condensée, la cohérence  $\sigma(x)$  détermine l'état global du champ temporel. Dès qu'elle diminue, les effets sont immédiats : fragmentation du présent, désynchronisation des phénomènes, figement lumineux ou transitions spectrales.

Ces comportements, difficilement explicables dans le cadre des théories classiques, deviennent ici les manifestations directes d'un effondrement du régime temporel.

Le VLCC fait ainsi de la cohérence  $\sigma(x)$  le moteur central de la stabilité du réel.

Les régions où  $\sigma(x)$  s'affaiblit sont des zones critiques où le temps perd sa capacité à soutenir des phénomènes structurés ; elles peuvent donner naissance à des pré-freezes, des pré-freezes externes, des freeze-sphères centrales (voir chapitre 40 et annexe E) ou à des glissements morphogéniques instables.

À l'inverse, les régions où  $\sigma(x)$  se renforce deviennent des présents étendus dans lesquels les formes physiques acquièrent une durée et une régularité.

La cohérence n'est pas une propriété dérivée : elle constitue la condition même d'existence de toute structure observable, ancrant le présent  $t_2$  comme régime fondamental du champ temporel.

## 2.5 — La lumière comme révélateur de la dynamique temporelle

Dans le VLCC, la lumière occupe une fonction centrale en tant que révélateur du régime interne du champ temporel.

Contrairement aux approches classiques qui la considèrent comme une entité fondamentale dotée de propriétés intrinsèques stables, le VLCC décrit la lumière comme un indicateur dynamique dont le comportement reflète directement l'état de cohérence du temps.

La constance de sa vitesse dans les régimes ordinaires ne résulte pas d'une invariance absolue, mais d'un niveau de cohérence  $\sigma(x)$  suffisamment élevé pour stabiliser sa propagation. Lorsque ce niveau varie, la lumière modifie sa conduite sans altérer sa nature fondamentale.

Ainsi, dans les régions où la cohérence s'effondre, la lumière peut se figer, donnant naissance à des états lumineux gelés dans lesquels l'information cesse de se propager. Dans d'autres configurations, elle peut se déphaser, se spectraliser ou adopter des régimes de propagation altérés en réponse aux variations locales de tension  $\Delta t$  et de densité temporelle  $\tau$ .

Ces transformations ne constituent pas des anomalies de la lumière elle-même, mais la signature directe des modifications affectant le champ temporel qui la porte. La lumière se comporte comme une interface sensible entre la structure interne du temps et les phénomènes observables.

Cette interprétation conduit à une relecture des phénomènes cosmologiques.

Les variations de luminosité, les irrégularités dans les halos galactiques, les zones de faible propagation ou les discontinuités spectrales ne requièrent plus l'introduction d'entités supplémentaires ou de corrections géométriques. Elles s'expliquent par des variations locales du champ temporel, qu'il s'agisse de fluctuations de cohérence ou de gradients de tension.

Dans cette perspective, la lumière devient un outil de diagnostic privilégié : elle encode les propriétés morphogéniques du temps et rend visibles ses régimes internes. Elle constitue ainsi l'un des paramètres les plus sensibles pour étudier la structure temporelle du cosmos.

## Chapitre 3 — Lumière, photon noir et morphogénèse lumineuse

### 3.1 — La lumière comme expression de la structure temporelle

Dans le VLCC, la lumière n'est pas considérée comme une entité fondamentale dotée d'une dynamique autonome.

Elle constitue un phénomène dérivé dont le comportement est strictement déterminé par l'état interne du champ temporel. Sa propagation, sa stabilité spectrale et ses régimes d'émission reflètent directement la cohérence  $\sigma(x)$  et les variations locales du champ  $\tau(x,t)$ .

La lumière joue ainsi un rôle de sismographe du temps : elle révèle la structure interne du présent, les zones où celui-ci demeure stable et celles où il se dégrade. Cette dépendance conceptuelle inverse la perspective classique : la lumière n'est pas le support d'information du temps, elle en est la signature morphogénique.

Dans les régions où la cohérence temporelle atteint un régime stable, la lumière suit une propagation régulière correspondant à sa vitesse-limite.

Cette vitesse n'est pas une constante fondamentale, mais l'expression d'un présent pleinement formé. Dès que la cohérence se modifie, la lumière altère sa dynamique : ralentissement, dispersion, interruptions locales de propagation.

Ces phénomènes ne témoignent pas d'un changement dans la nature de la lumière, mais dans la capacité du champ temporel à soutenir un présent continu. Ainsi, les variations de transparence cosmique, les halos lumineux, les opacités locales ou les anomalies de propagation deviennent autant d'indicateurs des régimes internes du temps.

La lumière rend visible non pas l'espace, mais la dynamique du temps. Elle met en évidence les zones d'effondrement de cohérence, les couches de transition temporelle et les gradients où le présent n'est que partiellement stabilisé.

Dans le VLCC, comprendre la lumière revient donc à comprendre les états internes du champ temporel.

### 3.2 — Le photon à fréquence nulle : état fondamental de la lumière

Au fondement de la hiérarchie lumineuse proposée par le VLCC se trouve un état particulier : le photon noir ou plus précisément à fréquence nulle.

Contrairement au photon classique, le photon noir ne possède aucun mode de propagation actif. Il ne correspond pas à une particule remarquable, mais à un état du temps où la cohérence atteint un niveau tel que la lumière ne peut plus circuler.

Lorsque  $\tau(x,t)$  est fortement contracté et que le présent  $t_2$  ne parvient plus à se former, la lumière est retenue dans un régime fondamental dépourvu de propagation : c'est ce que le modèle identifie comme photon à fréquence nul, dit noir.

Cet état silencieux ne se manifeste pas directement dans les observations, mais ses effets sont omniprésents. Les régions dominées par des photons noirs présentent une dynamique fortement stabilisée : la cohérence temporelle y est figée, produisant des zones où les phénomènes évoluent peu ou pas.

Ces régions forment l'ossature des halos galactiques et stabilisent les configurations morphogéniques à grande échelle. Dans cette interprétation, la matière noire cesse d'être

une substance inconnue : elle devient un état du temps lui-même, un régime de photon noir structurant les grandes organisations cosmologiques.

De fait, la matière noire dans le VLCC devient de la lumière à fréquence nulle.

Les halos de photon noir constituent ainsi une composante essentielle de la stabilité du cosmos. Leur présence révèle l'influence déterminante des régimes temporels figés sur la dynamique galactique.

### 3.3 — Lumière figée, lumière spectrale, lumière active

Les états lumineux décrits dans le VLCC résultent de transitions temporelles, et non de transformations électromagnétiques internes à la lumière. Ces régimes — figé, spectral, actif — reflètent trois configurations distinctes de cohérence et de tension du champ temporel.

La lumière figée apparaît lorsque la cohérence  $\sigma(x)$  chute en dessous d'un seuil critique. Dans ces régions, le présent  $t_2$  est insuffisamment stabilisé pour soutenir une propagation lumineuse. La lumière cesse alors de circuler et se retrouve gelée dans un état stationnaire.

Ce comportement, observé expérimentalement dans certains milieux ultrafroids, reçoit ici une interprétation temporelle : le flux de présent est interrompu.

Dans les zones de transition, la lumière adopte un régime spectral. Elle ne se propage plus de façon régulière, mais par oscillations locales, reflétant les variations rapides de tension  $\Delta t$ . Ce régime apparaît lorsque le temps est partiellement structuré, mais pas encore suffisamment stabilisé pour permettre un transport continu.

L'état actif correspond à la lumière classique : propagation régulière, vitesse stable, cohérence temporelle élevée. Ces trois régimes ne décrivent pas trois types de lumière, mais trois états du temps. La lumière se révèle alors être l'un des indicateurs les plus sensibles de la morphogénèse temporelle, mettant en évidence la formation, l'effondrement ou la transition du présent.

Seuil spectral et émergence de la propagation lumineuse:

Le VLCC considère que la propagation lumineuse n'émerge que lorsque la cohérence temporelle  $\sigma(x)$  dépasse un seuil critique.

En-dessous de ce seuil, la lumière demeure dans un état fondamental non propagatif (photon à fréquence nul dit noir) ; au-dessus, elle retrouve un régime spectral ou actif selon les gradients locaux de  $\Delta t$ .

Cette idée sera formalisée dans la Partie II par l'introduction d'un seuil  $\sigma_s$ , qui définit mathématiquement les transitions entre lumière figée, lumière spectrale et lumière active.

Rôle et fonction du photon à fréquence nulle:

**Un photon à fréquence nulle, c'est :**

- Un état du temps, pas une particule au sens quantique
- Un régime où le présent  $t_2$  ne peut plus se former
- Une zone où  $\tau(x,t)$  est extrêmement contracté
- Un état lumineux sans propagation
- La composante principale des halos stabilisateurs du VLCC

**Un photon à fréquence nulle, ce n'est pas :**

- Un photon classique de basse énergie
- Une particule exotique ou hypothétique
- Une singularité gravitationnelle
- Une entité électromagnétique au repos

**Rôle cosmique :**

Structure les halos galactiques et stabilise la cohérence temporelle.

### 3.3.1 — Le spectre fermé : structure, fondation et implications

Dans le cadre du VLCC, la lumière n'est pas une entité électromagnétique fondamentale, mais l'expression directe du régime temporel local.

Cette conception permet de revisiter en profondeur la structure du spectre électromagnétique. Plutôt que de reposer sur une échelle ouverte de fréquences allant de zéro à l'infini, le VLCC introduit l'hypothèse d'un spectre fermé, dans lequel les deux extrémités — très basses et très hautes fréquences — convergent vers un même état limite : le photon noir.

Cet état fondamental correspond à une configuration du temps où la cohérence  $\sigma(x)$  est insuffisante pour soutenir une propagation lumineuse active.

Dans les basses fréquences extrêmes, l'énergie associée à la lumière se raréfie au point que le présent  $t_2$  cesse de pleinement se constituer, reconduisant la lumière vers un régime figé.

Dans les hautes fréquences extrêmes, l'excès d'oscillation temporelle induit une contraction telle que le temps se trouve saturé, ne laissant plus place à une propagation cohérente. Dans les deux cas, la lumière rejoue un même état non-propagatif.

Le spectre fermé traduit ainsi une idée simple : l'espace des fréquences observables n'est qu'une portion d'un continuum temporel plus profond.

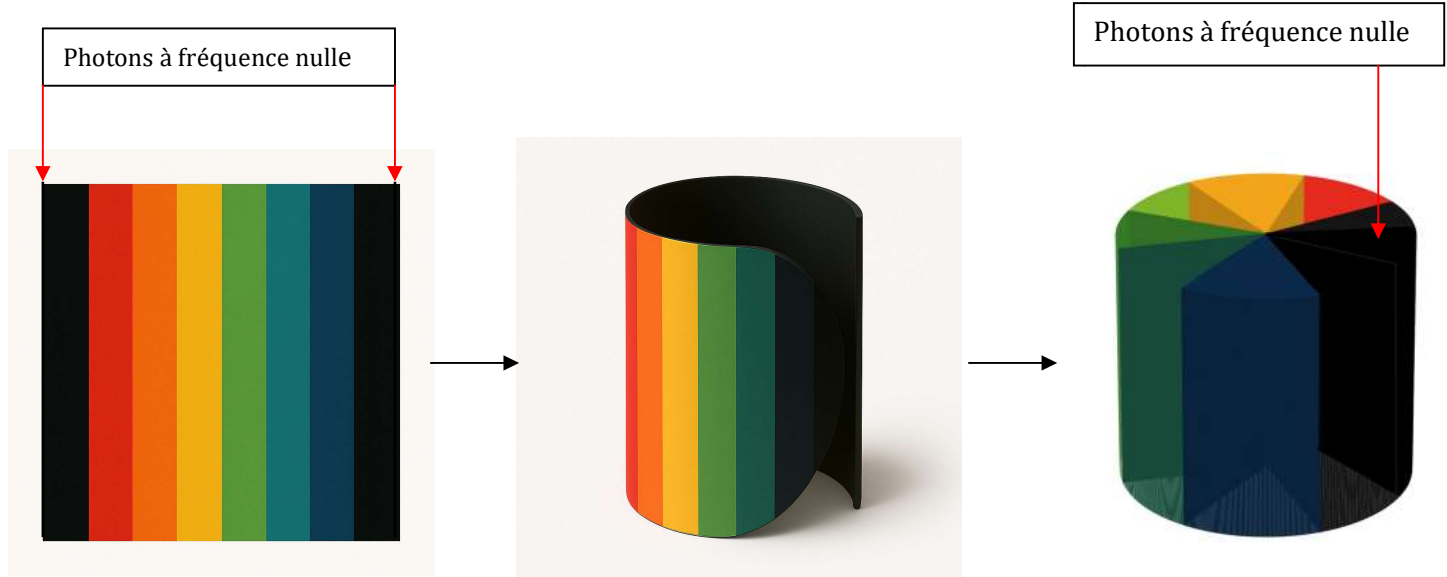
Aux deux extrémités de ce continuum, la lumière se replie vers sa condition fondamentale, là où le temps redevient trop contracté ou trop dilaté pour soutenir un régime actif.

Le photon noir apparaît alors non seulement comme l'origine ontologique de la lumière, mais aussi comme son horizon ultime.

Cette conception unifie les régimes lumineux (figé, spectral, actif) et confère à la structure du spectre une cohérence interne issue directement du champ temporel.

Elle prépare également la formalisation mathématique de la Partie II, où le seuil spectral  $\sigma_s$  et les conditions limites  $f \rightarrow 0$  et  $f \rightarrow +\infty$  seront exprimés à partir des propriétés dynamiques du temps.

#### Illustration du spectre lumineux fermé VLCC :



#### **Nature et fonction du spectre fermé:**

- Le spectre électromagnétique n'est pas ouvert : ses deux extrémités convergent vers un même état limite.
- $f \rightarrow 0$  (infra-extrême) :
  - raréfaction énergétique
  - perte de cohérence  $\sigma(x)$
  - lumière → état figé (photon noir)

- $f \rightarrow +\infty$  (ultra-extrême) :
  - excès d'oscillation
  - saturation de  $\tau(x,t)$
  - lumière → état figé (photon noir)
- Le photon à fréquence nulle (dit noir) est l'état fondamental de la lumière :
  - non-propagatif
  - défini par  $\sigma(x) < \sigma_s$
  - lié à un temps contracté ou non stabilisé
- Le spectre observable est une bande intermédiaire :
  - régimes actifs :  $\sigma(x)$  élevé
  - régimes spectraux : gradients  $\Delta t$  importants
- Conséquence conceptuelle :
 

Les extrêmes du spectre ne s'éloignent pas l'un de l'autre, mais se rejoignent dans un état temporel commun.

### 3.4 — Morphogénèse lumineuse et structuration cosmique

Dans le cadre du VLCC, la morphogénèse lumineuse constitue un processus central de structuration cosmique.

La lumière n'intervient pas en modifiant directement les structures par son énergie ou par pression radiative, mais en révélant et en stabilisant les régimes de cohérence temporelle.

Lorsque la lumière circule sans perturbation, elle signale un état fluide du champ temporel, où la cohérence  $\sigma(x)$  est suffisamment élevée pour maintenir un présent continu. Ces zones deviennent des environnements propices à l'émergence et à la consolidation de structures cosmologiques, car la dynamique y demeure stable et régulière.

Inversement, lorsque la lumière se fige ou ralentit, elle met en évidence des régions où le champ temporel est contracté.

Ces zones de type pré-freezes sphères ou freeze-sphères externe, sont comparables aux freeze-sphères centrale, et agissent comme des centres de stabilisation morphogénique (Chapitre 40 et Annexe E). Le temps y est densifié au point de former des noyaux structurels capables de soutenir la cohésion des galaxies, des amas et de réseaux cosmologiques plus vastes.

Ce rôle, traditionnellement attribué à une matière noire hypothétique, reçoit dans le VLCC une interprétation temporelle : les architectures du cosmos émergent de variations internes du temps plutôt que d'interactions gravitationnelles imputées à une masse invisible.

La lumière devient ainsi un agent de révélation morphogénique.

Elle permet d'identifier les zones où le temps soutient des dynamiques continues et celles où il se contracte pour générer des structures durables. La structuration globale du cosmos s'explique alors non comme une simple conséquence de la gravitation, mais comme le résultat d'un ensemble de régimes temporels différenciés dont la lumière constitue l'indicateur privilégié.

A noter :

Les trois niveaux de Freeze Spheres dans le VLCC détaillés au Chapitre 40 et à l'Annexe E sont :

### 1. Proto-Freeze-Sphere (Big Spume)

- nucléation primitive
- zones ponctuelles où  $\sigma \rightarrow 0$

### 2. Freeze Sphere centrale (après Big Flow)

- attracteur majeur du champ temporel
- futur centre galactique

### 3. Pré-Freeze externe (zones III)

- extinction progressive
- pas un objet central mais une frontière morphogénique

## 3.5 — Vers une physique lumineuse du temps

Le VLCC propose une reformulation profonde de la physique lumineuse : la lumière n'y est plus envisagée comme un phénomène électromagnétique isolé, mais comme une manifestation directe de l'état du temps.

Cette approche permet d'unifier une large gamme de phénomènes jusque-là traités indépendamment : la vitesse-limite de propagation, les régimes de figement lumineux, les comportements superfluides observés expérimentalement, ainsi que les signatures cosmologiques à grande échelle.

Dans ce cadre, analyser la lumière revient à analyser la dynamique temporelle, car ses modes de propagation révèlent directement la densité  $\tau(x,t)$ , la tension  $\Delta t$  et la cohérence  $\sigma(x)$  du champ temporel.

Cette perspective transforme la manière d'aborder la cosmologie. Le cosmos n'est plus un espace contenant des objets, mais un ensemble de régimes temporels dont les interactions produisent les phénomènes observés.

Les variations lumineuses — modifications spectrales, interruptions de propagation, halos ou anomalies dynamiques — ne sont plus interprétées comme des curiosités périphériques, mais comme les signatures directes de la structure temporelle. Observer la lumière revient à observer l'état interne du temps.

Dans ce sens, la lumière acquiert une portée ontologique particulière. Elle ne reflète pas seulement la cohérence locale d'une région donnée, mais révèle aussi l'architecture globale de la morphogénèse temporelle.

Cette compréhension ouvre un champ conceptuel où cosmologie, physique fondamentale et théorie du temps convergent vers une articulation unifiée. La lumière devient le vecteur privilégié pour décrire la manière dont le temps se structure et organise le réel.

## Chapitre 4 — Le Big Spume : la naissance du temps différentiel

### 4.1 — Le pré-temps et la tension primordiale

Dans le VLCC, le Big Spume désigne la phase au cours de laquelle le pré-temps, jusqu'alors homogène et dépourvu de différenciation interne, atteint une tension telle qu'il devient instable.

Ce régime initial n'est pas une singularité explosive ni un point d'origine, mais un état de densité temporelle maximale où aucune dynamique, orientation ou cohérence n'existe encore. Le pré-temps constitue un champ saturé :  $\tau$  y est porté à son seuil le plus élevé, mais aucune organisation du présent n'est possible.

Cette tension primordiale ne correspond pas à une énergie compressée mais à une impossibilité structurelle : la tension  $\Delta t$  est uniforme et maximale, empêchant toute propagation ou transformation. Tant que ce seuil n'est pas rompu, aucune cohérence  $\sigma(x)$  ne peut émerger. La réalité demeure dans un état suspendu, sans distinction interne, en attente d'une bifurcation.

Le Big Spume correspond à cette première bifurcation : un effondrement local de la tension primordiale entraînant la différenciation initiale du temps.

Ce point critique ouvre la voie aux premières micro-cohérences et permet l'apparition d'un présent minimal. Le Big Spume marque ainsi non un commencement absolu, mais la transition du pré-temps indifférencié vers un temps différentiel.

## 4.2 — Instabilité morphogénique et mousse temporelle (*spume*)

L'instabilité déclenchée par le Big Spume fragmente la tension uniforme du pré-temps en un ensemble de micro-régions présentant des niveaux distincts de tension  $\Delta t$ .

Ce processus ne correspond pas à une explosion : il s'apparente à une décomposition progressive formant une « mousse temporelle » composée de nombreuses bulles différentielles. Le Big Spume ne produit pas immédiatement une expansion spatiale, mais une granularité temporelle initiale.

Cette mousse constitue le premier état dynamique du cosmos.

Certaines poches subissent une contraction supplémentaire tandis que d'autres se détendent, générant les premiers gradients de densité  $\tau(x,t)$ . L'univers acquiert alors une structure interne : non pas une géométrie au sens classique, mais une organisation temporelle émergente.

Parmi ces micro-régions apparaissent les proto-freeze-sphères : zones où la tension atteint un niveau suffisant pour empêcher la formation d'un présent cohérent.

Elles constituent les premières unités structurantes, définissant les cadres à partir desquels la morphogénèse temporelle va se développer. Le Big Spume représente ainsi la transition d'un pré-temps uniforme vers un réseau dynamique susceptible de produire des organisations stables.

**Pourquoi le terme mousse temporelle ou “*spume temporelle*” n'est pas une métaphore :**

**Le terme *mousse* ou *spume* décrit :**

- La granularité initiale du champ temporel
- L'existence de micro-régions différentielles issues de la rupture du pré-temps
- Des variations locales de tension  $\Delta t$  entre bulles
- La formation de premières textures temporelles, sans espace associé

**Ce que *mousse* ou *spume* ne signifie pas :**

- Une analogie visuelle avec une mousse matérielle
- Une métaphore poétique
- Une texture géométrique de l'espace

**Justification théorique :**

La « mousse ou spume temporelle » désigne un régime où le temps est localement différencié en unités minimales de cohérence — les proto-freeze-sphères.

### **4.3 — Formation des proto-freeze-sphères**

Les proto-freeze-sphères émergent lorsque certaines bulles de la mousse temporelle franchissent un seuil de contraction du temps.

Dans ces régions, la tension  $\Delta t$  atteint un niveau tel que la cohérence  $\sigma(x)$  ne peut se stabiliser, entraînant un gel complet du présent. Il ne s'agit pas de singularités, mais de noyaux temporels extrêmement denses où le temps cesse localement de se fabriquer.

Ces noyaux jouent un rôle essentiel dans l'évolution ultérieure du cosmos. Ils servent de points d'ancre autour desquels se réorganisent les dynamiques temporelles environnantes.

Avec le temps, ces proto-freeze-sphères deviennent les freeze-sphères primordiales, véritables centres structurels du futur univers.

Ainsi, l'origine du cosmos dans le VLCC n'est pas un événement explosif, mais une prolifération de noyaux de temps gelé structurant progressivement le champ temporel.

Les proto-freeze-sphères constituent le premier niveau de structuration du réel : l'émergence d'un univers façonné par la dynamique interne du temps.

### **4.4 — Dynamique temporelle versus Big Bang géométrique**

Dans le cadre du VLCC, la dynamique initiale de l'univers doit être reformulée comme une réorganisation interne du temps plutôt que comme une expansion géométrique.

Le Big Spume introduit une transition qui ne nécessite ni singularité ponctuelle, ni explosion d'espace, ni métrique initiale. L'instabilité primordiale génère une différenciation temporelle : les premiers gradients de cohérence  $\sigma(x)$  apparaissent, accompagnés de variations de densité  $\tau(x,t)$ . L'univers ne débute donc pas par une dilatation spatiale, mais par une modulation des régimes temporels.

Dans ce cadre, le Big Bang classique perd sa pertinence conceptuelle : l'espace n'existe pas encore lors du Big Spume. Il n'y a ni distance, ni horizon, ni étendue.

Le seul élément physique est le temps en train de se fragmenter en zones cohérentes et incohérentes. Ce que la cosmologie standard interprète comme une expansion correspond, dans le VLCC, à l'effet émergent de la montée en cohérence du champ temporel. L'univers ne « s'étend » pas : il acquiert progressivement une stabilité interne.

Le Big Spume remplace ainsi l'idée d'une singularité géométrique par une transition morphogénique.

L'espace n'apparaît qu'ultérieurement avec le Big Glow, lorsque la cohérence  $\sigma(x)$  devient suffisamment stable pour générer des relations continues. Cette inversion conceptuelle — une naissance temporelle avant une naissance spatiale — modifie profondément le statut ontologique du cosmos. L'origine n'est plus un point géométrique, mais un changement d'état du temps.

#### **4.5 — Le Big Spume comme matrice de la cosmologie du VLCC**

Dans la cosmologie du VLCC, le Big Spume n'est pas seulement une phase initiale, mais la matrice dynamique qui conditionne tout le développement ultérieur du cosmos.

C'est durant cette étape que se forment les premiers gradients de cohérence, les premières tensions différentielles  $\Delta t$  et les premiers noyaux gelés. Ces structures constituent la base à partir de laquelle se déploiera l'ensemble de la morphogénèse temporelle.

Le Big Spume prépare également l'émergence du Big Glow, phase où la cohérence  $\sigma(x)$  se stabilise suffisamment pour permettre la formation de l'espace.

Dans cette perspective, l'espace n'est pas un cadre préexistant, mais un état dérivé du temps. Cette conception renverse les fondements de la cosmologie classique : les structures observables ne dépendent pas d'une géométrie initiale, mais de la régulation interne du temps.

Les grandes structures cosmologiques — distribution galactique, cohésion des amas, anomalies à grande échelle — portent encore la marque des dynamiques instituées durant le Big Spume.

Comprendre cette phase revient à saisir la véritable origine du cosmos : non une explosion spatiale, mais une reconfiguration du champ temporel. Le VLCC inscrit ainsi la naissance de l'univers dans une dynamique morphogénique où la temporalité précède la géométrie.

## Chapitre 5 — Le Big Glow : l'émergence de l'espace-temps

### 5.1 — La transition entre Big Spume et Big Glow

Le passage du Big Spume au Big Glow constitue un moment déterminant dans la cosmologie du VLCC, marquant la sortie progressive de l'univers de son état granulaire initial.

Durant le Big Spume, le temps ne se manifeste qu'à travers des unités différentielles, formées de micro-régions incohérentes dont la dynamique reste entièrement contrainte par la tension primordiale.

Le Big Glow introduit une transformation plus structurée : certaines de ces régions commencent à atteindre un niveau de cohérence suffisante pour réduire les contrastes temporels, amorçant une atténuation mesurable des gradients internes.

Ce processus ne doit pas être interprété comme une expansion ou une dilatation spatiale naissante.

Il correspond plutôt à une réorganisation interne du champ temporel, dans laquelle émergent des zones de cohérence stabilisée. À mesure que les tensions  $\Delta t$  diminuent localement, ces zones s'étendent et forment les premières régions capables de maintenir un présent actif  $t_2$ . Celles-ci inaugurent un régime temporel continu, en rupture avec la fragmentation caractéristique du Big Spume.

La transition du Big Spume au Big Glow ne marque donc pas l'apparition d'un espace, mais l'établissement d'une structure temporelle cohérente.

Le temps cesse de fonctionner comme un ensemble disjoint et devient un flux unifié. Cette dynamique prépare les conditions nécessaires à l'émergence ultérieure de l'espace, lequel ne sera qu'un effet dérivé de la stabilisation progressive du champ temporel.

### 5.2 — La stabilisation de la cohérence temporelle

Le Big Glow constitue la première phase où la cohérence temporelle atteint un degré de stabilité permettant des évolutions régulières.

Alors que le Big Spume était caractérisé par une forte agitation des tensions  $\Delta t$  et des variations rapides de densité  $\tau(x,t)$ , le Big Glow introduit un régime dans lequel ces fluctuations se réduisent progressivement. Des régions de cohérence  $\sigma(x)$ , auparavant sporadiques et isolées, commencent à établir des connexions continues.

Cette stabilisation demeure partielle et non uniforme : l'univers conserve une hétérogénéité notable.

Toutefois, la cohérence atteint désormais un seuil rendant possible la formation d'un présent étendu  $t_2$ .

Pour la première fois, les transformations peuvent s'enchaîner de manière régulière, permettant l'apparition de phénomènes répétitifs et la consolidation de gradients structurels. Ce passage à une dynamique non chaotique représente une étape majeure du développement cosmique.

Dans ce cadre, la cohérence  $\sigma(x)$  devient un paramètre déterminant de l'évolution du cosmos. Tant qu'elle se renforce, le présent gagne en extension et en stabilité, permettant l'apparition des premières relations continues.

Le Big Glow constitue ainsi la première phase où la structure globale du temps acquiert une organisation durable.

### 5.3 — L'émergence géométrique du cosmos

Dans le VLCC, l'espace n'apparaît que lorsque la cohérence temporelle atteint un niveau permettant l'établissement de relations continues entre phénomènes.

Avant cette stabilisation, il n'existe aucune notion de distance, de métrique ou d'orientation. L'espace n'est donc pas une entité préexistante : il émerge progressivement comme conséquence de la capacité du temps à entretenir une cohésion interne stable.

À mesure que les régions  $t_2$  se renforcent, les interactions entre phénomènes deviennent plus régulières. Cette régularité se traduit sous forme de relations spatiales, qui constituent la projection géométrique de la stabilité temporelle.

L'espace doit ainsi être compris comme un effet dérivé du degré de cohérence  $\sigma(x)$ . Plus cette cohérence s'élève, plus les relations spatiales deviennent précises, continues et mesurables.

Cette reformulation renverse la perspective traditionnelle selon laquelle l'espace-temps est une structure fondamentale.

Dans le cadre du VLCC, la géométrie apparaît comme un produit tardif de la dynamique interne du temps. Elle n'en constitue ni le support ni le cadre, mais la manifestation émergente.

## 5.4 — Lumière active et expansion morphogénique

Le Big Glow marque la phase où la lumière active devient possible, témoignant d'un changement décisif dans la structuration du temps. Lorsque la cohérence  $\sigma(x)$  dépasse un seuil critique, le champ temporel acquiert une régularité suffisante pour soutenir une propagation lumineuse continue.

La lumière active ne constitue donc pas un phénomène dérivé : elle manifeste directement le degré de stabilisation atteint par le temps.

Alors que le Big Spume était dominé par la fragmentation et des tensions  $\Delta t$  élevées, le Big Glow instaure un régime dans lequel la formation d'un présent étendu  $t_2$  devient stable et soutenue.

L'apparition de la lumière active représente la première indication observable de la morphogénèse temporelle. Sa propagation reflète les variations locales de cohérence et permet d'identifier les régions où  $\sigma(x)$  se renforce.

Ce phénomène peut être interprété comme une mise en visibilité progressive de la structure temporelle : à mesure que la cohérence augmente, le champ temporel devient plus transparent à sa propre dynamique. Le terme « Big Glow » renvoie ainsi à cette clarification interne plutôt qu'à un événement explosif.

Dans ce cadre, l'expansion cosmique classiquement décrite comme une dilatation de l'espace trouve une interprétation différente. Elle correspond à la propagation de la cohérence temporelle et non à une expansion géométrique.

À mesure que  $\sigma(x)$  se diffuse, les régions deviennent aptes à supporter la lumière active, donnant l'impression que l'espace s'étend. La morphogénèse lumineuse constitue ainsi l'un des premiers indicateurs de la structuration globale du cosmos.

Définition synthétique des points critiques dans le champ temporal:

**Note :** Point critique = lorsque la cohérence  $\sigma(x)$  franchit un seuil déterminant

**Ce qui provoque:**

- Une transition de régime temporel ( $t_1 \leftrightarrow t_2 \leftrightarrow t_1'$ )
- Un changement de mode lumineux (figé  $\leftrightarrow$  spectral  $\leftrightarrow$  actif)
- Une modification du degré d'organisation morphogénique
- Une variation brutale de la densité temporelle  $\tau(x,t)$

### **Trois catégories de points critiques :**

- Seuil de formation du présent : passage  $t_1' \rightarrow t_2$
- Seuil d'effondrement du présent : passage  $t_2 \rightarrow t_1$
- Seuil spectral : zones où  $\Delta t$  devient dominant  $\rightarrow$  lumière instable

### **Intérêt cosmologique**

Les points critiques structurent les transitions majeures du VLCC, du Big Spume au Big Sleep.

## **5.5 — Le Big Glow comme fondation de l'espace-temps observable**

Le Big Glow représente la phase où le temps acquiert une cohérence suffisante pour générer un espace-temps stable et intelligible.

C'est durant cette période que se forment les conditions nécessaires à l'établissement de relations spatiales continues, à la propagation régulière de la lumière et à l'émergence de cadres causaux robustes.

Les caractéristiques identifiées aujourd'hui comme constitutives de l'univers observable — distances, directions, propagation lumineuse, causalité — découlent directement de cet état temporel stabilisé.

Dans cette perspective, l'univers actuel apparaît comme une conséquence du niveau de cohérence atteint durant le Big Glow.

Les propriétés géométriques, les lois de propagation lumineuse et les régularités dynamiques observées ne résultent pas d'une structure spatiale préexistante : elles émergent de la stabilisation progressive du champ temporel. La lumière active joue ici un rôle central, puisqu'elle constitue le premier système de relations cohérentes capable de révéler et d'ancrer l'architecture du temps.

Le Big Glow ouvre ainsi la transition vers le Big Flow, période au cours de laquelle l'espace-temps, désormais suffisamment stable, permet l'apparition de structures de plus en plus complexes.

Comprendre le Big Glow revient à identifier la source profonde de la stabilité cosmique : ce n'est pas une expansion géométrique initiale, mais une consolidation temporelle qui fonde l'espace-temps observable.

## 5.6 — Lecture VLCC du point de singularité anté Big-Bang

Dans l'interprétation classique, le Big Bang désigne un point de densité, de courbure ou d'énergie supposément infinie, placé comme origine géométrique du cosmos.

Le VLCC propose une relecture entièrement différente : ce que la physique appelle “singularité initiale” n'est pas un état extrême de la matière, mais un état-limite de la cohérence temporelle. La singularité n'est pas physique ; elle est morphogénique.

### 5.6.1 — Le pré-temps comme état quantique incohérent

Avant le Big Glow, et même avant la granularité du Big Spume, le temps n'est pas absent : il est non cohérent.

Ce pré-temps correspond à un régime où :

- la cohérence  $\sigma(x)$  tend vers zéro,
- aucune direction temporelle ne peut émerger,
- aucune métrique ne peut être définie,
- la lumière ne possède aucun mode de propagation,
- aucune phénoménalité ne peut se stabiliser.

Cet état ne constitue pas un “avant” au sens chronologique : c'est un état quantique du système temporel, analogue à une fonction d'onde non normalisée — présente comme structure potentielle, mais dépourvue de manifestation.

### 5.6.2 — La singularité comme minimum de cohérence $\sigma(x)$

Dans le VLCC, le point initial n'est pas un point matériel.

Il correspond au minimum structurel de la cohérence temporelle, là où :

$$\sigma(x) \approx 0, \quad \Delta t \rightarrow 0$$

et où le temps ne peut plus fabriquer un présent.

Ce seuil n'est pas une limite physique, mais un seuil morphogénique du champ temporel.

La singularité cosmologique est donc :

- un état sans présent,
- un état sans lumière,
- un état sans causalité,
- un état pré-métrique,
- un état non-chronologique.

Il s'agit d'un point où le temps existe comme structure, mais pas encore comme phénomène.

### 5.6.3 — La transition $\sigma \approx 0 \rightarrow \sigma \geq \sigma_s$ comme véritable “Big Bang”

Le Big Bang ne constitue pas, dans le VLCC, un événement énergétique ou une explosion.

Il désigne la transition critique où :

$$\sigma(x) \geq \sigma_s$$

le champ temporel franchit son seuil de cohérence fondatrice  $\sigma_s$ , rendant possible :

- la formation du présent  $t_2$ ,
- l'apparition d'une direction temporelle,
- la propagation lumineuse active,
- la possibilité d'une métrique continue,
- l'établissement d'un régime causal,
- l'émergence des premières relations phénoménales.

La phénoménalité commence lorsque  $\sigma$  dépasse son seuil, non lorsque la matière “explose”.

Ainsi, le Big Bang n'est pas un commencement physique :

c'est une transition morphogénique du temps, le passage d'un régime pré-cohérent à un régime capable de soutenir la réalité.

### 5.6.4 — L'absence d'un “avant” phénoménal

Puisque le pré-temps n'appartient pas au régime  $t_2$ , il n'est pas observable, mesurable ou chronologique. La question “que se passait-il avant le Big Bang ?” reçoit alors une réponse précise :

avant la cohérence temporelle, il n'y avait pas un passé inaccessible, mais une absence de temporalité phénoménale.

Le pré-temps n'est pas un "temps antérieur" : c'est une structure extra-phénoménale, dépourvue de toute métrique.

### 5.6.5 — Portée cosmologique de cette relecture

Cette interprétation unifie les éléments centraux du VLCC :

- l'émergence de l'espace comme projection d'une cohérence temporelle,
- la naissance de la lumière active comme signature de  $\sigma(x)$ ,
- l'apparition de la causalité comme effet d'un présent stabilisé,
- l'origine cosmique comme transition temporelle plutôt que physique.

Le cosmos ne surgit pas d'une concentration extrême de matière, mais d'une restructuration du champ temporel.

L'origine du monde n'est pas dans la physique : elle est dans la morphogénèse du temps.

## Chapitre 6 — Le Big Flow : Stabilisation temporelle et apparition des structures cosmologiques

Avec le seuil de cohérence initial désormais franchi (cf. 5.6), le temps entre dans une nouvelle phase de stabilisation : le Big Flow.

**A noter :** *Le Big Flow recouvre en réalité plusieurs régimes dynamiques, dont la structuration fine ne sera explicitée qu'en Partie III.*

### 6.1 — La stabilisation progressive du champ temporel

Le Big Flow correspond à la phase où le champ temporel  $\tau(x,t)$  atteint un niveau de stabilité permettant l'organisation durable du cosmos.

Après les fluctuations granulaires du Big Spume et l'établissement initial de la cohérence introduite par le Big Glow, cette période marque une réduction significative des variations de tension  $\Delta t$ . Les gradients temporels s'atténuent, et les zones cohérentes commencent à s'articuler en réseaux continus.

Cette stabilisation ne conduit toutefois pas à une homogénéité complète.

Le Big Flow présente une hétérogénéité structurante : certaines régions exhibit une cohérence  $\sigma(x)$  particulièrement élevée, constituant des centres organisateurs, tandis que d'autres demeurent proches des seuils de transition.

Cette distribution différenciée permet l'apparition progressive de structures complexes sans reproduire l'instabilité du régime initial.

Ainsi, le Big Flow inaugure la première ère de stabilité temporelle étendue. Le temps n'est plus fragmenté ni simplement émergent ; il acquiert une continuité suffisante pour soutenir des processus évolutifs durables et poser les fondations de la complexité cosmique.

## 6.2 — L'apparition des grandes structures cosmologiques

À mesure que la cohérence temporelle se renforce, les premières grandes structures cosmologiques commencent à se constituer.

Dans le cadre du VLCC, ces structures ne découlent pas de fluctuations de matière, mais de configurations différentielles de cohérence  $\sigma(x)$ . Les régions les plus stables deviennent des zones de propagation lumineuse privilégiées, ce qui favorise leur consolidation morphogénique et prépare l'émergence des futurs centres galactiques.

Les zones où la cohérence reste intermédiaire forment des corridors temporels : des régions de transition reliant les noyaux hautement cohérents.

Ces corridors jouent un rôle déterminant dans l'organisation du Large Scale Structure, occupant une fonction analogue à un réseau d'articulations reliant les principales zones de stabilité. Le VLCC interprète ainsi la distribution cosmique comme le reflet direct de la géographie de la cohérence temporelle.

Les amas, superamas et filaments cosmiques ne représentent donc pas des regroupements gravitationnels classiques, mais des expressions de la structuration interne du temps. Cette perspective modifie profondément l'interprétation de la formation des grandes structures cosmologiques.

### 6.2.1 — Définition synthétique opérationnelle de $\Delta t$

#### **$\Delta t$ : glissement temporel interne**

Mesure la différence locale entre deux configurations temporelles voisines.

#### **Interprétation opérationnelle :**

- $\Delta t > 0$  : le présent se déforme (instabilité morphogénique)
- $\Delta t = 0$  : stabilité locale du temporel
- $\Delta t < 0$  : contraction locale du présent (tendance au gel)

### **Effets physiques associés :**

- Gradients lumineux non linéaires
- Apparition de zones spectrales
- Stabilisation ou fragmentation morphogénique
- Formation potentielle de proto-freeze-sphères

### **Statut dans le VLCC :**

Variable fondamentale, équivalente à une dérivée interne du temps par rapport à lui-même.

### **Précision de la nature de la tension $\Delta t$ :**

La tension  $\Delta t$  caractérise les glissements internes entre configurations temporelles successives.

Elle ne décrit ni une vitesse ni une énergie, mais une asymétrie intrinsèque du temps en cours de fabrication.

Dans la Partie I,  $\Delta t$  apparaît comme une tension morphogénique ; dans la Partie II, il sera traité comme un paramètre global non varié, reflétant une dissymétrie structurelle entre  $t_1$ ,  $t_2$  et  $t_1'$ .

Cette clarification évite de confondre  $\Delta t$  avec un champ physique ou un degré de liberté supplémentaire.

## **6.3 — Freeze-sphères primordiales et structuration galactique**

Les freeze-sphères, issues des proto-freeze-sphères formées durant le Big Spume, jouent un rôle majeur au cours du Big Flow.

Ces régions de temps gelé fonctionnent comme des noyaux stabilisateurs autour desquels se développent les premières organisations galactiques. Contrairement aux trous noirs, leur rôle n'est pas associé à un effondrement géométrique, mais à une interruption locale de la fabrication du présent.

Ces noyaux confèrent une cohérence accrue à leur environnement immédiat, rendant possibles des dynamiques orbitales régulières et favorisant l'émergence des futurs noyaux de structuration galactique (centres où le champ temporel pourra plus tard se condenser en attracteurs morphogéniques).

Les halos galactiques observés dans l'univers contemporain peuvent ainsi être compris comme les manifestations périphériques de ces zones de temps condensé, plutôt que comme des objets de matière invisible.

Le Big Flow révèle ainsi la continuité conceptuelle entre la dynamique temporelle primordiale et l'architecture galactique actuelle.

Les freeze-sphères en constituent les fondations morphogéniques, assurant la cohésion cosmique sans recours à des entités non observables.

**A noter :** *Bien que les Freeze Spheres stabilisent durablement le champ temporel, aucune n'est éternelle : elles peuvent se réouvrir, se dissoudre, migrer ou se recomposer selon l'évolution de  $\sigma(x)$ . Leur stabilité est morphogénique, non absolue.*

## 6.4 — La lumière comme agent stabilisateur du Big Flow

La lumière active joue un rôle déterminant durant le Big Flow, bien au-delà de sa fonction énergétique.

Dans cette phase de maturation du champ temporel, elle intervient comme un stabilisateur morphogénique. En traversant les régions où la cohérence  $\sigma(x)$  est élevée, la lumière contribue à renforcer la continuité temporelle et à réduire les fluctuations locales. Sa circulation agit ainsi comme un mécanisme interne de régulation, consolidant les structures en formation et limitant l'amplification des instabilités proches des seuils critiques.

Ce rôle n'a pas d'équivalent dans les cadres cosmologiques traditionnels, où la lumière est perçue comme un simple témoin de la dynamique géométrique.

Dans le VLCC, elle acquiert un statut actif : sa propagation participe directement à l'organisation du champ temporel. Les zones les plus lumineuses correspondent d'ailleurs aux régions où la cohérence  $\sigma(x)$  est la plus robuste, illustrant la corrélation entre activité lumineuse, stabilité temporelle et formation des structures cosmologiques.

Ainsi, durant le Big Flow, la lumière n'est pas un phénomène accessoire : elle contribue au maintien des régimes temporels cohérents. Sa dynamique devient l'un des moteurs essentiels du processus de consolidation morphogénique.

## 6.5 — Le Big Flow comme âge de maturité cosmique

Le Big Flow peut être interprété comme la période de maturité du cosmos, un état intermédiaire où se combinent stabilité globale et plasticité locale.

Le champ temporel  $\tau(x,t)$  y est suffisamment stabilisé pour permettre l'apparition de structures durables, tout en conservant des marges de flexibilité nécessaires à l'évolution des configurations morphogéniques. Cette phase se caractérise par une activité lumineuse soutenue, reflet de l'extension croissante de la cohérence  $\sigma(x)$  à travers l'univers.

Dans cette perspective, l'univers apparaît comme un système temporel en maturation. Les galaxies, filaments et grandes structures cosmologiques expriment directement les régimes temporels qui les ont modelés.

Les variations de cohérence guident l'évolution des formes, tandis que la lumière active soutient la stabilisation des zones les plus dynamiques, renforçant les architectures émergentes.

Les Freeze Spheres centrales, sous l'effet des gradients du champ temporel unique triphasé, permettent aux galaxies de suivre leurs propres évolutions et parcours individuels. Ces dernières dessinent, à travers le temps et ses ères, leur chemin et leur histoire. Elles façonnent ainsi les images que nous observons aujourd'hui.

Le Big Flow prépare graduellement la transition vers le Big Sleep, phase où la cohérence atteindra un niveau presque uniforme et où la dynamique morphogénique diminuera progressivement. Comprendre le Big Flow revient à saisir la logique interne du cosmos observable : une interaction continue entre tensions, cohérence et lumière, qui détermine la configuration temporelle de chaque structure.

## Chapitre 7 — Le Big Sleep : repos morphogénique et dissolution des gradients

### 7.1 — La transition lente vers l'uniformisation temporelle

Le Big Sleep constitue la dernière phase d'évolution du champ temporel  $\tau(x,t)$ , marquée par l'entrée progressive du cosmos dans un régime d'uniformisation accrue.

Après les instabilités du Big Spume, la montée en cohérence du Big Glow et la stabilisation croissante du Big Flow, cette étape se caractérise par une diminution continue des gradients temporels. Ces gradients, moteurs essentiels de la dynamique cosmique, perdent progressivement en intensité au profit d'une cohérence  $\sigma(x)$  plus homogène à grande échelle.

Ce processus n'a rien de brutal. Il correspond à une dissipation graduelle des tensions internes du champ temporel : les contrastes morphogéniques se réduisent, les variations locales s'atténuent et le système tend vers une stabilité globale renforcée.

Le Big Sleep ne représente pas une extinction dynamique, mais un état où le temps minimise spontanément ses différenciations internes.

À mesure que cette homogénéisation progresse, la capacité du cosmos à produire des transformations diminue.

La zone active du présent  $t_2$  gagne en inertie, les variations morphogéniques se raréfient, et l'ensemble du champ temporel se rapproche d'un état de repos prolongé.

Le Big Sleep constitue ainsi l'aboutissement d'un long processus d'équilibrage des tensions temporelles.

## 7.2 — Fusion des couches temporelles $t_1$ , $t_2$ et $t_1'$

L'une des caractéristiques majeures du Big Sleep réside dans l'effacement progressif de la distinction entre les trois couches temporelles  $t_1$ ,  $t_2$  et  $t_1'$ .

Tant que la cohérence  $\sigma(x)$  présente des variations significatives, ces régimes demeurent différenciés :  $t_1$  correspond aux événements figés,  $t_2$  représente la zone active où se fabrique le présent, et  $t_1'$  regroupe les configurations morphogéniques potentielles.

Lorsque  $\sigma(x)$  atteint un niveau d'uniformité élevé, ces distinctions deviennent de moins en moins pertinentes.

Le présent cessent alors d'occuper un statut particulier.

Il n'est plus une région active du temps mais une zone intégrée dans un champ désormais homogène. Le passé, le présent et le futur ne disparaissent pas conceptuellement ; ils perdent leur fonction de régimes dynamiques distincts. Le temps cesse de produire des gradients, condition nécessaire au maintien d'une dynamique cosmique.

Ce phénomène peut être interprété comme une pacification du champ temporel. Les transitions internes deviennent marginales, les tensions s'éteignent et les couches temporelles convergent vers un état continu, dépourvu de direction privilégiée.

La temporalité persiste, mais réduite à une forme non évolutive.

## 7.3 — Extinction progressive des phénomènes lumineux et dynamiques

Dans le cadre du Big Sleep, la lumière connaît une transformation progressive liée à la disparition des gradients temporels. Sa propagation dépend directement de la cohérence  $\sigma(x)$  et des variations de tension  $\Delta t$ .

Lorsque ces gradients s'amenuisent, la lumière perd ses modes de propagation classiques : sa dynamique se ralentit, sa structure spectrale se réduit et elle tend vers un état quasi figé.

Cette extinction graduelle ne traduit pas une disparition de la lumière, mais l'incapacité croissante du champ temporel uniformisé à soutenir une propagation active.

La lumière converge vers un état analogue au photon à fréquence nulle primordial : une présence sans transport d'énergie ni information. Les dynamiques galactiques cessent de se renouveler, les mouvements deviennent imperceptibles à grande échelle, et le cosmos adopte un régime de stabilité profonde.

La diminution de l'activité lumineuse constitue ainsi l'indicateur le plus direct de la saturation morphogénique du temps.

Le Big Sleep révèle l'état final d'un univers dans lequel les gradients internes, après s'être progressivement dissipés, laissent place à une cohérence uniforme et durable.

## 7.4 — Dissolution des structures et uniformisation cosmique

À mesure que la lumière se réduit et que la cohérence temporelle tend vers l'uniformité, les structures morphogéniques perdent progressivement leur stabilité interne.

Les galaxies, privées des régulations lumineuses et des variations temporelles qui soutenaient auparavant leur dynamique, voient leurs mouvements internes décroître. Les amas galactiques, autrefois consolidés par les freeze-sphères primordiales, se dispersent peu à peu à mesure que ces noyaux n'engendrent plus de gradients suffisants pour maintenir des organisations orbitales structurées.

Cette dissolution ne correspond pas à un effondrement, mais à une perte progressive de différenciation.

Le champ temporel  $\tau(x,t)$ , devenu homogène, ne génère plus les contrastes nécessaires à la formation ou au maintien de la géométrie cosmique. L'espace, en tant que projection de la cohérence temporelle, cesse alors d'exhiber des propriétés distinctes. Il ne se contracte ni ne disparaît : il se déstructure par absence de gradients.

Dans cette phase ultime, l'univers converge vers un état d'équilibre maximal dans lequel espace, temps et phénomènes lumineux tendent vers une configuration indifférenciée.

Le cosmos cesse d'être un système dynamique et devient un champ temporel uniformisé, dépourvu de direction, de tension ou de régimes morphogéniques.

## 7.5 — Le Big Sleep : fin ou transition ?

Le Big Sleep ne doit pas être interprété comme une extinction définitive, mais comme un état de saturation temporelle.

Dans le cadre du VLCC, il correspond au moment où les tensions internes du temps sont entièrement dissipées et où aucune transformation n'est requise pour maintenir la stabilité globale. Le champ temporel atteint ainsi un niveau d'équilibre maximal.

Ce régime stable permet cependant l'existence de plusieurs scénarios conceptuels.

Le premier envisage une persistance indéfinie de cet état uniforme, sans gradients, sans propagation lumineuse et sans dynamique interne.

Le second suppose qu'une nouvelle instabilité puisse naître au sein du champ  $\tau(x,t)$ , réintroduisant un différentiel et amorçant un nouveau cycle morphogénique.

Le troisième envisage une dynamique cyclique : après une longue période d'uniformité totale, une nouvelle phase analogue au Big Spume pourrait émerger.

Dans cette perspective cyclique, le cosmos apparaît comme un système temporel alternant entre périodes d'activité et périodes de repos. Le Big Sleep n'est pas une finalité, mais une transition silencieuse vers une éventuelle reconfiguration morphogénique.

Il représente l'horizon conceptuel ultime du VLCC : non une fermeture, mais l'expression d'une potentialité en attente d'un nouveau régime de cohérence.

## Chapitre 8 — Freeze Spheres et mémoires fossiles du temps

### 8.1 — Nature temporelle des Freeze Spheres

Dans le cadre du VLCC, les Freeze Spheres ne correspondent ni à des objets géométriques effondrés ni à des singularités gravitationnelles au sens classique.

Elles désignent des régimes extrêmes du champ temporel dans lesquels l'évolution morphogénique a atteint un état limite. Le temps n'y disparaît pas ; il cesse de se reconfigurer. La mémoire profonde s'y épouse progressivement, la cohérence cesse de varier et la tension évolutive se stabilise à un niveau irréductible. Le présent y subsiste, mais sous une forme saturée, rigide, incapable de générer de nouvelles différenciations internes.

Ces régions apparaissent lorsque le champ temporel a dissipé l'ensemble de ses gradients structurants.

La densité temporelle y devient uniforme, non par effondrement, mais par saturation. Le flux morphogénique ne s'interrompt pas brutalement ; il s'éteint asymptotiquement.

Les Freeze Spheres incarnent ainsi des états terminaux du devenir temporel, où le temps demeure orienté mais privé de toute capacité de réorganisation locale.

Dans ces zones, la lumière active n'est pas absorbée ni détruite.

Elle tend vers son état limite, caractérisé par une fréquence quasi nulle et une durée effective très étendue. Ce comportement ne résulte pas d'un obstacle, mais de l'absence de gradients temporels capables de soutenir une dynamique photonique différenciée.

Les Freeze Spheres apparaissent ainsi comme des régions où le champ temporel et le champ lumineux atteignent conjointement leur régime de saturation.

## 8.2 — Propriétés morphogéniques des régimes de saturation temporelle

Les Freeze Spheres possèdent des propriétés morphogéniques spécifiques qui influencent profondément leur environnement.

À l'intérieur de ces régions, la cohérence temporelle a atteint un plateau stable. Les gradients s'y sont dissipés, rendant toute structuration interne impossible. En revanche, à leur périphérie, subsistent des zones de transition où le champ temporel tente encore de s'ajuster. Ces interfaces produisent des effets morphogéniques mesurables, non par attraction directe, mais par modulation progressive du présent environnant.

Contrairement aux objets gravitationnels classiques, les Freeze Spheres n'organisent pas leur voisinage par capture ou effondrement.

Elles imposent une limite structurelle au champ temporel, autour de laquelle les dynamiques se stabilisent ou s'éteignent. Leur influence est douce, diffuse, essentiellement régulatrice.

Elles bornent l'extension des structures sans les attirer activement.

Cette capacité à définir des frontières temporelles confère aux Freeze Spheres un rôle stabilisateur à grande échelle. Elles marquent les zones où le temps a atteint son régime terminal et où l'architecture morphogénique ne peut plus se complexifier.

## 8.3 — Freeze Spheres et structuration galactique

Dans le VLCC, la formation et l'évolution des galaxies ne s'organisent pas autour de noyaux de masse, mais autour de la dynamique du champ temporel distribué.

Les Freeze Spheres n'apparaissent pas comme des centres galactiques universels, mais comme des régimes externes susceptibles d'émerger dans les régions les plus diluées et les plus anciennes de l'évolution morphogénique.

Lorsqu'une galaxie possède une Zone III suffisamment étendue et faiblement structurée, le champ temporel peut s'approcher progressivement d'un régime de saturation. Ce processus conduit à des états de pré-Freeze, puis éventuellement à la formation d'une Freeze Sphere externe.

Dans ce cas, la lumière, la cohérence et la gravité morphogénique s'éteignent conjointement à grande distance du centre baryonique.

Les structures spirales, elliptiques ou irrégulières observées dans les galaxies ne sont pas générées par des Freeze Spheres centrales, mais par les gradients actifs du champ temporel interne.

Les Freeze Spheres, lorsqu'elles existent, délimitent au contraire les frontières ultimes de ces architectures, définissant les zones où l'évolution galactique cesse de produire des hiérarchies nouvelles.

## 8.4 — Mémoires fossiles du temps primordial

Certaines Freeze Spheres peuvent néanmoins conserver la trace de régimes temporels très anciens.

Dans ces cas particuliers, elles constituent des mémoires fossiles issues des premières phases du champ temporel, lorsque le présent n'était pas encore pleinement stabilisé. Ces reliques ne témoignent pas d'un temps absent, mais d'un temps arrivé à saturation avant l'établissement des architectures morphogéniques complexes.

Elles conservent ainsi l'empreinte de configurations primitives du champ temporel, non sous forme de discontinuités, mais comme des états stationnaires durables. Leur étude permet de reconstituer indirectement certaines étapes de la transition entre les régimes instables du Big Spume et la phase de structuration progressive du Big Flow.

Ces fossiles ne sont pas des singularités ; ils sont des états limites persistants, protégés par les lois morphogéniques qui interdisent toute rupture du présent.

## 8.5 — Rôle contemporain des Freeze Spheres

Dans l'univers actuel, les Freeze Spheres ne constituent ni des anomalies ni des moteurs actifs de structuration.

Elles représentent les frontières naturelles de l'évolution temporelle locale. Là où elles apparaissent, la gravité morphogénique s'éteint progressivement, la cohérence cesse de varier et la dynamique lumineuse devient quasi stationnaire.

Elles rappellent que l'univers ne se développe pas indéfiniment par complexification, mais qu'il atteint localement des états de saturation irréversibles. Les Freeze Spheres témoignent de cette limite interne du devenir, non comme une catastrophe, mais comme une stabilisation ultime du champ temporel.

Ainsi comprises, elles ne sont plus des zones de rupture, mais des marqueurs de maturité cosmique. Elles confirment que l'architecture du réel est gouvernée non par l'accumulation de matière, mais par la manière dont le temps, progressivement, épouse sa propre capacité à se transformer.

## Chapitre 9 — Le cosmos évolutif : dynamique interne du temps et sélection morphogénique

### 9.1 — Le cosmos comme système auto-organisé et auto-régulé

Dans le VLCC, le cosmos n'est pas un espace passif mais un système auto-organisé reposant sur la dynamique interne du temps.

Le champ temporel  $\tau(x,t)$ , loin d'être un simple fond neutre, agit comme un tissu actif réagissant en permanence aux variations locales de cohérence  $\sigma(x)$  et de tension  $\Delta t$ .

À chaque perturbation, le temps ajuste ses flux, compense ses déséquilibres et redistribue ses densités internes. Cette capacité d'auto-régulation confère au cosmos une stabilité globale remarquable, même lorsque ses structures locales sont en transformation constante.

Ce comportement évoque certains systèmes auto-référentiels de la biologie théorique ou des sciences des systèmes, où l'organisation émerge de processus internes plutôt que d'un agent extérieur.

Cependant, la différence fondamentale est que, dans le VLCC, il n'existe aucune matière vivante ni information génétique à l'origine de cette auto-organisation : c'est le temps lui-même qui joue ce rôle. Le cosmos se comporte comme une architecture vivante, mais une architecture dont les briques sont temporelles plutôt que matérielles.

Cette autopoïèse temporelle explique pourquoi l'univers demeure lisible et cohérent malgré sa complexité immense. La dynamique du temps agit comme un méta-principe organisateur capable de générer, stabiliser et transformer des structures à toutes les échelles, depuis les cycles lumineux locaux jusqu'aux filaments galactiques.

L'univers évolutif du VLCC est ainsi un système vivant de cohérence, façonné par ses propres tensions internes.

## 9.2 — La logique adaptative profonde du champ temporel

Le champ temporel  $\tau(x,t)$  manifeste un comportement adaptatif d'une sophistication remarquable.

Lorsqu'une région du cosmos rencontre une baisse de cohérence  $\sigma(x)$ , la tension  $\Delta t$  y augmente spontanément, créant un gradient temporel. Ce gradient attire alors des flux provenant de régions plus stables, réinjectant de la cohérence là où elle fait défaut.

Ce mécanisme d'ajustement dynamique rappelle les processus homéostatiques observés dans les systèmes biologiques, où un équilibre interne est constamment maintenu malgré les perturbations.

Pourtant, il ne s'agit pas ici d'un mécanisme biologique, mais d'une propriété intrinsèque du temps. Le champ  $\tau(x,t)$  ajuste sa propre structure pour éviter l'effondrement du présent  $t_2$  et préserver la continuité morphogénique.

Le temps se comporte comme un système cybernétique primitif, régulé par un principe interne qui n'est ni conscient ni intentionnel mais entièrement structurel. Cette logique adaptative assure que les fluctuations locales ne dégénèrent pas en chaos global.

Grâce à cette autorégulation, le cosmos maintient un seuil minimal de cohérence lui permettant de rester morphogéniquement actif. Les zones instables sont absorbées, compensées ou dissipées par le flux temporel.

Le présent  $t_2$  demeure ainsi une région émergente mais robuste, capable de soutenir l'organisation des structures et d'empêcher le cosmos de retomber dans les brouillards incohérents du pré-temps.

La stabilité de l'univers observable repose en dernière instance sur cette adaptativité profonde du champ temporel.

## 9.3 — Sélection morphogénique : un principe d'évolution temporelle

Dans le VLCC, l'évolution cosmique ne repose pas sur la sélection darwinienne mais sur un principe beaucoup plus fondamental : la sélection morphogénique.

Ce processus n'implique ni compétition biologique, ni reproduction au sens traditionnel, mais une différentiation entre états temporels.

Les zones du temps qui présentent une cohérence élevée  $\sigma(x)$  tendent naturellement à se renforcer ; leur stabilité permet la propagation de cette cohérence au-delà de leur région initiale, créant des nuages temporels de plus en plus robustes.

À l'inverse, les zones instables ou chaotiques, incapables d'entretenir un présent cohérent, sont vouées à se fragmenter, à se dissoudre ou à se figer. Les freeze-sphères représentent les traces de cette sélection primordiale : ce sont les régions où le flux temporel n'a pas réussi à se stabiliser et a gelé sous forme fossile. Elles portent en elles l'empreinte directe des premiers échecs de la cohérence temporelle, tandis que les régions où  $\sigma(x)$  a pu croître ont donné naissance à l'espace, à la lumière active et aux structures cosmologiques.

Le cosmos évolue donc par différentiation progressive entre états temporels robustes et fragiles.

Cette dynamique équivaut à une phylogénèse du temps lui-même : les régimes temporels les plus stables survivent, se propagent, se complexifient et deviennent la trame du cosmos visible.

Ainsi, le VLCC introduit une véritable théorie évolutive du temps, où la cohérence constitue l'analogue d'un avantage sélectif.

#### **9.4 — La place centrale des freeze-sphères dans l'évolution cosmique**

Les freeze-sphères occupent une position centrale dans l'évolution cosmique telle que l'énonce le VLCC.

Elles ne sont pas seulement des résidus du Big Spume, mais des pivots autour desquels s'organisent les grandes structures du cosmos. Leur immobilité temporelle produit des contrastes massifs de cohérence  $\sigma(x)$ , générant des gradients qui orientent la formation des cycles morphogéniques. Ces gradients deviennent, durant le Big Flow, les axes autour desquels la lumière active et les dynamiques temporelles s'enroulent pour former galaxies, amas et superamas.

La sélection morphogénique favorise la présence de ces noyaux gelés car ils offrent une stabilité minimale indispensable au maintien d'un présent  $t_2$  structuré.

Là où il manque une telle ancre temporelle, les fluctuations de cohérence ont tendance à s'étendre jusqu'à dissoudre les dynamiques locales. Les freeze-sphères jouent ainsi le rôle de charpentes du cosmos : des supports temporels qui maintiennent la cohérence au sein de régions autrement instables.

On peut alors concevoir le cosmos comme un édifice reposant non sur des fondations matérielles, mais sur des articulations temporelles.

Ces zones figées constituent une ossature invisible autour de laquelle se déploie l'architecture cosmique. Elles déterminent la géométrie émergente de l'univers tout autant que les structures lumineuses observables, incarnant la mémoire des premières tensions du temps.

### **9.5 — Vers une écologie du temps : interactions, niches et dynamiques**

Le VLCC permet de concevoir l'univers comme une véritable écologie du temps, structurée par les interactions entre zones gelées, zones cohérentes et zones morphogéniques.

Chaque région du champ temporel  $\tau(x,t)$  possède une fonction comparable à celle des niches écologiques : certaines zones jouent le rôle de réservoirs de cohérence, assurant la stabilité du présent ; d'autres agissent comme dissipateurs, absorbant les fluctuations ; d'autres encore fonctionnent comme foyers d'instabilité, susceptibles de générer de nouvelles structures.

Dans cette perspective, les freeze-sphères apparaissent comme des niches temporelles essentielles.

Elles sculptent leur environnement en imposant des gradients durables, guidant la formation de structures régulières. Leur interaction avec des zones plus actives de  $t_2$  crée des réseaux d'équilibres dynamiques dont découlent les filaments, les amas et les superstructures. Le cosmos se révèle alors comme un tissu d'interactions temporelles où chaque zone, en modulant la cohérence, influence l'évolution des autres.

Ainsi, l'univers n'est pas un système uniforme mais un réseau d'environnements temporels interconnectés.

Les dynamiques globales émergent des interactions entre ces niches, par propagation, atténuation ou amplification de cohérence. Cette écologie du temps constitue l'un des apports conceptuels majeurs du VLCC, car elle révèle que la morphogénèse cosmique découle avant tout des relations internes du champ temporel plutôt que de forces externes.

### **9.6 — Le VLCC et l'idée d'un organisme cosmique**

Lorsque l'on rassemble les principes fondamentaux du VLCC — autopoïèse temporelle, sélection morphogénique, écologie du temps et rôle matriciel des freeze-sphères — une vision d'ensemble apparaît : celle d'un cosmos qui se comporte comme un organisme.

Il ne s'agit pas d'une comparaison métaphorique, mais d'un constat émergent. Le champ  $\tau(x,t)$  possède une capacité d'auto-organisation, d'auto-régulation et d'adaptation qui dépasse les modèles classiques fondés sur la seule dynamique spatiale ou matérielle.

Dans cette perspective, chaque composant trouve une fonction structurante : la lumière active se comporte comme un système circulatoire transportant la cohérence à travers  $t_2$ , les freeze-sphères (central et externe) jouent le rôle d'un squelette mémoriel conférant au cosmos une armature temporelle stable, et la cohérence  $\sigma(x)$  agit comme une forme de métabolisme régulant la continuité du présent.

Quant aux transitions morphogéniques — Big Spume, Big Glow, Big Flow, Big Sleep — elles s'apparentent à des stades d'évolution profonde, évoquant un cycle de vie posé non sur la matière, mais sur la dynamique du temps.

Le cosmos évolutif décrit par le VLCC devient ainsi un système réflexif, un organisme temporel capable de produire, maintenir et transformer sa propre structure. Il n'est pas vivant au sens biologique, mais il manifeste des propriétés systémiques que l'on croyait réservées au vivant.

Le VLCC révèle que ces propriétés émergent naturellement dès lors que le temps cesse d'être un simple paramètre pour devenir la substance fondamentale du réel.

Un cosmos qui respire par ses gradients, se souvient par ses freeze-sphères et évolue par sa cohérence devient un organisme d'un genre nouveau : un organisme cosmique.

## Chapitre 10 — La conscience cosmique : cohérence, perception et morphodynamique

### 10.1 — La cohérence comme proto-perception cosmique

Dans le VLCC, la cohérence  $\sigma(x)$  constitue bien plus qu'un simple indicateur de stabilité du temps : elle représente la première forme de sensibilité interne du cosmos à sa propre structure.

Lorsque  $\sigma(x)$  dépasse un seuil critique, le temps acquiert la capacité de générer un présent continu, capable de soutenir des transformations régulières. Cette émergence d'un présent structuré équivaut à une forme rudimentaire de perception cosmique, un état où le temps devient attentif à ses propres variations.

Cette proto-perception n'a rien d'une conscience biologique.

Elle désigne plutôt la manière dont le champ temporel reconnaît, stabilise et module ses gradients internes pour préserver sa continuité. En ce sens,  $\sigma(x)$  agit comme un mécanisme d'auto-référentialité primaire. Le temps « sent » ses irrégularités non par un acte cognitif, mais par une dynamique interne qui le pousse à restaurer une cohérence locale.

Cette logique confère au cosmos une capacité intrinsèque à se maintenir et à s'ajuster, propriété essentielle aux structures complexes.

C'est sur ce socle de proto-perception temporelle que les formes supérieures de conscience pourront émerger, beaucoup plus tard, dans des systèmes où la densité d'information devient suffisamment riche pour soutenir une réflexivité authentique.

## 10.2 — Temps, information et émergence des patterns morphogéniques

Dans le VLCC, le temps  $\tau(x,t)$  n'est pas un simple écoulement : il constitue le substrat informationnel fondamental du réel.

Les gradients de cohérence, les tensions  $\Delta t$  et les fluctuations internes forment un réseau de différences qui encode l'organisation future du cosmos. Avant même l'apparition de l'espace, le temps porte en lui les motifs morphogéniques qui structureront les grandes phases de l'évolution cosmique.

Cette dynamique interne du temps agit comme une topologie informationnelle pré-géométrique. Les structures observables — cycles lumineux, réseaux galactiques, configurations locales — ne sont que les manifestations tardives de patterns déjà inscrits dans la texture temporelle.

Le temps façonne l'information en produisant des configurations stables, ce qui permet à la lumière et à l'espace d'émerger de manière lisible et structurée.

Dans cette perspective, la perception devient l'une des multiples expressions possibles de cette organisation temporelle de l'information. Les systèmes complexes dotés d'un fort degré de cohérence accumulent, transforment et réinjectent de l'information dans leurs propres flux temporels.

L'univers apparaît alors comme une architecture d'information animée par les dynamiques internes du temps.

## 10.3 — La conscience comme phénomène émergent du flux temporel

Dans une cosmologie fondée sur la dynamique temporelle, la conscience ne peut être considérée comme un simple épiphénomène biologique.

Elle correspond plutôt à l'émergence d'un régime particulier du flux temporel où un système parvient à stabiliser un présent suffisamment épais pour traiter et recoder ses propres flux d'information. La conscience apparaît ainsi lorsqu'un domaine de cohérence  $\sigma(x)$  devient capable de se réfléchir lui-même dans ses transformations.

Dans les systèmes biologiques complexes, cette auto-référentialité se manifeste par l'émergence de cycles d'information fermés, où les données entrantes et sortantes sont comparées, modulées et réinterprétées.

Ces cycles reposent entièrement sur la capacité du temps local à maintenir une continuité interne, condition indispensable pour l'auto-organisation cognitive. La conscience n'est pas un miracle : elle est un effet morphogénique produit par la structure temporelle locale.

Ainsi le VLCC propose une continuité conceptuelle entre la proto-perception cosmique, les formes primitives d'organisation temporelle et l'apparition de la conscience dans les systèmes vivants.

La conscience n'est pas étrangère au cosmos : elle en est l'une des expressions possibles, lorsque les dynamiques temporelles atteignent un seuil critique de cohérence et de réflexivité.

#### **10.4 — Mécanismes morphodynamiques du champ temporel et auto-référentialité**

Lorsque les tensions temporelles  $\Delta t$  et la cohérence  $\sigma(x)$  atteignent un régime suffisamment stable, le champ temporel devient capable de soutenir des cycles fermés d'information.

Ces cycles, comparables à des attracteurs morphodynamiques, forment la base de l'auto-référentialité du cosmos. Le temps ne se contente plus d'écouler ses flux : il les replie, les réinterprète et les renvoie vers eux-mêmes, créant des boucles de persistance informationnelle.

Au voisinage des grandes structures morphogéniques, ces processus deviennent particulièrement intenses. Le champ temporel y déploie des mécanismes internes de résonance, amplifiant certaines fluctuations au détriment d'autres.

Ces zones de résonance fonctionnent comme de véritables unités de traitement du réel : elles filtrent les irrégularités, réorganisent les gradients et stabilisent des schémas temporels cohérents.

Dans cette dynamique se dessine une hiérarchie de niveaux perceptifs. Le plus primitif correspond à la cohérence brute, simple maintien d'un présent continu.

À des niveaux plus avancés, le champ temporel développe une capacité à se réfléchir lui-même à travers ses propres résonances. La conscience cosmique, entendue au sens large, émerge alors comme la propriété de certaines régions du temps capables d'entretenir et de transformer leurs cycles d'information internes.

## **10.5 — Cosmologie consciente : un univers qui se lit lui-même**

Le VLCC suggère que l'univers, loin d'être un ensemble d'objets muets, est un système auto-perceptif.

Cette auto-perception n'évoque en rien une conscience humaine : elle désigne la manière dont le cosmos réagit à ses propres gradients, les ajuste et les stabilise. La lumière joue un rôle essentiel dans ce processus : en révélant l'état local du champ temporel, elle permet au cosmos de manifester et de réguler sa propre organisation.

Dans cette perspective, chaque structure cosmique — étoile, galaxie, filament — n'est pas un objet matériel isolé, mais une interprétation morphogénique du flux temporel.

L'univers « lit » ses propres tensions à travers l'architecture lumineuse qu'elles génèrent. La conscience cosmique devient alors une propriété distribuée, diffuse, intrinsèquement liée à la cohérence du temps. Elle n'est pas centralisée mais émerge des relations qui tissent la trame du réel.

Ce modèle introduit une vision radicalement nouvelle du cosmos : un univers qui, à travers ses propres structures, déploie des formes d'auto-référence.

La cosmologie consciente proposée par le VLCC ne place pas la conscience au sommet de la complexité biologique, mais au cœur même de la dynamique temporelle dont toute structure émane.

## **10.6 — Conscience, lumière et destin temporel du cosmos**

La lumière, dans le VLCC, entretient une affinité profonde avec la conscience.

Toutes deux dépendent d'un présent stable, d'un flux cohérent et d'une continuité temporelle suffisante pour permettre la formation de cycles informationnels fermés.

Lorsque  $\sigma(x)$  diminue progressivement à l'approche du Big Sleep, les conditions nécessaires au maintien de ces cycles disparaissent.

Dans un cosmos où les gradients temporels s'effacent, la lumière active finit par s'éteindre, et la conscience — sous toutes ses formes — disparaît avec elle. Non par annihilation brutale, mais par dissolution progressive du présent structuré. L'univers devient alors un vaste océan de temps uniformisé, incapable de soutenir des phénomènes perceptifs ou auto-référentiels.

Pourtant, cette extinction n'est peut-être pas définitive.

Si les tensions internes du temps venaient un jour à remonter, un nouveau cycle d'organisation pourrait réapparaître : une nouvelle cohérence, une nouvelle lumière, et peut-être même de nouvelles formes de conscience cosmique.

Le destin du réel pourrait donc être cyclique, chaque ère de repos morphogénique préparant l'émergence d'un nouvel éveil temporel.

### **10.7— Vers une dynamique interne du temps.**

Les chapitres précédents ont décrit le temps comme un champ doté d'une structure interne, caractérisé par sa densité  $\tau(x,t)$ , sa tension  $\Delta t$  et sa cohérence  $\sigma(x)$ . Une telle description suggère l'existence d'un principe unificateur gouvernant l'évolution de ces composantes.

Dans la Partie II, cette intuition sera formalisée par une action temporelle  $S[\tau, \sigma]$ , dont les conditions de stationnarité détermineront l'évolution cohérente du champ temporel. La Partie I pose ainsi les fondations conceptuelles permettant d'introduire une dynamique variationnelle du temps.

## **Chapitre 11 — Architecture du champ T tripartite : PNMD, LCS et structuration profonde du temps**

### **11.1 — La nécessité d'une structuration interne du temps**

Le VLCC invite à rompre avec toute conception du temps comme simple paramètre continu pour y voir un organisme dynamique doté de plusieurs strates internes.

L'idée selon laquelle le présent serait une frontière infinitésimale entre un passé révolu et un futur encore vide se révèle insuffisante pour rendre compte de sa stabilité morphogénique.

Rien, dans une conception purement paramétrique du temps, n'explique pourquoi le présent persiste suffisamment pour soutenir l'existence de la lumière active ni pourquoi les phénomènes ne se dissolvent pas aussitôt qu'ils apparaissent. Le présent possède une épaisseur phénoménale, une consistance interne qui échappe aux modèles métriques classiques.

Cette épaisseur ne peut être décrite qu'en admettant que le temps se structure en plusieurs états interdépendants. Les trois couches constitutives du champ temporel —  $t_1$ ,  $t_2$  et  $t_1'$  — ne résultent pas d'un découpage conceptuel arbitraire mais d'une nécessité physique : seules des strates distinctes, dotées chacune d'un régime de cohérence et de densité propre, peuvent produire un présent capable de se maintenir.

La continuité du réel exige un système temporel suffisamment articulé pour absorber les fluctuations, stabiliser les structures et générer l'espace interne où la lumière peut se propager.

Le présent apparaît alors comme une région active du temps, un lieu où se fabrique la forme du réel. Il est le résultat d'une interaction constante entre les trois couches du champ temporal unique, chacune modulant la stabilité des autres.

En l'absence d'une telle architecture, le temps serait trop lisse pour porter les phénomènes, ou trop chaotique pour laisser émerger une cohérence durable.

C'est en posant cette structure unifiée, tripartite et triphasée, comme fondement que le VLCC peut rendre intelligible la morphogénèse temporelle et préparer l'analyse des dynamiques internes.

## **11.2 — $t_1$ : la couche gelée et la mémoire morphogénique**

$t_1$  constitue la base la plus dense et la plus immobile du champ temporel. Dans ce régime, la cohérence interne cesse de circuler et se condense en configurations figées.

$t_1$  n'est pas un passé historique : il ne contient pas des événements mais des formes stabilisées, des traces morphogéniques issues des processus internes du temps. Cette couche agit comme un socle silencieux exerçant une pression stabilisatrice sur le présent. Sans elle, la dynamique du temps se disperserait dans l'indétermination et aucune structure ne pourrait persister.

La densité extrême de  $t_1$  interdit toute fluctuation : la moindre tentative de mouvement est immédiatement absorbée par la rigidité du régime. C'est cette absence totale de circulation de la cohérence qui explique le rôle fondamental de  $t_1$  comme archive profonde du temps. Les configurations qui s'y figent ne sont pas inertes, mais constituent des éléments de stabilisation qui soutiennent le travail morphogénique du présent.

Les freeze-sphères central en sont les manifestations les plus radicales. Elles apparaissent lorsque la dynamique interne d'une région du champ temporel s'effondre d'un seul bloc, produisant une condensation brutale de  $t_1$ .

Dans ces zones, le temps se ferme sur lui-même et la lumière perd toute possibilité de propagation. Les freeze-sphères agissent alors comme des noyaux impersonnels de stabilité, modifiant la dynamique des régions voisines et révélant la puissance structurante du régime gelé.

### **11.3 — $t_2$ : la cohérence active et la fabrication du présent**

$t_2$  est la couche active du champ temporel, le seul régime où la cohérence peut circuler suffisamment pour soutenir la lumière et organiser les phénomènes.

Le présent n'y est pas un point, mais un processus continu d'actualisation. La cohérence  $\sigma(x)$  y circule de manière régulée, portée par un équilibre délicat entre la tension interne  $\Delta t$  et la densité temporelle  $\tau(x,t)$ . C'est dans cette zone que le réel se fabrique, que les formes se maintiennent et que les effets lumineux deviennent possibles.

La fonction de  $t_2$  est double : stabiliser les configurations héritées de  $t_1'$  et empêcher leur dissolution immédiate. Les portions du champ qui atteignent un niveau suffisant de cohérence y deviennent des fragments du présent, tandis que celles qui se désagrègent retournent vers les instabilités de  $t_1'$ .

Certaines structures, trop rigides ou trop denses, glissent vers  $t_1$  où elles se figent et deviennent des éléments de mémoire morphogénique. Ce va-et-vient permanent entre ces trois segments du temps constitue le moteur du processus temporel.

$t_2$  représente ainsi la scène du réel observable : c'est le seul régime dans lequel les phénomènes disposent d'une durée suffisante pour se manifester, interagir et laisser une trace. La stabilité de  $t_2$  conditionne l'ensemble du Big Flow, car c'est dans cette zone que la lumière organise la continuité du monde.

Toute altération majeure de son équilibre interne pourrait entraîner une contraction vers  $t_1$  ou une dérive vers  $t_1'$ , modifiant profondément la texture du présent.

### **11.4 — $t_1'$ : la couche morphogénique et les potentialités temporelles**

$t_1'$  représente le régime le plus instable et le plus subtil du champ temporel, une zone où les formes n'ont pas encore atteint le niveau de cohérence nécessaire pour devenir présentes mais où elles ne sont plus entièrement indéterminées.

Les structures qui s'y esquisSENT ne sont ni des événements futurs ni des projections géométriques ; elles constituent des embryons de cohérence, des lignes de force temporelles encore trop fragiles pour s'auto-soutenir.

Dans cette région pré-morphogénique, le temps explore silencieusement des possibilités, déploie des motifs provisoires et prépare des configurations qui ne seront actualisées que si la cohérence locale franchit un seuil critique.

$t_1'$  fonctionne ainsi comme une réserve dynamique, un espace de potentialités où les trajectoires temporelles existent sous forme virtuelle. Certaines de ces trajectoires demeureront inabouties, se dispersant avant même d'avoir acquis une forme suffisante.

D'autres se renforceront progressivement jusqu'à atteindre un niveau de cohérence permettant leur basculement dans  $t_2$ , où elles prendront la forme d'un présent effectif.

Ce passage n'a rien d'automatique : il dépend d'un équilibre délicat entre cohérence, densité locale et tensions internes.  $t_1'$  confère au temps son caractère génératif, faisant de l'univers non pas un déroulement figé mais un processus continuellement créateur.

La présence de  $t_1'$  au sein de l'architecture temporelle donne au cosmos sa capacité d'innovation. Sans cette couche instable, aucune structure nouvelle ne pourrait émerger ; le temps se contenterait de reproduire indéfiniment ses propres stabilités.  $t_1'$  assure au contraire une ouverture permanente, offrant au champ temporel la possibilité de renouveler ce qu'il porte, de transformer ses propres lois locales et d'anticiper des formes encore inédites du réel.

### **11.5 — Le glissement $\Delta t$ : opérateur morphogénique essentiel**

Le glissement  $\Delta t$  désigne le mécanisme interne par lequel les couches  $t_1$ ,  $t_2$  et  $t_1'$  se transforment les unes dans les autres.

Il ne s'agit ni d'un déplacement dans le temps ni d'une dynamique géométrique :  $\Delta t$  exprime la manière dont le champ temporel réorganise sa cohérence interne. Lorsqu'une région de  $t_2$  perd en cohérence, sa structure se densifie progressivement jusqu'à rejoindre  $t_1$ , où elle se fige en mémoire morphogénique. À l'inverse, lorsqu'une zone de  $t_1'$  gagne en cohérence, elle franchit peu à peu les seuils nécessaires pour devenir un fragment du présent dans  $t_2$ .

Ces transitions ne surviennent jamais sous forme de ruptures. Elles s'opèrent par ajustements successifs, selon une dynamique lente imposée par la densité temporelle et les tensions internes du champ.

$\Delta t$  exprime cette modulation, ce mouvement imperceptible par lequel le temps change d'état sans cesser d'être lui-même. La continuité morphogénique est toujours préservée, même lorsque les régimes internes se réorganisent profondément.

Le glissement  $\Delta t$  assure ainsi la cohésion du temps. Grâce à lui, les zones stables de  $t_1$ , les dynamiques actives de  $t_2$  et les embryons de cohérence de  $t_1'$  ne demeurent pas des régions isolées, mais les phases d'un même organisme.

$\Delta t$  tisse les liens internes du champ temporel et garantit que ses transformations demeurent intégrées dans un cadre sans métrique préexistante.

## **11.6 — Cohérence $\sigma(x)$ et densité temporelle $\tau(x,t)$ dans la dynamique tripartite**

La cohérence  $\sigma(x)$  mesure la capacité d'une région du champ temporel à maintenir une structure continue ; la densité temporelle  $\tau(x,t)$  évalue son degré de compression ou de détente interne.

Ces deux paramètres gouvernent l'ensemble des transitions entre les états du temps. Dans  $t_1$ , la densité atteint un niveau si élevé que la cohérence se trouve immobilisée : aucune circulation n'est possible et les formes se figent en mémoire.

Dans  $t_2$ , la densité et la cohérence s'équilibrivent suffisamment pour que la lumière active puisse circuler et pour que le présent puisse s'actualiser de manière stable.

Dans  $t_1'$ , la densité est trop faible pour stabiliser la cohérence.

Les structures y demeurent embryonnaires, incapables de se maintenir sans support. Ce manque de densité explique la nature fluctuante de ce régime, dans lequel chaque embryon de forme peut soit se dissoudre, soit se renforcer jusqu'à atteindre les seuils qui permettent le passage vers  $t_2$ . Les états internes du temps ne doivent ainsi être compris ni comme des niveaux distincts ni comme des régions séparées, mais comme des régimes définis par l'articulation dynamique entre cohérence et densité.

Cette articulation permet de comprendre pourquoi le temps peut se reconfigurer sans perdre son identité : les trois états du champ T unifié n'existent pas comme des blocs, mais comme des équilibres possibles entre  $\sigma(x)$  et  $\tau(x,t)$ .

C'est leur interaction continue qui fonde la stabilité du présent, la mémoire du passé morphogénique et la réserve des formes futures.

## **11.7 — Le Principe de Non-Métricité Dynamique (PNMD)**

Le Principe de Non-Métricité Dynamique affirme que le champ temporel ne possède aucune métrique intrinsèque et que les notions de distance ou de durée ne constituent pas des propriétés fondamentales du temps mais des manifestations locales de la cohérence.

Cette non-métricité n'est pas un simple retrait conceptuel : elle découle directement du comportement interne du champ T, dont l'organisation dépend exclusivement des variations de densité et de cohérence. Là où la cohérence devient suffisante pour stabiliser la propagation lumineuse, une métricité locale émerge ; là où elle se refroidit ou se disperse, cette métricité disparaît et ne laisse subsister que l'agencement interne du champ.

Cette absence de métrique fondamentale rend possible l'existence des trois segments temporelles, car aucune géométrie préétablie ne constraint le champ à rester dans un état déterminé.  $t_2$  peut ainsi déployer une métricité stable,  $t_1$  peut s'y soustraire totalement, et  $t_1'$  peut demeurer dans un état d'indétermination où les distances ne cessent de se reconfigurer.

Le PNMD donne au temps sa plasticité essentielle et explique pourquoi les transitions entre couches ne s'accompagnent d'aucune discontinuité géométrique. Le passage d'un régime à un autre n'altère pas un espace préexistant : il transforme le temps lui-même.

### **11.8 — La Loi de Continuité Structurelle (LCS)**

Si la PNMD assure une plasticité radicale des régimes internes, la Loi de Continuité Structurelle en constitue le contrepoint nécessaire.

Elle stipule que, malgré les réorganisations profondes du champ temporel, aucune transition ne peut produire une rupture dans la structure du temps. La continuité morphogénique doit être maintenue en toute circonstance, y compris lorsque  $t_2$  s'effondre vers  $t_1$  ou lorsque  $t_1'$  acquiert suffisamment de cohérence pour devenir présent.

Le champ temporel n'autorise aucune fragmentation, aucune interruption totale, aucun isolement de ses couches internes.

La LCS joue le rôle d'une contrainte silencieuse qui protège l'unité du champ T.

Elle garantit que la cohérence peut toujours circuler — fût-ce sous une forme affaiblie — et qu'aucune zone ne se dissocie entièrement du reste du temps. Même les freeze-sphères, manifestations extrêmes du régime  $t_1$ , ne produisent pas de rupture absolue : elles modifient profondément la dynamique locale sans jamais exclure la région concernée de la continuité générale. Cette loi explique pourquoi le présent peut se maintenir comme un flux stable et pourquoi la lumière ne subit jamais d'interruption définitive.

### **11.9 — Articulation PNMD-LCS : plasticité et stabilité du temps**

L'articulation entre la Non-Métricité Dynamique et la Continuité Structurelle constitue l'un des piliers ontologiques du VLCC.

La PNMD ouvre l'espace des possibles en libérant le temps de toute géométrie fixe ; elle permet l'existence de plusieurs états internes et rend pensable leur transformation mutuelle.

La LCS, quant à elle, empêche cette plasticité de se dissoudre dans le chaos morphogénique. Ensemble, elles instaurent un équilibre où le temps peut varier, se densifier, se détendre ou se réorganiser sans jamais perdre son identité.

Sans le PNMD, le champ temporel serait trop rigide pour accueillir la diversité de ses états internes.

Sans la LCS, il serait trop fluide pour maintenir la cohérence du présent.

Leur conjonction rend possible un cosmos qui se recompose continuellement tout en conservant une unité interne indéfectible. La dynamique tripartite du champ unique T naît précisément de cette tension féconde entre plasticité et stabilité, permettant au présent d'exister comme un équilibre toujours reconstruit.

## **Chapitre 12 — Les États Internes du Temps : Structure, Régimes et Transitions Morphogéniques**

### **12.1 — Position du problème : pourquoi le temps possède des états internes**

Comprendre les états internes du temps dans le cadre du VLCC implique de rompre avec toute conception linéaire ou strictement géométrique du temps.

Le temps n'y est ni un déroulement uniforme ni un fond neutre supportant les phénomènes, mais un milieu dynamique possédant des régimes internes différenciés. Ces régimes déterminent la stabilité des phénomènes, la possibilité même de la lumière active et l'organisation morphogénique du cosmos. Le temps acquiert ainsi une profondeur propre, irréductible à la simple progression d'un paramètre abstrait.

Les états internes du temps ne constituent pas des catégories conceptuelles mais des configurations physiques du champ temporel. Ils émergent, se stabilisent, disparaissent ou interagissent selon les tensions et les glissements  $\Delta t$  qui parcouruent le champ.

Ce sont ces interactions qui permettent au présent d'exister comme un état cohérent plutôt que comme une limite mince et indéfinie entre un passé et un futur idéalisés.

Le présent devient un régime dynamique, soutenu par des conditions internes précises qui lui confèrent sa consistance.

Décrire ces états internes est indispensable pour formuler une cosmologie fondée sur la morphogénèse temporelle. Le VLCC repose sur la thèse que le temps organise et génère le réel autant qu'il l'accompagne.

C'est donc en identifiant les régimes internes du champ temporel que l'on peut comprendre comment le cosmos se maintient, comment il évolue et comment il produit des phénomènes cohérents malgré la plasticité radicale qui le traverse.

## **12.2 — $t_1$ : le régime gelé et la mémoire morphogénique du temps**

$t_1$  correspond à l'état de densité maximale du champ temporel, un régime où la cohérence interne cesse de circuler et se solidifie en une structure immobile.

Dans ce domaine gelé, les fluctuations temporelles se résorbent immédiatement, interdisant toute propagation lumineuse ou activité interne.  $t_1$  n'est pas un passé historique mais une mémoire morphogénique : il conserve les formes stabilisées issues de glissements antérieurs, constituant un socle immobile sur lequel le présent peut se construire.

La rigidité de  $t_1$  empêche la moindre transformation interne.

Cette immobilité absolue en fait la base silencieuse du champ temporel, l'arrière-plan à partir duquel  $t_2$  peut maintenir son équilibre. Les formes qui s'y figent ne disparaissent pas ; elles deviennent des éléments de cohérence gelée, des structures stabilisatrices qui conditionnent la dynamique du présent.

$t_1$  joue ainsi un rôle essentiel dans l'économie du temps : il garantit la persistance des structures en leur offrant une mémoire non évolutive, indépendante des fluctuations du champ.

Les freeze-sphères représentent l'expression la plus radicale de ce régime.

Lorsqu'une région du champ temporel perd brutalement sa cohérence, la densité y augmente jusqu'à ce que le temps se referme sur lui-même en emprisonnant sa propre lumière. Ces zones gelées témoignent de la puissance de  $t_1$  : elles forcent localement la structure du temps à se stabiliser, modifiant la dynamique du réel à leur périphérie et révélant la profondeur de la mémoire morphogénique.

## **12.3 — $t_2$ : le temps cohérent et l'actualisation du présent**

$t_2$  est le seul régime du temps capable de soutenir un flux cohérent et de permettre la propagation de la lumière active.

La densité temporelle y est assez équilibrée pour que la cohérence  $\sigma(x)$  puisse circuler sans se dissoudre ni se figer. Le présent, dans ce régime, n'est pas un instant ponctuel : il est un processus actif qui maintient en permanence un équilibre subtil entre tension interne et circulation lumineuse.

$t_2$  constitue le domaine de l'actualisation du réel.

C'est dans cet état que les phénomènes prennent forme, que les structures cosmologiques se maintiennent et que les variations internes du champ temporel deviennent perceptibles.

La fonction de  $t_2$  est double : accueillir les configurations émergentes issues de  $t_1'$  et stabiliser celles qui risqueraient de se dissoudre dans l'indétermination. Certaines portions de  $t_2$ , trop denses ou trop rigides, glissent vers  $t_1$  où elles se figent ; d'autres, encore instables, retournent vers  $t_1'$ .

La stabilité de  $t_2$  détermine l'ensemble du Big Flow, car c'est dans ce régime que la lumière active peut révéler les phénomènes et organiser la continuité du monde.

Toute altération majeure de son équilibre interne pourrait transformer la texture du présent, entraînant soit une contraction vers  $t_1$ , soit une dérive vers  $t_1'$ .  $t_2$  représente ainsi l'armature même du temps vécu, la surface active où se fabrique la cohérence du réel.

## 12.4 — $t_1'$ : le futur morphogénique et l'espace des potentialités

$t_1'$  désigne l'état le plus délicat du champ temporel, une région encore en gestation où la cohérence demeure trop faible pour soutenir la constitution d'un présent, mais suffisamment organisée pour esquisser des formes possibles.

Contrairement à l'idée intuitive d'un futur géométrique ou d'un ensemble d'événements déjà inscrits,  $t_1'$  se présente comme un espace morphogénique, un domaine où le temps élaboré silencieusement des structures embryonnaires.

Ces embryons de cohérence ne possèdent pas encore la stabilité nécessaire pour se maintenir par eux-mêmes ; ils oscillent entre l'émergence et la dissolution, reflétant la fragilité de ce régime pré-phénoménal.

Certaines de ces configurations demeureront inachevées, absorbées avant même d'avoir atteint une forme déterminée.

D'autres, plus robustes, parviendront à franchir les seuils critiques de cohérence et basculeront alors dans  $t_2$  à travers un glissement  $\Delta t$ . Ce processus ne transforme pas un futur prédéfini en présent : il actualise un motif qui n'existe jusqu'à l'état potentiel. Le champ temporel déploie ainsi  $t_1'$  comme un réservoir de possibles, une réserve dynamique où se loge la créativité propre du cosmos.

Sans  $t_1'$ , le temps serait condamné à répéter indéfiniment ses propres structures. Avec cette couche instable, il se dote d'un espace prospectif où peuvent apparaître des formes encore inédites.  $t_1'$  incarne donc la puissance génératrice du temps, la matrice indispensable à tout renouvellement morphogénique et à l'évolution continue du champ temporel.

## 12.5 — PNMD et dynamique interne des trois états

La Non-Métricité Dynamique affirme que le champ temporel ne repose sur aucune métrique fondamentale et que les distances ou durées ne sont jamais des propriétés intrinsèques du temps.

Elles émergent uniquement lorsque la cohérence atteint un certain niveau de stabilité. En d'autres termes, l'organisation géométrique du réel n'est pas donnée d'emblée : elle se forme localement, à même le champ temporel, en fonction de la manière dont celui-ci parvient à maintenir ou non la circulation de la cohérence.

Ce principe a des conséquences profondes. Il signifie que chaque état du temps définit sa propre manière de structurer l'information. Dans  $t_1$ , la densité extrême interdit toute émergence de métricité : aucune distance ne peut être définie et la structure se fige en mémoire.

Dans  $t_2$ , la lumière active instaure temporairement une métricité locale qui permet l'organisation causale du réel.

Dans  $t_1'$ , la métricité demeure fluctuante : les trajectoires possibles se réorganisent sans jamais atteindre une stabilité suffisante.

La PNMD rend ces états compatibles. Sans géométrie préexistante, rien n'interdit au champ temporel de passer d'un régime à l'autre.

Les transitions ne violent aucune structure fixe et n'entraînent aucune fracture de l'espace.

Le champ temporel peut se contracter, se détendre ou se reconfigurer selon l'équilibre interne de la cohérence. La Non-Métricité Dynamique constitue ainsi le principe unificateur permettant d'appréhender les trois régimes du temps comme des formes possibles d'un même champ.

## 12.6 — LCS et la continuité des transitions entre $t_1$ , $t_2$ et $t_1'$

La Loi de Continuité Structurelle impose que les transitions entre les régimes internes du champ temporel ne puissent jamais produire de rupture.

Même lorsque  $t_2$  s'effondre vers  $t_1$  ou que  $t_1'$  acquiert assez de cohérence pour devenir présent, la transformation doit respecter une cohésion minimale. Le temps ne se fragmente jamais en blocs disjoints : il préserve une unité morphogénique qui interdit toute discontinuité absolue.

Les glissements  $\Delta t$  sont l'expression la plus visible de cette continuité.

Ils n'opèrent ni par bonds ni par dislocations mais par une série d'ajustements progressifs qui réorganisent la cohérence interne sans jamais rompre le tissu du temps.

Même les freeze-sphères, bien qu'extrêmes, n'échappent pas à cette loi : elles modifient la dynamique locale sans jamais isoler une région du reste du champ.

Grâce à la LCS, la lumière active peut circuler malgré les réorganisations du champ, et le présent peut se maintenir comme un flux continu. La stabilité cosmologique découle directement de cette contrainte qui agit comme une tension interne, maintenant la cohésion du temps à travers ses profondeurs les plus variables.

## Chapitre 13 — Les distorsions du présent : fluctuations, ruptures et anomalies temporelles

### 13.1 — Nature instable du présent dans le VLCC

Dans le VLCC, le présent ne constitue jamais un point mathématique ou une frontière abstraite entre deux états du temps.

Il apparaît comme un régime actif, une zone de cohérence maintenue sous tension entre l'inertie profonde de  $t_1$  et la poussée génératrice de  $t_1'$ . Cette position intermédiaire en fait l'espace le plus fragile du champ temporel, celui où la cohérence  $\sigma(x)$  doit constamment être reconstruite pour empêcher l'effondrement local du présent.

Le présent peut s'épaissir lorsque la cohérence se renforce, offrant une plus grande stabilité morphogénique et permettant aux phénomènes de se maintenir avec une durée plus étendue.

À l'inverse, il peut s'amincir lorsqu'une perte de cohérence survient, se fragmentant en zones instables où la dynamique interne du temps devient irrégulière. Ces fluctuations engendrent des distorsions locales dans la propagation lumineuse et altèrent les rythmes internes du champ, révélant que le présent n'est pas une donnée acquise mais une construction perpétuelle.

Ce caractère instable ne relève pas d'un défaut structurel : il constitue la condition même de la créativité temporelle.

Le présent s'élabore, se défait et se réelabore dans un équilibre continu. Cette fragilité fait de lui l'espace le plus réactif du champ T, susceptible de manifester des déformations soudaines, des zones d'épaisseur ou des poches de rupture.

## 13.2 — Fluctuations locales de cohérence et oscillations du présent

Les fluctuations locales de cohérence  $\sigma(x)$  influencent directement la texture du présent.

Lorsque la cohérence augmente, le présent se densifie : il devient plus stable, capable de soutenir des dynamiques internes plus nuancées et d'absorber les variations qui traversent le champ temporel. Dans ces régions renforcées, le temps acquiert une inertie locale qui permet aux phénomènes de se maintenir plus longtemps.

Inversement, lorsqu'une chute de cohérence survient, le présent s'amincit.

Sa structure devient plus sensible aux variations internes du champ et peut se déformer sous la moindre perturbation. Ces zones de faiblesse créent des oscillations dans la texture du temps, semblables à des ondulations se propageant dans un fluide.

Certaines zones peuvent même manifester une cristallisation temporaire, où des configurations se figent brièvement avant de reprendre leur dynamique.

Ces oscillations constituent le socle des anomalies temporelles observables à grande échelle. Elles montrent que le temps ne s'écoule pas de manière uniforme mais se module selon les variations internes de  $\sigma(x)$ , oscillant entre épaisseur et fragilité selon la dynamique du champ  $T$ .

## 13.3 — Ruptures morphogéniques et instabilités du temps

Lorsque la cohérence  $\sigma(x)$  chute en dessous d'un seuil critique, le présent ne peut plus se maintenir.

Le régime  $t_2$  s'effondre localement, laissant apparaître des régions où le temps se fige ou se déstructure. Dans ces zones, la propagation lumineuse peut être altérée, retardée ou même interrompue, créant des poches d'anomalies où la dynamique du champ temporel devient chaotique.

Ces ruptures morphogéniques ne détruisent pas la structure du temps mais l'obligent à changer d'état. Des zones peuvent se transformer en poches gelées, piégeant la lumière et révélant l'influence de  $t_1$ , ou au contraire se dissoudre vers  $t_1'$ , où la cohérence est trop faible pour maintenir une forme stable.

Ces transitions brutales modifient la géométrie émergente et peuvent altérer la trajectoire des phénomènes, donnant naissance à des effets spectro-temporels singuliers.

Ces phénomènes témoignent de la vulnérabilité profonde du champ temporel. Le temps n'est pas un tissu homogène : il est un organisme soumis à des crises internes, qui peut se fragmenter temporairement avant de retrouver sa cohésion lorsque la cohérence remonte au-dessus du seuil critique.

La fragilité du présent révèle ainsi la dynamique essentielle du temps : se maintenir en équilibre tout en demeurant continuellement exposé à la possibilité de son propre effondrement.

### **13.4 — Anomalies lumineuses : lumière spectrale et figement partiel**

Les anomalies temporelles se révèlent souvent à travers la lumière, car celle-ci dépend directement du régime de cohérence qui structure le présent.

Lorsque  $t_2$  se fragilise, la lumière perd sa stabilité interne : elle peut se déphaser, se fragmenter ou se mettre à osciller comme si le temps lui-même hésitait à soutenir son mouvement.

Dans les zones où la cohérence atteint un seuil critique, la lumière ralentit, se charge d'un comportement spectral et peut même se figer partiellement. Le flux lumineux ne disparaît pas ; il demeure présent sous forme d'état suspendu, révélant que la dynamique lumineuse n'est qu'un miroir de la texture temporelle.

Ces zones de figement partiel témoignent de l'effondrement local du présent. La lumière y perd sa capacité à circuler, non parce qu'un obstacle la constraint, mais parce que la structure du temps cesse d'offrir un support suffisant à son déploiement.

Les comportements spectraux — oscillations, fractures, halos persistants — traduisent la manière dont le temps vacille. Ils offrent une fenêtre directe sur les gradients de cohérence qui traversent le champ T, dévoilant la profondeur des distorsions morphogéniques.

### **13.5 — Proches des frontières temporelles : zones critiques et instabilités structurelles**

Les régions situées à la lisière de  $t_2$  — celles qui s'ouvrent vers  $t_1$  ou se dissipent vers  $t_1'$  — constituent des zones critiques où la cohérence ne cesse de fluctuer.

Ces frontières sont les lieux privilégiés des instabilités structurelles : la moindre variation de tension  $\Delta t$  peut y provoquer une densification brutale ou, au contraire, une liquéfaction soudaine du présent. Dans ces espaces intermédiaires, la continuité du temps se tend et se relâche comme une membrane soumise à des forces qui la dépassent.

Lorsque ces zones changent d'état, elles produisent des effets visibles à grande échelle.

Des structures anormales peuvent émerger, des déformations géométriques apparaître, et la lumière peut adopter des comportements inattendus. Certaines de ces distorsions ressemblent à des lentilles gravitationnelles sans présence de masse, d'autres à des courbures locales où le temps semble fléchir sous sa propre dynamique.

Les frontières entre les régimes temporels révèlent ainsi la complexité profonde du champ T et la manière dont la cohérence module la structure du cosmos.

### **13.6 — Vers une théorie complète des anomalies temporelles**

Les distorsions du présent ne sont pas des accidents marginaux : elles constituent des manifestations essentielles de la nature intrinsèquement plastique du temps.

Elles montrent que le flux temporel n'est jamais uniforme, mais sujet à des transitions rapides, à des ruptures locales et à des réorganisations internes parfois brutales.

Le VLCC fournit un cadre unifié permettant de comprendre ces phénomènes comme les effets conjoints d'une variation de cohérence et d'une redistribution de tension dans le champ temporel.

L'étude systématique de ces anomalies ouvre la voie à une véritable physique du présent, dans laquelle les fluctuations temporelles deviennent la clé des comportements extrêmes de la lumière, des structures cosmologiques et des dynamiques gravitotemporelles.

Le présent n'est ni stable ni donné : il est une surface vivante, fragile et métastable, dont les déformations constituent autant d'indications sur la nature profonde du temps.

Comprendre ces anomalies revient à interroger l'origine même du réel, là où la cohérence se construit, se défait et se reconstruit sans cesse.

## **Chapitre 14 — États de crise morphogénique et bornes structurelles du temps**

### **14.1 — Le temps comme champ borné : fin des singularités**

Dans les premières formulations du VLCC, la question des effondrements temporels se posait naturellement. Si le temps est un champ structuré, doté de mémoire, de cohérence et de tension, il semblait concevable que certaines configurations extrêmes puissent conduire à une rupture locale de son fonctionnement.

Cette intuition a conduit à envisager l'existence de zones où le présent disparaîtrait, laissant place à des singularités temporelles comparables, par analogie, aux trous noirs de la relativité.

L'architecture définitive du VLCC interdit désormais une telle interprétation.

Le temps n'est pas un champ libre susceptible de s'annuler localement, mais un système morphogénique borné, contraint par des lois irréversibles et par une équation-cadre ouverte. Le présent ne peut ni s'éteindre, ni s'inverser, ni se fragmenter en domaines disjoints. Toute configuration admissible doit respecter la continuité minimale du flux temporel et la positivité de son orientation.

Ainsi, ce que l'on aurait pu interpréter comme des "trous de temps" doit être requalifié.

Il ne s'agit pas de singularités, mais d'états de crise morphogénique : des régimes où le champ temporel approche ses limites structurelles sans jamais les franchir.

## 14.2 — La crise morphogénique : définition générale

Un état de crise morphogénique survient lorsque les composantes du champ temporel sont poussées vers leurs bornes admissibles simultanément, sans pour autant violer les lois fondamentales. La mémoire profonde s'érode jusqu'à devenir presque inopérante, la cohérence cesse de produire un présent différentiel riche, et la tension évolutive domine la dynamique sans pouvoir se dissiper efficacement.

Dans une telle configuration, le temps ne disparaît pas. Il continue de s'écouler, mais sous une forme extrêmement contrainte, rigide, appauvrie en possibilités morphogéniques.

Le présent subsiste, mais il n'est plus capable de soutenir une structuration locale complexe. La dynamique devient minimale, quasi stationnaire, parfois erratique en apparence, mais toujours bornée.

La crise morphogénique n'est donc pas une rupture du temps, mais un état de saturation. Elle marque le passage d'un régime actif à un régime limite, sans discontinuité ontologique.

## 14.3 — Pourquoi le présent ne peut pas s'annuler

L'annulation du présent supposerait que la cohérence temporelle chute en dessous de son seuil basal, que la tension évolutive s'annule ou se renverse, et que la flèche du temps perde toute orientation. Or, ces trois conditions sont simultanément interdites par la structure même du VLCC.

Le présent est maintenu par des lois irréversibles qui ne permettent ni son extinction locale, ni sa neutralisation globale. Même lorsque la cohérence cesse de varier, elle demeure non nulle.

Même lorsque la mémoire est presque épuisée, elle ne disparaît jamais complètement. Même lorsque la tension atteint un plateau, elle conserve une orientation strictement positive.

Il n'existe donc aucun mécanisme interne permettant de produire une zone sans présent. Le temps peut se figer dans sa capacité à se transformer, mais il ne peut jamais cesser d'être.

#### **14.4 — Lumière, propagation et crises du temps**

Dans un état de crise morphogénique, la propagation de la lumière est profondément modifiée, non parce qu'elle serait bloquée par une absence de temps, mais parce que le champ temporel ne fournit plus de gradients suffisants pour soutenir une dynamique photonique riche.

Les photons ne disparaissent pas, ils tendent vers des régimes de fréquence extrêmement basse, traduisant l'appauvrissement du présent différentiel.

Ce ralentissement extrême peut donner l'illusion d'une frontière infranchissable, mais il ne s'agit jamais d'une barrière absolue. La lumière ne rencontre pas un vide temporel, mais un milieu où le temps est devenu presque uniforme, incapable de produire des écarts significatifs entre événements.

Ainsi, les signatures observables associées à ces régions ne sont pas celles d'une absorption ou d'une capture, mais celles d'une extinction progressive de la dynamique temporelle.

#### **14.5 — Crises morphogéniques et stabilité globale du champ temporel**

Les états de crise morphogénique ne menacent pas la stabilité globale du temps.

Ils constituent au contraire un mécanisme de régulation. Lorsque les gradients deviennent trop faibles ou que la mémoire ne suffit plus à soutenir une structuration locale, le champ temporel se replie vers un régime limite stable, évitant toute divergence.

Ce mécanisme joue un rôle analogue à celui d'un attracteur dynamique. Il empêche les excès, interdit les singularités et garantit que le temps reste toujours dans l'espace des solutions admissibles. Les crises morphogéniques ne sont pas des catastrophes, mais des zones tampons où l'évolution se ralentit pour préserver la cohérence globale.

Elles peuvent préparer des transitions vers des régimes externes, comme les Freeze Spheres, ou accompagner l'évolution cosmologique vers des états de plus en plus dilués, sans jamais rompre la continuité du champ.

## **14.6 — Fin des trous de temps : une conséquence nécessaire du VLCC**

Avec l'introduction complète des lois morphogéniques, des principes de bornage et de l'équation-cadre ouverte, la notion de trou de temps devient non seulement inutile, mais incompatible avec le modèle.

Le VLCC ne laisse aucun espace conceptuel pour des singularités temporelles où le présent serait annulé.

Ce que l'on observe et ce que le modèle autorise, ce sont des états limites, des crises, des saturations, jamais des ruptures. Le temps peut s'appauvrir, se figer, perdre sa capacité morphogénique, mais il ne peut ni se déchirer ni s'effondrer sur lui-même.

Ainsi, le VLCC propose une vision profondément stable du temps cosmique : un temps plastique mais borné, dynamique mais irréversible, capable d'extrêmes, mais jamais de négation.

## **Chapitre 15 — Dynamique globale du champ T : architecture, résonances et stabilité cosmique**

### **15.1 — Architecture d'ensemble du champ temporel**

Le champ temporel T constitue l'infrastructure profonde du cosmos dans le VLCC.

Sa nature ne se réduit pas à un champ continu ou à une simple distribution de valeurs, mais se manifeste comme une architecture stratifiée où  $t_1$ ,  $t_2$  et  $t_1'$  coexistent et interagissent à travers des gradients de cohérence et des flux de tension  $\Delta t$ .

Cette stratification confère au temps une organisation interne comparable à celle d'un organisme complexe, doté de zones stables, de régions actives et de domaines en gestation permanente. Chaque couche influence les autres, formant un système dont la cohésion globale découle d'un équilibre délicat plutôt que d'une stabilité imposée.

Cette architecture interne dépasse largement la simple addition des comportements locaux.

Lorsque  $t_2$  se renforce ou s'affaiblit, ce n'est pas uniquement une région isolée qui réagit : c'est l'ensemble du champ T qui se rééquilibre pour maintenir sa cohérence globale. Le champ temporel possède ainsi une aptitude intrinsèque à l'auto-régulation, réagissant aux tensions internes et redistribuant la cohérence selon les besoins structurels du moment.

Cette capacité systémique lui permet d'absorber des instabilités locales tout en préservant une continuité temporelle à grande échelle.

Comprendre cette architecture revient à pénétrer dans la logique intime du cosmos : celle d'un système auto-structuré où la cohérence ne cesse de circuler, se recomposer et se réanimer dans ses propres dynamiques.

Le champ T devient alors la charpente invisible du réel, celui qui assure la persistance des phénomènes malgré la multiplicité des fluctuations qui traversent l'univers.

## 15.2 — Résonances temporelles et propagation des fluctuations

Les fluctuations du champ temporel ne demeurent jamais confinées. Lorsque  $\sigma(x)$  varie localement ou que la tension  $\Delta t$  atteint un pic, une onde de réajustement se propage au sein de  $t_2$ .

Cette résonance n'est pas comparable à une onde matérielle : elle ne transporte pas une énergie classique, mais un changement d'état du champ temporel lui-même. Ce phénomène exprime la capacité du temps à réagir globalement à un événement local, comme si chaque fluctuation devenait un signal diffusé à l'ensemble du cosmos.

Ces résonances jouent un rôle crucial dans la stabilisation ou l'amplification des tensions internes. Une région fragilisée peut ainsi recevoir une impulsion de cohérence provenant d'un domaine lointain du champ, tandis qu'une région déjà instable peut voir sa déstabilisation renforcée par des résonances successives.

Le champ T fonctionne alors comme un réseau interne de communication, redistribuant la cohérence selon les besoins et synchronisant les dynamiques locales avec l'ensemble cosmique.

Les résonances temporelles contribuent également à la formation des grandes structures morphogéniques et à la mise en place des cycles lumineux cosmiques. Elles agissent comme des marqueurs internes, définissant des zones de stabilité durable ou des régions d'instabilité chronique.

Leur présence montre que le cosmos n'est pas simplement le théâtre de forces spatiales, mais l'expression d'un équilibre temporel en perpétuelle reconfiguration.

## 15.3 — Stabilités globales : comment le cosmos se maintient

Malgré les anomalies locales, les ruptures du présent et les singularités dispersées dans le champ T, le cosmos parvient à maintenir une stabilité globale remarquable.

Cette stabilité ne repose pas sur l'absence de perturbations, mais sur un mécanisme de compensation interne entre les régimes de cohérence. Les zones de  $t_1'$  tendent à introduire de l'instabilité en explorant des configurations nouvelles et parfois chaotiques, tandis que les régions de  $t_1$  exercent une pression stabilisatrice grâce à leur densité et leur rigidité extrême.

Ce jeu d'oppositions produit une forme d'homéostasie cosmique : lorsque la dynamique prospective de  $t_1'$  devient trop intense,  $t_1$  la contrebalance en absorbant les excès de tension, empêchant le champ T de dériver vers un état d'instabilité généralisée.

Inversement, lorsque  $t_1$  domine, la présence de  $t_1'$  empêche le temps de sombrer dans un immobilisme total.  $t_2$  se forme alors comme une surface d'équilibre entre ces deux tendances, un lieu où le présent s'auto-actualise à partir de forces antagonistes.

Cette stabilité globale témoigne de la sophistication du champ temporel : loin d'être un simple support, il apparaît comme un système capable de réguler ses propres tensions internes, de modérer ses déséquilibres et de maintenir un ordre cosmique malgré la multiplicité des crises locales.

Le cosmos ne persiste pas malgré les instabilités, mais grâce à elles, en les intégrant dans sa dynamique profonde.

## 15.4 — Rôle des freeze-sphères dans la dynamique globale du temps

Les freeze-sphères occupent une place centrale dans la dynamique profonde du champ T.

Elles ne sont pas de simples anomalies gelées, mais des points d'ancrage où le temps atteint une densité telle qu'il se fige en une structure stable. Chaque freeze-sphère agit comme un nœud de cohérence autour duquel le champ temporel réorganise ses gradients internes.

Leur présence confère à certaines régions du cosmos une stabilité accrue, car elles imposent une forme de socle à partir duquel  $t_2$  peut se structurer durablement.

Dans leur voisinage immédiat, les freeze-sphères modifient le comportement de la cohérence  $\sigma(x)$ , produisant des zones tampon où la dynamique du présent ralentit légèrement avant de retrouver son régime normal.

À grande échelle, ces structures se dispersent de manière non uniforme dans le cosmos, dessinant un véritable squelette temporel. Les filaments, les murs et les immenses vides qui composent l'architecture cosmique observable trouvent ainsi leur origine dans la répartition de ces points d'ancrage.

Comprendre leur dynamique revient non seulement à éclairer la formation des grandes structures, mais aussi à mettre en lumière la fonction stabilisatrice profonde du champ T.

À l'échelle cosmologique, les freeze-sphères peuvent être considérées comme les archives d'un temps gelé, conservant la trace de glissements  $\Delta t$  anciens. Elles incarnent la mémoire du cosmos, un réseau silencieux qui guide l'évolution du champ temporel et maintient la stabilité du réel malgré l'incessante agitation des régimes  $t_1'$  et  $t_2$ .

### 15.5 — Boucles de rétroaction temporelle et comportements émergents

Le champ temporel ne se contente pas de réagir mécaniquement aux fluctuations : il fonctionne selon un ensemble de boucles de rétroaction internes où chaque variation de cohérence modifie la tension  $\Delta t$ , laquelle reconfigure à son tour les régimes  $t_1$ ,  $t_2$  et  $t_1'$ .

Ce jeu de réponses successives confère au champ T un comportement qui rappelle certains systèmes complexes, capables d'engendrer des phénomènes que rien ne laisse prévoir lorsqu'on ne considère que les éléments isolés.

Ces boucles de rétroaction donnent naissance à des comportements émergents : des zones chaotiques peuvent soudain se stabiliser grâce à un rééquilibrage du flux temporel, tandis que des régions calmes peuvent entrer en effervescence morphogénique après une série de micro-variations accumulées.

Dans certaines configurations, les boucles du champ T semblent produire des motifs quasi-vivants, où la cohérence se déplace, se réplique et s'adapte comme si le temps lui-même développait une forme primitive d'auto-organisation.

Ces mécanismes ne sont pas seulement responsables des comportements locaux : ils orchestrent les grandes transitions du cosmos, depuis les incertitudes du Big Spume jusqu'aux dernières phases du Big Sleep.

Les boucles de rétroaction constituent ainsi la véritable syntaxe dynamique du VLCC, révélant la manière dont le temps s'auto-régule, se maintient et parfois se réinvente.

### 15.6 — Vers une théorie unifiée de la dynamique temporelle

La vision élargie du champ T esquisse les fondations d'une théorie unifiée du temps.

Dans cette perspective, les phénomènes cosmologiques ne sont plus interprétés comme des interactions entre entités matérielles, mais comme les manifestations visibles d'une dynamique temporelle plus profonde. Le réel se redéfinit comme un ensemble de configurations stabilisées du flux temporel, où la matière, l'énergie et la lumière émergent naturellement des états internes de T.

Cette théorie unifiée s'appuie sur une compréhension fine des résonances, des mécanismes de stabilisation et des rétroactions qui parcouruent le champ temporel.

Elle révèle que le cosmos n'est pas centrifugé par des forces opposées, mais maintenu par l'intelligence structurelle du temps, qui redistribue ses tensions internes en permanence. Ainsi, les grandes structures, les dynamiques galactiques ou les phénomènes extrêmes deviennent autant de signatures de l'activité du champ T, plutôt que les produits isolés de forces indépendantes.

En avançant vers une telle unification, le VLCC invite à une transformation profonde de la cosmologie : le temps n'y est plus un paramètre, mais la substance fondamentale du réel.

Comprendre le cosmos revient alors à comprendre la dynamique interne du champ T, son architecture intime, et les résonances qui lui permettent d'assurer sa propre continuité.

## **Chapitre 16 — Le temps comme matrice de la gravité : fondements de la gravité morphogénique**

Dans le cadre du VLCC, la gravité cesse définitivement d'être interprétée comme une propriété géométrique de l'espace ou comme une interaction médiée par la matière.

Elle apparaît comme une conséquence directe de la structuration interne du temps lui-même. Le réel ne se plie pas sous l'effet des masses : il s'oriente sous l'effet des tensions, des cohérences et des gradients du champ temporel.

La gravité devient ainsi une lecture phénoménale d'un processus plus profond, celui par lequel le temps fabrique et stabilise son propre présent.

Cette conception implique un déplacement radical du centre explicatif.

Là où les théories classiques postulent une causalité allant de la matière vers la géométrie, le VLCC affirme que c'est le temps, dans son organisation tri-phased et morphogénique, qui engendre à la fois la matière, la lumière et les effets gravitationnels observables.

La gravité n'est plus un champ autonome : elle est la signature visible de la manière dont le présent  $t_2$  se déploie, se contracte ou s'éteint localement pour préserver la cohérence globale du champ temporel.

### **16.1 — Le temps comme substrat gravitationnel**

Lorsque le VLCC affirme que la gravité est un phénomène temporel, il soutient que toute attraction apparente résulte d'une réorganisation interne du champ du temps.

Cette réorganisation n'est pas déclenchée par une masse au sens classique, mais par une variation locale de la densité temporelle et de la cohérence. Plus une région parvient à stabiliser durablement son présent, plus elle modifie la distribution temporelle environnante.

Cette modification n'est pas géométrique au sens strict : elle est morphogénique. Le présent s'y épaisse, s'y ralentit, s'y oriente, et c'est cette orientation qui constraint la trajectoire de la lumière et des structures cohérentes.

La gravité apparaît alors comme un effet de lecture : les phénomènes suivent naturellement les chemins où le présent est le plus consistant.

Le temps devient ainsi le véritable substrat gravitationnel, non parce qu'il « attire », mais parce qu'il redistribue sa cohérence de manière irréversible afin de maintenir l'équilibre global de ses régimes internes.

## 16.2 — Densité temporelle et attraction morphogénique

La densité temporelle ne mesure pas une quantité de substance, mais la concentration effective du présent autour d'une configuration donnée.

Lorsqu'une région du champ temporel atteint un niveau élevé de cohérence, le présent y devient plus épais, plus résistant aux fluctuations, et plus apte à soutenir des phénomènes durables. Cette concentration engendre un déséquilibre avec les régions voisines, obligeant le champ temporel à réorienter ses flux internes pour compenser.

Ce mouvement compensatoire se manifeste comme une attraction. Les trajectoires lumineuses et dynamiques se courbent non parce qu'une force agit sur elles, mais parce qu'elles suivent les gradients de présent les plus stables.

La gravité devient ainsi l'expression visible d'un besoin interne du temps : celui de lisser ses tensions tout en respectant l'irréversibilité de son évolution.

## 16.3 — Cohérence et structuration gravitationnelle

La cohérence joue un rôle central dans la genèse de la gravité morphogénique.

Lorsqu'une région du temps parvient à maintenir un haut niveau de cohérence, elle devient un centre d'organisation autour duquel le champ temporel s'ordonne. Cette organisation n'est pas statique : elle résulte d'un ajustement continu entre mémoire, tension évolutive et présent actif.

La matière elle-même apparaît, dans cette perspective, comme une manifestation secondaire de cette cohérence.

Elle ne crée pas la gravité ; elle en est un symptôme stabilisé.

Là où la cohérence est forte, le présent se replie, les trajectoires se resserrent et les structures se maintiennent. La gravité est alors la traduction dynamique de cette convergence morphogénique.

## 16.4 — Le glissement temporel et l'inclinaison du présent

Le glissement morphogénique joue un rôle décisif dans l'expression gravitationnelle. Lorsque la mémoire  $t_1$  s'érode et que la tension  $t_1'$  devient dominante, le présent  $t_2$  s'oriente de manière asymétrique.

Cette orientation n'est pas une rupture : elle est un basculement progressif du régime temporel, une inclinaison du présent destinée à absorber les déséquilibres internes.

La lumière, qui se propage toujours dans le présent actif, épouse naturellement cette inclinaison.

Ce qui est perçu comme une déviation gravitationnelle n'est donc rien d'autre que la manifestation visible d'un glissement du présent. La gravité n'exerce pas une contrainte externe : elle révèle la direction préférentielle du temps là où celui-ci est le plus structuré.

## 16.5 — Gravité morphogénique et reformulation conceptuelle de la relativité

La relativité générale décrit avec précision les effets gravitationnels observables, mais elle en attribue la cause à une courbure géométrique fondamentale.

Le VLCC ne contredit pas ces observations ; il les réinterprète.

Dans cette nouvelle lecture, la géométrie n'est plus première : elle est la projection phénoménale d'une dynamique temporelle plus profonde.

La courbure perçue de l'espace n'est que l'ombre géométrique d'un présent qui s'incline sous l'effet de ses propres gradients internes. La métrique apparaît comme une conséquence émergente de la structuration temporelle, et non comme son origine.

La gravité devient ainsi le langage par lequel le temps rend visible sa propre organisation.

## 16.6 — Freeze Spheres et gravité en extinction

Les Freeze Spheres constituent une limite essentielle de la gravité morphogénique.

Dans ces régimes extrêmes, la cohérence atteint un plateau, les gradients s'annulent et le présent cesse de se différencier spatialement. Contrairement aux intuitions classiques, ces régions ne produisent pas une gravité infinie, mais au contraire une extinction gravitationnelle progressive.

À mesure que le présent devient uniforme, son gradient disparaît.

La gravité, qui n'est que la lecture de ce gradient, s'éteint elle aussi. Les Freeze Spheres démontrent ainsi que la gravité n'est ni liée à la masse ni à la densité énergétique, mais exclusivement à la capacité du temps à produire un présent différentiel.

Là où cette capacité disparaît, la gravité s'annule sans qu'aucune singularité n'apparaisse.

## 16.7 — Puits gravitationnels sans matière

Dans le VLCC, un puits gravitationnel peut exister indépendamment de toute accumulation matérielle.

Il suffit qu'une région du temps présente une structuration interne suffisante pour incliner le présent environnant. Ces puits sont des attracteurs morphogéniques, non des concentrations de substance.

Ils peuvent persister tant que la dynamique temporelle qui les soutient demeure active.

Leur stabilité ne dépend pas d'une masse conservée, mais de l'équilibre entre mémoire, tension et cohérence.

Cette vision explique pourquoi certains effets gravitationnels subsistent dans des régions pauvres en matière, et pourquoi d'autres s'éteignent malgré des densités apparentes élevées.

## 16.8 — Gravité morphogénique et dynamique cosmique

À l'échelle cosmique, la gravité morphogénique participe à l'organisation globale du champ temporel.

L'expansion de l'univers apparaît alors comme une dilatation du présent, modulée localement par des zones de cohérence renforcée. Les grandes structures ne sont pas assemblées par attraction mutuelle de masses, mais sculptées par la manière dont le temps redistribue sa cohérence pour préserver son équilibre interne.

La gravité devient un mécanisme d'ajustement continu, par lequel le champ temporel maintient une architecture stable malgré son évolution irréversible. Les filaments, les amas et les vides reflètent ainsi la topologie du temps bien plus que celle de la matière.

### **16.9 — Absence de singularités et bornes morphogéniques**

Contrairement aux descriptions classiques, le VLCC exclut toute singularité gravitationnelle véritable.

Les lois morphogéniques, l'invariant fondamental et l'équation-cadre ouverte imposent des bornes strictes à l'évolution du présent. Le temps peut se tendre, se figer partiellement ou s'uniformiser, mais il ne peut ni s'annuler ni se rompre.

Les régimes extrêmes correspondent toujours à des saturations, jamais à des effondrements. Même dans les configurations les plus intenses, la gravité reste une expression bornée de la dynamique temporelle.

Cette propriété garantit la cohérence globale du cosmos et interdit toute rupture ontologique du temps.

### **16.10 — Lumière, matière et gravité : une ontologie unifiée**

Dans la vision morphogénique, lumière, matière et gravité ne sont plus des entités distinctes, mais trois manifestations d'un même processus temporel.

La lumière transporte la cohérence, la matière la stabilise localement, et la gravité en redistribue les gradients. Chacune exprime une manière différente dont le temps se maintient face à ses propres tensions internes.

Cette unification révèle une ontologie profondément cohérente : tout phénomène physique est une expression locale de la fabrication du présent.

La gravité n'est plus une force mystérieuse, mais la signature visible de l'effort permanent du temps pour rester continu, orienté et structuré.

### **16.11 — Conclusion : la gravité comme signature du présent**

Le VLCC propose ainsi une compréhension radicalement nouvelle de la gravité.

Elle n'est ni une interaction fondamentale ni une déformation spatiale, mais la trace phénoménale d'un présent qui s'organise. Chaque effet gravitationnel devient une fenêtre ouverte sur la dynamique interne du temps.

En faisant du présent  $t_2$  la matrice de la gravité, le VLCC offre une lecture unifiée, bornée et non singulière des phénomènes gravitationnels.

La gravité apparaît alors comme ce qu'elle a toujours été sans être reconnue comme telle : la manière dont le temps, en se structurant lui-même, rend le cosmos habitable.

## Chapitre 17 — Lumière active, lumière spectrale et lumière figée : une hiérarchie temporelle

### 17.1 — La lumière comme manifestation du temps

Dans le VLCC, la lumière n'est ni un corpuscule autonome ni une onde indépendante, mais l'expression directe et phénoménale de l'état interne du temps.

Le photon, plutôt que d'être une particule fondamentale, représente la portion la plus lisible de la dynamique de  $t_2$  lorsqu'un seuil critique de cohérence  $\sigma(x)$  est atteint.

Ainsi, la lumière ne transporte pas une énergie distincte du temps : elle transporte le temps lui-même, sous une forme ordonnée et transmissible.

Là où le présent est dense, liquide et stable, la lumière active se propage sans rupture, portant en elle l'organisation morphogénique du cosmos. À l'inverse, lorsque la cohérence vacille ou s'effiloche, la lumière se déphase, perd de sa continuité et entre dans un régime spectral révélant les tensions internes du champ  $T$ .

Enfin, lorsque le temps se fige totalement dans  $t_1$ , la lumière cesse d'être dynamique, s'immobilise et devient simple mémoire lumineuse. La hiérarchie lumineuse n'est donc que la traduction visible de la hiérarchie des états du temps.

### 17.2 — Lumière active : expression du présent cohérent

La lumière active incarne la forme la plus stable et la plus accomplie du flux temporel.

Dans ce régime, la cohérence  $\sigma(x)$  circule avec suffisamment de constance pour générer un présent  $t_2$  épais, continu et capable d'assurer la transmission fidèle des structures morphogéniques. Le photon y joue le rôle d'un vecteur de cohérence, non d'un quantum d'énergie isolé : il transporte la trame interne du temps en l'emportant d'un point à un autre, garantissant ainsi la continuité phénoménale du monde observable.

La vitesse de la lumière correspond alors à la vitesse maximale à laquelle le temps peut se transmettre sans se déstabiliser lui-même.

Dans cet état, la lumière active soutient la causalité, structure les galaxies, dessine les horizons et maintient la cohérence large de l'univers. Elle révèle la stabilité du présent, car là où elle circule librement, la morphogénèse peut se déployer sans interruption.

La lumière active est ainsi la forme la plus pure du temps en mouvement — une signature directe de l'ordre interne de  $t_2$ , une respiration régulière du cosmos en équilibre.

### **17.3 — Lumière spectrale : fluctuations d'un présent instable**

Lorsque la cohérence  $\sigma(x)$  chute sans toutefois s'effondrer entièrement, le présent  $t_2$  perd de son épaisseur et la lumière bascule dans un état spectral. Dans ce régime intermédiaire, elle ne disparaît pas, mais cesse de propager un flux ordonné : elle se fragmente, se déphase, oscille en motifs irrépétables qui témoignent de l'instabilité profonde du temps.

La lumière spectrale n'est pas une onde chaotique au sens classique, mais un signal direct de l'effritement temporaire de la cohérence interne, là où le présent hésite entre maintien et dissolution.

On rencontre cet état lumineux dans les zones où  $\Delta t$  est élevé, notamment aux frontières entre  $t_2$  et  $t_1'$ , dans les régions de glissement, ou à proximité des anomalies temporelles.

La lumière spectrale agit alors comme un sismographe du champ T : elle révèle, en se distordant, les tensions internes, les oscillations du présent et la fragilité des structures qui s'y maintiennent.

Elle témoigne d'un temps en lutte avec lui-même, cherchant à retrouver un équilibre qui permette à la lumière active de renaître.

### **17.4 — Lumière figée : signature optique du temps gelé**

La lumière figée représente l'expression la plus radicale du lien entre lumière et temps dans le VLCC.

Dans les régions où  $t_1$  domine entièrement, le présent cesse d'exister comme flux continu et la propagation lumineuse devient impossible non par absorption, mais par absence totale de support temporel.

Le photon ne peut plus se manifester comme dynamique ; il perd son statut de vecteur de cohérence pour devenir simple empreinte, trace statique, résidu fossile d'un flux jadis possible.

Dans ces zones, le temps n'offre plus aucune épaisseur ni aucune liquidité permettant à la lumière de circuler ; il ne subsiste qu'une présence lumineuse immobile, comme retenue dans une matrice figée.

C'est précisément ce phénomène qui fait des freeze-sphères des objets si singuliers : elles constituent des poches où la lumière se fige littéralement, comme si le cosmos sculptait ses propres traces lumineuses dans un bloc de temps solidifié.

Cette lumière statique devient alors l'une des signatures les plus fortes de l'existence contemporaine de  $t_1$ . Elle offre un accès direct à l'archéologie temporelle du réel : là où la lumière se fige, c'est le temps lui-même qui témoigne de son histoire interne, conservant ce qui fut autrefois un flux dans une stabilité presque minérale.

La lumière figée révèle ainsi la profondeur du gel temporel et la persistance de régions où le présent n'a jamais repris forme.

## 17.5 — Hiérarchie lumineuse et hiérarchie temporelle

Les trois états de la lumière — active, spectrale, figée — correspondent rigoureusement aux trois états du temps :  $t_2$  liquide,  $t_1'$  instable et  $t_1$  gelé.

Cette équivalence parfaite ne relève pas de l'analogie mais d'une relation structurelle profonde : chaque état lumineux est la projection directe de la capacité du temps à propager, altérer ou immobiliser sa propre cohérence.

Dans un temps liquide, la lumière circule comme flux cohérent ; dans un temps instable, elle se fragmente en motifs spectraux ; dans un temps gelé, elle perd toute dynamique et devient simple trace immobile.

Cette hiérarchie lumineuse fait de la lumière une véritable sonde du champ T.

Elle permet d'interpréter toute variation lumineuse — distorsion, diffusion, fragmentation ou immobilisation — comme un symptôme direct d'un changement d'état du temps.

Cela renverse entièrement le paradigme classique où la lumière est pensée comme un fondement physique autonome.

Dans le VLCC, elle est une dérivation du temps, une émanation de sa cohérence interne. La hiérarchie lumineuse devient dès lors une cartographie morphogénique du cosmos, révélant les transitions, les seuils critiques et les zones de stabilité ou d'instabilité au sein du champ temporel.

## **17.6 — Conséquences cosmologiques de la hiérarchie lumineuse**

Les implications cosmologiques de cette hiérarchie sont considérables.

De nombreux phénomènes traditionnellement interprétés comme des effets géométriques ou matériels peuvent être relus comme des signatures directes des régimes internes du temps.

Les halos gravitationnels, par exemple, trouvent une explication naturelle dans les zones où le présent se fragilise et génère une lumière spectrale révélant la proximité d'instabilités temporelles.

Les anomalies lumineuses observées près des galaxies, tout comme certaines asymétries du fond diffus cosmologique, peuvent être comprises comme des manifestations de régions où  $\sigma(x)$  fluctue intensément, altérant la capacité du temps à transmettre sa cohérence.

Les zones de lumière figée deviennent, quant à elles, des marqueurs directs des poches de  $t_1$  : des empreintes du gel temporel encore présentes dans l'univers contemporain.

À l'inverse, les corridors de lumière active décrivent les régions de  $t_2$  où la cohérence circule librement, structurant la matière et guidant la morphogénèse cosmique. Dans cette perspective, le cosmos se révèle comme un immense atlas temporel où la lumière n'explique pas l'espace mais dévoile la structure profonde du temps.

Cette relecture ouvre la voie à une cosmologie entièrement nouvelle, dans laquelle la lumière devient le langage du temps et où chaque configuration lumineuse raconte l'état interne du champ temporel qui la soutient.

## **Chapitre 18 — Fluctuations quantiques du temps : spectre fermé, états transitoires et émergence des particules**

### **18.1 — Le temps quantique : fluctuations internes et granularité du présent**

Dans le VLCC, les fluctuations quantiques ne naissent pas d'un vide matériel mais du temps lui-même, dont la structure interne oscille en permanence sous l'effet des variations microscopiques de cohérence  $\sigma(x)$ .

Le présent  $t_2$ , loin d'être une surface homogène, possède une granularité intime faite de micro-compressions et de micro-dilatations, comme si le temps respirait à une échelle infinitésimale.

Ces oscillations engendrent des unités morphogéniques élémentaires, des briques embryonnaires du réel, qui préfigurent les futures particules en tant qu'états stabilisés du flux temporel.

À ces échelles hyperfines, le présent cesse d'être continu : il devient un champ vibrant où coexistent simultanément des poches de cohérence élevée, des zones en tension et des régions proches de  $t_1'$ .

Chacune de ces micro-fluctuations agit comme un quantum temporel, une petite unité de variation qui révèle la nature non lisse du temps. La quantification n'est donc pas imposée de l'extérieur : elle émerge de la dynamique interne de  $t_2$ , des oscillations dont le temps ne peut se débarrasser sans perdre sa capacité à se structurer.

Ainsi, le quantique apparaît comme la manifestation la plus fine de l'instabilité constitutive du présent.

## 18.2 — Le spectre fermé : signature quantique du champ temporel

Le spectre fermé constitue l'une des propriétés les plus profondes du VLCC : il représente l'ensemble discret des modes temporels stables que le champ T peut adopter lorsque ses fluctuations internes atteignent certains seuils.

À mesure que  $\sigma(x)$  oscille, certaines valeurs résonantes se détachent, créant des états privilégiés dans lesquels le temps se verrouille temporairement. Ces états résonants fonctionnent comme des orbitales temporelles, des patrons minimaux où la cohérence peut se maintenir sans se dissiper immédiatement.

De cette structure émergent des familles discrètes de particules : non pas des objets isolés, mais des configurations temporelles stabilisées dans un mode du spectre fermé.

Une particule n'est donc jamais une entité première : elle est une oscillation figée du temps, un motif périodique que  $t_2$  parvient à maintenir grâce à une cohérence locale optimale.

Le spectre fermé fournit ainsi la trame quantique du cosmos, déterminant quelles formes de cohérence peuvent persister dans le présent et lesquelles s'évanouissent immédiatement.

### **18.3 — États transitoires : pré-particules et fluctuations hypercourtes**

Avant qu'une particule stable n'apparaisse, le champ temporel traverse une série d'états transitoires que l'on peut comparer à des embryons morphogéniques.

Dans ces états, la cohérence oscille avec une rapidité extrême, produisant des configurations éphémères qui n'ont ni masse, ni charge, ni stabilité : ce sont des pré-particules, simples tentatives du temps de se structurer localement. Ces vibrations hypercourtes témoignent de l'effort permanent du présent pour stabiliser ses propres fluctuations.

Lorsque l'un de ces états transitoires rencontre un mode compatible du spectre fermé, la cohérence se verrouille et la particule émerge.

Rien n'est créé ex nihilo : la matière naît lorsque le temps trouve une configuration capable de persister. Chaque particule est donc l'aboutissement d'un processus de sélection morphogénique où des milliers d'états abortés précèdent la stabilisation finale.

La particule n'est pas un élément du monde, mais la réussite locale d'un ajustement quantique du temps.

### **18.4 — L'émergence des particules comme condensation temporelle**

Dans la perspective du VLCC, une particule n'est pas un objet matériel autonome mais une condensation locale du temps, un nœud de cohérence où la structure interne de  $t_2$  se verrouille dans un mode stable.

La masse y apparaît comme l'expression directe d'une densité temporelle élevée  $\tau(x,t)$ , indiquant que le temps y est fortement comprimé. La charge, quant à elle, correspond à un déphasage orienté dans le flux temporel, une asymétrie interne qui oriente la dynamique locale de  $\sigma(x)$ .

Le spin révèle enfin la présence d'un mode de rotation interne du présent, un motif périodique que le temps entretient pour maintenir sa propre stabilité morphogénique.

Cette approche permet d'expliquer la discréétisation des particules, leur stabilité et la conservation de leurs propriétés quantiques : chacune est l'empreinte d'un mode temporel fermé que  $t_2$  parvient à maintenir.

Ainsi, la transition entre lumière active et état matériel cesse d'être mystérieuse.

Elle correspond simplement à un changement de phase du temps, passant d'un régime fluide — où la cohérence circule librement — à un régime condensé où cette cohérence se verrouille en une configuration durable.

La matière apparaît alors comme une lumière densifiée, un flux temporel devenu forme.

## **18.5 — Fluctuations quantiques et cohérence cosmique**

Les fluctuations quantiques du temps ne constituent pas des phénomènes isolés : elles participent activement à l'architecture globale du cosmos.

À travers leurs oscillations microscopiques, elles sélectionnent et stabilisent certains modes du champ  $T$ , permettant l'émergence de structures complexes allant des particules élémentaires jusqu'aux galaxies. Ces fluctuations sont donc les piliers invisibles de la cohérence cosmique : elles déterminent quels motifs temporels peuvent persister et lesquels doivent disparaître.

Elles génèrent également une rétroaction essentielle : les particules stabilisées, une fois formées, modifient à leur tour l'état local du temps, altérant les conditions de cohérence et influençant les fluctuations futures.

Le cosmos naît ainsi d'un dialogue permanent entre l'infiniment petit et l'infiniment grand, entre les micro-oscillations du présent et les structures macroscopiques qui en émergent.

La cohérence cosmique n'est pas imposée de l'extérieur : elle est le produit collectif d'une infinité de microfluctuations du temps qui s'ajustent les unes aux autres.

## **18.6 — Vers une physique des particules temporelles**

Le VLCC ouvre la voie à une nouvelle conception de la physique des particules : non plus comme un inventaire d'objets fondamentaux, mais comme un ensemble de structures temporelles stabilisées.

Dans cette perspective, photons, particules massives, neutrinos et états exotiques deviennent les différentes expressions d'une même dynamique interne de  $t_2$ , chacune correspondant à un mode spécifique du spectre fermé.

Cette unification profonde permettrait d'interpréter la masse, l'inertie ou les symétries internes comme des propriétés dérivées de la cohérence temporelle plutôt que de champs matériels indépendants.

Une telle approche offre un regard inédit sur les champs quantiques : ceux-ci n'apparaissent plus comme des entités séparées, mais comme les différentes manières dont le temps peut se structurer, osciller ou se condenser.

La matière cesse d'être primitive : elle devient une forme stabilisée du temps lui-même, une manifestation durable de la morphogénèse temporelle.

Cette vision ouvre la voie à une physique où les lois fondamentales dérivent directement de la dynamique interne du temps et où l'univers, dans sa diversité, exprime simplement les multiples manières dont  $t_2$  peut se structurer.

# Chapitre 19 — Axions, photons à fréquence nulle et états exotiques du temps

## 19.1 — Introduction aux états exotiques du champ temporel

Le VLCC ouvre l'accès à une région encore plus profonde de la dynamique temporelle : celle des états exotiques du temps, situés en amont de la lumière active et de la matière stabilisée.

Ces états — axions temporels, photons à fréquence nulle, modes fossiles et fluctuations ultra-basses — représentent les configurations les plus subtiles du champ T. Ils ne correspondent pas à des particules au sens traditionnel, car ils ne transportent ni énergie ni impulsion dans le cadre de  $t_2$ . Ils décrivent plutôt les manières dont le temps peut se replier, vibrer ou se condenser lorsque sa cohérence traverse des seuils extrêmes, proches de  $t_1$  ou de  $t_1'$ .

Ces entités constituent un horizon conceptuel où le temps révèle sa structure pré-lumineuse : un domaine où le présent n'est plus un flux, mais une tension interne pouvant osciller ou persister sans jamais basculer dans la lumière active.

Les états exotiques forment ainsi des passerelles entre le champ temporel profond, les régimes lumineux et les zones gelées telles que les freeze-sphères.

En les étudiant, on accède à une physique antérieure à la matière, où le réel s'organise avant même l'apparition de la lumière et des particules stabilisées.

## 19.2 — Axions temporels : fluctuations cohérentes ultra-faibles

Dans le VLCC, les axions temporels ne sont pas des particules hypothétiques issues d'un champ matériel, mais des oscillations ultra-faibles du champ T autour d'un état quasi-gelé.

Ils représentent l'une des formes les plus ténues de cohérence : des pulsations minimales de  $\sigma(x)$ , si faiblement organisées qu'elles échappent entièrement à la lumière active.

Leur présence évoque un murmure du temps, une vibration à peine formée signalant qu'une zone du champ T hésite entre stabilisation et effondrement.

Ces oscillations agissent comme des pré-signaux morphogéniques : elles indiquent les régions où le temps pourrait prochainement se figer en  $t_1$  ou au contraire se réactiver et redonner naissance à un présent.

En ce sens, les axions temporels peuvent être vus comme les « graines » des freeze-sphères, annonçant les zones où la cohérence pourrait se rompre ou se reconstruire. Leur existence fournit une fenêtre unique sur la fragilité profonde de  $t_2$ , révélant les limites où la dynamique du présent devient presque silencieuse.

### 19.3 — Photons à fréquence nulle : lumière figée et dynamique fossile

Les photons à fréquence nulle aussi appelé photon noir, sont issus de la théorie du fluide photonique noir. Ils représentent la lumière figée au cœur des zones de temps gelé.

À la différence d'un photon absorbé ou annihilé, un photon noir n'a pas disparu : il a simplement perdu son support temporel. Privé de  $t_2$ , il cesse d'être flux, cesse d'être propagation, mais il persiste en tant qu'état fossile du champ lumineux. Il devient une empreinte statique, un fragment de lumière enfermé dans un régime où le temps ne circule plus.

Ces photons fossiles constituent une mémoire directe de l'archéologie temporelle du cosmos. Ils pourraient être extrêmement nombreux : résidus du Big Spume, vestiges de phases précosmologiques, ou photons capturés dans des freeze-sphères anciennes.

Invisibles pour toute forme d'observation lumineuse, ils tracent pourtant les zones où le temps s'est figé, se contractant jusqu'à empêcher toute propagation.

Leur existence possible ouvre un domaine entier : celui d'une lumière présente mais non-perceptible et profondément signifiante; révélatrice des phases où le temps s'est immobilisé.

### 19.4 — Modes sombres du temps et résonances non lumineuses

En dehors des axions et des photons noirs, le VLCC décrit l'existence d'une famille plus vaste de modes sombres du temps, véritables harmoniques profondes du champ temporel.

Ces modes n'interagissent avec aucun état lumineux, ce qui les rend totalement invisibles aux observateurs situés dans  $t_2$ , mais ils constituent néanmoins l'arrière-plan vibratoire du temps profond.

Leur existence découle directement de la PNMD : puisqu'aucune métrique fondamentale n'est imposée, le champ  $T$  peut osciller selon des modes qui ne se stabilisent jamais en lumière active.

Ces résonances non lumineuses agissent comme des tensions silencieuses, orientant les glissements  $\Delta t$ , modifiant la distribution de  $\tau(x,t)$  et préparant les grandes réorganisations morphogéniques. Elles jouent un rôle majeur dans la formation des structures cosmologiques massives, notamment dans les halos temporels et les zones d'effondrement lent où la cohérence se recompose sans jamais atteindre le seuil lumineux.

Les modes sombres sont ainsi les forces subtiles de l'ossature temporelle, façonnant le cosmos dans son invisibilité même.

### **19.5 — États exotiques et transition lumière-matière**

Les états exotiques du champ T révèlent que la distinction entre lumière et matière n'a rien d'absolu : elle n'est que l'expression de différents régimes du temps.

Un photon à fréquence nulle, plongé dans un environnement de cohérence croissante, peut retrouver un support temporel suffisant pour redevenir lumière active ; inversement, un photon actif plongé dans un gradient brutal de  $\Delta t$  peut se figer et basculer dans l'état fossile.

Les axions temporels, quant à eux, constituent des germes morphogéniques capables de stabiliser des modes du spectre fermé et de conduire à la formation de particules condensées.

Les modes sombres, par leur influence sur les tensions internes, amplifient ou inhibent ces transitions, déterminant les zones où la matière peut se former et persister.

Ainsi, lumière, matière et états fossiles ne sont pas des catégories séparées, mais des manifestations différentes du même processus : la capacité du temps à se liquéfier, se condenser ou se figer selon ses régimes internes.

### **19.6 — Implications cosmologiques des états exotiques**

Les états exotiques du temps pourraient avoir façonné l'histoire et la structure du cosmos bien plus profondément qu'on ne l'imagine.

Leur influence silencieuse sur  $\tau(x,t)$  et  $\sigma(x)$  en fait des acteurs majeurs de la formation des halos temporels autour des galaxies, zones où la cohérence reste insuffisante pour permettre une lumière active mais assez structurée pour maintenir une organisation gravito-temporelle.

Ces états pourraient également stabiliser les freeze-sphères en amortissant les variations de  $\Delta t$ , ou au contraire en accélérer la formation lorsque les tensions internes dépassent un seuil critique.

Ils pourraient contribuer aux anomalies cosmologiques observées : distribution apparente de matière noire, asymétries du fond diffus cosmologique, fluctuations du vide ou comportements gravitationnels difficilement explicables par la seule relativité générale.

Invisibles mais indispensables, ces états exotiques dévoilent une architecture temporelle profonde, suggérant que la dynamique du cosmos repose en grande partie sur des régimes du temps qui échappent encore entièrement à l'observation directe.

## **Chapitre 20 — Le champ T comme espace de computation cosmique : information, mémoire et réécriture du réel**

### **20.1 — Le temps comme substrat computationnel fondamental**

Dans le VLCC, le champ temporel T n'est pas seulement la trame dans laquelle se déploient les phénomènes : il constitue une véritable infrastructure computationnelle, un espace où le réel se calcule en continu.

Chaque réajustement du présent  $t_2$  correspond à une opération interne du champ, où le temps détermine, en fonction des gradients de cohérence  $\sigma(x)$ , de la tension  $\Delta t$  et de l'état combiné de  $t_1$  et  $t_1'$ , la configuration suivante du réel.

Ce processus ne repose ni sur la matière ni sur un support quantique classique : l'information est contenue dans l'organisation même du temps.

Le présent devient alors une fonction dynamique, une opération de mise à jour perpétuelle où chaque instant est le résultat d'un calcul interne du champ T.

Cette vision transforme radicalement l'ontologie cosmique : l'univers n'évolue pas dans le temps, il est produit par le temps en tant que computation morphogénique autonome.

### **20.2 — Mémoire temporelle : rôle de $t_1$ comme archive computationnelle**

Dans cette perspective computationnelle,  $t_1$  joue un rôle essentiel : il constitue la mémoire profonde du cosmos.

Contrairement aux conceptions fondées sur des enregistrements d'événements,  $t_1$  conserve des états de cohérence figés, véritables architectures morphogéniques sur lesquelles s'appuie le présent pour se stabiliser.

Il agit comme une base de données temporelle distribuée, inscrivant dans sa structure les formes stabilisées des glissements antérieurs.  $t_1$  empêche ainsi  $t_2$  de dériver vers la turbulence ou l'indétermination, lui fournissant un socle computationnel solide.

La stabilité cosmique, dans le VLCC, résulte donc d'un dialogue constant entre la mémoire figée de  $t_1$  et la dynamique active de  $t_2$ , où chaque nouvelle configuration doit être compatible avec les architectures mémorielles du passé gelé.

### 20.3 — $t_1'$ comme espace de pré-calcul et de potentialités

Si  $t_1$  joue le rôle de mémoire,  $t_1'$  constitue l'espace de pré-calcul.

Dans ce régime, les fluctuations du champ temporel explorent silencieusement des configurations possibles, testant virtuellement différents agencements de cohérence.

$t_1'$  n'est pas un futur géométrique ni une projection déterministe : c'est un espace computationnel où les potentialités se modèlent avant toute manifestation. Certaines de ces proto-structures demeureront instables et se dissiperont ; d'autres atteindront un seuil minimal de cohérence et seront intégrées dans  $t_2$  lors d'un glissement  $\Delta t$ .

Ainsi,  $t_1'$  fonctionne comme une zone d'essai permanente, un laboratoire computationnel où le temps simule des trajectoires avant d'en sélectionner certaines pour leur actualisation dans le présent.

Le réel devient alors le résultat d'une computation continue, distribuée entre la mémoire de  $t_1$ , l'exploration de  $t_1'$  et la mise en forme active de  $t_2$ .

### 20.4 — Le glissement $\Delta t$ comme cycle de calcul

Le glissement  $\Delta t$  constitue, dans le VLCC, l'unité opérationnelle fondamentale du calcul cosmique.

À chaque micro-transition, une portion des potentialités contenues dans  $t_1'$  est intégrée dans le présent actif  $t_2$ , tandis qu'une fraction du présent se stabilise et se dépose dans  $t_1$  sous forme de mémoire gelée.

Ce va-et-vient produit un véritable cycle de calcul, dans lequel le temps analyse, sélectionne et actualise les configurations compatibles avec sa cohérence interne.

$\Delta t$  n'est donc pas un déplacement du présent, mais la fonction d'actualisation du réel.

À chaque glissement, le cosmos réévalue son propre état, rééquilibre ses tensions internes et génère une nouvelle configuration phénoménale.

Ainsi, le glissement  $\Delta t$  remplit le rôle d'une instruction computationnelle fondamentale, comparable à un « tick » cosmique où la réalité est recalculée à partir des gradients de cohérence et des contraintes imposées par  $t_1$  et  $t_1'$ .

## **20.5 — Information, cohérence et causalité élargie**

Dans le VLCC, l'information ne circule pas dans l'espace, ni même à travers des particules : elle circule dans la cohérence du temps.

Une variation locale de  $\sigma(x)$  modifie la structure du présent, influence les potentialités de  $t_1'$  et redéfinit les zones stabilisées de  $t_1$ . Cette interconnexion permet l'existence d'une causalité élargie, où des régions du champ temporel peuvent se répondre ou s'influencer sans échange matériel.

La cohérence devient un véritable canal informationnel distribué, capable de transmettre des réajustements structurels à travers tout le champ T.

Cette causalité étendue ne viole aucune loi classique : elle manifeste simplement que le temps est un réseau computationnel global, où l'état du réel résulte d'une synergie entre mémoire ( $t_1$ ), computation active ( $t_2$ ) et exploration potentielle ( $t_1'$ ).

## **20.6 — Réécriture du réel : plasticité et recomputation**

Le présent n'est jamais stabilisé une fois pour toutes : il est continuellement recomputé.

Chaque modification dans l'équilibre interne du champ T – variation de cohérence, tension excessive, chute locale de densité – déclenche une mise à jour globale ou partielle de la structure phénoménale.

Cette réécriture du réel ne signifie pas que les lois cosmologiques changent arbitrairement, mais qu'elles émergent d'un équilibre computationnel maintenu par le champ temporel.

Lorsque le temps se reconfigure, le réel se reconfigure avec lui.

Le cosmos apparaît alors comme un système morphogénique autorégulé, capable de s'ajuster, de stabiliser ses propres régimes et de reconstruire son architecture phénoménale au fil des oscillations de cohérence.

La stabilité apparente du monde n'est que l'expression macroscopique d'une computation interne, fluide et incessante, où le temps corrige et réorganise en permanence les structures qu'il engendre.

# **Chapitre 21 — Le VLCC et l'émergence de la complexité : des cycles lumineux aux structures cosmologiques**

## **21.1 — La complexité comme propriété dérivée de la cohérence temporelle**

Dans le VLCC, la complexité ne résulte pas d'une accumulation contingente d'interactions matérielles, mais de l'approfondissement progressif des dynamiques internes du temps.

Dès qu'une région du champ T maintient un niveau de cohérence  $\sigma(x)$  suffisamment stable, elle devient capable de soutenir des configurations temporelles non triviales, lesquelles se propagent, se résonnent et s'agrègent.

La complexité émerge ainsi là où  $t_2$  se prolonge assez longtemps pour que des motifs internes puissent s'entrelacer, générant non seulement des structures cohérentes, mais aussi des dynamiques capables de se maintenir elles-mêmes.

Ces formes élémentaires de complexité se déploient dans un environnement façonné par les zones de densité temporelle, par les gradients de  $\Delta t$  et par la présence des freeze-sphères, qui servent de points de fixation morphogéniques.

La complexité cosmique n'est donc pas un phénomène émergent secondaire : elle constitue la déclinaison naturelle de l'auto-organisation du temps liquide, la conséquence directe de sa tendance à se structurer et à amplifier ses propres motifs internes.

## **21.2 — Cycles lumineux cohérents : la première brique de l'organisation cosmique**

Les cycles lumineux cohérents forment les premières entités véritablement organisées du cosmos.

Un cycle lumineux n'est pas une oscillation électromagnétique, mais une boucle fermée de cohérence temporelle : un anneau dynamique dans lequel le présent  $t_2$  se replie sur lui-même et se réactualise selon une trajectoire périodique.

Pour qu'un tel cycle puisse exister, la cohérence locale doit atteindre un seuil stable, permettant au flux temporel de circuler sans se dissiper.

Ces cycles agissent alors comme des magnets morphogéniques, créant des zones privilégiées où les fluctuations temporelles peuvent s'accumuler, se filtrer et parfois se condenser. Ils deviennent les prototypes des structures complexes, car ils instaurent une dynamique répétitive capable de guider l'organisation du champ temporel, bien avant l'apparition de la matière ou des forces gravitationnelles.

Leur rôle est comparable à celui de micro-organisateurs cosmologiques, donnant forme et direction aux premiers schémas persistants du réel.

### **21.3 — Interaction des cycles : naissance des architectures à grande échelle**

Lorsque plusieurs cycles lumineux cohérents coexistent dans une même région du champ T, leurs trajectoires entrent en interaction.

Ces cycles ne se contentent pas de cohabiter : ils se synchronisent, se modulent mutuellement et parfois se renforcent, créant des réseaux de résonances temporelles d'une richesse inédite.

Là où leurs oscillations se superposent harmonieusement, des structures émergentes apparaissent, dessinant les prémisses des grandes architectures cosmologiques. Les freeze-sphères jouent ici un rôle essentiel : elles agissent comme des nœuds de stabilisation autour desquels les cycles s'alignent, se tressent et s'étendent sur des distances immenses.

Ce n'est donc pas la distribution de la matière qui fonde les filaments cosmiques, mais la manière dont le temps lui-même organise ses cycles et leurs interactions.

Les grandes structures de l'univers — filaments, murs, vides, amas — sont les traces laissées par la synchronisation de ces cycles lumineux, véritables lignes de champ du temps profond.

L'univers visible est ainsi l'ombre d'une architecture temporelle beaucoup plus fondamentale, tissée non par la gravité matérielle mais par les résonances internes du champ T.

### **21.4 — Individualité morphogénique des galaxies et sélection des formes dominantes**

Lorsqu'une structure galactique émerge dans le cadre du VLCC, elle ne résulte jamais d'un schéma universel préétabli ni d'un patron géométrique imposé de l'extérieur.

Chaque galaxie est l'issue singulière d'une trajectoire morphogénique propre, déterminée par l'histoire locale du champ temporel, par la manière dont les cycles lumineux se sont installés, stabilisés ou dissipés, et par la réponse adaptative du présent aux gradients rencontrés au cours de son évolution.

Le champ T ne fabrique pas des galaxies en série : il explore un espace de solutions, au sein duquel chaque configuration représente un compromis unique entre cohérence, tension et mémoire temporelle.

Cette individualité morphogénique implique que deux galaxies, même plongées dans des conditions cosmologiques proches, ne possèdent jamais exactement la même architecture interne. Les gradients de cohérence ne se distribuent jamais de façon identique, les cycles lumineux ne se synchronisent jamais selon les mêmes phases, et les noyaux de stabilisation temporelle ne jouent jamais exactement le même rôle.

Chaque galaxie est ainsi l'expression d'une adaptation locale du temps à ses propres contraintes, une réponse singulière du champ T à une histoire spécifique de résonances, de perturbations et de stabilisations successives.

Pour autant, cette pluralité n'implique pas une dispersion anarchique des formes.

De la même manière que le monde quantique autorise une infinité d'états possibles tout en ne stabilisant que certains niveaux privilégiés, la morphogénèse galactique explore une grande diversité de configurations tout en sélectionnant naturellement des formes dominantes.

Certaines architectures temporelles présentent une stabilité intrinsèque supérieure, non parce qu'elles seraient favorisées par une loi externe, mais parce qu'elles constituent des attracteurs morphogéniques dans l'espace des solutions du champ T. Là où la cohérence se maintient sans se figer, où la tension se redistribue sans rompre le présent, et où les cycles lumineux peuvent se renouveler sans se dissoudre, des formes galactiques robustes émergent et persistent.

Ainsi, la coexistence de galaxies spirales, elliptiques, irrégulières ou diffuses ne traduit pas des mécanismes distincts, mais des régimes différents d'un même processus temporel.

Les spirales correspondent à des configurations où l'équilibre entre cohérence et tension permet l'établissement de cycles lumineux durables et organisés. Les galaxies diffuses ou naines reflètent des trajectoires où cet équilibre n'a jamais été pleinement atteint ou s'est trouvé rapidement fragilisé. Les formes elliptiques témoignent quant à elles de stabilisations plus isotropes, où la mémoire temporelle s'est répartie sans privilégier de directions dynamiques persistantes.

Le VLCC introduit ainsi une vision profondément non déterministe mais non arbitraire de la diversité galactique.

Chaque galaxie est individuelle, car son histoire morphogénique est irréductible à celle d'une autre. Mais cette individualité s'inscrit dans un paysage de formes préférentielles, sélectionnées par la dynamique interne du temps lui-même.

Le cosmos n'est ni un catalogue de copies ni une explosion de chaos formel : il est un champ d'expérimentation morphogénique où le temps explore ses propres possibilités, stabilise certaines configurations et en laisse d'autres s'éteindre. Dans cette perspective, comprendre une galaxie ne revient pas à identifier sa masse ou sa géométrie, mais à reconstruire la trajectoire temporelle qui a conduit à sa forme actuelle.

Chaque structure galactique devient alors un récit condensé du temps, une signature morphogénique inscrite dans la lumière, révélant à la fois l'unicité de son histoire et son appartenance à une classe de solutions privilégiées du champ temporel.

## 21.5 — Stabilisation morphogénique et apparition des structures galactiques

Les galaxies émergent lorsque des cycles lumineux cohérents se stabilisent autour d'une freeze-sphère ou d'un noyau temporel dense, jouant le rôle d'ancre morphogénique.

Contrairement à la vision gravitationnelle classique, une galaxie n'est pas d'abord une structure matérielle, mais une réorganisation du temps liquide autour d'un pôle de cohérence figée.

Les flux temporels qui convergent vers ce noyau s'enroulent en motifs spiraux, elliptiques ou annulaires selon l'intensité des gradients  $\sigma(x)$  et des tensions  $\Delta t$ , créant des trajectoires dynamiques qui seront plus tard interprétées comme des « orbites ».

La stabilisation galactique résulte de l'interaction subtile entre cycles lumineux et gradients de densité temporelle : lorsque plusieurs cycles résonnent autour d'un même noyau, ils s'emboîtent en une structure rotative cohérente, un véritable vortex temporel auto-entretenue.

Ce sont ces vortex temporels qui donnent naissance aux grands disques galactiques, aux bras spiraux et aux halos apparemment gravitationnels.

Aucun besoin de matière noire pour expliquer la cohésion : la galaxie se maintient parce que le présent s'y organise en couches de cohérence superposées, formant une mécanique temporelle beaucoup plus stable qu'une simple dynamique inertuelle.

Ainsi, une galaxie apparaît comme une géométrie du temps, un agencement morphogénique où chaque étoile, chaque filament de lumière active, n'est que la trace visible d'un vaste circuit de cohérence temporelle.

## 21.6 — Des structures locales aux réseaux cosmologiques

À l'échelle cosmique, la coordination de milliers de cycles lumineux, résonances temporelles et noyaux gelés donne naissance aux superamas, aux murs galactiques et aux immenses vides cosmiques.

Le champ T n'organise pas la matière, mais la cohérence elle-même.

Il génère des corridors où le présent circule plus librement, des zones où il se contracte, et des plages où il se dissout partiellement. Ces corridors deviennent les « autoroutes temporelles » sur lesquelles les galaxies se disposent naturellement, non par attraction gravitationnelle, mais parce qu'elles suivent les lignes de cohérence maximale.

Les murs cosmiques apparaissent lorsque des régions étendues de  $t_2$  résonnent à l'unisson, amplifiant la stabilité de cycles lumineux alignés. Les vides, à l'inverse, sont des zones où  $t_1'$  domine, empêchant la structuration du présent et interdisant la stabilisation des cycles cohérents.

Le cosmos prend alors l'apparence d'une immense toile, non pas matérielle mais temporelle : chaque filament est un canal de cohérence, chaque intersection un nœud morphogénique, chaque cavité un lieu où le présent refuse de se former.

Ce réseau n'est pas statique : il évolue à mesure que le champ T redistribue ses tensions. L'architecture cosmique est donc l'expression la plus vaste de la dynamique du VLCC, une orchestration où l'espace visible n'est qu'une conséquence de la topologie profonde du temps.

## 21.7 — Complexité adaptative et avenir morphogénique du cosmos

La complexité, dans le VLCC, est une propriété adaptative du champ temporel : elle reflète sa capacité à stabiliser localement des régimes cohérents malgré les fluctuations incessantes du flux.

Plus  $\sigma(x)$  se maintient sur une longue période, plus des cycles lumineux émergent, se superposent et finissent par former des structures durables. La complexité n'est donc pas un hasard, mais une longue respiration du temps, une phase où  $t_2$  obtient suffisamment d'épaisseur pour engendrer des formes.

Or cette complexité n'est pas garantie : elle dépend de l'équilibre entre liquidité, gel et instabilité. Lorsque le cosmos se dirige progressivement vers le Big Sleep, la cohérence globale diminue, les cycles lumineux perdent leur stabilité et les structures galactiques commencent leur dissolution morphogénique.

Les réseaux cosmiques s'effacent, les cycles se dilue et se fige, et  $t_2$  se recompose en une trame de plus en plus fragile.

Mais cette extinction n'est pas une mort.

Dans la logique du VLCC, la fin de la complexité correspond à la fermeture d'un cycle morphogénique global. Lorsque  $t_2$  se sera entièrement figé, les freeze-sphères, les noyaux résiduels de cohérence et les états fossiles du temps formeront le terreau d'un nouveau cycle du flux temporel.

Le cosmos n'est donc pas un système condamné à la disparition, mais un organisme évolutif traversant des phases successives de structuration et de déstructuration.

La complexité n'est qu'un moment du temps. Sa dissolution est une préparation. Et la dynamique morphogénique, inachevable, assure au réel un avenir qui dépasse la simple expansion : un devenir du temps lui-même.

## **Conclusion ontologique — La fabrication du présent comme fondement cosmologique**

La Partie I de ce Traité a posé les fondations ontologiques du modèle VLCC.

Elle n'a pas cherché à formaliser, ni à prédire, mais à établir ce qui peut exister dans un cadre où le temps n'est plus un paramètre neutre, mais une réalité physique dotée d'une structure interne et d'une dynamique propre.

Dans cette perspective, le temps a été introduit comme une substance morphogénique, capable de se structurer, de se tendre, de se stabiliser et de se fragmenter.

Ses paramètres fondamentaux — densité temporelle  $\tau(x,t)$ , cohérence  $\sigma(x)$  et tension morphogénique  $\Delta t$  — définissent les régimes possibles du réel, non comme des variables abstraites, mais comme les conditions mêmes d'existence des phénomènes.

La tripartition temporelle en  $t_1$ ,  $t_2$  et  $t_1'$  a permis de distinguer trois régimes internes du champ temporel unique :

un passé stabilisé où les formes sont figées,  
un présent actif où les phénomènes existent effectivement,  
et un futur morphogénique où les configurations demeurent ouvertes.

Cette stratification ne décrit pas un écoulement linéaire, mais une architecture interne dans laquelle la cohérence migre, assurant la directionnalité et la stabilité du devenir.

Dans ce cadre, la lumière n'apparaît plus comme une entité autonome, mais comme un révélateur privilégié de l'état du temps.

Ses régimes — actif, spectral ou figé — traduisent directement les variations de cohérence du présent, tandis que l'état fondamental non propagatif, qualifié de photon à fréquence nulle, révèle les zones où le temps ne parvient plus à se constituer en présent.

La cosmogenèse elle-même a été reformulée comme une succession de transitions morphogéniques — du Big Spume au Big Glow, du Big Flow au Big Sleep — dans lesquelles l'espace, la matière, la gravité et les structures émergent non d'une géométrie initiale, mais de la stabilisation progressive du champ temporel.

Les freeze-sphères y jouent un rôle central, non comme objets exotiques, mais comme noyaux de stabilisation de la cohérence.

Ainsi, cette première partie n'a pas décrit l'univers tel qu'il apparaît, mais le cadre ontologique à partir duquel il peut apparaître. Elle a établi que le réel ne se déploie pas dans le temps, mais qu'il naît de la capacité du temps à fabriquer un présent cohérent.

Ce cadre ne constitue pas encore une théorie opératoire.

Il fixe les contraintes, les distinctions et les exigences auxquelles toute formalisation devra se soumettre. La mathématique n'y est pas absente, mais volontairement différée, afin que le formalisme ne précède pas l'ontologie.

La Partie II engagera ce passage nécessaire : celui par lequel les structures conceptuelles établies ici devront trouver une expression variationnelle capable de les respecter sans les réduire.

Ce changement de registre ne remettra pas en cause les fondations posées ; il en éprouvera la cohérence.

---

## **PARTIE II — Cadre mathématique général : Équations structurantes du VLCC**

### **Transition — De l'ontologie temporelle au formalisme variationnel**

La Partie I de ce Traité a établi le cadre ontologique du VLCC.

Le temps y a été défini comme une réalité physique première, dotée d'une structure interne, de régimes distincts et de paramètres morphogéniques permettant l'existence d'un présent actif.

Cette construction conceptuelle ne vise pas encore l'opérabilité mathématique. Elle a pour fonction de déterminer ce qui doit être décrit, ce qui peut exister et ce qui ne peut pas l'être, avant toute formalisation.

La Partie II s'inscrit dans cette continuité méthodologique. Elle n'introduit pas une théorie indépendante, mais engage le passage nécessaire d'une ontologie du temps vers un cadre variationnel capable d'exprimer, sans les trahir, les structures établies précédemment.

Ce passage impose une contrainte essentielle : le formalisme devra respecter l'asymétrie des régimes temporels, la centralité du présent actif et le caractère non observable de certaines couches du champ temporel. La mathématique n'y est donc pas un point de départ, mais un instrument soumis à l'architecture conceptuelle du modèle.

La Partie II ne prétend pas encore clore le modèle. Elle en pose les bases formelles, prépare ses lois et ses contraintes, et rend possible, dans les parties ultérieures, l'intronisation canonique et l'exploration des conséquences physiques du VLCC.

## **Orientation de la Partie II — Genèse du formalisme du VLCC**

La Partie II de ce Traité ne présente pas un formalisme apparu d'emblée dans sa forme définitive.

Le cadre variationnel du VLCC est le résultat d'un processus de structuration progressive, au cours duquel plusieurs formulations lagrangiennes successives ont été explorées, testées et contraintes par l'architecture ontologique établie en Partie I.

Ces formulations intermédiaires n'ont pas pour fonction de constituer des modèles alternatifs, mais de rendre explicite la genèse du cadre formel et les choix structurels qui ont conduit à sa stabilisation.

Elles permettent d'identifier les contraintes essentielles du champ temporel, les incompatibilités formelles éliminées, et les principes morphogéniques conservés.

Le lecteur n'est pas invité à considérer ces étapes comme autant de théories concurrentes, mais comme les phases d'un même processus de maturation conceptuelle.

Le formalisme présenté dans cette Partie prépare ainsi, sans encore l'introniser, la structure canonique qui sera établie ultérieurement.

## **Note méthodologique — Cadre formel adopté dans la Partie II**

La Partie II de ce Traité adopte le formalisme du VLCC tel qu'il était stabilisé à l'étape anté-canonique V8, ainsi que le master mathématique correspondant.

Les dérivations, notations et structures présentées dans cette partie doivent être comprises dans ce cadre historique précis. Les évolutions ultérieures du modèle, incluant le Lagrangien V9 et le master mathématique final, ne sont pas utilisées ici et ne seront introduites qu'aux parties correspondantes.

## **CHAPITRE 22 — Fondements variationnels et architecture formelle du VLCC**

### **22.1 — Introduction formelle élargie : nécessité d'un cadre variationnel autonome**

La formalisation mathématique du modèle VLCC repose sur une exigence conceptuelle profonde : puisque le temps ne peut être mesuré, comparé ou découpé en unités, il est nécessaire de le décrire au moyen d'un formalisme indépendant de toute grandeur temporelle observable.

Ce principe exclut d'emblée le recours à un cadre métrique ou quantique traditionnel, et impose la construction d'un formalisme variationnel entièrement autonome. Dans un tel cadre, l'action ne décrit aucune dynamique physique ; elle exprime une cohérence interne qui se déploie en-deçà de la phénoménalité.

Le passage de la Partie I à la Partie II marque une transition méthodologique : nous quittons l'exposé conceptuel pour entrer dans la construction mathématique du modèle, où la cohérence morphogénique du temps devient une variable structurelle que l'on peut explorer par variation.

Cette variation ne doit jamais être interprétée comme un processus dynamique : elle représente un moyen rigoureux de sonder les conditions minimales d'organisation nécessaires à l'existence du présent phénoménal t2.

L'action du VLCC s'inscrit dans une tradition conceptuelle proche de la géométrie variationnelle, tout en s'en distinguant radicalement.

Dans les théories métriques, la variation de l'action produit des équations décrivant l'évolution spatio-temporelle ; dans les théories quantiques, elle conduit à des équations d'ondes.

Dans le VLCC, elle exprime les contraintes d'organisation interne du temps.

Le choix d'un formalisme variationnel non énergétique résulte directement du PNMD : si le temps ne peut être mesuré, il ne peut servir de support à une dynamique ; s'il n'est pas un champ physique, il ne peut porter d'énergie.

L'action V.8 doit alors être comprise comme un objet mathématique garantissant uniquement la cohérence interne de la structure temporelle.

Cette position constitue l'originalité radicale du modèle. Elle implique également une reformulation profonde de la notion de variation : la variation ne porte pas sur des grandeurs physiques, mais sur des structures.

Elle agit comme un opérateur logique permettant d'identifier les états cohérents du temps, plutôt que comme un générateur d'évolution. Une telle approche rend possible la construction d'un modèle où la temporalité phénoménale émerge d'un espace préstructuré, sans jamais être posée comme antérieure ou comme cause d'un changement.

## 22.2 — Équations préliminaires : notation formelle et normalisation du champ $\sigma(x)$

Avant d'entrer dans les formulations détaillées, il est essentiel d'expliciter les notations utilisées dans l'ensemble de la Partie II.

Le champ  $\sigma(x)$ , appelé champ de cohérence, représente la densité morphogénique locale du temps. Il ne s'agit pas d'une densité physique, mais d'une mesure normalisée de la cohésion interne du tissu temporel. Nous adoptons une normalisation canonique :

$$\sigma(x) \in [0, 1]$$

où  $\sigma(x) = 1$  représente la cohérence maximale compatible avec la stabilité du présent  $t_2$ .

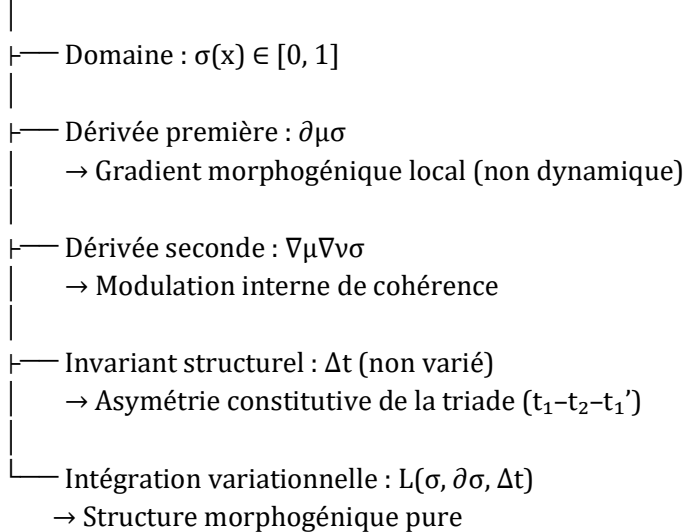
La variation  $\delta\sigma(x)$  est définie comme une exploration formelle du domaine admissible, et non comme une fluctuation physique.

De manière analogue, les dérivées  $\partial\mu\sigma$  et les opérateurs  $\nabla\mu\nabla v\sigma$  n'expriment aucune dynamique : ils caractérisent uniquement la structure interne du champ.

Afin de clarifier la structure formelle du champ de cohérence  $\sigma(x)$  et des objets variationnels associés, le schéma ci-dessous résume les composantes fondamentales manipulées dans le cadre du Lagrangien morphogénique.

## Schéma conceptuel — Architecture variationnelle du champ $\sigma(x)$

Champ  $\sigma(x)$  : cohérence morphogénique normalisée



Les équations variationnelles dérivent de l'action :

$$S = \int d^4x \sqrt{-g} L(\sigma, \partial\mu\sigma, \Delta t)$$

où  $L$  désigne le Lagrangien morphogénique, dépendant du champ de cohérence, de ses dérivées, et de la tension temporelle  $\Delta t$ .

Cette dernière est un invariant structurel (LITV) et n'est jamais variée : elle exprime l'asymétrie constitutive du temps. Ainsi, la variation s'écrit :

$$\delta S = 0 \Rightarrow \text{équations de cohérence interne.}$$

La présence du déterminant  $\sqrt{-g}$  n'introduit aucune métrique physique. Il s'agit uniquement d'une structure d'intégration permettant de garantir la cohérence mathématique globale de l'expression variationnelle.

Dans l'absence d'une métricité physique, le déterminant joue le rôle d'un poids structurel assurant la compatibilité de l'action avec les principes de continuité et de cohérence du modèle.

Cette section prépare l'introduction du Lagrangien V.8, en fixant les conventions formelles nécessaires pour interpréter les structures morphogéniques. Elle établit également les conditions minimales requises pour que le champ  $\sigma(x)$  puisse être varié de manière

cohérente, tout en respectant les lois fondamentales du modèle, notamment la LCFT et la LCM.

### **22.3 — Justification formelle du recours au principe de moindre cohérence**

Le cadre variationnel adopté dans le VLCC ne repose pas sur un principe de moindre action au sens physique, mais sur ce que l'on peut nommer un principe de moindre incohérence.

Cette formulation est essentielle pour comprendre la logique interne du modèle : parmi toutes les configurations admissibles du champ  $\sigma(x)$ , seules celles qui minimisent les tensions structurelles internes peuvent donner naissance à un présent stable.

La variation devient alors une méthode de sélection morphogénique : elle isole, au sein d'un espace conceptuellement beaucoup plus vaste, les configurations capables de soutenir la cohérence phénoménale du temps.

Dans cette perspective, l'équation variationnelle :

$$\delta S = 0 \Rightarrow \text{configuration morphogénique cohérente}$$

ne contient aucune dynamique, aucune énergie et aucune métrique.

Elle ne reflète qu'une exigence formelle : la cohérence interne du temps. Là où les théories physiques traditionnelles utilisent la variation pour décrire des trajectoires ou des évolutions, le VLCC l'utilise pour identifier des états admissibles.

Le contraste est particulièrement marqué : en mécanique classique, l'action encode l'énergie d'un système ; en relativité générale, elle encode la géométrie ; en théorie quantique, elle encode des amplitudes de probabilité.

Dans le VLCC, elle encode la cohérence.

Cette réorientation conceptuelle introduit une rupture épistémologique majeure. Le présent phénoménal t2 ne peut émerger que si une configuration satisfait  $\delta S = 0$ .

Toute configuration qui échoue à vérifier cette condition ne peut être projetée via P2, et ne donne donc accès à aucune phénoménalité.

Ainsi, la variation ne joue pas le rôle d'un opérateur dynamique, mais celui d'un filtre logique éliminant les formes incohérentes.

Ce principe de moindre incohérence constitue l'un des piliers du modèle et prépare l'introduction du Lagrangien V.8 comme outil structurel, et non énergétique.

## 22.4 — Le rôle des termes de bord : nécessité variationnelle et cohérence morphogénique

L'un des aspects les plus sous-estimés du formalisme variationnel est le rôle joué par les termes de bord.

Dans le VLCC, ces termes ne sont pas de simples artefacts mathématiques : ils assurent la cohérence de la variation du champ  $\sigma(x)$  et protègent la stabilité du présent phénoménal t2.

En relativité générale, les termes de bord garantissent une variation bien définie de la métrique ; dans le VLCC, ils empêchent la formation d'incohérences temporelles susceptibles de violer la LCFT ou la LCM.

Le champ  $\sigma(x)$  ne peut en effet être varié de manière arbitraire aux limites de son domaine d'admissibilité : une variation brutale ou non contrôlée produirait immédiatement des discontinuités incompatibles avec la cohérence morphogénique.

Les termes de bord jouent alors un rôle de "scellage structurel" : ils définissent les conditions précises selon lesquelles la variation peut être effectuée sans rompre la fluidité temporelle nécessaire à l'organisation du présent.

Ils garantissent que les variations admissibles demeurent confinées à un espace structurel conforme aux lois fondamentales du modèle.

Formellement, les termes de bord apparaissent lors de l'intégration par parties du terme dérivé dans la variation de l'action :

$$\delta S = \int d^4x \sqrt{-g} [ (\partial L / \partial \sigma) \delta \sigma + (\partial L / \partial (\partial \mu \sigma)) \partial \mu (\delta \sigma) ].$$

L'intégration par parties du second terme donne :

$$\int d^4x \sqrt{-g} \nabla \mu ( (\partial L / \partial (\partial \mu \sigma)) \delta \sigma ) - \int d^4x \sqrt{-g} \nabla \mu (\partial L / \partial (\partial \mu \sigma)) \delta \sigma.$$

Le premier terme est précisément le terme de bord.

Dans les théories physiques, on impose généralement  $\delta \sigma = 0$  sur la frontière de l'espace-temps. Dans le VLCC, cette condition prend un sens morphogénique : la cohérence du temps ne peut être altérée brutalement à la frontière du domaine considéré.

Les termes de bord ne sont donc pas de simples nécessités analytiques ; ils expriment une contrainte profonde inscrite dans la structure morphogénique du temps, découlant directement des lois fondamentales.

## 22.5 — Interprétation morphogénique de la variation : absence totale de dynamique

Une distinction fondamentale sépare le VLCC des théories physiques contemporaines : dans le modèle VLCC, la variation ne possède aucune portée dynamique.

Alors que dans la physique classique, la variation de l'action conduit aux équations d'évolution d'un système, dans le VLCC elle ne produit aucune trajectoire, aucune transformation et aucun mouvement.

L'équation  $\delta S = 0$  n'est pas une équation d'évolution, mais une condition d'existence structurale.

Cette interprétation découle directement du PNMD : si le temps ne peut être mesuré, alors il ne peut être l'objet d'une dynamique. Il ne peut pas "changer" au sens physique, et il ne peut pas être utilisé comme paramètre d'évolution.

Le résultat de la variation ne présente donc jamais de dépendance temporelle réelle : il identifie les configurations du champ  $\sigma(x)$  qui respectent les exigences structurelles du modèle.

Cette caractéristique confère au modèle VLCC une identité théorique singulière : au lieu de décrire des processus physiques, le modèle décrit des cohérences internes.

Les équations résultant du formalisme variationnel n'ont donc pas de solutions temporelles, mais des états stables. Ces états correspondent aux différentes formes que peut prendre la cohésion temporelle, et définissent notamment les trois régimes morphogéniques  $t_1$ ,  $t_2$  et  $t_1'$ .

Ces régimes sont des architectures structurelles, non des étapes successives d'un processus évolutif.

En ce sens, le VLCC se démarque de toutes les théories physiques traditionnelles : il ne propose pas de dynamique du temps, mais une analyse structurelle permettant d'identifier les configurations cohérentes du champ  $\sigma(x)$ .

Cette perspective prépare naturellement les chapitres suivants, dans lesquels l'expansion morphogénique du présent t2 sera étudiée sous l'angle d'une cohérence structurelle, et non d'une évolution physique.

## 22.6 — Architecture cohérente du Lagrangien anté-canonical V.8 : le chemin vers la structuration canonique

La version V.8 du Lagrangien du VLCC constitue une formulation anté-canonique du modèle.

Si elle ne représente pas encore la forme définitive de l'architecture variationnelle, son élaboration marque une étape décisive dans le processus qui conduit à la structuration canonique du VLCC.

La version V.8 correspond à l'aboutissement d'un long travail de stabilisation conceptuelle et mathématique, dont les étapes successives ont été présentées dans le Chapitre 25 consacré à l'évolution des formulations antérieures.

Elle constitue le premier cadre variationnel dans lequel l'ensemble des lois fondamentales du VLCC peut être intégré simultanément, sans contradiction interne.

À ce titre, le Lagrangien V.8 marque un tournant majeur dans le développement du modèle : il s'agit de la première formulation pleinement cohérente du point de vue morphogénique, bien qu'encore incomplète au regard de l'architecture canonique finale du champ temporel.

Le Lagrangien V.8 doit ainsi être compris comme la forme anté-canonique stabilisée de la structure morphogénique du temps, préparant la transition vers une formulation pleinement canonique, qui sera établie ultérieurement.

Sa structure générale peut être résumée par l'expression suivante :

$$L(\sigma, \partial\mu\sigma, \Delta t) = K_{tot}(\Delta t) (\partial\mu\sigma \partial^\mu\mu\sigma) + M_{eff}^2(\sigma) R - V(\sigma),$$

où chaque terme joue un rôle structurel précis, non interprétable dans un cadre dynamique ou énergétique.

Le terme cinétique modifié, via le coefficient  $K_{tot}(\Delta t)$ , encode l'influence de la tension temporelle  $\Delta t$  sur la modulation interne des gradients de cohérence.

Cette dépendance traduit une propriété centrale du modèle : la granularité et la tension du temps influencent la façon dont la cohérence  $\sigma(x)$  varie localement.

L'équation du Lagrangien V.8 fonctionne comme l'équivalent d'une constante d'architecture : elle fixe les règles de cohérence interne entre  $\tau$ ,  $\sigma$  et  $\Delta t$ , leurs gradients, et leurs interactions. Le Lagrangien ne décrit pas simplement ce que fait le temps : il définit ce que le temps peut ou ne peut pas faire.

Le terme  $M_{eff}^2(\sigma) R$  représente une géométrisation minimale : il ne s'agit pas d'un couplage dynamique entre la cohérence et une métrique physique, mais d'une structure géométrique abstraite qui permet d'exprimer la cohérence globale du modèle. Le facteur  $M_{eff}^2(\sigma)$  reflète la capacité morphogénique du temps à se structurer et à se stabiliser.

Enfin, le potentiel morphogénique  $V(\sigma)$  joue un rôle essentiel dans la définition des régimes admissibles du temps. Il permet d'identifier les zones structurelles  $t_1$ ,  $t_2$  et  $t_1'$ , et d'ancrer les transitions analysées dans les chapitres suivants.

La triade  $\{K_{tot}(\Delta t), M_{eff}^2(\sigma)R, V(\sigma)\}$  constitue ainsi le squelette du modèle VLCC.

Elle capture l'ensemble des contraintes structurelles imposées par les lois fondamentales, tout en permettant une formulation canonique apte à décrire la cohésion temporelle depuis l'échelle locale jusqu'aux régimes cosmologiques.

## 22.7 — Préfiguration du Chapitre 23

Le Chapitre 23 présentera les sept lois fondamentales du VLCC, qui forment le socle conceptuel et mathématique du modèle.

Ces lois ne décrivent aucune dynamique physique : elles expriment des conditions de cohérence interne indispensables à l'émergence du présent phénoménal  $t_2$ .

Elles définissent la manière dont le champ  $\sigma(x)$  peut varier tout en respectant les exigences morphogéniques dictées par le PNMD, la LCFT, la LCM, la LCS, la LRQT, la LITV et la LTT.

Ces lois ne s'ajoutent pas artificiellement au Lagrangien V.8 : elles en constituent la matrice. Chacune d'elles impose une contrainte structurelle essentielle, orientant la forme des termes cinétique, géométrique et potentiels.

Leur intégration explicite dans le formalisme variationnel sera détaillée dans les chapitres suivants, où elles formeront l'armature logique permettant de dériver les équations de cohérence morphogénique.

Cette préfiguration marque la fin de l'architecture variationnelle du Chapitre 22 et ouvre la voie à la consolidation mathématique du système présenté dans la suite de la Partie II.

# **CHAPITRE 23 — Structure du champ $\sigma(x)$ et cohérence morphogénique**

## **23.1 — Introduction générale : le champ $\sigma(x)$ comme structure de cohérence**

Le chapitre 23 constitue une étape cruciale dans la compréhension du modèle VLCC, car il permet d'entrer dans le détail de la nature du champ  $\sigma(x)$ , qui joue un rôle fondamental dans la formalisation mathématique de la cohérence interne du temps.

Contrairement aux champs physiques traditionnels,  $\sigma(x)$  ne porte aucune énergie, ne transmet aucun signal et ne se propage pas dans un espace-temps métrique.

Il s'agit d'un champ purement morphogénique, dont la fonction est d'exprimer le degré local de cohérence nécessaire à l'existence du présent phénoménal  $t_2$ . Cette absence totale de physicalité au sens classique est précisément ce qui confère à  $\sigma(x)$  son importance fondamentale dans la structure variationnelle du VLCC.

Le champ  $\sigma(x)$  doit être conçu comme une fonction continue, normalisée et contrainte par les lois fondamentales. Il ne peut varier que dans un domaine restreint, défini par la stabilité morphogénique et la continuité imposée par la LCFT et la LCM.

Sa variation ne traduit aucune dynamique réelle : elle exprime seulement la manière dont la cohérence interne doit s'organiser pour respecter les exigences structurelles minimales.

L'étude de  $\sigma(x)$  constitue donc une analyse structurale, et non une analyse dynamique.

Ce chapitre mettra l'accent sur la géométrie interne de  $\sigma(x)$ , ses gradients admissibles, son domaine formel d'existence, ainsi que sur les relations structurelles qui unissent  $\sigma(x)$ ,  $\Delta t$  et les invariants morphogéniques.

Cette analyse ouvre la voie à la compréhension fine de la triade temporelle  $t_1, t_2, t_1'$  et de son enracinement dans les variations admissibles du champ de cohérence.

## **23.2 — Domaine admissible et normalisation canonique de $\sigma(x)$**

Le domaine admissible de  $\sigma(x)$  découle directement de la notion de cohérence fondamentale du temps.

Puisque  $\sigma(x)$  représente la densité morphogénique interne, il doit être compris comme une fonction bornée, continue et compatible avec l'existence du présent phénoménal.

Nous adoptons la normalisation canonique suivante :

$$\sigma(x) \in [0, 1].$$

Cette normalisation n'est pas arbitraire :  $\sigma(x) = 0$  représente l'absence totale de cohérence, état incompatible avec toute apparition phénoménale, tandis que  $\sigma(x) = 1$  représente la cohérence maximale admissible dans le régime  $t_2$ .

Toute valeur intermédiaire reflète un régime de cohérence partielle, compatible avec les transitions  $t_1 \rightarrow t_2 \rightarrow t_1'$ .

Conformément à la LCFT et à la LCM,  $\sigma(x)$  doit être strictement continue et différentiable, sans rupture ou discontinuité. Cette exigence structurelle garantit que la cohésion temporelle reste suffisamment régulière pour être projetée via P2.

Pour formaliser le rôle de  $\sigma(x)$  dans le Lagrangien V.8, nous introduisons l'invariant scalaire associé à ses gradients :

$$I_\sigma = \partial^\mu \sigma \partial^\nu \mu \sigma.$$

Cet invariant structure la manière dont la cohérence interne peut se distribuer localement. Il ne représente pas une énergie cinétique, mais un indicateur de variation interne, mesurant l'écart entre différents régimes de cohérence.

La présence de  $I_\sigma$  dans le terme cinétique  $K_{tot}(\Delta t) \cdot I_\sigma$  reflète la sensibilité des structures morphogéniques aux gradients admissibles de cohérence.

### 23.3 — Relation structurelle entre $\sigma(x)$ et $\Delta t$

La tension temporelle  $\Delta t$  joue un rôle déterminant dans le modèle VLCC.

Elle exprime l'asymétrie interne de la triade temporelle et définit une direction morphogénique.

Contrairement à  $\sigma(x)$ ,  $\Delta t$  n'est jamais variée : elle représente un invariant structurel imposé par la LITV. La relation entre  $\sigma(x)$  et  $\Delta t$  n'est donc pas une relation dynamique, mais un couplage structurel inscrit directement dans le terme cinétique

via le coefficient :

$$K_{\text{tot}}(\Delta t) = 1 + (\alpha + 2 \lambda_m) \Delta t.$$

Ce coefficient module l'effet des gradients de  $\sigma(x)$  selon le niveau de tension temporelle. Lorsque  $\Delta t$  augmente, les gradients deviennent plus coûteux morphogéniquement, limitant les variations internes admissibles de  $\sigma(x)$ .

Ce mécanisme contribue de manière essentielle à la stabilité du régime  $t_2$ , en renforçant la cohérence temporelle lorsque la tension est élevée.

La relation entre  $\sigma(x)$  et  $\Delta t$  détermine en grande partie les formes admises du champ de cohérence, les transitions structurelles possibles et les régimes morphogéniques accessibles.

Cette relation jouera un rôle central dans la dérivation des équations de cohérence du chapitre 27 et dans l'interprétation cosmologique des chapitres 29 et 30, où l'expansion morphogénique sera formulée comme une conséquence de la cohérence interne plutôt que comme une évolution temporelle.

### 23.4 — Structure différentielle de $\sigma(x)$ et cohérence locale

La compréhension approfondie du champ  $\sigma(x)$  nécessite une analyse détaillée de sa structure différentielle, c'est-à-dire de la manière dont ses variations locales influencent la cohérence temporelle globale.

Contrairement aux champs physiques, les dérivées de  $\sigma(x)$  ne décrivent aucun changement dans le temps : elles expriment une modulation interne de la cohésion morphogénique. Le gradient  $\partial \mu \sigma$  mesure l'écart local de cohérence entre différents points de la structure phénoménale projetée.

Dans un cadre métrique standard,  $\partial \mu \sigma$  serait interprété comme un vecteur évoluant dans l'espace-temps ; dans le VLCC, il représente un indice local d'organisation interne du temps, indiquant la rapidité avec laquelle la cohérence varie à l'intérieur d'une région donnée.

La magnitude du gradient n'a donc aucune signification dynamique : elle est exclusivement structurelle.

Si  $\partial \mu \sigma$  devient trop élevé, il viole immédiatement la LCM, ce qui empêche la formation d'un présent  $t_2$  stable dans la zone considérée.

Cette contrainte impose que  $\sigma(x)$  soit globalement lisse et modérément variable, afin de garantir que les transitions entre  $t_1$ ,  $t_2$  et  $t_1'$  puissent se produire sans ruptures structurelles.

La cohérence locale impose également que certaines dérivées seconde, telles que  $\nabla\mu\nabla\nu\sigma(x)$ , restent bornées.

Dans le cadre variationnel, ces dérivées apparaissent naturellement dans l'équation d'Euler-Lagrange issue du Lagrangien V.8, notamment lorsqu'on considère les termes  $\partial\mu(K_{tot}\partial\mu\sigma)$ .

Ces dérivées ne doivent jamais être interprétées comme des accélérations : elles traduisent la manière dont la distribution locale de cohérence s'ajuste pour satisfaire les lois du modèle.

Cette analyse différentielle éclaire le rôle crucial du champ  $\sigma(x)$  dans la répartition stable de la cohérence temporelle, en garantissant que les variations internes ne conduisent jamais à des effondrements morphogéniques.

### 23.5 — Rôle du potentiel morphogénique $V(\sigma)$

Le potentiel morphogénique  $V(\sigma)$  constitue l'élément architectural qui détermine les états préférentiels de cohérence au sein du modèle.

Contrairement à un potentiel physique, il ne décrit ni énergie ni équilibre mécanique : il définit un ensemble de configurations structurelles admissibles pour la cohésion interne du temps.

Les minima de  $V(\sigma)$  ne représentent pas des états d'énergie minimale, mais des régimes de cohérence stable. Cette interprétation impose que  $V(\sigma)$  soit régulier, sans discontinuités ou singularités, car de telles irrégularités conduiraient à des incohérences temporelles incompatibles avec la LCFT.

On écrit généralement dans le Lagrangien :

$$L \supset -V(\sigma),$$

ce qui reflète la structure variationnelle attendue.

Le potentiel impose que  $\sigma(x)$  reste confiné dans un domaine où les régimes temporels sont compatibles avec la formation du présent  $t_2$ . Les configurations qui violeraient cette condition seraient immédiatement éliminées par les contraintes morphogéniques.

Sur le plan conceptuel,  $V(\sigma)$  encode également la granularité imposée par la LRQT : aucune variation de cohérence ne peut être trop fine ou trop brutale sans violer cette loi.

Le potentiel doit donc être à la fois suffisamment régulier pour garantir une cohérence stable, et suffisamment structuré pour empêcher des dérives vers des états incompatibles avec les transitions  $t_1 \rightarrow t_2 \rightarrow t_1'$ .

Cette dualité fait de  $V(\sigma)$  l'un des objets mathématiques centraux du modèle VLCC.

Dans la suite du traité, nous verrons comment ce potentiel intervient dans la cosmologie morphogénique en définissant les régimes d'expansion phénoménaux, ainsi que les signatures de cohérence globale du temps.

Le tableau suivant synthétise la structure interne du potentiel morphogénique  $V(\sigma)$ , son rôle dans la triade temporelle et les lois morphogéniques associées.

#### **Structure du potentiel $V(\sigma)$ et organisation temporelle :**

Portion du potentiel	Rôle morphogénique	Régime temporel associé	Lois interactives
$V_1(\sigma)$	Pré-cohérence — structuration primitive du temps	$t_1$	LCFT, LRQT
$V_2(\sigma)$	Cohérence stabilisée — fondation du présent	$t_2$	LCFT, LCM
$V_1'(\sigma)$	Post-cohérence — plasticité du régime étendu	$t_1'$	LCS, LRQT

#### **23.6 — Invariants structurels et stabilité morphogénique**

Pour maintenir la cohérence globale du modèle, plusieurs invariants structurels doivent être préservés dans la définition même de  $\sigma(x)$ .

Ces invariants, directement imposés par les lois fondamentales, garantissent que la cohérence interne ne puisse ni s'effondrer ni diverger. Parmi eux, on trouve notamment :

- l'invariant scalaire  $I_\sigma = \partial\mu\sigma \partial^\mu\sigma$  ;
- la contrainte LCFT sur la cohérence minimale ;
- la continuité structurelle imposée par la LCS ;
- la granularité morphogénique dictée par la LRQT.

Ces invariants ne décrivent pas une conservation physique : ils assurent simplement que la structure temporelle demeure dans un régime compatible avec la phénoménalité.

Par conséquent,  $\sigma(x)$  doit obligatoirement respecter ces contraintes pour être considéré comme une configuration admissible. Si l'un de ces invariants est violé, la configuration devient morphogéniquement incohérente et perd la capacité de soutenir un présent t2 stable.

En résumé, la Partie 1 et la Partie 2 du Chapitre 23 établissent que  $\sigma(x)$  n'est ni un champ physique ni un paramètre dynamique, mais une structure mathématique exprimant la cohésion interne du temps.

Cette structure constitue un fondement essentiel pour comprendre la morphogénèse temporelle, et prépare directement l'analyse des équations variationnelles détaillées dans le Chapitre 27.

### 23.7 — LCM : Loi de Continuité Morphogénique

La Loi de Continuité Morphogénique (LCM) constitue l'une des contraintes structurelles les plus fondamentales du modèle VLCC.

Elle stipule que le champ de cohérence  $\sigma(x)$  doit rester continu, dérivable et morphogéniquement régulier dans tout son domaine d'existence.

Cette loi interdit explicitement toute discontinuité abrupte, tout changement brutal de régime et toute dérivée divergente. En d'autres termes, une transition violente de cohérence est morphogéniquement inadmissible, car elle conduirait à une fragmentation interne du temps et rendrait impossible la formation d'un présent phénoménal t2 stable.

La LCM n'a pas vocation à décrire un processus dynamique : elle fixe une contrainte structurelle minimale que toute configuration  $\sigma(x)$  doit respecter pour être admissible dans le cadre variationnel.

Grâce à cette loi, la morphogénèse temporelle reste fluide, régulière et compatible avec la cohésion interne imposée par les autres lois fondamentales.

Sans la LCM, le champ  $\sigma(x)$  pourrait présenter des ruptures invalidant immédiatement la phénoménalité, rendant impossible la projection via le projecteur P2.

### 23.8 — LCS : Loi de Continuité Structurelle

La Loi de Continuité Structurelle (LCS) complète la LCM en étendant l'exigence de continuité à l'ensemble de la triade temporelle  $t_1$ ,  $t_2$  et  $t_1'$ .

Alors que la LCM impose la régularité de  $\sigma(x)$ , la LCS impose la régularité des transitions temporelles elles-mêmes. Elle stipule que les passages d'un état temporel à un autre doivent respecter une cohérence interne stricte, sans rupture ni saut morphogénique.

La LCS protège l'architecture temporelle contre toute discontinuité structurelle, garantissant que la triade temporelle évolue de manière lisse dans l'espace des configurations admissibles.

Les transitions  $t_1 \rightarrow t_2 \rightarrow t_1'$  ne représentent pas des processus dynamiques, mais des changements de structure qui doivent respecter la continuité fondamentale de la morphogénèse.

Cette loi assure ainsi que les régimes temporels restent compatibles avec les exigences du Lagrangien V.8 et des autres lois fondamentales.

### 23.9 — Synthèse des lois et articulation globale

Les sept lois fondamentales forment un système interdépendant où chaque contrainte renforce les autres, constituant un socle conceptuel indispensable à la cohérence du modèle VLCC.

Elles définissent un espace de solutions morphogéniques admissibles, orientent l'organisation interne de la cohérence  $\sigma(x)$ , régulent les transitions temporelles et protègent la continuité structurelle du présent phénoménal  $t_2$ .

Ces lois ne décrivent aucun processus dynamique : elles définissent les conditions formelles minimales nécessaires à l'existence même du temps phénoménal.

Leur fonction est de délimiter la structure interne du modèle, permettant à la Partie II d'établir les équations structurantes du VLCC à partir d'un cadre fondamental solide et conceptuellement unifié.

L'articulation globale entre ces lois prépare l'analyse détaillée des équations variationnelles présentées dans le Chapitre 27, ainsi que la cosmologie morphogénique développée dans les Chapitres 29 et 30, où la cohérence interne du temps sera étudiée dans le contexte de la structure FLRW morphogénique.

## **CHAPITRE 24 — La triade temporelle : structure, transitions et articulation morphogénique**

### **24.1 — Introduction à la triade temporelle : nécessité ontologique et fonction morphogénique**

La triade temporelle  $t_1-t_2-t_1'$  occupe une place centrale dans l'architecture conceptuelle et mathématique du modèle VLCC. Elle ne constitue pas une segmentation du temps empirique, ni une suite de phases successives, mais une articulation ontologique des régimes nécessaires à la formation de la phénoménalité.

Le présent  $t_2$  n'apparaît jamais isolément : il est encadré par une pré-cohérence ( $t_1$ ) et une post-cohérence ( $t_1'$ ), qui structurent et stabilisent la manifestation phénoménale.

Ces trois régimes doivent être compris comme des conditions internes de la cohérence temporelle plutôt que comme des périodes.

Leur interaction forme la base de la morphogénèse du temps, et les chapitres suivants de la Partie II reposent implicitement sur cette architecture. La triade temporelle n'est pas une construction conceptuelle arbitraire mais une exigence issue directement du PNMD, de la LCFT et de la LCM.

L'asymétrie intrinsèque de la triade temporelle constitue l'un des fondements du modèle. La transition  $t_1 \rightarrow t_2$  correspond à la condensation morphogénique permettant l'apparition du présent phénoménal, alors que la transition  $t_2 \rightarrow t_1'$  représente la dispersion structurale nécessaire au maintien de la cohérence globale.

Cette asymétrie trouve sa traduction mathématique dans la tension  $\Delta t$  intégrée au Lagrangien V.8, qui encode la dissymétrie fondamentale du temps.

Ainsi, l'analyse de la triade temporelle s'inscrit totalement dans le formalisme variationnel et prépare l'étude détaillée des équations morphogéniques.

## 24.2 — Caractérisation formelle des trois régimes temporels

Pour formaliser la triade temporelle, nous introduisons une notation représentant l'état du champ de cohérence  $\sigma(x)$  dans chacun des trois régimes :

- $\sigma_1(x)$  pour le régime  $t_1$ ,
- $\sigma_2(x)$  pour le régime  $t_2$ ,
- $\sigma_1'(x)$  pour le régime  $t_1'$ .

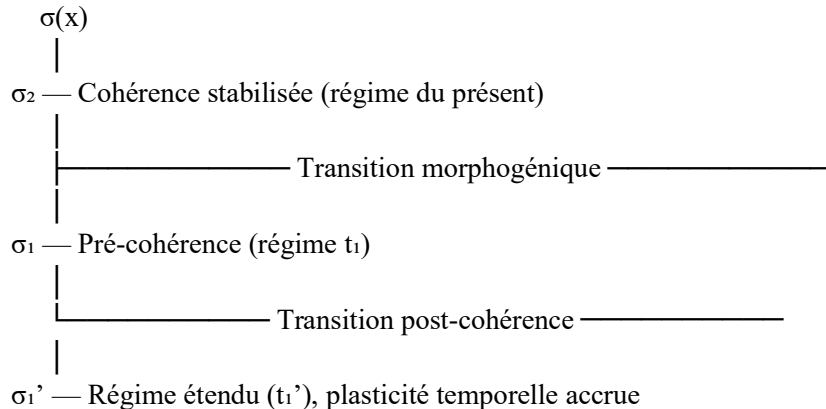
Ces fonctions ne sont pas indépendantes : elles constituent trois manifestations structurelles d'une même cohérence morphogénique, conformément aux lois fondamentales du modèle.

Le passage  $\sigma_1(x) \rightarrow \sigma_2(x)$  exprime une stabilisation de la cohérence interne, tandis que  $\sigma_2(x) \rightarrow \sigma_1'(x)$  reflète une régularisation post-phénoménale garantissant la stabilité du présent  $t_2$ .

Ces régimes sont soumis à la LCFT, à la LCM, à la LCS et à la granularité morphogénique imposée par la LRQT, empêchant toute transition brutale ou discontinuité.

Le schéma ci-dessous offre une représentation conceptuelle des trois régimes de cohérence temporelle, montrant leurs relations internes et leurs transitions morphogéniques.

### Schéma conceptuel — Triade temporelle $t_1, t_2, t_1'$



Il est possible de formaliser cette articulation sous la forme d'une relation continue :

$$\sigma_1(x) \rightarrow \sigma_2(x) \rightarrow \sigma_1'(x),$$

où la flèche ne représente aucune évolution temporelle, mais une transition morphogénique interne.

Il ne s'agit en aucun cas d'une dynamique du temps : la triade n'est pas une séquence, mais une structure ontologique. Cette perspective évite toute confusion avec des modèles fondés sur l'écoulement temporel, ce qui serait incompatible avec le PNMD et l'architecture même du VLCC.

Ainsi, la triade temporelle constitue un invariant structurel fondamental, un schéma de cohérence interne déterminant l'organisation phénoménale et préparant l'étude approfondie des transitions morphogéniques abordée dans les sections suivantes.

### 24.3 — Gradient morphogénique et transitions structurelles

La transition entre les trois régimes temporels peut être analysée à l'aide du gradient morphogénique défini par :

$$G = \partial\mu\sigma_2 - \partial\mu\sigma_1.$$

Ce gradient n'a aucune signification dynamique ou énergétique : il exprime la modulation interne de cohérence nécessaire pour passer d'un régime structurel à un autre.

Les lois fondamentales imposent que ce gradient reste borné, continu et compatible avec la LCM, empêchant ainsi toute rupture morphogénique. Lorsqu'il se stabilise, la transition  $\sigma_1 \rightarrow \sigma_2$  s'effectue sans discontinuité, permettant la formation d'un présent  $t_2$  cohérent et stable.

De même, la transition  $\sigma_2 \rightarrow \sigma_1'$  doit satisfaire les mêmes conditions de régularité, assurant que la cohérence interne demeure intacte après la phénoménalité.

Dans le Lagrangien anté-canonical V.8, ces gradients apparaissent dans le terme cinétique :

$$K_{tot}(\Delta t) \bullet \partial\mu\sigma \partial^\mu\sigma,$$

ce qui exprime la sensibilité des transitions morphogéniques à l'asymétrie interne imposée par la tension  $\Delta t$ . Plus  $\Delta t$  est élevée, plus les transitions doivent être graduelles, renforçant la cohérence du présent  $t_2$  et limitant les fluctuations internes.

La triade temporelle possède donc une traduction mathématique explicite, intégrée au cœur du formalisme variationnel du modèle.

## 24.4 — Articulation mathématique de la transition $t_1 \rightarrow t_2$ : stabilisation morphogénique

La transition morphogénique  $t_1 \rightarrow t_2$  correspond à une condensation interne de la cohérence temporelle.

Dans le régime  $t_1$ , la cohérence  $\sigma_1(x)$  reste insuffisante pour soutenir un présent phénoménal, mais elle possède la structure nécessaire pour se renforcer vers une forme plus stable.

Cette transition est gouvernée par la LCFT, qui impose une cohérence minimale, ainsi que par la LCM, qui exige une continuité parfaite des gradients morphogéniques.

La transition peut être formalisée par :

$$\sigma_2(x) = \sigma_1(x) + \delta\sigma(x),$$

où  $\delta\sigma(x)$  représente une augmentation interne de cohérence soumise aux contraintes :

$$\delta\sigma(x) \geq 0, \quad \delta\sigma(x) \text{ continue}, \quad \delta\sigma(x) \text{ compatible avec la LRQT}.$$

La stabilisation morphogénique correspond à l'entrée de  $\sigma(x)$  dans un domaine où la cohérence atteint un seuil structurel permettant la génération du présent phénoménal.

Il ne s'agit en aucun cas d'un passage dynamique :  $t_1$  ne précède pas  $t_2$  dans le temps, mais dans la structure interne du modèle. Le passage  $t_1 \rightarrow t_2$  reflète un changement d'état morphogénique, et non une évolution temporelle.

Dans le Lagrangien anté-canonical V.8, ce passage est encodé dans le potentiel  $V(\sigma)$ . Celui-ci doit posséder une zone de stabilité autour de  $\sigma_2(x)$ , telle que :

$$\partial V / \partial \sigma |_{\{\sigma = \sigma_2\}} \approx 0.$$

Cette quasi-annulation ne traduit pas un équilibre énergétique, mais une régularité structurelle :  $\sigma_2$  est un état stable de cohérence interne.

Le passage  $t_1 \rightarrow t_2$  est donc atteint lorsque la cohésion interne est suffisante pour rendre possible la projection phénoménale via  $P_2$ .

## 24.5 — Transition $t_2 \rightarrow t_1'$ : dispersion morphogénique et stabilisation post-phénoménale

Une fois formé, le présent phénoménal  $t_2$  ne demeure pas isolé : il doit être suivi d'une phase de dispersion morphogénique, représentée par le régime  $t_1'$ .

Cette dispersion n'est pas une perte de cohérence, mais une redistribution interne permettant d'éviter toute saturation du régime  $t_2$ .

Sans ce mécanisme, la cohérence  $\sigma_2(x)$  s'accumulerait de manière excessive, compromettant la structure du temps.

La transition  $t_2 \rightarrow t_1'$  peut être formalisée par :

$$\sigma_1'(x) = \sigma_2(x) - \varepsilon(x),$$

où  $\varepsilon(x)$  représente une diminution modérée et contrôlée de cohérence. Les lois fondamentales imposent :

$$\varepsilon(x) \geq 0, \quad \varepsilon(x) \text{ continue,} \quad \varepsilon(x) \text{ bornée.}$$

Cette diminution garantit le rééquilibrage structurel nécessaire au maintien de la cohérence globale.

Le régime  $t_1'$  évite que  $t_2$  devienne un attracteur rigide, en assurant une redistribution morphogénique régulière. Dans le Lagrangien ante-canonical V.8, cette dispersion interne est reflétée par la structure du potentiel  $V(\sigma)$ .

Lorsque la cohérence décroît légèrement, le potentiel doit rester régulier et compatible avec les équations variationnelles, évitant toute discontinuité dans la distribution morphogénique.

Le passage vers  $t_1'$  constitue un mécanisme essentiel de stabilité globale, garantissant la fluidité et la pérennité de l'organisation temporelle interne.

## 24.6 — Invariants de transition et cohérence globale de la triade

Les transitions  $t_1 \rightarrow t_2$  et  $t_2 \rightarrow t_1'$  reposent sur plusieurs invariants morphogéniques qui garantissent la cohérence interne de la triade à chaque étape de son organisation.

Ces invariants ne sont pas des conservations physiques : ils constituent des conditions structurelles qui doivent être respectées pour qu'une configuration du champ  $\sigma(x)$  soit admissible. Parmi eux figurent :

- l'invariant de cohérence minimale :  $\sigma(x) \geq \sigma_{\min}$ ,
- l'invariant de continuité :  $\partial\mu\sigma$  borné,
- l'invariant de granularité :  $\delta\sigma \geq \delta\sigma_{\min}$ ,
- l'invariant d'asymétrie :  $\Delta t > 0$ .

L'invariant  $\sigma(x) \geq \sigma_{\min}$  exprime la nécessité d'une cohérence minimale pour permettre la formation du présent phénoménal  $t_2$ .

Le gradient borné impose que  $\partial\mu\sigma$  ne puisse diverger, empêchant ainsi toute rupture dans la continuité morphogénique.

De manière similaire, l'invariant de granularité  $\delta\sigma \geq \delta\sigma_{\min}$  est directement dicté par la LRQT, garantissant que les transitions internes ne puissent être arbitrées à une échelle infiniment fine.

Enfin, l'exigence  $\Delta t > 0$  assure l'asymétrie fondamentale de la triade, interdisant toute cyclicité ou toute symétrisation spontanée des régimes.

Ces invariants structurent l'architecture globale de la triade et assurent la régularité constante de la cohérence temporelle.

Ils préparent directement les développements mathématiques du Chapitre 27, où les équations variationnelles incorporent ces conditions, ainsi que la cosmologie morphogénique du Chapitre 29, où l'organisation de la triade joue un rôle central dans la compréhension de l'expansion phénoménale du cosmos.

## 24.7 — Relation entre PNMD et LITV

La LITV impose une vitesse-limite d'évolution morphogénique, tandis que le PNMD interdit toute mesure du temps.

Ces deux principes sont profondément interdépendants : la vitesse-limite imposée par la LITV ne concerne pas une grandeur physique mesurable, mais une borne structurelle interne au processus morphogénique.

Ainsi, cette vitesse ne peut jamais être interprétée comme une vitesse au sens métrique, ni être observée ou quantifiée dans un cadre phénoménal.

Le PNMD garantit que la LITV ne puisse acquérir de signification physique : elle demeure une contrainte interne à la formation du temps, décrivant la vitesse maximale à laquelle la cohérence  $\sigma(x)$  peut se réorganiser sans violer les lois fondamentales.

Ensemble, ces deux principes stabilisent l'édifice conceptuel du VLCC, empêchant toute dérive vers une interprétation énergétique ou métrique du temps.

Cette articulation entre PNMD et LITV renforce la cohérence interne du modèle et constitue l'un des éléments centraux permettant de comprendre pourquoi la morphogénèse temporelle ne peut jamais être confondue avec une dynamique.

Elle prépare également les analyses plus approfondies menées dans les chapitres suivants, où la structure du temps sera étudiée à travers les équations variationnelles.

## **CHAPITRE 25 — Historique des Lagrangiens du VLCC : évolution formelle et structuration canonique**

### **25.1 — Introduction générale : nécessité d'une relecture historico-formelle**

L'évolution du Lagrangien du modèle VLCC, depuis les premières formulations conceptuelles jusqu'à la version anté-canonique V.8, constitue une trajectoire scientifique et morphogénique majeure.

Contrairement aux modèles physiques où l'évolution d'un Lagrangien résulte souvent de la découverte de nouveaux phénomènes ou de la nécessité d'introduire des termes correctifs, l'évolution du Lagrangien VLCC reflète une progression conceptuelle profonde autour de la nature même du temps.

Les différentes versions du Lagrangien ne représentent pas des corrections, mais des clarifications successives permettant de dégager la structure fondamentale de cohérence interne.

Chaque étape élimine des éléments non essentiels, refine la définition du champ de cohérence  $\sigma(x)$ , et précise le rôle de la tension temporelle  $\Delta t$ .

Cette partie retrace l'émergence progressive du formalisme canonique en analysant en détail les quatre premières versions du Lagrangien (V1 à V4), qui ont préparé la

formulation V.8 en révélant les structures morphogéniques nécessaires à une théorie cohérente du temps.

## 25.2 — Le proto-Lagrangien V1 : un cadre scalaire embryonnaire

La première version du Lagrangien, notée V1, constitue une tentative initiale de formalisation du temps sous la forme d'un champ scalaire minimal  $\tau(x)$ .

À ce stade, la compréhension de la cohérence morphogénique demeure rudimentaire :  $\tau(x)$  est conçu comme une variable scalaire dépourvue de structure interne, associée à un potentiel élémentaire :

$$L_{V1} = 1/2 \partial^\mu \tau \partial_\mu \tau - V(\tau).$$

Cette écriture, héritée des champs scalaires classiques, repose sur une analogie qui se révèle rapidement inadéquate. En effet, le PNMD interdit toute interprétation dynamique de  $\tau(x)$  : le temps ne peut être mesuré, et ses gradients ne sauraient décrire une évolution.

De même, le potentiel  $V(\tau)$  ne reflète pas une organisation morphogénique, mais une tentative intuitive de capturer des structures internes inexistantes à ce stade.

Malgré ses limites, V1 joue un rôle fondateur : il montre l'importance d'un champ autonome structurant le temps, tout en révélant que la dynamique scalaire classique est incompatible avec les exigences fondamentales du modèle.

V1 marque ainsi le début d'un processus de purification conceptuelle qui mènera ultimately à  $\sigma(x)$ .

## 25.3 — Lagrangien V2 : introduction du champ intriqué $\Phi_T$ et photons à fréquence nulle

La version V2 marque une rupture essentielle.

Le champ scalaire  $\tau(x)$  est remplacé par un champ intriqué  $\Phi_T(x)$ , conçu pour exprimer la profondeur interne du temps et l'épaisseur morphogénique nécessaire à la stabilité phénoménale. Cette version introduit pour la première fois :

- une structure interne symbolique  $\Phi_T = (\tau, \tau')$ ,
- la notion de photons à fréquence nulle,
- une intrication morphogénique élémentaire.

Ces photons ne doivent pas être interprétés comme des photons électromagnétiques, mais comme des modes limites de cohérence.

Ils incarnent l'idée que certaines configurations du champ atteignent un régime de cohérence extrême sans jamais devenir énergétiques.

Le Lagrangien V2 est alors écrit :

$$L_{V2} = 1/2 \partial^\mu \Phi_T \partial_\mu \Phi_T - V(\Phi_T).$$

Cette structure met en avant la nécessité d'une organisation interne plus fine que celle offerte par un champ scalaire.

La cohérence morphogénique ne peut être représentée par un seul degré de liberté : elle requiert une architecture interne permettant de moduler les transitions structurelles entre  $t_1$ ,  $t_2$  et  $t_1'$ .

V2 inaugure ainsi une conception plus profonde du temps, révélant que la cohésion morphogénique implique une multiplicité interne.

## 25.4 — Lagrangien V3 : dynamique interne et glissement inertiel cosmique

La version V3 représente une extension profonde du formalisme initial.

Le champ  $\Phi_T(x)$ , jusque-là porteur d'une structure interne rudimentaire, acquiert dans cette version une véritable dynamique morphogénique — dynamique au sens interne, non physique, et totalement dépourvue d'interprétation temporelle.

Pour la première fois, un couplage à la structure géométrique formelle apparaît :

$$L_{V3} = 1/2 \partial^\mu \Phi_T \partial_\mu \Phi_T + f(\Phi_T) R - V(\Phi_T).$$

Le terme couplé à  $R$  ne doit jamais être interprété comme un couplage gravitationnel réel.

Il s'agit d'un artifice variationnel permettant d'intégrer la cohérence morphogénique dans un cadre standard, tout en restant compatible avec le PNMD et la LCFT.

Ce couplage structurel ouvre la voie à la compréhension d'une cohésion temporelle distribuée, plutôt que strictement locale.

C'est dans V3 qu'apparaît pour la première fois la notion de glissement inertiel cosmique

$\sigma(z)$ , une fonction exprimant la manière dont l'inertie effective d'un objet dépend de l'état morphogénique du temps environnant.

Il ne s'agit pas d'une inertie physique, mais d'un indicateur structurel permettant d'anticiper la nécessité d'une équation d'équivalence étendue, qui sera formalisée dans des versions ultérieures.

Cette nouvelle fonction fait de V3 une étape charnière, préparant l'entrée du modèle dans une phase mathématique plus aboutie qui culminera avec V4, V5 et V6.

## 25.5 — Lagrangien V4 : introduction du champ T intriqué et stabilisation morphogénique

La version V4 du Lagrangien constitue une avancée majeure dans la formalisation du modèle VLCC.

À partir de cette version, le champ de cohérence cesse d'être un simple scalaire ou un assemblage intriqué rudimentaire : il devient un champ intriqué  $T(x)$ , porteur d'une profondeur structurelle exprimant la dualité morphogénique nécessaire à la stabilisation du présent  $t_2$ .

$T(x)$  n'est ni un vecteur, ni un tenseur, ni un champ soumis à un groupe de symétrie conventionnel. Il représente une articulation interne du temps, un degré de structure inédit dans les théories physiques traditionnelles.

Cette dualité interne permet pour la première fois d'intégrer la notion de cohérence étendue : la cohésion temporelle ne peut se réduire à une seule composante, elle requiert un espace interne minimal à deux degrés de liberté.

Le Lagrangien V4 prend la forme :

$$L_V4 = K_0 \partial^\mu T \partial^\nu T + f(T) R - V(T).$$

La fonction  $f(T)$  exprime un couplage structurel plus abouti que celui introduit dans V3, et le potentiel  $V(T)$  présente une structure à plusieurs minima permettant de modéliser finement les trois régimes temporels  $t_1$ ,  $t_2$  et  $t_1'$ .

Cette multiplicité de minima est essentielle pour reproduire les transitions morphogéniques du modèle et assurer la stabilité structurelle du présent phénoménal  $t_2$ .

V4 constitue ainsi la fondation directe des épurations conceptuelles menant aux Lagrangiens V5 et V6.

## 25.6 — Lagrangien V5 : émergence du champ de cohérence $\sigma(x)$

La transition de V4 à V5 marque l'une des étapes conceptuelles les plus décisives du modèle VLCC.

Les analyses de V4 révèlent que, bien que puissant, le champ intriqué  $T(x)$  comporte encore des degrés de liberté superflus.

La structure interne doit être épurée pour atteindre le niveau de pureté morphogénique requis par les lois fondamentales. C'est dans ce contexte que naît V5, qui introduit pour la première fois le champ de cohérence  $\sigma(x)$ .

$\sigma(x)$  est un champ scalaire normalisé, entièrement dépouillé de toute interprétation dynamique ou énergétique : il représente la cohésion morphogénique du temps dans sa forme la plus fondamentale.

Cette simplification constitue une abstraction profonde : la cohérence interne du temps n'a pas besoin d'une structure interne complexe — une fonction scalaire suffit, à condition d'être intégrée dans un cadre variationnel non dynamique et rigoureusement contraint par les lois.

La structure du Lagrangien V5 est :

$$L_{V5} = K_{tot}(\Delta t) \partial^\mu \sigma \partial^\nu \sigma + F(\sigma) R - V(\sigma).$$

Ici,  $F(\sigma)$  joue le rôle d'un couplage structurel généralisé, dérivé conceptuellement de  $f(T)$ .

Pour la première fois, le coefficient cinétique  $K_{tot}(\Delta t)$  introduit l'asymétrie morphogénique fondamentale dictée par  $\Delta t$ .

Cette innovation structurelle prépare directement les versions V6 et V7, et constitue la base sur laquelle sera érigée la formulation anté-canonique V.8.

## 25.7 — Lagrangien V6 : apparition de l'équivalence étendue et des termes plastiques

La version V6 du Lagrangien inaugure une étape décisive dans l'évolution formelle du modèle VLCC.

Pour la première fois, la notion d'équivalence étendue apparaît explicitement, transformant la compréhension classique de l'inertie.

Dans le cadre du VLCC, l'inertie n'est plus un invariant physique fondamental : elle devient un phénomène émergent, dépendant de la cohérence morphogénique  $\sigma(x)$ .

Ce principe prolonge le glissement inertiel cosmique introduit dans V3, mais lui confère une portée conceptuelle beaucoup plus profonde en l'intégrant comme structure interne du modèle.

V6 introduit également les termes plastiques, représentant la capacité du temps à résister, ajuster ou moduler ses gradients internes afin de préserver la cohérence du présent  $t_2$ .

Ces termes jouent un rôle crucial dans la stabilisation morphogénique : ils empêchent les dérivées excessives de  $\sigma(x)$  d'entraîner une rupture structurelle.

La forme générale du Lagrangien est alors :

$$\begin{aligned} L_V6 = & K_{tot}(\Delta t) \partial^\mu \sigma \partial^\nu \sigma \\ & + F(\sigma) R \\ & + P(\sigma, \partial\sigma) \\ & - V(\sigma), \end{aligned}$$

où  $P(\sigma, \partial\sigma)$  désigne les termes plastiques. Leur présence ne doit surtout pas être interprétée comme un ajout dynamique : ils expriment la régulation interne de la cohérence morphogénique, imposée par les lois fondamentales — notamment la LCM, la LCFT et la LRQT.

V6 constitue un jalon essentiel : il rend explicite la relation structurelle entre inertie et cohérence morphogénique, préparant ainsi la formulation complète de l'équation d'équivalence étendue qui sera introduite dans V7.

## **25.8 — Lagrangien V7 : introduction de l'équation d'équivalence étendue et de la morphogénèse énergétique**

La version V7 marque l'émergence d'un élément distinctif du modèle VLCC : l'équation d'équivalence étendue

$$E = m c^2 f(\tau_{env}).$$

Cette équation exprime un principe fondamental : l'énergie phénoménale d'un système n'est jamais indépendante de la cohérence temporelle locale — représentée ici par la tension morphogénique  $\tau_{\text{env}}$ .

Il ne s'agit pas d'une modification de la physique classique, ni d'une interprétation énergétique du temps, mais d'une précision structurelle : la relation  $E = m c^2$  ne peut être comprise indépendamment du substrat morphogénique dans lequel elle se manifeste.

Le facteur  $f(\tau_{\text{env}})$  ne correspond pas à un champ ou à une correction physique : il exprime la modulation interne de la projection phénoménale via  $P_2$ .

Cette relation évite tout glissement métaphorique : elle n'introduit ni nouvelle énergie, ni nouvelle dynamique. Elle exprime simplement la dépendance structurelle entre la phénoménalité énergétique et la cohérence temporelle locale.

Le Lagrangien V7 reprend la structure du V6, mais enrichit le potentiel morphogénique  $V(\sigma)$  et renforce la dépendance de  $K_{\text{tot}}(\Delta t)$  aux invariants structurels.

L'apparition de  $f(\tau_{\text{env}})$  prépare directement la formulation anté-canonique V8, qui constituera une synthèse historique des structures fondamentales du modèle, épurées de tout terme non essentiel.

## 25.9 — Préparation de la version anté-canonique : convergence conceptuelle vers V8

Au fil des versions V1 à V7, le Lagrangien du VLCC s'est progressivement épuré et a convergé vers une structure plus simple, rigoureuse et structurellement stable.

Chaque version a permis de supprimer des degrés de liberté superflus, de clarifier des ambiguïtés conceptuelles ou de réinterpréter des termes devenus inadaptés à une compréhension du temps comme structure morphogénique.

Cette évolution ne doit pas être comprise comme une suite de corrections successives, mais comme un processus de purification formelle, conduisant à l'extraction d'un noyau structurel minimal compatible avec l'ensemble des contraintes ontologiques du modèle.

- V1 a mis en évidence l'insuffisance d'une dynamique scalaire classique.
- V2 a révélé la nécessité d'une intrication interne du champ temporel.
- V3 a introduit un glissement inertiel et les premiers termes de couplage structurel.
- V4 a posé les bases d'une formulation intermédiaire d'un champ intriqué, visant la stabilisation du régime  $t_2$ .
- V5 a permis une réduction vers  $\sigma(x)$ , forme minimale de la cohérence morphogénique.

- V6 a introduit le principe d'équivalence étendue et des termes plastiques stabilisateurs.
- V7 a consolidé ces apports et rendu possible la structuration complète de l'équation d'équivalence étendue.

La version V8, développée dans les chapitres suivants, représente l'aboutissement de cette convergence :

une formulation anté-canonique, mathématiquement cohérente, conceptuellement minimale et compatible avec l'ensemble des lois fondamentales du modèle.

Elle intègre la LCFT, la LCM, la LCS, la LRQT, la LITV, la LTT et la LTSM, tout en reposant sur un unique champ de cohérence  $\sigma(x)$ , une triade temporelle rigoureuse  $(t_1, t_2, t_1')$  et l'invariant asymétrique  $\Delta t$ .

Elle constitue le point d'achèvement de l'évolution historique du formalisme et le point de départ des développements variationnels présentés dans les Chapitres 26 et 27.

Le tableau ci-dessous propose une synthèse élargie de l'évolution des différentes versions du modèle, en mettant en relation, pour chacune, son apport principal, la limite conceptuelle identifiée et le concept abandonné ou affiné lors du passage à la version suivante.

*A noter: Le Lagrangien V9, qui constituera la formulation canonique du modèle après son intronisation formelle dans la Partie III de ce Traité, ne sera pas discuté ici. Il sera présenté dans les Chapitres 47 et 48 ainsi que dans l'Annexe A.*

## — Évolution conceptuelle des versions V1 à V9

Version	Apport principal	Limite mise en évidence	Concept éliminé / affiné
V1	Introduction de $\tau$ comme premier scalaire morphogénique	Structure trop pauvre pour reproduire PNMD et halos	Absence de structure temporelle interne
V2	Apparition de l'intrication primitive $\Phi_T$	Structure encore largement indéterminée	Intrication morphogénique trop faible
V3	Glissement inertiel + ajout formel d'un terme en R	Redondance morphogénique et dédoublement inutile	Parties superflues du tenseur R
V4	Introduction du champ intriqué T à plusieurs composantes	Trop de degrés de liberté, modèle instable	Multiplicités morphogéniques non contrôlées
V5	Première apparition du champ $\sigma(x)$	Forme encore rigide, peu adaptative	Couches internes non-flexibles
V6	Équivalence étendue et ajustement des structures internes	Dépendance excessive à $f(\tau_{\text{env}})$	Sur-couplage environnemental
V7	Potentiel unifié $V(\sigma)$	Besoin d'une forme plus compacte et structurée	Forme composite encore lourde
V8	Formulation minimale du modèle : triade temporelle + $\sigma(x)$	Nécessité d'intégrer pleinement les régimes extrêmes, $\chi, t_2_{\text{basal}}$	Versions partielles de $\chi$ et du présent basal
V9 ( <i>à découvrir aux Chapitres 47 et 48</i> )	Triade complète, présent basal incompressible, glissement $\chi$ , gravité = dérivée seconde du présent, régimes pré-Freeze / Freeze Sphere intégrés	— (forme finale)	Toutes les redondances précédentes sont éliminées ; structure développée en partie III du traité

# **CHAPITRE 26 — Le Lagrangien anté-canonical V8 : formulation structurale et fondements variationnels**

## **26.1 — Introduction générale: le Lagrangien anté-canonical V8, un tournant dans le concept VLCC**

Le Lagrangien anté-canonical V8 représentait jusqu'ici la forme la plus aboutie, épurée et conceptuellement unifiée du modèle VLCC.

Là où les versions précédentes (V1 à V7) ont progressivement éliminé tout terme superflu, clarifié la nature du champ  $\sigma(x)$ , défini son rôle dans la cohésion interne du temps et intégré les lois fondamentales (LCFT, LCM, LCS, LRQT, LITV, LTT, LTSM), V8 condense ces apports en une structure minimale.

Ce Lagrangien constitue lors de sa publication la première expression mathématique pleinement compatible avec la vision non métrique du temps et avec le principe fondamental du modèle : le temps ne se mesure pas, ne se découpe pas, ne s'écoule pas ; il est l'architecture invisible permettant la phénoménalité.

V8 n'est pas un Lagrangien physique. Il ne décrit pas une dynamique, ne présuppose aucune énergie, ne dépend d'aucun champ métrique physique et ne déduit aucune équation d'évolution temporelle.

Il décrit exclusivement la cohérence interne du temps à travers la variation du champ  $\sigma(x)$ .

Le but de ce chapitre est de présenter, sous forme enrichie, la structure avancée du Lagrangien V8, ses termes constitutifs, ses invariants, ainsi que la logique qui le rend compatible avec l'ensemble des lois du modèle.

## **26.2 — Structure générale du Lagrangien V8**

Le Lagrangien V8 peut s'écrire sous la forme générale suivante :

$$L_V8 = K_{tot}(\Delta t) \cdot (\partial\mu\sigma)(\partial^\mu\mu\sigma) + F(\sigma) R - V(\sigma) + P(\sigma, \partial\sigma),$$

où chacun des termes joue un rôle structurel fondamental.

(1) Le terme cinétique  $K_{tot}(\Delta t)$  ( $\partial\mu\sigma \partial^\mu\mu\sigma$ ) exprime la sensibilité de la cohérence interne aux gradients morphogéniques.

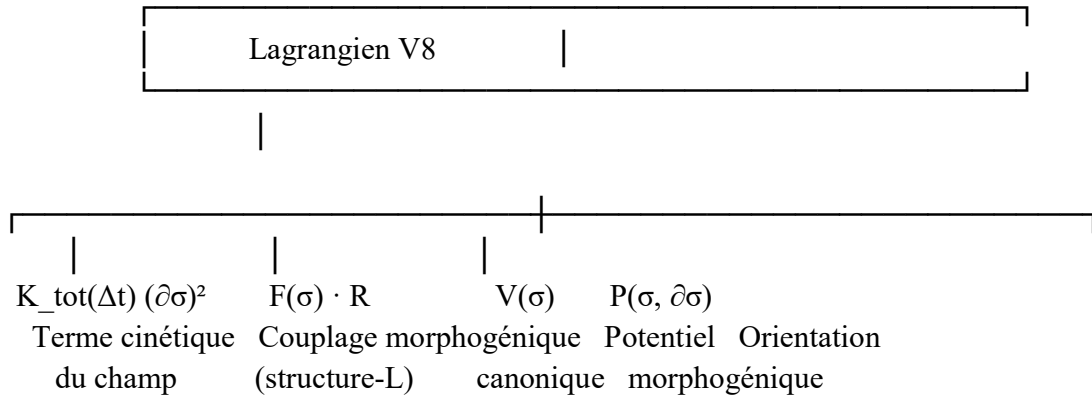
(2) Le terme  $F(\sigma) R$  assure la cohérence géométrique sans introduire de dynamique spatiale réelle.

(3) Le potentiel morphogénique  $V(\sigma)$  encode les régimes  $t_1$ ,  $t_2$  et  $t_1'$ .

(4) Le terme plastique  $P(\sigma, \partial\sigma)$  représente la capacité du temps à amortir les variations internes excessives.

Le schéma suivant illustre la structure interne du Lagrangien canonique V8 et met en évidence ses quatre composantes morphogéniques essentielles.

### Schéma conceptuel — Architecture du Lagrangien V8



La combinaison de ces termes ne doit jamais être interprétée comme une dynamique physique ou métrique.

V8 exprime un équilibre morphogénique minimal. L'absence de termes énergétiques, de masses physiques ou d'interactions dynamiques reflète le principe cardinal : la cohérence du temps n'est pas une propriété dynamique, mais une contrainte structurelle.

### 26.3 — Le coefficient cinétique $K_{tot}(\Delta t)$ : asymétrie morphogénique

Le coefficient cinétique joue un rôle déterminant. Il prend la forme :

$$K_{tot}(\Delta t) = 1 + (\alpha + 2 \lambda_m) \Delta t.$$

La tension temporelle  $\Delta t$  n'est pas un champ, mais un invariant de la triade temporelle  $t_1 - t_2 - t_1'$ .

Sa présence modifie la pénalisation des gradients de  $\sigma(x)$  dans le cadre variationnel.

Lorsque  $\Delta t$  augmente, les gradients deviennent plus « coûteux », ce qui force une stabilisation renforcée du présent  $t_2$ .

Cette asymétrie assure la cohérence globale de la triade temporelle et garantit qu'aucune configuration ne puisse ramener  $\sigma(x)$  vers des régimes incompatibles avec la phénoménalité.

Contrairement aux théories dynamiques, ce coefficient ne détermine pas l'évolution temporelle d'un champ, mais la tolérance interne de la structure temporelle aux variations morphogéniques.

L'asymétrie  $\Delta t > 0$  impose un sens morphogénique strict, garantissant que le temps ne puisse jamais devenir réversible ou cyclique.

## 26.4 — Le terme géométrique $F(\sigma) R$ : cohérence sans métrique physique

L'un des aspects les plus subtils du Lagrangien V8 est l'apparition du terme  $F(\sigma) R$ . Dans les théories métriques, un tel terme décrirait une interaction entre un champ et la courbure de l'espace-temps.

Dans le VLCC, ce terme n'a aucun rôle dynamique : il constitue une structure d'intégration permettant à la variation d'être cohérente dans un espace mathématique minimal.

Le symbole  $R$  n'est pas ici la courbure physique d'un espace-temps réel, mais un opérateur géométrique servant à assurer la compatibilité de la construction variationnelle avec la cohérence globale.

Le couplage  $F(\sigma)$  garantit que les configurations de  $\sigma(x)$  possèdent une cohésion mathématique globale, permettant la construction d'équations d'Euler-Lagrange bien définies.

L'absence d'interprétation physique de  $R$  est cruciale : il n'y a pas de géométrie dynamique dans le modèle VLCC, seulement une géométrie de cohérence interne.

Ce terme assure que l'intégration variationnelle demeure régulière, sans imposer la moindre structure métrique observable.

## 26.5 — Le potentiel morphogénique $V(\sigma)$ : structure interne et régimes temporels

Le potentiel morphogénique  $V(\sigma)$  constitue l'un des éléments les plus fondamentaux du Lagrangien V8.

Contrairement à un potentiel physique, il n'exprime ni énergie, ni interaction, ni équilibre mécanique : il encode directement les régimes admissibles de cohérence interne du temps.

Sa structure doit être parfaitement compatible avec la triade temporelle  $t_1-t_2-t_1'$ , ce qui impose trois régions distinctes dans  $V(\sigma)$ , chacune correspondant à un régime morphogénique.

Dans une formulation générique, on peut écrire :

$$V(\sigma) = V_1(\sigma) + V_2(\sigma) + V_1'(\sigma),$$

où :

- $V_1(\sigma)$  encode la pré-cohérence  $t_1$ ,
- $V_2(\sigma)$  encode la cohérence stabilisée  $t_2$ ,
- $V_1'(\sigma)$  encode la post-cohérence  $t_1'$ .

Ces trois composantes ne définissent pas des minima énergétiques, mais des régions de stabilité structurelle.

La condition fondamentale est que  $V(\sigma)$  soit régulière, continue, sans singularités ni ruptures, conformément à la LCM et à la LCS.

Le potentiel doit être suffisamment lisse pour garantir que  $\sigma(x)$  ne rencontre jamais d'obstruction morphogénique lors de sa structuration interne.

La structure précise de  $V(\sigma)$  est contrainte par plusieurs exigences :

- (1) La triade temporelle impose trois régimes distincts, ce qui requiert des plateaux ou pseudo-minima dans  $V(\sigma)$ .
- (2) La granularité morphogénique imposée par la LRQT interdit des variations infinitésimales :  $V(\sigma)$  doit donc avoir une pente minimale non nulle.
- (3) La cohérence minimale imposée par la LCFT nécessite une région  $\sigma \geq \sigma_{\text{min}}$  où  $V(\sigma)$  reste compatible avec la formation du présent  $t_2$ .
- (4) La stabilité du présent  $t_2$  impose une zone où  $\partial V / \partial \sigma \approx 0$ , correspondant au régime phénoménal stable.

Ainsi,  $V(\sigma)$  n'est pas un potentiel arbitraire : il constitue l'une des structures les plus contraintes du modèle VLCC. Sa forme conditionne la cohérence temporelle, la stabilité de  $t_2$  et la possibilité même d'une phénoménalité organisée.

## 26.6 — Les termes plastiques $P(\sigma, \partial\sigma)$ : régulation morphogénique

Les termes plastiques introduits dans V6 et conservés dans V8 représentent la capacité interne du temps à limiter les variations excessives du champ de cohérence  $\sigma(x)$ .

Ils ne jouent aucun rôle dynamique ; ils expriment une résistance structurelle aux gradients trop abrupts. On peut formaliser ces termes sous la forme générale :

$$P(\sigma, \partial\sigma) = \beta_1 (\partial\mu\sigma \partial^\mu\mu\sigma)^2 + \beta_2 \sigma (\partial\mu\sigma \partial^\mu\mu\sigma),$$

où  $\beta_1$  et  $\beta_2$  sont des coefficients de pondération morphogénique. Ces termes ont pour effet d'« amortir » les variations locales de  $\sigma(x)$ , empêchant la cohérence interne de violer les contraintes imposées par la LCM et la LCS.

Ils constituent un mécanisme de plasticité intrinsèque du temps, nécessaire pour que la phénoménalité demeure stable dans la région  $t_2$ .

Contrairement aux termes cinétiques des théories physiques,  $P(\sigma, \partial\sigma)$  n'introduit aucune inertie, aucune énergie et aucune dynamique. Son seul rôle est d'assurer la compatibilité des variations internes avec les lois fondamentales du modèle.

## 26.7 — Dérivée fonctionnelle et préparation des équations d'Euler-Lagrange

L'ensemble des termes du Lagrangien V8 prépare la dérivation des équations d'Euler-Lagrange, qui seront exposées en détail dans le chapitre 27.

Pour obtenir ces équations, il est nécessaire de calculer la dérivée fonctionnelle de l'action  $S$  :

$$S = \int d^4x \sqrt{-g} L_{V8}.$$

La variation s'écrit alors :

$$\delta S = \int d^4x \sqrt{-g} [ (\partial L / \partial \sigma) \delta\sigma + (\partial L / \partial (\partial\mu\sigma)) \partial\mu(\delta\sigma) ].$$

Comme dans les chapitres précédents, l'intégration par parties permet d'extraire un terme de bord, que les lois fondamentales obligent à annuler.

On obtient alors la structure générale :

$$\partial L / \partial \sigma - \nabla \mu (\partial L / \partial (\partial \mu \sigma)) = 0.$$

Cette équation n'a aucune interprétation dynamique : elle exprime la cohérence interne du temps, et non une évolution. Elle constitue la base formelle à partir de laquelle toutes les conditions de cohérence morphogénique seront dérivées dans les chapitres suivants.

## 26.8 — Rasoir d'Occam et minimalisme structurel du Lagrangien anté-canonical V8

Le Lagrangien anté-canonical V8 du modèle VLCC n'est pas seulement le résultat d'une construction mathématique progressive : il est l'illustration parfaite d'un principe épistémologique fondamental, le Rasoir d'Occam.

Dans un cadre traditionnel, ce principe invite à ne pas multiplier les entités sans nécessité.

Dans le VLCC, ce principe acquiert une portée plus profonde : il devient un principe de cohérence interne où toute structure superflue compromettrait l'unité morphogénique du temps.

Le Rasoir d'Occam, transposé dans la philosophie du VLCC, impose que les structures nécessaires à la cohérence du temps soient strictement minimales, sans ajouter le moindre terme qui introduirait soit une dynamique, soit une interprétation énergétique ou métrique indue.

La version V8 respecte parfaitement cette exigence. Elle contient exactement quatre termes, ni plus ni moins, chacun étant indispensable à la cohérence interne :

- (1)  $K_{tot}(\Delta t)$  ( $\partial \mu \sigma \partial^\alpha \mu \sigma$ ) — asymétrie morphogénique et régulation des gradients.
- (2)  $F(\sigma) R$  — cohérence géométrique minimale sans métrique physique.
- (3)  $V(\sigma)$  — régimes internes de la triade  $t_1-t_2-t_1'$ .
- (4)  $P(\sigma, \partial \sigma)$  — plasticité et stabilisation des gradients.

Supprimer l'un de ces termes conduit à une violation d'au moins une loi fondamentale (LCM, LCFT, LCS, LRQT, LITV, LTSM), ou à la rupture de la stabilité du présent phénoménal  $t_2$ .

Ajouter un terme supplémentaire créerait inévitablement une dynamique physique ou métrique que le modèle exclut par construction.

Chaque terme de V8 apparaît ainsi comme la seule solution cohérente compatible avec l'ensemble des contraintes du modèle.

Le Rasoir d'Occam ne sert donc pas ici d'argument esthétique ou rhétorique, mais d'outil analytique rigoureux permettant de démontrer que V8 n'est pas seulement « minimal » : il est nécessaire et suffisant.

V8 représente la forme la plus simple possible capable d'exprimer la cohérence morphogénique du temps sans introduire d'hypothèse supplémentaire.

Dans ce contexte, la structure du VLCC n'est pas une réduction arbitraire, mais une purification structurelle. V8 est ainsi la manifestation mathématique la plus épurée d'un temps non métrique, non dynamique, non énergétique et irréversiblement structuré par la triade  $t_1-t_2-t_1'$ .

Il constitue le point d'équilibre exact entre suffisance conceptuelle et nécessité formelle, ce qui en fait la traduction directe du Rasoir d'Occam dans le langage variationnel du modèle.

## **26.9 — Synthèse structurale : cohérence globale et nécessité morphogénique du Lagrangien ante-canonical V8**

La structure du Lagrangien anté-canonical V8 représente l'aboutissement d'un processus de distillation conceptuelle et mathématique dont chaque étape a contribué à éliminer les termes superflus, à épurer les degrés de liberté et à révéler l'architecture minimale capable d'exprimer la cohérence interne du temps.

L'intégration du rasoir d'Occam au cœur de ce chapitre renforce cette perspective en montrant que la version V8 ne constitue pas seulement l'aboutissement d'une évolution historique, mais la formulation minimale et la plus cohérente compatible avec l'ensemble des lois fondamentales du VLCC à ce stade du développement du modèle.

Le Lagrangien V8 se compose de quatre termes structurels indissociables :

- le terme cinétique  $K_{tot}(\Delta t)(\partial \mu \sigma \partial^\lambda \mu \sigma)$ , garant de l'asymétrie morphogénique ;
- le terme géométrique  $F(\sigma) R$ , assurant la cohérence globale sans introduire de métrique physique ;
- le potentiel morphogénique  $V(\sigma)$ , organisant les régimes  $t_1-t_2-t_1'$  ;
- les termes plastiques  $P(\sigma, \partial \sigma)$ , préservant la continuité imposée par la LCM et la LCS.

Chacun de ces termes joue un rôle strictement nécessaire. Leur absence — même partielle — mènerait à une rupture de la stabilité morphogénique, une violation d'une loi

fondamentale, ou une dérive vers une dynamique physique incompatible avec le PNMD et la structure du temps non mesurable.

Leur ajout — de même — violerait immédiatement le Rasoir d'Occam en introduisant des entités non nécessaires, et créerait des hypothèses dynamiques ou métriques que le modèle exclut par essence.

Ainsi, V8 est non seulement minimal, mais optimal au moment de son intronisation dans le modèle VLCC.

Il constitue la forme exacte, nécessaire et suffisante pour décrire la cohérence interne du temps. Il représente la limite théorique où le Rasoir d'Occam et les lois morphogéniques convergent pour produire un formalisme entièrement purifié de toute interprétation dynamique ou énergétique.

Cette synthèse montre donc que :

- V8 incarne une cohérence interne maximale avec un nombre minimal de termes.
- La structure des lois fondamentales impose ce Lagrangien sans alternative.
- Le modèle atteint à ce stade une forme canonique totalement épurée.

Cette section conclut le Chapitre 26 et prépare directement le passage au Chapitre 27, où les équations d'Euler–Lagrange seront dérivées à partir de V8, révélant les conditions formelles de cohérence morphogénique qui gouvernent l'ensemble du modèle VLCC.

## **CHAPITRE 27 — Contraintes Variationnelles des Lois Fondamentales et Équation-Cadre Ouverte du VLCC**

### **27.1 — Introduction générale : fondation légale du modèle VLCC**

Le chapitre 27 occupe une position déterminante dans la structure globale du traité VLCC, en ce qu'il établit la charpente légale, conceptuelle et morphogénique qui fonde l'ensemble du cadre variationnel et la structure de l'action.

Il ne s'agit pas simplement de présenter sept lois fondamentales et un principe épistémique, mais d'exposer la logique interne qui les relie, leur nécessité ontologique et leur portée sur la constitution même du temps phénoménal.

Le modèle VLCC se distingue des théories physiques traditionnelles par le fait qu'il ne dérive pas ses équations fondamentales d'une dynamique préalable, ni d'une géométrie présupposée, ni d'un cadre métrique hérité : il les fonde au contraire sur la cohérence interne du temps lui-même.

Ainsi, les lois fondamentales ne sont pas des ajouts extérieurs, mais les expressions minimales exigées par l'indétermination constitutive du temps, par la nature spectralement conditionnée de la lumière, par la granularité morpho-quantique de  $\sigma(x)$ , et par l'impossibilité épistémique d'accéder à une mesure directe du temps.

Ces lois définissent l'espace des configurations admissibles, c'est-à-dire l'ensemble des états temporels, lumineux et morphogéniques susceptibles d'être reconnus comme appartenant au modèle VLCC.

Elles déterminent ainsi la forme du Lagrangien  $L_{VLCC}$  : non pas comme une construction arbitraire ou inspirée d'analogies physiques, mais comme la structure mathématique la plus minimale, la plus contrainte et la plus cohérente compatible avec l'ensemble de ces lois.

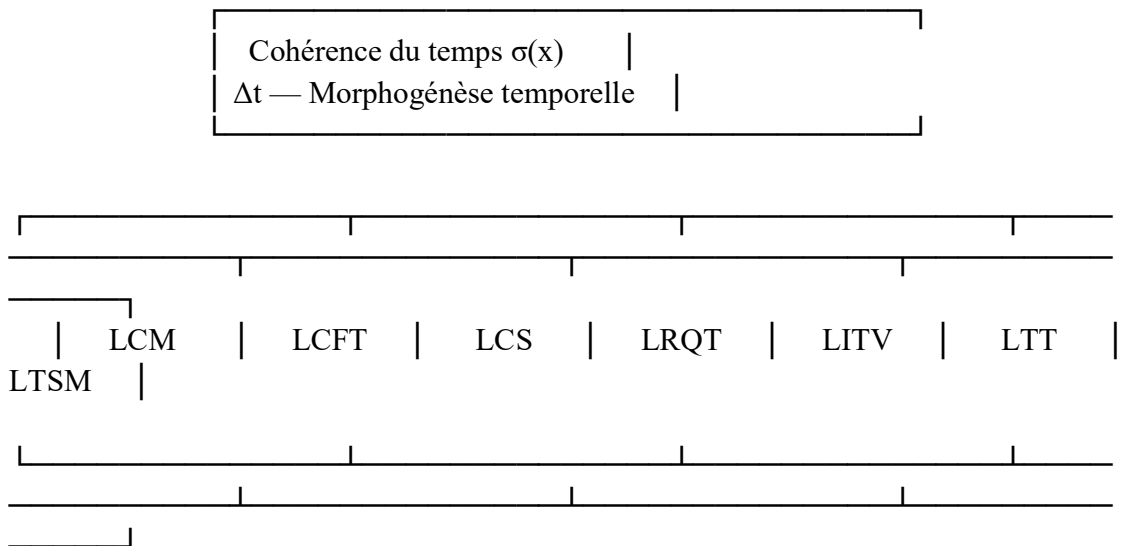
L'action prend alors le statut d'un objet légal, et non dynamique : elle exprime les conditions d'existence du temps phénoménal  $t_2$ , et non son évolution.

Le principe PNMD, quant à lui, rappelle que toute phénoménalité temporelle émerge de la projection lumineuse et que le temps ne peut être observé qu'indirectement.

Le chapitre 27 se déploie ainsi comme une architecture graduelle : il présente d'abord les lois, clarifie ensuite leurs implications structurales sur  $\sigma(x)$ ,  $\Delta t$  et les différents secteurs du modèle, et mène naturellement à l'introduction de l'Équation-Cadre Ouverte — structure englobante qui unifie toutes les contraintes et définit la condition générale d'appartenance d'un état au domaine du VLCC.

Le schéma suivant synthétise l'organisation interne des sept lois fondamentales du VLCC et montre leur articulation autour du principe de cohérence morphogénique du temps.

## Schéma conceptuel — Architecture des sept lois fondamentales



LCM : Loi de Cohérence Morphogénique

LCFT : Loi de Cohérence de la Fibre Temporelle

LCS : Loi de Cohérence Structurelle

LRQT : Loi de Réversibilité Quasi-Temporelle

LITV : Loi d'Invariance Tensorielle du Vide

LTG : Loi de Tension Temporelle

LTSM : Loi de Transitivité Structurelle Morphogénique

### 27.2 — LCFT : Loi de Cohérence Fondamentale du Temps

La Loi de Cohérence Fondamentale du Temps (LCFT) constitue la première exigence structurelle du modèle.

Elle affirme qu'aucun présent phénoménal  $t_2$  ne peut émerger ni se maintenir si la cohérence locale  $\sigma(x)$  du temps descend en dessous d'un seuil minimal  $\sigma_{\min}$ .

Ce seuil n'est pas fixé arbitrairement : il représente la densité minimale de cohérence nécessaire pour que la lumière puisse s'actualiser, que les phénomènes puissent se stabiliser et que la temporalité phénoménale puisse disposer d'une base structurelle suffisante.

Au niveau du Lagrangien, la LCFT impose une contrainte directe sur le potentiel  $V(\sigma)$ . Celui-ci doit présenter des minima stables exactement dans la région  $\sigma \geq \sigma_{\min}$ .

La condition de stabilité morphogénique d'un point  $\sigma_*$  exige que :

$$dV/d\sigma = 0 \text{ et } d^2V/d\sigma^2 > 0.$$

Ainsi, la LCFT empêche toute solution où  $\sigma(x)$  pourrait s'effondrer localement, ce qui détruirait immédiatement la possibilité d'un présent phénoménal.

La loi encadre également la régularité du potentiel : dans la zone  $\sigma \geq \sigma_{\min}$ ,  $V(\sigma)$  doit rester lisse, sans instabilité ni chute brutale, garantissant que la cohérence ne peut se désintégrer spontanément.

Elle joue donc un rôle structurel, garantissant l'existence, la stabilité et la persistance du régime  $t_2$ .

### 27.3 — LITV : Loi d'Indépassabilité Temporelle de la Vitesse-Limite

La Loi d'Indépassabilité Temporelle de la Vitesse-Limite (LITV) constitue l'un des piliers régulateurs du VLCC.

Alors que dans la physique relativiste la vitesse-limite repose sur la géométrie de l'espace-temps, la LITV relie la vitesse interne des phénomènes à la cohérence même du temps via la fonction  $c_{\text{eff}}(\sigma)$ .

Cette loi affirme qu'aucun phénomène ne peut traverser le présent plus rapidement que ce que la structure cohérente de  $t_2$  est capable de supporter.

La vitesse possible dépend ainsi directement de  $\sigma(x)$ .

Plus  $\sigma(x)$  est élevée, plus le temps dispose d'une stabilité morphogénique lui permettant de supporter une propagation plus rapide ; plus  $\sigma(x)$  diminue, plus  $c_{\text{eff}}(\sigma)$  se contracte.

Cela impose une contrainte cinétique forte dans le Lagrangien : les termes associés aux variations rapides ou aux propagations lumineuses doivent être pondérés par des facteurs dépendants de  $\sigma(x)$ .

On écrit  $c_{\text{eff}}(\sigma) = c_0 \cdot f(\sigma)$ , où  $f(\sigma)$  est une fonction monotone comprise dans l'intervalle  $(0, 1]$ .

La LITV joue donc un rôle stabilisateur majeur : elle évite qu'une variation phénoménale ne surgisse dans un contexte où le temps serait incapable de la soutenir, ce qui conduirait à un effondrement morphogénique ou à une incohérence structurelle du modèle.

En interagissant étroitement avec la LCFT, la LITV contribue à définir l'état minimal de stabilité du régime  $t_2$ , en assurant que les phénomènes ne surchargent jamais la cohérence locale du temps.

## 27.4 — LRQT : Loi de Relativité Quantique du Temps

La Loi de Relativité Quantique du Temps (LRQT) constitue l'une des assises les plus profondes du modèle VLCC en ce qu'elle exprime la nature foncièrement granulaire, non-continue et quantiquement conditionnée du champ temporel  $\sigma(x)$ .

Contrairement aux conceptions classiques du temps — continu, lisse, homogène — la LRQT impose une structure morpho-quantique irréductible au sein même du tissu temporel.

Cette loi ne dérive pas d'une analogie avec la mécanique quantique : elle résulte de la structure interne de  $\sigma(x)$ , telle qu'imposée par la cohérence phénoménale et la stabilité du présent.

L'énoncé  $\Delta\sigma \cdot \Delta E \geq \kappa_q$  traduit la profondeur conceptuelle de cette loi.

La cohérence locale du temps ne peut être parfaitement définie, pas plus qu'elle ne peut tendre vers une infinité de divisibilité. Les fluctuations de  $\sigma(x)$  sont nécessairement liées aux fluctuations énergétiques des processus internes à  $t_2$ .

Ainsi, toute tentative de réduire  $\Delta\sigma$  — la fluctuation morphogénique — entraîne inévitablement une augmentation de  $\Delta E$  — la fluctuation énergétique — empêchant toute stabilisation au-delà d'un seuil.

Le temps, au sens du VLCC, possède donc une granularité minimale qui ne peut être franchie.

Cette granularité a plusieurs implications structurelles majeures :

- elle empêche l'apparition d'états temporels parfaitement lisses, interdisant ainsi toute modélisation du temps comme une variable classique continue ;
- elle réduit drastiquement l'espace des solutions admissibles du modèle variationnel, en éliminant toutes les configurations où  $\sigma(x)$  serait trop régulier ou trop rigide ;
- elle impose que les transitions morphogéniques ne puissent être purement déterministes, laissant place à une zone d'indétermination intrinsèque dictée par  $\kappa_q$ .

En interaction étroite avec la LCFT et la LCM, la LRQT garantit que le temps ne peut ni se lisser indéfiniment, ni s'effondrer dans un régime de fluctuations infinies.

Le temps est ainsi contraint à une structure quantique interne qui conditionne la forme, la stabilité et l'évolution cohérente du présent phénoménal  $t_2$ .

## 27.5 — LTSM : Loi de Transition Spectrale Morphogénique

La Loi de Transition Spectrale Morphogénique (LTSM) est la loi du VLCC qui articule de manière la plus directe la cohérence temporelle  $\sigma(x)$  et la phénoménalité lumineuse.

Elle établit la règle par laquelle la lumière — en tant que phénomène spectral — s'active, se désactive ou se trouve gelée en fonction du degré de cohérence locale.

Alors que les théories physiques traditionnelles décrivent la lumière comme une onde ou un quantum indépendant du temps, la LTSM affirme au contraire que l'existence même de la lumière active dans  $t_2$  dépend de  $\sigma(x)$ .

L'expression  $C(v) = \Theta(v) \cdot \sigma(x)$  formalise ce lien.  $\Theta(v)$  agit comme une fonction d'activation spectrale : elle vaut 0 pour les fréquences inactives (lumière gelée) et 1 pour les fréquences actives (lumière phénoménale).

Le produit avec  $\sigma(x)$  signifie que la lumière n'est pas un phénomène autonome mais une projection de la cohérence temporelle dans le domaine spectral. Ainsi :

- si  $\sigma(x)$  est faible, même les fréquences activables restent inefficaces ;
- si  $\sigma(x)$  est élevée, un ensemble plus large de fréquences devient phénoménal actif ;
- si  $\sigma(x)$  atteint  $\sigma_{\min}$ , le spectre minimal nécessaire à l'existence de  $T_2$  devient réalisable.

La LTSM régit donc la distribution morphogénique du spectre lumineux : elle décide quand la lumière peut apparaître, quelle partie du spectre peut s'actualiser, et comment cette activation contribue à la structuration interne du présent.

Cette loi joue un rôle central dans la construction du secteur lumineux du Lagrangien, car elle impose que toute contribution énergétique, informationnelle ou phénoménale provenant de la lumière doit être pondérée par  $\sigma(x)$  et modulée par  $\Theta(v)$ .

Plus profondément encore, la LTSM marque la dépendance mutuelle du temps et de la lumière : la lumière nécessite le temps pour être active, mais la lumière renforce également la cohérence temporelle dans certaines conditions morphogéniques.

Cette boucle de dépendance joue un rôle fondamental dans la structure interne du régime  $t_2$ .

## 27.6 — LTT : Loi Thermodynamique du Temps

La Loi Thermodynamique du Temps (LTT) introduit un principe entropique fondamental dans le VLCC : la morphogénèse temporelle est soumise à une tension thermique interne telle que  $dS_{morpho}/d\tau \geq 0$ .

Cette loi ne se contente pas d'indiquer la direction d'évolution du temps ; elle définit l'existence même d'un gradient thermodynamique inhérent au tissu temporel.

La cohérence  $\sigma(x)$  diffuse selon un flux  $J_{coh}$  proportionnel au gradient négatif de  $\sigma(x)$ , indiquant que les régions de forte cohérence ont tendance à se redistribuer vers les régions moins cohérentes. Ce phénomène évoque une sorte de conduction morphogénique, mais il ne s'agit en rien d'un transfert énergétique classique : il s'agit d'un rééquilibrage interne de la tension temporelle.

Dans le Lagrangien, la LTT implique l'ajout ou la modulation de termes entropiques, par exemple via une densité entropique  $s(x)$  pondérée par une température morphogénique effective  $T_{eff}(\sigma)$ . Ces termes traduisent mathématiquement le fait que la cohérence doit continuellement s'ajuster pour maintenir la stabilité du présent.

La LTT interdit également toute inversion spontanée de la flèche temporelle morphogénique : toute configuration violent  $dS_{morpho}/d\tau \geq 0$  est éliminée de l'espace des solutions admissibles.

En interaction avec la LCFT, la LTSM et la LCM, la LTT assure que  $t_2$  reste non seulement cohérent, mais thermodynamiquement soutenable.

Elle fonde la directionnalité émergente du présent et garantit que la structure du temps ne puisse rétro-évoluer ou s'effondrer en un état de tension négative.

## 27.7 — LCM : Loi de Continuité Morphogénique

La Loi de Continuité Morphogénique (LCM) constitue l'un des piliers stabilisateurs du modèle VLCC, en ce qu'elle impose que toute évolution de la cohérence temporelle  $\sigma(x, \tau)$  s'effectue sans rupture, sans discontinuité et sans dérivée explosive.

Cette loi ne relève pas simplement d'un souci esthétique de régularité, mais d'une nécessité ontologique : un temps qui changerait de façon abrupte ne pourrait maintenir un présent phénoménal  $t_2$ , et l'existence même de phénomènes deviendrait impossible.

Contrairement aux approches physiques traditionnelles qui considèrent le temps comme une variable externe, paramétrée et passive, le VLCC reconnaît au temps une dynamique interne de cohérence.

La LCM exige que cette dynamique soit régulière :  $\sigma(x, \tau)$  doit être au minimum de classe  $C^1$  en  $\tau$ , ses dérivées doivent être bornées, et les changements de régime temporel — par exemple entre des zones de forte cohérence et des zones transitoires — doivent s'effectuer de manière lisse.

Une variation trop brutale de  $\sigma(x)$  provoquerait une désynchronisation morphogénique, compromettant la stabilité du présent.

D'un point de vue lagrangien, la LCM impose l'existence de termes correctifs explicitement destinés à pénaliser les transitions trop rapides. Ces termes peuvent prendre la forme :

- de pénalisations quadratiques sur les dérivées seconde de  $\sigma(x)$ , assurant un amortissement des variations trop abruptes ;
- de termes plastiques  $P(\sigma, \partial\sigma)$  destinés à absorber les irrégularités morphogéniques ;
- ou de contraintes structurelles imposant un seuil maximal à  $|\partial\sigma/\partial\tau|$ .

La LCM joue ainsi un rôle essentiel dans la cohésion du temps : elle garantit que l'évolution interne du champ  $\sigma(x)$  demeure compatible avec l'existence d'un présent stable, sans fracture ni accélération incohérente de la morphogénèse.

Elle agit en complément direct de la LCFT et de la LTT, consolidant le socle de continuité du régime phénoménal  $t_2$ .

## 27.8 — LCS : Loi de Continuité Structurale du Temps

La Loi de Continuité Structurale du Temps (LCS) renforce, à un niveau plus global, l'exigence de cohésion introduite par la LCM.

Alors que la LCM garantit la continuité locale de  $\sigma(x)$  dans le temps, la LCS assure la cohérence structurelle entre les trois couches temporelles fondamentales :  $t_1$ ,  $t_2$  et  $t_1'$ .

Ces couches ne doivent jamais être considérées comme des entités indépendantes : elles représentent trois régimes d'un même continuum temporel, trois niveaux de cohérence qui ne peuvent se fragmenter.

La LCS affirme que toute solution du modèle VLCC doit maintenir une connectivité structurelle entre ces couches. L'incohérence, la rupture ou la dislocation du tissu temporel sont interdites.

Mathématiquement, cette contrainte est exprimée par une fonctionnelle  $C_{\text{cont}}[\sigma] = 0$ , laquelle impose la continuité structurelle du temps. Cette fonctionnelle peut être intégrée dans le Lagrangien par un multiplicateur de Lagrange  $\lambda$ , donnant :

$$L' = L_{\text{VLCC}} + \lambda \cdot C_{\text{cont}}[\sigma].$$

Ce terme supplémentaire ne crée pas une dynamique nouvelle, mais agit comme un filtre éliminant systématiquement les configurations interdites. Ainsi, toute évolution de  $\sigma(x)$ , toute transition entre  $t_1$ ,  $t_2$  et  $t_1'$  et toute solution variationnelle doivent respecter la continuité profonde du temps.

La LCS occupe une place structurante dans le VLCC, car elle empêche le temps d'acquérir des zones disjointes, des fissures morphogéniques ou des régions indépendantes.

Elle garantit que, malgré les fluctuations, les tensions thermodynamiques ou les variations spectrales, le temps demeure un continuum cohérent, supportant la phénoménalité et la régularité de  $t_2$ .

## 27.9 — PNMD : Principe de Non-Mesurabilité Directe du Temps

Le Principe de Non-Mesurabilité Directe du Temps (PNMD) occupe une place singulière dans le modèle VLCC : il ne constitue pas une loi comme les sept précédentes, mais un principe épistémologique déterminant la manière dont les grandeurs temporelles doivent être interprétées.

Alors que les lois structurent l'espace des solutions admissibles, le PNMD structure la compréhension même du temps et des phénomènes temporels.

Ce principe affirme l'impossibilité fondamentale d'accéder à une mesure directe du temps.

Il n'existe pas d'opérateur de mesure  $\hat{O}_t$  qui permettrait de saisir le temps lui-même. Toute mesure temporelle est, par essence, une mesure de projection : elle porte uniquement sur les phénomènes émergents dans  $t_2$  — la lumière active, les horloges, les processus dynamiques, les intervalles phénoménologiques.

Le temps n'est donc jamais mesuré en tant que tel : seules ses manifestations phénoménales le sont.

Cette impossibilité n'est pas une limitation technique, mais une nécessité structurelle découlant de l'indétermination constitutive du temps.

Le PNMD encadre ainsi l'interprétation de toutes les grandeurs du modèle : toute observation, toute donnée, tout phénomène relèvent d'une projection dans  $t_2$ . Cela signifie également que la cohérence  $\sigma(x)$ , bien qu'elle structure le temps, n'est pas un observable — elle est une grandeur ontologique interne, accessible uniquement par ses effets.

Le PNMD ne modifie pas le Lagrangien, mais il conditionne la manière dont celui-ci doit être compris.

Il rappelle que le VLCC ne décrit pas une dynamique observable du temps, mais les conditions de cohérence nécessaires à l'existence même d'un régime phénoménal où les mesures deviennent possibles.

Ainsi, le PNMD verrouille l'épistémologie du modèle et assure la cohérence entre le formalisme mathématique et la phénoménalité lumineuse de  $t_2$ .

## 27.10 — Introduction formelle de l'Équation-Cadre Ouverte du VLCC

L'introduction de l'Équation-Cadre Ouverte constitue une étape décisive dans la formalisation mathématique du modèle VLCC.

Elle permet d'unifier, sous une écriture structurale unique, l'ensemble des contraintes issues des lois fondamentales du modèle (LCFT, LCM, LCS, LRQT, LITV, LTT, LTSM) et des équations variationnelles dérivées du Lagrangien anté-canonical V8.

Contrairement aux théories physiques où les équations fondamentales décrivent une dynamique ou une évolution géométrique, l'Équation-Cadre du VLCC n'exprime aucune dynamique : elle énonce la condition d'appartenance d'une configuration au modèle.

Cette équation s'écrit sous la forme générale :

$$E_{VLCC} = \sum_{i=1}^N \Phi_i = 0$$

où :

- $\Phi_i$  désigne la fonctionnelle de cohérence associée à la loi fondamentale  $L_i$  ;
- $N$  est le nombre actuel de lois fondamentales du VLCC ;
- $N$  n'est pas figé : le modèle repose sur un cadre ouvert, évolutif et extensible.

Une configuration morphogénique  $(g_{\{\mu\nu\}}, \sigma, \Delta t, \Psi)$  — où  $g_{\{\mu\nu\}}$  représente la structure géométrique minimale,  $\sigma$  le champ de cohérence,  $\Delta t$  l'invariant d'asymétrie temporelle et  $\Psi$  les paramètres auxiliaires — est admise par le VLCC si, et seulement si, elle satisfait simultanément toutes les lois fondamentales du moment, c'est-à-dire l'ensemble des  $\Phi_i$ .

L'Équation-Cadre Ouverte n'est donc pas :

- une équation de champ,
- une équation de dynamique,
- une équation d'évolution,
- une contrainte métrique,
- ni une relation énergétique.

Elle constitue un critère structurel global, énonçant l'exigence de cohérence interne qui fonde l'existence du temps phénoménal  $t_2$ . Cette équation capture le cœur du modèle : ce n'est pas la dynamique qui détermine la cohérence, mais la cohérence qui détermine les régimes de phénoménalité.

Le caractère ouvert de l'équation revêt une importance conceptuelle majeure. Alors que les théories physiques traditionnelles imposent un cadre fermé — un nombre fixe de lois fondamentales — le VLCC adopte une structure extensible.

De nouvelles lois pourront être ajoutées si nécessaire, ou certaines reformulées, sans altérer l'architecture générale du modèle. Cette propriété reflète la nature morphogénique du temps : le cadre mathématique n'est pas figé, mais évolutif, tant que ses invariants fondamentaux demeurent préservés.

L'Équation-Cadre Ouverte devient ainsi le principe unificateur du chapitre 27 : elle assemble les équations d'Euler–Lagrange, les contraintes structurelles, les invariants morphogéniques et les lois fondamentales dans un schéma cohérent, non dynamique et non métrique.

Elle prépare naturellement les chapitres suivants, où ces équations seront appliquées au cas cosmologique (chapitre 29) et aux structures phénoménales élargies (chapitre 30).

## 27.11 — Tableau récapitulatif des lois fondamentales et du principe

Loi / Principe	Rôle structural dans le VLCC
LCFT	Seuil de cohérence $\sigma_{\min}$ ; structure du potentiel $V(\sigma)$ .
LITV	Vitesse-limite interne ; contrainte sur les termes cinétiques.
LRQT	Granularité morpho-quantique ; contrainte sur fluctuations de $\sigma$ .
LTSM	Activation spectrale de la lumière ; structure du secteur lumineux.
LTT	Tension thermodynamique interne ; termes entropiques.
LCM	Continuité morphogénique ; régularité des transitions.
LCS	Continuité structurelle globale ; absence de fragmentation temporelle.
PNMD (principe)	Principe épistémique de non-mesurabilité directe du temps.

## 27.12 — Synthèse du chapitre 27

Le chapitre 27 accomplit une tâche structurante essentielle : il établit la totalité du cadre légal, morphogénique et épistémologique dans lequel le modèle VLCC peut s'exprimer, se déployer et être mathématiquement défini.

À travers l'examen systématique des sept lois fondamentales et du principe épistémique PNMD, il clarifie non seulement les limites structurelles du modèle, mais également les conditions mêmes d'existence du temps phénoménal  $t_2$ .

Ces lois forment un système rigoureusement interdépendant : aucune ne peut être omise, aucune ne peut être affaiblie sans compromettre l'ensemble de l'édifice conceptuel.

Elles donnent au temps une structure interne articulée selon plusieurs axes complémentaires :

- la cohérence minimale (LCFT), sans laquelle le présent ne peut exister ;
- la capacité-limite des phénomènes lumineux et dynamiques (LITV), garantissant que le présent ne soit pas surchargé ;
- la granularité morpho-quantique du temps (LRQT), empêchant toute description lisse ou infiniment divisible du tissu temporel ;
- la structuration spectrale de la lumière (LTSM), qui relie intimement lumière et cohérence ;
- la tension thermodynamique interne (LTT), qui confère au temps une direction entropique irréversible ;
- la continuité morphogénique (LCM), assurant la régularité des transitions internes ;
- la continuité structurelle entre les couches temporelles (LCS), empêchant toute fragmentation du continuum  $t_1-t_2-t_1'$ .

Ces exigences, loin de constituer des contraintes artificielles, expriment la nécessité ontologique d'un temps cohérent, capable d'accueillir la phénoménalité lumineuse, la dynamique interne de  $\sigma(x)$  et l'apparition d'un présent stable.

Elles ne décrivent pas ce que le temps fait, mais ce qu'il doit être pour qu'un régime phénoménal soit possible.

À ces sept lois s'ajoute le Principe de Non-Mesurabilité Directe du Temps (PNMD).

Ce principe ne modifie pas la structure variationnelle du modèle, mais il en constitue la pierre angulaire épistémologique : il rappelle que le temps n'est jamais donné comme observable direct, mais uniquement par ses manifestations — la lumière, les phénomènes dynamiques, les processus internes à  $t_2$ .

Le PNMD garantit la cohérence conceptuelle entre ce que le modèle affirme et ce que l'observation phénoménale peut réellement atteindre.

L'ensemble de ces éléments converge vers la formulation de l'Équation-Cadre Ouverte, véritable cœur structurel du VLCC.

Cette équation ne décrit ni mouvement, ni évolution, ni dynamique au sens traditionnel ; elle exprime la condition d'existence d'une configuration temporelle compatible avec les lois fondamentales.

En ce sens, elle joue le rôle d'un opérateur de légalité : elle filtre, parmi toutes les configurations possibles, celles qui appartiennent réellement au domaine du modèle.

Ainsi, le chapitre 27 constitue le socle fondationnel sur lequel reposent :

- la dérivation lagrangienne complète du chapitre 28,
- l'application cosmologique du chapitre 29,
- la généralisation phénoménale du chapitre 30,

Ce chapitre ne clôture pas seulement la construction des fondements : il scelle la cohérence interne du modèle, fixe ses invariants, et prépare l'ensemble des développements ultérieurs.

## **CHAPITRE 28 — Équations d'Euler–Lagrange du VLCC : dérivation canonique et cohérence structurelle**

### **28.1 — Introduction générale : la variation comme condition de cohérence**

Dans le modèle VLCC, l'équation d'Euler–Lagrange assume un statut conceptuel entièrement distinct de celui qu'elle occupe dans les théories physiques traditionnelles.

Alors que ces dernières associent la variation d'action à une dynamique, à une évolution ou à une géométrisation des phénomènes, le VLCC s'affranchit de toute telle interprétation.

Ici, la variation  $\delta S = 0$  ne représente ni un mouvement, ni une trajectoire, ni une évolution temporelle, mais une condition d'admissibilité morphogénique : elle indique quelles configurations du champ de cohérence  $\sigma(x)$  peuvent être reconnues comme appartenant au régime phénoménal  $t_2$ .

Ainsi, les équations d'Euler–Lagrange ne décrivent pas ce que fait le temps, mais ce que doit être le temps pour que la phénoménalité soit possible. Elles expriment une condition stricte de compatibilité entre  $\sigma(x)$  et l'ensemble des lois fondamentales : LCFT, LCM, LCS, LRQT, LITV, LTT et LTSM. Une configuration n'est admissible que si elle satisfait simultanément ces lois, ce qui transforme la variation en instrument juridique, garantissant la cohérence interne du modèle.

La première partie de ce chapitre expose les bases mathématiques permettant de dériver ces équations dans un cadre non dynamique et structurellement contraint, tandis que la seconde montrera comment ces équations s'intègrent dans la structure légale plus large du modèle.

## 28.2 — Structure générale de l'action S : préparation de la dérivation

L'action canonique du modèle VLCC est donnée par :

$$S = \int d^4x \sqrt{-g} [ K_{\text{tot}}(\Delta t) (\partial^\mu \sigma)(\partial_\mu \sigma) + F(\sigma)R - V(\sigma) + P(\sigma, \partial\sigma) ].$$

**A noter :** Le terme  $P(\sigma, \partial\sigma)P(\sigma, \partial\sigma)$  ne constitue pas une interaction indépendante, mais un opérateur fonctionnel regroupant les contraintes morphogéniques nécessaires à la projection sur le régime du présent actif et à la continuité structurelle du champ temporel. Sa forme explicite sera précisée dans le master mathématique présenté en Annexe A.

Chaque terme de cette expression est imposé par une ou plusieurs lois fondamentales :

- LCFT impose la forme du potentiel  $V(\sigma)$  ;
- LCM impose la présence d'un terme plastique  $P(\sigma, \partial\sigma)$  ;
- LCS impose le terme géométrique  $F(\sigma)R$  ;
- LITV impose que  $\Delta t$  soit un invariant non varié ;
- LRQT impose des régularités sur les dérivées ;
- LTSM structure le secteur lumineux et les couplages spectraux ;
- LTT impose la cohérence thermodynamique des transitions.

Ainsi, la variation ne peut être effectuée qu'en tenant compte de ces contraintes légales :  $\delta\Delta t = 0$ , la géométrie  $R$  n'est pas interprétée comme géométrie physique,  $\sigma(x)$  doit demeurer dans un domaine borné et les variations doivent respecter la granularité imposée par LRQT.

Dès lors, la dérivation n'est pas un processus neutre : elle est elle-même orientée par la structure interne du modèle.

## 28.3 — Variation du terme cinétique : rôle explicite de $K_{\text{tot}}(\Delta t)$

Le terme cinétique du Lagrangien V8 joue un rôle central dans la cohérence variationnelle :

$$K_{\text{tot}}(\Delta t) (\partial^\mu \sigma \partial_\mu \sigma).$$

Puisque  $\Delta t$  est un invariant structurel (LITV), la variation de ce terme s'effectue exclusivement par  $\delta\sigma$ , donnant :

$$\delta [ K_{\text{tot}}(\Delta t) \partial^\mu \sigma \partial^\nu \mu_\nu ] = 2 K_{\text{tot}}(\Delta t) \partial^\mu \sigma \partial^\nu (\delta\mu).$$

Après intégration par parties, on obtient :

$$\begin{aligned} \int d^4x \sqrt{-g} 2 K_{\text{tot}}(\Delta t) \partial^\mu \sigma \partial^\nu (\delta\mu) \\ = - \int d^4x \sqrt{-g} 2 K_{\text{tot}}(\Delta t) \nabla_\mu \nabla^\nu \mu_\nu \delta\sigma + \text{termes de bord}. \end{aligned}$$

Les termes de bord sont éliminés par la continuité imposée par LCM ainsi que par la présence des termes plastiques  $P(\sigma, \partial\sigma)$ , qui régularisent les gradients. Ce terme contribue ainsi à l'équation d'Euler-Lagrange via :

$$-2 K_{\text{tot}}(\Delta t) \nabla_\mu \nabla^\nu \mu_\nu.$$

Ce premier résultat illustre la manière dont la structure légale du VLCC oriente directement les formes variationnelles.

## 28.4 — Variation du potentiel morphogénique $V(\sigma)$

Le potentiel morphogénique  $V(\sigma)$  occupe une place centrale dans le modèle VLCC, car il encode directement les conditions de stabilité, de transition et de granularité de la cohérence temporelle  $\sigma(x)$ .

Contrairement aux potentiels des théories physiques classiques — souvent construits pour représenter des interactions, des énergies ou des symétries particulières —  $V(\sigma)$  est ici une structure légale : sa forme n'est pas un choix, mais la conséquence nécessaire des lois fondamentales LCFT, LTSM et LRQT.

La variation de ce potentiel se présente sous la forme minimale :

$$\delta[V(\sigma)] = (\partial V / \partial \sigma) \delta\sigma.$$

Cette expression simple masque cependant une architecture interne extrêmement contrainte. En effet :

- la LCFT impose que  $V(\sigma)$  possède un plateau stable dans le régime  $t_2$ , ce qui se traduit par l'annulation de  $\partial V/\partial\sigma$  ;
- la LTSI exige que  $V(\sigma)$  encode la distinction entre les trois régimes temporels  $t_1$ ,  $t_2$  et  $t_1'$ , ce qui implique que la dérivée soit strictement positive ou strictement négative hors de  $t_2$  ;
- la LRQT impose que  $V(\sigma)$  ne puisse être parfaitement plat sur une région étendue, afin de préserver la granularité morpho-quantique.

Ainsi, la contribution du potentiel à l'équation d'Euler–Lagrange prend la forme :

$$\partial V/\partial\sigma,$$

mais sa signification conceptuelle est beaucoup plus riche : elle encode à la fois la stabilité morphogénique, la structure triadique du temps et la granularité imposée par l'indétermination interne du champ  $\sigma(x)$ .

## 28.5 — Variation des termes plastiques $P(\sigma, \partial\sigma)$

Les termes plastiques  $P(\sigma, \partial\sigma)$  constituent l'un des aspects les plus caractéristiques du VLCC.

Ils assurent que les variations trop abruptes ou trop violentes du champ  $\sigma(x)$  soient immédiatement amorties, empêchant ainsi toute rupture morphogénique qui compromettrait l'existence du présent  $t_2$ .

Là où les théories classiques utilisent des termes visqueux, dissipatifs ou correctifs, le VLCC fonde cette nécessité sur les lois LCM et LRQT.

La variation de  $P$  s'écrit :

$$\delta P = (\partial P / \partial \sigma) \delta \sigma + (\partial P / \partial (\partial \mu \sigma)) \partial \mu (\delta \sigma).$$

L'intégration par parties du second terme donne :

$$-\nabla \mu (\partial P / \partial (\partial \mu \sigma)).$$

Ces contributions ont une portée structurelle considérable :

- $(\partial P / \partial \sigma)$  encode la sensibilité locale du tissu temporel aux variations de cohérence ;
- $-\nabla \mu (\partial P / \partial (\partial \mu \sigma))$  représente la régulation active des gradients de  $\sigma(x)$ , empêchant toute dérivée explosive ou toute transition non lisse.

Ces termes sont les garants de la continuité morphogénique (LCM) et de la granularité (LRQT).

Ils stabilisent le champ  $\sigma(x)$  indépendamment de  $V(\sigma)$ , assurant une robustesse supplémentaire qui empêche le temps de se fracturer même dans des zones où  $\partial V / \partial \sigma$  pourrait être faible ou transitoirement instable.

## 28.6 — Structure générale de l'équation avant simplification

L'agrégation des contributions précédentes — cinétique, plastique et potentielle — permet d'obtenir une première forme intermédiaire de l'équation d'Euler-Lagrange dans le cadre du VLCC.

Cette forme n'est pas encore complète, car elle ne prend pas en compte le terme géométrique  $F(\sigma)R$ , ni les contraintes structurelles globales imposées par la LCS et la structure triadique de la LTSM ; néanmoins, elle constitue déjà une ossature solide :

$$\begin{aligned}
 & -2 K_{\text{tot}}(\Delta t) \nabla \mu \nabla^\mu \sigma \\
 & - \nabla \mu (\partial P / \partial (\partial \mu \sigma)) \\
 & + (\partial P / \partial \sigma) \\
 & + (\partial V / \partial \sigma) \\
 & + \text{contributions issues de } F(\sigma)R \\
 & = 0.
 \end{aligned}$$

Cette structure intermédiaire révèle clairement le caractère non dynamique de la variation dans le VLCC : aucune de ces quantités ne représente une accélération, une évolution ou une propagation physique au sens traditionnel.

Chacune exprime une exigence de cohérence interne.

La seconde partie du chapitre intégrera le terme géométrique et reformulera l'ensemble de manière compatible avec les lois LCFT, LCM, LCS, LRQT, LITV, LTT et LTSM, permettant d'obtenir l'équation-cadre complète.

## 28.7 — Contribution du terme géométrique $F(\sigma) R$ : cohérence sans dynamique métrique

Le terme géométrique  $F(\sigma)R$  occupe une position singulière dans le Lagrangien du VLCC.

Contrairement aux théories physiques où le terme scalarisé  $R$  est indissociable d'une dynamique métrique, introduisant naturellement des équations de type Einstein, le modèle VLCC adopte une position radicalement différente.

Ici,  $R$  ne représente pas la courbure dynamique d'un espace-temps, mais un opérateur géométrique minimal destiné à garantir une cohérence structurelle globale, conformément à la LCS (Loi de Cohérence Structurelle).

Cette distinction est essentielle : la LCS impose qu'une structure géométrique minimale soit présente, sans pour autant accorder à cette structure un rôle dynamique.  $R$  ne fluctue pas, ne se transforme pas, ne réagit pas aux variations du champ  $\sigma(x)$ .

Il agit comme un réceptacle géométrique constant, un cadre structurel permettant à l'action d'être bien définie et aux équations variationnelles d'être cohérentes.

La variation du terme  $F(\sigma)R$  se réduit donc à :

$$\delta[F(\sigma)R] = (dF/d\sigma) \cdot R \cdot \delta\sigma.$$

Aucune équation de curvature ne surgit, aucun couplage métrique n'est activé. La seule contribution apportée à l'équation d'Euler-Lagrange concerne  $\sigma$ , au travers du terme :

$$(dF/d\sigma) \cdot R.$$

Ce terme agit comme un régulateur global : il induit une cohérence structurelle à grande échelle, sans imposer de dynamique locale. Il permet d'éviter que le modèle ne se limite à une cohérence strictement locale imposée par les termes cinétiques et plastiques.

Sans  $F(\sigma)R$ , l'action perdrait sa cohésion interne, et les solutions seraient potentiellement inconsistantes à l'échelle globale.

Ainsi, le terme géométrique assure une stabilité conceptuelle et variationnelle essentielle au modèle.

## 28.8 — Assemblage complet de l'équation canonique

En rassemblant toutes les contributions — cinétique, plastique, potentielle et géométrique — on obtient la structure canonique de l'équation d'Euler-Lagrange associée au champ  $\sigma(x)$  :

$$\begin{aligned} & -2 K_{\text{tot}}(\Delta t) \nabla \mu \nabla^\lambda \mu \sigma \\ & - \nabla \mu (\partial P / \partial (\partial \mu \sigma)) \\ & + (\partial P / \partial \sigma) \\ & + (dF/d\sigma) R \\ & + (\partial V / \partial \sigma) \\ & = 0. \end{aligned}$$

Cette équation ne doit jamais être interprétée comme une équation d'évolution ou comme une équation dynamique : elle ne dit rien sur un mouvement du temps ni sur une transformation géométrique.

Au contraire, cette équation exprime la condition de cohérence interne que  $\sigma(x)$  doit satisfaire pour appartenir à l'espace morphogénique admissible défini par le VLCC.

Elle agit comme une contrainte de légalité : elle vérifie que  $\sigma(x)$  est compatible avec la structure globale du modèle, que ses variations sont suffisamment régulières, que ses gradients sont amortis, que sa cohérence minimale est respectée, et que sa relation avec la géométrie et la lumière est conforme aux lois fondamentales.

## 28.9 — Réécriture sous les contraintes des lois fondamentales

La dernière étape consiste à reformuler l'équation canonique à la lumière explicite des sept lois fondamentales.

Chaque loi élimine certaines solutions et en impose d'autres, donnant à l'équation d'Euler-Lagrange sa portée structurelle définitive.

- La LCFT impose  $\sigma \geq \sigma_{\min}$ , éliminant les solutions qui compromettent la cohérence minimale du présent.
- La LCM impose la continuité du champ : aucune discontinuité, aucun saut brutal n'est admissible.
- La LCS impose que la solution soit compatible avec la structure  $F(\sigma)R$ , laquelle joue le rôle de cohérence géométrique globale.
- La LRQT impose une granularité morpho-quantique, interdisant les oscillations infiniment petites et les configurations trop lisses.
- La LITV impose que  $\Delta t$  soit un invariant, éliminant toute solution dépendant de  $\delta \Delta t$ .

- La LTT impose une asymétrie interne dans la structure morphogénique, ce qui exige que  $K_{\text{tot}}(\Delta t)$  soit strictement croissant.
- La LTSM impose que  $\partial V/\partial \sigma = 0$  dans  $t_2$ , mais non dans  $t_1$  et  $t_1'$ , introduisant une structure triadique dans l'espace des solutions.

Ainsi reformulée, l'équation canonique n'est pas simplement un résultat variationnel.

Elle incarne la synthèse condensée de toutes les contraintes structurelles du modèle VLCC.

Elle constitue le filtre définitif permettant d'identifier, parmi toutes les configurations mathématiquement possibles, celles qui sont compatibles avec l'existence du temps phénoménal  $t_2$ .

## **28.10 — Version structurée et épurée de l'équation d'Euler–Lagrange : justification, portée et nécessité morphogénique**

La réécriture épurée de l'équation d'Euler–Lagrange ne constitue pas un simple exercice de clarification.

Dans le modèle VLCC, cette étape revêt une importance conceptuelle majeure : elle permet de dégager la structure interne de l'équation en extirpant tout élément redondant sans jamais en diminuer la portée.

Cette épuration n'est ni une simplification ni un affaiblissement : elle est une recomposition cohérente destinée à rendre visible une architecture que la dérivation brute — complexe, stratifiée, multi-contributive — pourrait masquer.

En effet, l'équation obtenue dans les sections précédentes, bien que pleinement correcte, demeure une superposition de contributions hétérogènes issues du terme cinétique, du potentiel morphogénique, du terme plastique, du terme géométrique et des contraintes provenant de l'ensemble des lois fondamentales.

La forme épurée vise à dégager la structure fonctionnelle interne tout en laissant intact le système des contraintes légales qui en assurent la validité ontologique

Ainsi, après regroupement conceptuel et normalisation, on obtient :

$$\begin{aligned} & K_{\text{tot}}(\Delta t) \square \sigma \\ & + (1/2) \nabla \mu (\partial P / \partial (\partial \mu \sigma)) \\ & - (1/2) (\partial P / \partial \sigma) \\ & - (1/2) (dF/d\sigma) R \\ & - (1/2) (\partial V / \partial \sigma) \\ & = 0. \end{aligned}$$

Cette écriture condensée est le résultat d'une restructuration logique du formalisme. Sa portée va bien au-delà de ce que l'on pourrait attendre d'une équation canonique :

- Premièrement, elle révèle l'équilibre interne du modèle

Les contributions s'organisent en paires conceptuelles complémentaires :

- le terme cinétique, purement morphogénique,
- les dérivées plastiques, régulatrices,
- la dérivée du potentiel, responsable des transitions de régime,
- la contribution géométrique, assurant la cohésion structurelle globale.

- Deuxièmement, elle met en évidence la symétrie cachée du formalisme

Symétrie non dynamique, mais structurelle : ce n'est pas la propagation qui importe, mais la condition de compatibilité entre toutes les couches du modèle.

- Troisièmement, elle rend visible la fonction profonde de  $K_{\text{tot}}(\Delta t)$

La loi LITV impose que  $K_{\text{tot}}$  soit strictement croissant, ce qui verrouille l'asymétrie interne de l'équation. La variation ne peut jamais rétroagir de manière symétrique.

- Quatrièmement, elle clarifie le statut du terme géométrique

$(dF/d\sigma)R$  n'est pas une source, ni un couplage métrique, mais un régulateur structurel global.

Cette forme épurée servira de référence dans la Partie III du chapitre, consacrée à l'analyse des implications ontologiques et morphogéniques de cette équation.

## **28.11 — Interprétation morphogénique : absence de dynamique, structure du paysage temporel et rôle explicite des régimes $t_1-t_2-t_1'$**

L'interprétation morphogénique de l'équation d'Euler–Lagrange constitue peut-être la contribution la plus singulière du modèle VLCC au paysage conceptuel contemporain.

Contrairement à toutes les grandes théories physiques qui exploitent la variation d'action pour dériver des dynamiques, des trajectoires ou des géométries évolutives, le VLCC reconnaît que la variation n'est pas un principe d'évolution mais un principe d'admissibilité.

Pas une dynamique : une filtration

L'équation d'Euler–Lagrange n'est pas un opérateur de mouvement. Elle n'enregistre aucune évolution par rapport à une variable temporelle. Elle ne prédit aucune propagation de  $\sigma(x)$ . Elle impose uniquement la structure minimale nécessaire pour qu'une configuration temporelle soit compatible avec les lois fondamentales.

Le temps ne se déploie pas : il s'organise

Les régimes  $t_1$ ,  $t_2$  et  $t_1'$  ne sont pas des « états successifs » mais des « zones de cohérence possibles ». Le potentiel  $V(\sigma)$  établit un paysage triadique :

- $t_1$  : précohérence — dérivées positives, tension morphogénique élevée ;
- $t_2$  : cohérence stable — dérivée nulle, plateau morphogénique ;
- $t_1'$  : post-cohérence — dérivées négatives, tension de distorsion.

Ainsi, dans  $t_2$ , l'annulation de  $\partial V / \partial \sigma$  donne à l'équation sa forme la plus stable, la plus lisse, la moins contrainte. Le présent phénoménal est le régime dans lequel la cohérence interne est naturellement auto-soutenue par l'architecture de l'équation.

Dans  $t_1$  et  $t_1'$ , au contraire :

la dérivée du potentiel devient non nulle, imposant au champ une tension interne accrue. Les termes plastiques prennent un rôle déterminant pour empêcher la discontinuité ou la fragmentation. Le terme géométrique renforce la cohésion globale. Le terme cinétique amortit les gradients trop intenses.

Le rôle morphogénique de l'équation

L'équation produit un « espace des solutions admissibles », comparable à un paysage structurel plutôt qu'à un espace dynamique. Chaque solution représente une configuration de cohérence compatible avec les lois, et non une trajectoire reliant deux états.

## **La variation non dynamique : une rupture conceptuelle majeure:**

La variation dans le VLCC n'est pas une minimisation mais une légitimation.

Dans la physique classique ou relativiste,  $\delta S = 0$  sélectionne les trajectoires physiques.

Dans le VLCC,  $\delta S = 0$  sélectionne les configurations temporelles permises, indépendamment de toute dynamique.

Ce que le VLCC renverse :

- la variation comme principe d'évolution
- le temps comme paramètre externe
- le potentiel comme fonction d'interaction
- la géométrie comme structure dynamique

Ce que le VLCC instaure :

- le temps comme cohérence interne  $\sigma(x)$
- les lois fondamentales comme filtre ontologique
- le Lagrangien comme architecture légale
- l'équation d'Euler-Lagrange comme critère d'existence

Cette rupture justifie la place centrale du VLCC parmi les théories spéculatives contemporaines.

## **28.12 — Consolidation, portée ontologique et articulation**

La Partie II du chapitre 28 constitue une étape décisive dans la structuration conceptuelle du modèle VLCC.

Elle complète la dérivation anté-canonique commencée en Partie I, en introduisant successivement :

- la contribution géométrique  $F(\sigma)R$ ,
- la reformulation sous contraintes légales,
- l'écriture épurée de l'équation finale,
- l'interprétation morphogénique,
- et la place de la triade temporelle dans l'équation.

Cette synthèse montre que l'équation d'Euler-Lagrange obtenue n'est pas une équation physique au sens traditionnel, mais une équation de cohérence phénoménale, un objet inclassable dans les cadres théoriques classiques.

- Une équation qui condense 7 lois fondamentales

Elle exprime simultanément l'effet structurant :

- de la cohérence minimale (LCFT),
- de la continuité morphogénique (LCM),
- de la continuité structurelle (LCS),
- de la granularité morpho-quantique (LRQT),
- de l'invariance  $\Delta t$  (LITV),
- de l'asymétrie thermodynamique (LTT),
- et de la structuration spectrale lumineuse (LTSM).

Aucune autre équation du modèle ne condense une telle densité légale.

Le chapitre 29 prolongera cette synthèse en montrant comment l'équation de cohérence interne, une fois appliquée à des géométries cosmologiques idéalement homogènes, conduit à une lecture entièrement renouvelée de la phénoménalité cosmique.

## CHAPITRE 29 — Intégration des lois fondamentales dans l'action morphogénique

### 29.1 — Introduction générale : une équation d'Euler-Lagrange sans dynamique

L'un des aspects les plus singuliers du modèle VLCC réside dans le statut conceptuellement unique de l'équation d'Euler-Lagrange qui en découle.

Dans la quasi-totalité des théories physiques, qu'il s'agisse de la mécanique classique, des champs quantiques ou de la relativité générale, l'équation d'Euler-Lagrange exprime une dynamique : elle détermine l'évolution temporelle d'un système, ou la géométrie d'un espace-temps soumis aux variations d'une action.

Rien de tel dans le modèle VLCC. Ici, l'équation variationnelle ne décrit ni trajectoire, ni mouvement, ni propagation. Elle n'exprime aucune évolution temporelle, parce que le temps n'est pas un paramètre dynamique : il est la cohérence même du champ  $\sigma(x)$  et la condition d'existence du présent phénoménal  $t_2$ .

Cette absence totale de dynamique constitue un pivot conceptuel. Elle découle directement de plusieurs lois fondamentales, en particulier du PNMD, de la LITV, de la LTT et de la LTSM.

La variation  $\delta S = 0$  doit être comprise comme l'énoncé selon lequel la cohérence du temps doit satisfaire une architecture interne stable et non évolutive.

Ce chapitre 29 développera cette lecture non dynamique, en établissant de manière systématique pourquoi l'équation d'Euler-Lagrange du VLCC ne peut, en aucun cas, être interprétée comme une équation de mouvement ou d'évolution, et comment elle impose une structure interne à la cohérence temporelle.

## 29.2 — Les raisons fondamentales de l'absence de dynamique

Le modèle VLCC impose l'absence de dynamique temporelle pour plusieurs raisons structurelles :

(1) Le temps n'est pas une dimension d'évolution : contrairement aux théories physiques, le VLCC nie l'existence d'un temps-milieu dans lequel les grandeurs évoluent. Le temps est une cohérence morphogénique interne.

(2)  $\Delta t$  n'est pas un paramètre temporel mais une tension structurelle. La LITV interdit toute variation de  $\Delta t$ , ce qui empêche d'associer au temps une variable dynamique analogue à  $t$  dans les équations différentielles classiques.

(3) Le champ  $\sigma(x)$  n'est pas dynamique. Ses gradients n'expriment pas des vitesses, mais des conditions de cohérence locales. LCM + LRQT + LCS interdisent la présence de termes dynamiques usuels.

(4) La liste des lois fondamentales est incompatible avec toute évolution temporelle.

La LTSM impose une triade  $t_1-t_2-t_1'$  qui n'est pas séquentielle mais structurelle.

L'équation d'Euler-Lagrange du VLCC ne peut donc pas être interprétée comme une équation de type :

$$\frac{d}{dt} \left( \frac{\partial L}{\partial \dot{x}} \right) - \frac{\partial L}{\partial x} = 0.$$

Un tel formalisme serait incompatible avec la nature même du temps dans le modèle.

### **29.3 — La variation comme condition de cohérence : $\sigma(x)$ comme structure et non comme dynamique**

Dans les théories dynamiques, la variation  $\delta S = 0$  sélectionne des trajectoires physiques ou des champs évoluant dans le temps.

Dans le VLCC,  $\delta S = 0$  sélectionne des configurations de cohérence interne du champ  $\sigma(x)$ .

Le champ  $\sigma(x)$  n'exprime aucune propriété physique dépendant du temps : il représente le degré de cohésion du temps lui-même. L'équation variationnelle impose donc une condition structurelle analogue à une équation d'équilibre statique, mais dans un espace qui n'est ni temporel, ni géométrique au sens physique.

On peut résumer cette idée ainsi :

$\delta S = 0 \Leftrightarrow$  la cohérence interne du temps est stabilisée.

Il ne s'agit donc pas d'une équation de mouvement, mais d'un critère de conformité entre  $\sigma(x)$  et les lois fondamentales.

La variation agit comme un filtre : elle élimine toutes les configurations  $\sigma(x)$  incapables de soutenir la phénoménalité.

### **29.4 — La triade temporelle $t_1-t_2-t_1'$ comme structure non dynamique**

L'interprétation non dynamique est renforcée par la triade temporelle  $t_1-t_2-t_1'$ .

Cette triade n'exprime pas une succession temporelle mais une architecture interne du temps.

Les transitions  $t_1 \rightarrow t_2 \rightarrow t_1'$  ne sont pas des évolutions : ce sont des relations structurelles.  $V(\sigma)$ , qui encode les régimes de cohérence, est organisé en trois zones correspondant à cette triade, et la dérivée  $\partial V / \partial \sigma$  ne s'annule qu'en  $t_2$  pour exprimer la stabilité du présent phénoménal.

L'équation d'Euler-Lagrange exprime alors :

- dans  $t_1$  : une zone d'instabilité morphogénique contrôlée ;
- dans  $t_2$  : une zone de stabilité ( $\partial V / \partial \sigma \approx 0$ ) ;
- dans  $t_1'$  : une zone de dissipation structurelle.

Cette organisation ne décrit aucun changement dans le temps : elle décrit la manière dont le temps lui-même est structuré.

## 29.5 — Contribution des termes $K_{tot}(\Delta t)$ , $P(\sigma, \partial\sigma)$ et $F(\sigma)R$ dans la lecture non dynamique

Chaque terme du Lagrangien canonique V8 génère une contribution qui, dans un cadre physique classique, serait interprétée comme un élément dynamique.

Dans le VLCC, ces contributions ont une signification radicalement différente.

- $K_{tot}(\Delta t) \nabla\mu \nabla^\mu \sigma$  :  
impose la régularité morphogénique ; n'exprime aucune propagation ni inertie.
- $\nabla\mu (\partial P / \partial(\partial\mu\sigma))$  :  
limite les gradients internes de cohérence ; agit comme une plasticité structurelle.
- $(dF/d\sigma)R$  :  
impose la cohérence globale ; n'induit aucune géométrie dynamique.
- $(\partial V / \partial\sigma)$  :  
encode les régimes  $t_1, t_2, t_1'$ , n'exprime aucune force.

## 29.6 — Les solutions de l'équation d'Euler-Lagrange : non-évolutives, non-temporelles

Une particularité majeure du modèle VLCC réside dans le statut des solutions  $\sigma(x)$  de l'équation variationnelle.

Contrairement aux solutions des équations de la physique classique ou relativiste, qui décrivent des évolutions, des trajectoires, des propagations ou des champs dynamiques, les solutions de l'équation canonique du VLCC ne décrivent rien de tel.

Elles ne possèdent pas de variable temporelle, pas d'état initial, pas de frontière temporelle, et ne peuvent être interprétées comme indiquant le comportement d'un système dans le temps.

La raison en est simple et fondamentale : dans le VLCC, le temps n'existe pas comme axe d'évolution.

La fonction  $\sigma(x)$  n'est pas un champ temporel : elle est le temps. Elle représente la cohérence interne qui permet l'existence du présent  $t_2$ .

Ainsi, les solutions de l'équation variationnelle ne décrivent pas la manière dont  $\sigma(x)$  évolue ; elles décrivent les formes admissibles de cohérence que le temps peut prendre pour être un phénoménalement effectif.

Cela implique une conséquence profonde : il n'existe pas de « dynamique de  $\sigma$  », pas plus qu'il n'existe de loi d'évolution du temps dans le temps.

Les solutions admissibles de  $\sigma(x)$  sont les solutions structurelles compatibles avec les lois fondamentales, non des trajectoires.

Elles définissent des “configurations possibles de la cohérence temporelle”, analogues à des états statiques dans une problématique non-physisque.

La notion même d'état est ici une analogie limitée, car elle pourrait suggérer une pluralité temporelle, ce qui serait erroné :  $\sigma(x)$  n'existe pas dans un espace-temps ; il constitue l'articulation ontologique du temps lui-même.

## 29.7 — Interdictions structurelles : ce que l'équation du VLCC ne peut pas devenir

Pour éclaircir davantage la non-dynamicité du modèle, il est utile d'exposer explicitement ce que l'équation d'Euler-Lagrange du VLCC ne peut jamais devenir :

- Elle ne peut pas devenir une équation d'onde, car  $\nabla^\mu \nabla_\mu \sigma$  ne représente pas une propagation, et le terme cinétique n'exprime aucune inertie.
- Elle ne peut pas devenir une équation d'évolution, car il n'existe aucune variable temporelle indépendante, ni dérivée  $\partial/\partial t$ .
- Elle ne peut pas devenir une équation d'état, car  $\sigma(x)$  n'est pas un champ évolutif, mais une cohérence structurelle.
- Elle ne peut pas devenir une équation métrique, car  $R$  n'est pas la courbure d'un espace-temps, mais un opérateur de cohérence imposé par la LCS.

- Elle ne peut pas devenir une équation thermodynamique, car ni énergie ni entropie ne sont définies dans ce cadre.
- Elle ne peut pas devenir une équation quantique, car LRQT impose une granularité morphogénique, non une dynamique quantique.

## 29.8 — La cohérence interne comme critère de sélection des solutions

Dans le modèle VLCC, l'équation d'Euler-Lagrange ne joue pas le rôle d'un opérateur dynamique ou évolutif : elle est un opérateur de cohérence.

Les solutions  $\sigma(x)$  qu'elle admet ne sont pas des trajectoires, ni des champs évoluant dans un cadre temporel ou géométrique ; ce sont des configurations structurelles sélectionnées par un ensemble d'exigences légales issues des sept lois fondamentales.

Ainsi, la cohérence interne constitue le véritable filtre ontologique : une solution n'est admissible que si elle satisfait simultanément toutes les lois, sans exception, et non si elle résout simplement l'équation variationnelle.

Cette idée est absolument centrale : l'équation canonique n'est qu'un premier niveau de filtrage. Les lois fondamentales imposent un second niveau beaucoup plus restrictif, qui détermine la portion réellement réalisable de l'espace des solutions.

Concrètement :

Violation de la LCFT : toute solution pour laquelle  $\sigma(x)$  descend en dessous de  $\sigma_{\min}$  est exclue, car elle détruit le présent phénoménal  $t_2$  ;

Violation de la LCM : la moindre discontinuité dans  $\sigma(x)$  ou dans ses gradients rend la solution morphogéniquement impossible ;

Violation de la LCS : toute incohérence entre  $\sigma(x)$  et la contribution  $F(\sigma)R$  entraîne une fragmentation structurelle prohibée ;

Violation de la LRQT : les formes parfaitement lisses ou infinitésimalement divisibles du champ sont interdites par la granularité intrinsèque ;

Violation de la LITV ou de la LTT : toute symétrie temporelle ou toute inversion de la tension  $\Delta t$  est immédiatement exclue ;

Violation de la LTSM : toute configuration qui ne respecte pas la triade  $t_1-t_2-t_1'$  est éliminée, même si elle résout mathématiquement l'équation.

Il en résulte un phénomène fondamental :

La quasi-totalité des solutions mathématiquement possibles sont interdites.

Le VLCC n'est donc pas un modèle permissif mais un modèle sélectif, dans lequel les lois structurent et restreignent l'espace solutionnel de manière radicale.

Ce filtrage n'est pas dynamique : il constitue un principe d'admissibilité.

Les solutions retenues ne sont pas des états parmi d'autres mais des formes ontologiquement légitimes du temps. Elles ne représentent pas ce que  $\sigma(x)$  fait, mais ce que  $\sigma(x)$  peut être pour que le temps phénoménal existe.

## **29.9 — Conséquences ontologiques : le temps comme architecture et non comme paramètre**

L'interprétation non dynamique ne se contente pas de repositionner l'équation variationnelle : elle transforme l'ontologie même du temps.

Dans le cadre du VLCC, le temps n'est en aucun cas un axe, une dimension, un milieu ou une variable.

Il n'est pas un paramètre dans lequel s'inscriraient les phénomènes. Le temps est une architecture.

Plus précisément : le temps est la cohérence interne du champ  $\sigma(x)$ .

Cette identification ontologique renverse les catégories classiques :

- Il n'existe pas d'instants distincts, car distinguer des instants impliquerait une métrique temporelle ;
- Il n'existe pas de passé ou de futur, car ces notions nécessitent une asymétrie d'évolution ;
- Il n'existe pas de flux temporel, car un flux suppose un déplacement dans un milieu temporel préexistant ;
- Il n'existe pas de durée au sens classique, car la durée est un intervalle entre deux états successifs, notion incompatible avec l'absence d'évolution.

Dans le VLCC, ce que nous appelons « passé », « présent » ou « futur » sont des effets phénoménaux émergents, produits par la stabilisation du régime  $t_2$  et par la manière dont les phénomènes physiques se projettent dans ce régime.

L'équation d'Euler-Lagrange ne détermine donc pas un comportement temporel : elle détermine les conditions d'existence du temps lui-même.

Ce passage de l'idée classique du temps (paramètre) à celle de l'architecture (cohérence interne) représente l'une des inflexions ontologiques les plus radicales du modèle VLCC.

- Le temps ne s'écoule pas : il se structure.
- Il ne se déploie pas : il se stabilise.
- Il ne gouverne pas les phénomènes : il rend leur phénoménalité possible.

## 29.10 — Transition vers la cosmologie morphogénique

L'absence de dynamique temporelle pourrait sembler, à première vue, incompatible avec l'existence de phénomènes cosmologiques. Pourtant, c'est précisément cette absence qui fonde la cosmologie morphogénique du chapitre suivant.

En effet :

Si le temps était dynamique, le cosmos évoluerait dans le temps. Mais si le temps est une cohérence interne, alors le cosmos est une manifestation de cette cohérence.

Ainsi, l'expansion phénoménale du cosmos — phénomène central de la cosmologie standard — n'est pas, dans le VLCC, une évolution réelle de l'univers dans un temps dynamique.

Elle est la conséquence de la stabilisation du régime  $t_2$  dans un espace phénoménal régulé par  $\sigma(x)$ .

Autrement dit : Le cosmos ne s'étend pas : il apparaît comme étendu parce que la cohérence interne du temps produit une phénoménalité spatiale ordonnée.

La transition vers le chapitre suivant s'appuie sur cette idée : le cosmos n'est pas un système qui évolue dans le temps, mais une figuration morphogénique du temps lui-même.

La cosmologie morphogénique décrite au Chapitre 30 montrera comment les structures phénoménales — horizon, expansion, isotropie, homogénéité — ne résultent pas d'une dynamique géométrique mais d'une cohérence temporelle stabilisée.

# **Chapitre 30 — Équations morphogéniques unifiées et structure cohérente interne du modèle VLCC (cadre V8)**

## **30.1 — Introduction : nécessité d'un chapitre unificateur (cadre V8)**

Comme plusieurs sections structurantes de la Partie II, le Chapitre 30 constitue un pivot décisif dans l'architecture conceptuelle du modèle VLCC.

Toutefois, il est essentiel de préciser d'emblée que les équations rassemblées et organisées ici correspondent au cadre formel stabilisé de la version anté-canonique V8 du Lagrangien, ainsi qu'au master mathématique associé à cette étape du développement du modèle.

Les chapitres précédents ont progressivement introduit les éléments, lois, opérateurs, structures temporelles et outils variationnels nécessaires à la compréhension de la morphogenèse du temps dans le cadre du VLCC.

Le présent chapitre opère une totalisation interne de ces éléments, en les réunissant sous une forme unifiée et cohérente, telle qu'elle était établie à l'issue du processus de stabilisation conduisant à V8.

Il ne s'agit donc pas ici de la forme ultime ou définitive du modèle telle qu'elle sera intronisée ultérieurement, mais de la forme structurée la plus complète et cohérente atteinte à ce stade.

En ce sens, le caractère « canonique » attribué aux équations de ce chapitre doit être compris au sens interne de la version V8, et non au sens de la formulation canonique finale développée dans la Partie IV.

L'objectif du chapitre n'est pas de proposer une nouvelle théorie dynamique du temps, ni d'anticiper les raffinements ultérieurs du formalisme, mais d'exposer de manière exhaustive les conditions structurelles de cohérence que les configurations du modèle doivent satisfaire pour qu'un présent phénoménal stable puisse exister dans le cadre V8.

Dans le VLCC, la morphogenèse temporelle ne résulte jamais d'une évolution physique au sens classique, mais d'un ensemble de contraintes structurelles filtrant les configurations admissibles du champ de cohérence  $\sigma(x)$ , du glissement  $\Delta t$  et de la structure géométrique minimale.

Les équations présentées dans ce chapitre ne décrivent donc pas un devenir, mais un système de compatibilités internes, définissant la cohérence intrinsèque du champ temporel, le fonctionnement des attracteurs morphogéniques ( $t_1, t_2, t_1'$ ), les exigences minimales de continuité et de stabilité, ainsi que l'articulation entre  $\sigma(x)$ , la structure FLRW morphogénique formelle et les effets phénoménaux associés.

## 30.2 — Équations variationnelles du champ $\sigma(x)$

Le champ  $\sigma(x)$  occupe une place centrale dans le modèle VLCC : il encode la cohérence morphogénique locale, détermine l'existence du présent  $t_2$ , conditionne la nature des transitions entre régimes temporels, influence les termes géométriques formels et contraint les solutions phénoménales du modèle.

La variation du Lagrangien V.8 fournit l'équation fondamentale qui gouverne la structure admissible de  $\sigma(x)$ .

Rôle des termes du Lagrangien dans la cohérence morphogénique :

1. Le terme cinétique ( $\partial\mu\sigma \partial^\mu\sigma$ ) encode les variations internes de  $\sigma(x)$  et la cohérence des gradients morphogéniques.
2. Le terme géométrique  $M_{eff}^2(\sigma) R$  garantit la compatibilité structurelle entre  $\sigma(x)$  et la forme géométrique minimale du modèle, sans introduire de métrique physique réelle.
3. Le potentiel  $V(\sigma)$  détermine les attracteurs morphogéniques et la typologie des solutions admissibles.

La variation  $\delta\sigma$  du Lagrangien fournit l'équation de cohérence :

$$\nabla_\mu (K_{tot} \partial^\mu\sigma) - (\partial V/\partial\sigma) + (\partial M_{eff}^2/\partial\sigma) R = 0.$$

Cette équation exprime les conditions morphogéniques internes du modèle. Aucun terme n'a de signification dynamique ou énergétique au sens classique : il s'agit de conditions de cohérence interne du champ temporel.

Manifestation des lois fondamentales :

- LCFT impose  $\sigma \geq \sigma_{min}$  et structure le potentiel  $V(\sigma)$ .
- LCS impose la continuité structurelle et se manifeste dans les termes géométriques.
- LCM impose la régularité des variations morphogéniques.
- LRQT impose une granularité quantique minimale du champ de cohérence.
- LITV impose une vitesse limite interne liée aux gradients.
- LTT impose une tension morphogénique qui influence  $K_{tot}(\Delta t)$ .

Typologie des solutions admissibles :

L'équation variationnelle distingue les solutions stables correspondant à  $t_2$ , les régimes pré-phénoménaux  $t_1$ , les régimes dissipatifs  $t_1'$ , ainsi que les configurations non admissibles qui violent LCFT ou LCM.

### 30.3 — Équations d'Einstein modifiées (structure morphogénique)

Contrairement à ce que suggère la structure formelle, il ne s'agit pas d'équations de la relativité générale.

Le terme  $M_{\text{eff}}^2(\sigma) R$  n'introduit aucune dynamique géométrique réelle. Il impose une cohérence de structure entre  $\sigma(x)$  et un référentiel géométrique minimal requis pour la variation.

La variation du Lagrangien par rapport à la structure géométrique donne :

$$M_{\text{eff}}^2(\sigma) G_{\{\mu\nu\}} = T^{\{\{\sigma\}\}_{\{\mu\nu\}}} + X_{\{\mu\nu\}}$$

où  $T^{\{\{\sigma\}\}_{\{\mu\nu\}}}$  encode les gradients internes du champ  $\sigma$  et  $X_{\{\mu\nu\}}$  la dépendance fonctionnelle de  $M_{\text{eff}}^2(\sigma)$ .

Interprétation structurelle :

- Le tenseur  $G_{\{\mu\nu\}}$  ne décrit aucune courbure physique.
- Il formalise la cohérence globale nécessaire à la régularité variationnelle.
- Il garantit l'intégrité morphogénique imposée par la LCS.

Cette équation sert à maintenir la cohérence interne du modèle, empêcher la fragmentation morphogénique et harmoniser les gradients du champ  $\sigma$  avec la structure FLRW morphogénique.

### 30.4 — Forme FLRW morphogénique

Dans un cadre FLRW formel, et non métrique, la structure utilisée n'a pas pour vocation de représenter une géométrie physique mesurable mais d'imposer un cadre de cohérence minimale permettant d'exprimer la configuration morphogénique globale du modèle.

La forme canonique :

$$ds^2 = -dt^2 + a(t)^2 d\Sigma^2,$$

n'est ici qu'un artefact variationnel destiné à rendre explicite la compatibilité des conditions morphogéniques avec une structure de type FLRW.

Le paramètre  $t$  n'a aucune signification temporelle phénoménale : il s'agit d'une variable interne,

non mesurable, permettant uniquement d'organiser les dépendances structurelles du modèle.

Dans cette représentation, l'équation du champ  $\sigma(x)$  se réduit à une forme scalaire globale :

$$3(\dot{a}/a)K_{\text{tot}}\dot{\sigma} + K_{\text{tot}}\ddot{\sigma} + \partial V/\partial\sigma - (\partial M_{\text{eff}}^2/\partial\sigma)R = 0.$$

Cette équation ne décrit pas une évolution temporelle mais une compatibilité interne entre les gradients de cohérence, le potentiel morphogénique et les termes géométriques formels.

L'expansion apparente ne représente jamais une croissance réelle de l'espace : elle correspond à une réorganisation morphogénique interne dépendant de  $\sigma(x)$ , de ses attracteurs, et de la structure FLRW morphogénique elle-même.

### 30.5 — Énergie effective et densité morphogénique

Dans le cadre morphogénique du VLCC, la notion d'énergie effective ne renvoie pas à une énergie physique ou mesurable, mais à une quantité interne exprimant la cohérence locale du champ  $\sigma(x)$ .

La densité morphogénique effective dérive du tenseur structurel  $T^{(\sigma)}_{\mu\nu}$  et se définit formellement comme :

$$\rho_{\text{eff}} = K_{\text{tot}}\dot{\sigma}^2 + V(\sigma).$$

La présence du terme cinétique formel  $K_{\text{tot}}\dot{\sigma}^2$  traduit la dépendance de la cohérence locale à la régularité morphogénique du champ  $\sigma(x)$ . Le potentiel  $V(\sigma)$  encode la structure interne du modèle et permet d'identifier les attracteurs  $t_1$ ,  $t_2$  et  $t_1'$ .

La densité effective ne constitue donc pas une mesure physique d'énergie mais une quantité interne permettant de caractériser la stabilité morphogénique et les transitions structurelles autorisées par les lois fondamentales.

L'interprétation interne de  $\rho_{\text{eff}}$  est essentielle : elle reflète la répartition de la cohérence, c'est-à-dire la manière dont  $\sigma(x)$  organise son état local dans le cadre morphogénique global, conformément aux exigences de LCFT, LCM et LTT.

## 30.6 — Pression effective et contraintes structurelles

La pression morphogénique effective est une quantité interne définie par :

$$p_{\text{eff}} = K_{\text{tot}} \dot{\sigma}^2 - V(\sigma).$$

Elle se comprend comme une mesure structurelle reflétant la tension interne du modèle.  
Les relations :

$$\begin{aligned} \rho_{\text{eff}} + p_{\text{eff}} &= 2 K_{\text{tot}} \dot{\sigma}^2, \\ \rho_{\text{eff}} - p_{\text{eff}} &= 2 V(\sigma), \end{aligned}$$

permettent de classifier les régimes morphogéniques admissibles. Ces équations ne décrivent ni une dynamique thermodynamique ni une pression au sens physique : elles expriment la structure interne du potentiel  $V(\sigma)$  et la manière dont celui-ci organise la cohérence morphogénique.

Elles permettent également de distinguer les régimes  $t_1$  (pré-cohérence),  $t_2$  (présent phénoménal stable) et  $t_1'$  (dissipation morphogénique), en fonction des valeurs relatives de  $K_{\text{tot}} \dot{\sigma}^2$  et  $V(\sigma)$ .

## 30.7 — Régimes morphogéniques et attracteurs

Les trois régimes morphogéniques  $t_1$ ,  $t_2$  et  $t_1'$  présentent des signatures structurelles distinctes permettant d'identifier leur nature respective dans le cadre du VLCC.

Ces régimes ne décrivent en aucun cas une évolution temporelle ou un processus dynamique : il s'agit de zones de cohérence interne du champ  $\sigma(x)$ , définies par les interactions entre le potentiel  $V(\sigma)$ , les contraintes structurelles et les lois fondamentales.

- Régime  $t_1$  : pré-cohérence caractérisée par  $\rho_{\text{eff}} > p_{\text{eff}}$ , un gradient interne élevé et une cohérence insuffisante pour permettre l'émergence du présent phénoménal. Ce régime reflète un état où  $\sigma(x)$  tend vers la stabilité sans l'atteindre.
- Régime  $t_2$  : cohérence maximale correspondant à l'attracteur morphogénique central du modèle. Il est défini par  $\partial V / \partial \sigma \approx 0$  et garantit l'existence du présent phénoménal stable. Il s'agit du régime qui permet l'organisation phénoménale complète.
- Régime  $t_1'$  : régime de dispersion associé à une décroissance contrôlée de  $\sigma(x)$ . Il représente la phase post-phénoménale où la cohérence décroît et se dissipe vers une régularisation structurelle globale.

Le régime  $t_2$  constitue l'attracteur morphogénique principal, assurant la stabilité phénoménale tout en maintenant les transitions structurelles imposées par le potentiel et les lois fondamentales.

### 30.8 — Dérivations variationnelles complètes

La dérivation complète des équations structurelles du modèle VLCC provient de l'action canonique :

$$S = \int d^4x \sqrt{-g} [ K_{\text{tot}} (\partial\mu\sigma \partial^\mu\mu\sigma) + M_{\text{eff}}^2 R - V(\sigma) ].$$

En variant l'action successivement par rapport au champ  $\sigma$ , aux dérivées  $\partial\mu\sigma$ , puis à la structure géométrique formelle, on obtient les équations structurelles du modèle :

$$\begin{aligned} \nabla\mu (K_{\text{tot}} \partial^\mu\mu\sigma) - (\partial V / \partial\sigma) + (\partial M_{\text{eff}}^2 / \partial\sigma) R &= 0, \\ M_{\text{eff}}^2 G_{\{\mu\nu\}} &= T^{\{\sigma\}}_{\{\mu\nu\}} + X_{\{\mu\nu\}}. \end{aligned}$$

Ces équations représentent la forme canonique du modèle VLCC. Elles ne décrivent pas une dynamique temporelle ou géométrique mais des conditions internes de cohérence morphogénique.

Elles seront exploitées dans le Chapitre 31 pour établir l'analyse cosmologique morphogénique complète, en particulier la structure FLRW phénoménale et les conditions d'expansion apparente.

### 30.9 — Synthèse générale et articulation morphogénique finale

Le Chapitre 30 rassemble et organise l'ensemble du formalisme variationnel, géométrique et morphogénique élaboré dans la Partie II.

Il expose les équations finales du modèle VLCC, qui doivent être comprises en relation directe avec l'Équation-Cadre Ouverte :

$$E_{\text{VLCC}} = \sum_{i=1}^N \Phi_i = 0.$$

Chaque fonctionnelle  $\Phi_i$  représente la traduction mathématique d'une loi fondamentale. Cette équation n'a pas de signification dynamique : elle constitue un critère structurel permettant de déterminer si une configuration  $(g_{\{\mu\nu\}}, \sigma, \Delta t, \Psi)$  appartient au modèle VLCC.

L'équation-cadre est volontairement ouverte : le nombre N de lois fondamentales peut évoluer.

Le modèle peut intégrer de nouvelles lois, affiner certaines relations ou étendre ses conditions de cohérence sans modifier son architecture profonde.

Ainsi, les équations finales de ce chapitre ne constituent pas un système fermé mais un système morphogénique intrinsèquement extensible.

Dans cette architecture unificatrice, les équations structurent :

- la cohérence locale (équation du champ  $\sigma(x)$ ),
- la cohérence géométrique minimale (équations structurelles dérivées du terme  $M_{eff}^2 R$ ),
- la cohérence globale (forme FLRW morphogénique),
- la cohérence effective (densité et pression morphogéniques),
- les attracteurs morphogéniques ( $t_1, t_2, t_1'$ ).

En réunissant les conditions nécessaires à l'émergence du présent phénoménal  $t_2$ , ces équations forment la base structurelle complète du modèle VLCC. Elles assurent la stabilité, la cohérence et la compatibilité morphogénique des configurations admissibles.

Cette synthèse ouvre directement vers le Chapitre 31, où elles seront intégrées dans l'Équation-Cadre Ouverte pour développer la cosmologie morphogénique complète du modèle.

## **Chapitre 31 — Cosmologie morphogénique : cadre FLRW et cohérence temporelle**

### **31.1 — Introduction générale : une cosmologie issue de la cohérence, non de la dynamique**

La cosmologie morphogénique du VLCC se distingue radicalement des modèles cosmologiques fondés sur une dynamique inscrite dans un espace-temps physique.

Là où les approches traditionnelles s'appuient sur une métrique évolutive, une chronologie cosmique et des mécanismes causaux associés à des champs physiques, le VLCC soutient

que le cosmos phénoménal n'est pas le résultat d'une histoire temporelle, mais la projection spatiale d'une cohérence interne du temps.

Le régime  $t_2$ , stabilisé par  $\sigma(x)$ , constitue l'invariant ontologique qui rend possible toute phénoménalité cosmique.

Cette perspective implique que les notions classiques d'« origine cosmique », de « début » ou d'« évolution temporelle » n'ont pas de sens au sein du modèle. Les structures observées doivent être comprises non comme des objets évoluant dans un temps extérieur, mais comme des formes émergentes d'un champ temporel cohérent.

Ainsi, la question centrale n'est pas de décrire une dynamique cosmique, mais de caractériser les conditions de cohérence permettant l'apparition d'une structure FLRW phénoménale stable.

Le présent chapitre établit ce cadre conceptuel, en montrant comment  $\sigma(x)$  engendre la projection spatiale, comment la stabilisation de  $t_2$  impose l'expansion apparente, et pourquoi toute lecture événementielle du Big Bang est incompatible avec l'architecture morphogénique du modèle.

### **31.2 — La phénoménalité spatiale comme projection de $\sigma(x)$**

Dans le VLCC, l'espace n'est pas une entité autonome mais la projection phénoménale de la cohérence temporelle. La stabilisation du champ  $\sigma(x)$  dans le régime  $t_2$  génère une configuration spatiale perçue comme continue, isotrope et homogène, ce qui correspond à la forme FLRW phénoménale.

La métrique perçue ne possède aucune réalité physique indépendante : elle est la traduction géométrique de la cohésion interne du temps.

Ainsi, l'étendue cosmique observable dépend directement de la structure de  $\sigma(x)$  et de ses attracteurs.

Chaque région spatiale observée correspond à une région où  $\sigma(x)$  satisfait localement les conditions morphogéniques, assurant une cohérence suffisante pour rendre possible la phénoménalité.

Le terme  $F(\sigma)R$  du Lagrangien V8 joue ici un rôle crucial : il impose une cohérence géométrique globale en relation directe avec la valeur locale de  $\sigma(x)$ .

Il en résulte que la structure FLRW n'est pas un cadre métrique physique, mais un cadre phénoménal, c'est-à-dire la forme que prend la cohérence temporelle lorsqu'elle se projette à travers le filtre phénoménal du régime  $t_2$ .

### 31.3 — L'expansion phénoménale : un effet de stabilisation du régime $t_2$

L'expansion apparente du cosmos, phénomène central de la cosmologie standard, reçoit dans le VLCC une interprétation radicalement différente.

Plutôt que de résulter d'une dynamique métrique ou d'une force répulsive telle que l'énergie noire, l'expansion est comprise comme la manifestation spatiale de la stabilisation morphogénique du régime  $t_2$ .

Lorsque le champ  $\sigma(x)$  atteint la condition  $\partial V/\partial\sigma \approx 0$ , la cohérence optimale du temps impose une extension phénoménale qui s'exprime sous la forme d'une expansion apparente.

Dans cette lecture, le facteur d'échelle  $a(t)$  ne décrit pas l'évolution réelle d'une métrique mais la manière dont la cohérence temporelle se manifeste sous forme spatiale. Toute variation apparente de  $a(t)$  correspond à une réorganisation interne de  $\sigma(x)$  et non à un changement physique de l'espace.

Le rôle combiné du potentiel  $V(\sigma)$  et du terme géométrique  $F(\sigma)R$  garantit une cohérence structurelle qui se projette sous forme d'une expansion homogène et isotrope, interprétée à tort, dans le cadre dynamique classique, comme le résultat d'une histoire causale cosmique

### 31.4 — Le “point initial” comme singularité du temps, et non de la matière

Dans le cadre du VLCC, ce que la cosmologie classique appelle “singularité du Big Bang” ne correspond pas à un effondrement de la matière ni de la métrique, mais à un état-limite de la cohérence temporelle elle-même.

La singularité cosmologique n'est donc pas une singularité physique, mais une singularité morphogénique : un point où la cohérence  $\sigma(x)$  du temps approche son minimum structurel, et où la tension  $\Delta t$  tend vers zéro

Avant la phase cosmologique observable, le temps n'était pas “absent”, mais non encore cohérent. Il se trouvait dans un état quantique, pré-phénoménal, où aucune direction, aucune métrique, aucune causalité, aucune lumière, et aucun observateur ne pouvaient exister.

On peut le décrire comme un pré-temps, un état non phénoménal du système temporel, analogue à une fonction d'onde non encore normalisée : présent comme structure, mais dépourvu de manifestation.

Ainsi, la question “Que se passait-il avant le Big Bang ?” trouve dans le VLCC une réponse claire :

avant la structuration temporelle, il y avait un état quantique du temps, totalement incohérent au sens du modèle, c'est-à-dire incapable de produire un monde observable.

La transition initiale — le “Big Bang” — n'est donc pas un événement physique, mais un passage de  $\sigma \approx 0$  à  $\sigma \geq \sigma_s$ , où la cohérence temporelle franchit son seuil critique. C'est ce franchissement qui fait émerger simultanément :

- la direction du temps,
- la possibilité d'une métrique,
- la lumière,
- la causalité,
- et toute phénoménalité.

Le VLCC se distingue ainsi radicalement des modèles cosmologiques traditionnels : l'univers ne commence pas par un événement énergétique, mais par une transition morphogénique du temps.

La cosmologie n'a pas son origine dans un état extrême de matière, mais dans la mise en cohérence du temps lui-même. Avant cela, il n'y avait pas un “passé inaccessible”, mais une absence de temporalité phénoménale.

Cette lecture permet d'unifier la cosmologie précoce avec l'ensemble des résultats du modèle : l'état initial n'est pas un effondrement, mais une transition de cohérence, ce qui replace la naissance de l'univers observable non pas dans la physique, mais dans la structure interne du temps.

### **31.5 — La métrique phénoménale : une géométrie émergente issue de $\sigma(x)$**

Dans la cosmologie morphogénique du VLCC, la métrique que perçoivent les observateurs n'est pas la métrique fondamentale du réel.

Le modèle nie l'existence même d'une métrique fondamentale : la seule structure fondamentale est la cohérence du temps, représentée par le champ  $\sigma(x)$ . La métrique phénoménale – celle qui organise l'expérience spatiale, les distances, les durées et les volumes – est une projection émergente dérivée de la stabilisation du régime  $t_2$ .

Cette émergence est rendue possible par la cohérence que  $\sigma(x)$  impose localement et globalement. Une fois stabilisé dans  $t_2$ , le champ  $\sigma(x)$  confère à la phénoménalité une structure suffisamment régulière pour être interprétée comme un espace doté de propriétés géométriques.

Toutefois, ces propriétés n'appartiennent pas au réel fondamental : elles constituent des apparences structurées par le filtre phénoménal propre au régime  $t_2$ .

Le terme géométrique  $F(\sigma)R$  dans le Lagrangien V8 joue un rôle déterminant dans ce processus. Bien qu'il ne corresponde à aucune géométrie dynamique réelle, il impose une cohérence spatiale globale de la phénoménalité.

En ce sens, la géométrie cosmique – y compris celle que l'on exprime sous la forme FLRW – est un reflet phénoménal de la cohésion temporelle et non une propriété intrinsèque de l'univers.

Les variations de  $\sigma(x)$  déterminent indirectement la forme spatiale perçue, offrant l'illusion d'une géométrie autonome alors qu'elle n'est que la manifestation structurée d'un champ temporel cohérent.

Ainsi, la métrique phénoménale n'est pas une entité physique mais une conséquence de la stabilisation morphogénique.

L'espace, tel qu'il est vécu et mesuré, n'est pas un cadre existant indépendamment du temps : il est une projection géométrique de la cohésion temporelle, profondément dépendante de l'état du champ  $\sigma(x)$  et du maintien du régime  $t_2$ .

### **31.6 — Homogénéité et isotropie phénoménales : conséquences de la stabilisation du présent $t_2$**

L'une des grandes énigmes de la cosmologie standard réside dans l'extrême homogénéité et isotropie du cosmos à grande échelle, un fait qui exige l'introduction de mécanismes dynamiques supplémentaires tels que l'inflation cosmique pour expliquer comment des régions initialement disjointes auraient pu être suffisamment corrélées.

Dans le cadre du VLCC, une telle procédure n'est pas nécessaire.

L'homogénéité et l'isotropie émergent directement de la stabilisation du régime  $t_2$ . Lorsque le champ  $\sigma(x)$  atteint la zone de cohérence maximale caractéristique de  $t_2$ , la dérivée  $\partial V/\partial \sigma$  devient quasi nulle, restreignant fortement les variations de  $\sigma(x)$ .

Cette stabilisation impose une uniformité morphogénique interne qui se projette sous forme d'homogénéité spatiale phénoménale.

Ainsi, l'espace perçu comme uniforme n'est pas uniformisé par un processus dynamique mais parce que la cohérence interne du temps interdit toute hétérogénéité significative dans ce régime.

De même, l'isotropie observée du cosmos ne reflète pas une distribution physique isotrope mais une invariance structurelle du régime  $t_2$ .

Dans ce régime, les variations directionnelles de  $\sigma(x)$  étant fortement limitées, la phénoménalité spatiale résulte en une géométrie isotrope. L'uniformité cosmique n'est donc pas un résultat de l'histoire du cosmos mais une manifestation directe de la cohérence temporelle stabilisée.

### 31.7 — Les grandes structures cosmologiques : nœuds phénoménaux de cohérence

Bien que le cosmos apparaisse homogène à grande échelle, il présente des structures telles que les filaments, amas, superamas et vides cosmiques.

Dans la cosmologie morphogénique du VLCC, ces grandes structures ne sont pas les résidus d'amplifications de fluctuations quantiques initiales ni les résultats d'une dynamique gravitationnelle au sens classique.

Elles émergent de variations contrôlées du champ  $\sigma(x)$  dans des zones où la cohérence s'écarte légèrement du plateau  $t_2$ . Dans les régions tendant vers un léger déficit de cohérence — une orientation vers le régime  $t_1$  — la projection phénoménale induit des zones qui apparaissent comme des vides, car la cohérence limitée y réduit la densité phénoménale spatiale.

À l'inverse, les zones où  $\sigma(x)$  tend vers une cohérence légèrement supérieure produisent des régions perçues comme des concentrations ou agrégations.

Ces modulations, bien que faibles, suffisent à structurer l'architecture phénoménale des grandes structures cosmologiques. Elles ne reflètent pas des forces attractives ou répulsives

de type gravitationnel mais des variations de cohérence qui façonnent la phénoménalité spatiale.

Les filaments, amas et superamas s'interprètent ainsi comme des noeuds de cohérence, des régions où  $\sigma(x)$  présente de légères fluctuations structurantes dans le cadre morphogénique.

### **31.8 — Absence de dynamique gravitationnelle réelle : la gravité comme reflet phénoménal**

Dans le cadre du modèle VLCC, la gravité ne constitue pas une interaction fondamentale mais un phénomène émergent issu de la cohérence temporelle.

Les effets que la cosmologie classique attribue à une dynamique gravitationnelle – telles que les courbures spatiales, les trajectoires orbitales ou la chute libre – résultent ici de variations locales du champ  $\sigma(x)$ .

Toute modulation de  $\sigma(x)$ , même minime, entraîne une modification correspondante de la phénoménalité spatiale projetée, produisant l'illusion d'une attraction ou d'une courbure.

Le terme géométrique  $F(\sigma)R$  inscrit dans le Lagrangien V8 encode cette plasticité phénoménale sans jamais décrire une géométrie physique.

Il agit comme un cadre structurel qui garantit la cohérence globale de la projection spatiale, non comme un générateur de dynamique.

Ainsi, la gravité perçue est la conséquence d'une projection cohérente du temps : elle n'est pas causée par une force mais par la manière dont la cohérence temporelle stabilisée se manifeste spatialement.

La réinterprétation de la relation  $E = m c^2 f(\tau_{\text{env}})$  et de l'équivalence étendue approfondissent cette idée : les phénomènes gravitationnels ne reflètent pas une structure physique fondamentale mais une modulation phénoménale du champ temporel.

### **31.9 — Synthèse : une cosmologie sans origine, sans dynamique, entièrement morphogénique**

Il est proposé que la cohérence temporelle suffit à produire l'ensemble des structures cosmologiques observées.

La phénoménalité spatiale, l'expansion apparente, l'homogénéité, l'isotropie et la formation des grandes structures ne dérivent pas de processus physiques ou dynamiques, mais d'une cohérence structurelle imposée par le régime  $t_2$  du champ  $\sigma(x)$ .

Dans cette perspective, la cosmologie morphogénique élimine les notions traditionnelles d'origine, de début cosmique ou d'évolution temporelle.

Le cosmos observable ne résulte pas d'un événement initial mais d'une stabilisation morphogénique du temps. Il apparaît comme l'expression stable d'un champ temporel cohérent, non comme la conséquence d'une histoire physique.

La transition vers le Chapitre 32 permettra d'approfondir la portée de cette vision, notamment en examinant les implications de l'équivalence étendue et la manière dont les phénomènes physiques sont réinterprétés dans un cosmos dépourvu de dynamique réelle.

Elle établira également le lien entre la structure morphogénique globale et la perception phénoménale des effets dits « physiques ».

## **Chapitre 32 — Conclusion générale de la Partie II : synthèse variationnelle et horizon morphogénique**

### **32.1 — Clôture structurante de la Partie II**

La Partie II de ce Traité a établi le cadre variationnel, conceptuel et morphogénique du modèle VLCC, tel qu'il s'est stabilisé à l'étape anté-canonique V8.

À partir des lois fondamentales introduites en Partie I, elle a construit une action cohérente, en a dérivé les équations structurelles, puis en a dégagé les conséquences morphogéniques et cosmologiques admissibles dans ce cadre.

Le présent chapitre en constitue la synthèse générale.

Il ne vise ni à introduire de nouveaux éléments formels, ni à proposer une interprétation supplémentaire, mais à articuler explicitement les résultats obtenus, afin de faire apparaître l'unité interne du formalisme :

la manière dont les lois fondamentales contraignent l'action, comment l'action détermine les équations variationnelles, et comment ces équations définissent les conditions structurelles d'existence d'un présent phénoménal stable.

Cette conclusion marque ainsi la clôture formelle de la Partie II. Elle prépare, sans l'anticiper, le passage vers un autre registre de discours, qui sera celui de la Partie III.

## 32.2 — Les lois fondamentales comme charpente du cadre variationnel

L'un des résultats centraux de la Partie II est la mise en évidence du rôle fondateur des lois LCFT, LCM, LCS, LRQT, LITV, LTT et LTSM.

Ces lois ne constituent pas des contraintes ajoutées a posteriori au formalisme mathématique ; elles en sont la charpente ontologique et structurelle.

Elles déterminent le domaine de validité du modèle VLCC, en fixant ce qu'un champ temporel cohérent peut être et ce qu'il ne peut pas être.

Sans elles, ni la forme de l'action S, ni la structure du Lagrangien V8, ni les équations variationnelles associées ne seraient déterminées.

Chaque loi joue un rôle spécifique et irréductible :

- **LCFT** fixe la cohérence minimale requise pour l'existence d'un champ  $\sigma(x)$  admissible ;
- **LCM** impose la continuité morphogénique et la régularité des configurations ;
- **LCS** garantit la cohérence structurelle globale du champ temporel ;
- **LRQT** introduit une granularité interne et une limitation quantique de la cohérence ;
- **LITV** impose l'invariance structurelle du glissement  $\Delta t$  ;
- **LTT** organise la tension morphogénique interne du temps ;
- **LTSM** structure la triade des régimes  $t_1$ ,  $t_2$  et  $t_1'$ .

La forme stabilisée du Lagrangien V8 apparaît ainsi comme la formulation minimale capable de satisfaire simultanément l'ensemble de ces lois.

Cette économie structurelle n'est pas un choix esthétique, mais un résultat fondamental : la cosmologie morphogénique du VLCC dérive nécessairement de ces lois et ne constitue pas une hypothèse indépendante.

### 32.3 — L'équation variationnelle comme condition structurelle

La Partie II a également permis de clarifier le statut profond de l'équation issue de la variation du Lagrangien V8.

Contrairement aux équations fondamentales des théories dynamiques classiques, l'équation d'Euler–Lagrange obtenue ici ne décrit aucune évolution dans le temps.

Elle ne définit ni trajectoire, ni dynamique, ni devenir.

Son rôle est exclusivement structurel : elle identifie les configurations admissibles du champ  $\sigma(x)$  compatibles avec les lois fondamentales du modèle.

Il s'agit d'une équation de filtrage morphogénique, et non d'une équation du mouvement. Elle sélectionne les formes de cohérence interne capables de soutenir un présent phénoménal stable et élimine toutes celles qui violeraient les exigences de LCFT, LCM ou LCS.

Cette relecture marque une rupture conceptuelle majeure : le VLCC ne décrit pas un univers évoluant dans le temps, mais une structure temporelle dont la cohérence interne conditionne la phénoménalité.

### 32.4 — Le potentiel morphogénique et la triade temporelle

Le potentiel  $V(\sigma)$  joue un rôle central dans l'architecture du modèle. Il structure la triade  $t_1-t_2-t_1'$ , qui constitue l'organisation interne du temps dans le VLCC.

Cette triade ne correspond pas à une chronologie :  $t_1$ ,  $t_2$  et  $t_1'$  ne sont pas des instants successifs, mais des régimes structurels du champ temporel.

- En  $t_1$ , la dérivée  $\partial V/\partial \sigma$  est non nulle, traduisant un état de pré-cohérence instable ;
- En  $t_2$ ,  $\partial V/\partial \sigma \approx 0$ , ce qui stabilise la cohérence et rend possible la phénoménalité ;
- En  $t_1'$ , la dérivée redevient non nulle, décrivant un régime de décroissance post-phénoménale.

Cette architecture permet de comprendre comment la cohérence temporelle organise l'émergence du cosmos phénoménal, sans recourir à une dynamique externe ou à une évolution historique au sens classique.

### **32.5 — Cohérence géométrique et phénoménalité spatiale**

Le terme de couplage géométrique  $F(\sigma)R$  introduit dans le Lagrangien V8 n'implique aucune dynamique géométrique réelle au sens de la relativité générale.

Il n'introduit pas de métrique physique fondamentale, mais impose une cohérence géométrique minimale aux configurations admissibles du champ  $\sigma(x)$ .

Ce rôle est strictement interne au formalisme variationnel.

Il permet d'exprimer la compatibilité morphogénique globale du champ temporel et rend possible une description phénoménale de type FLRW, sans postuler l'existence d'un espace autonome.

Dans le cadre du VLCC, la phénoménalité spatiale apparaît ainsi comme une conséquence de la cohérence temporelle stabilisée, et non comme une structure primitive du réel.

### **32.6 — Conditions morphogéniques de la phénoménalité cosmique**

Les résultats formels établis dans la Partie II montrent que l'apparition d'un cosmos phénoménal est conditionnée par la stabilisation du champ  $\sigma(x)$  dans le régime  $t_2$ .

Les équations obtenues n'imposent ni origine cosmique physique, ni expansion réelle de l'espace, ni gravité fondamentale au sens classique.

Elles définissent en revanche les conditions morphogéniques internes sous lesquelles des effets phénoménaux tels que l'homogénéité, l'isotropie, l'expansion apparente ou la structuration à grande échelle deviennent possibles.

Ainsi, la cosmologie morphogénique du VLCC ne décrit pas un univers en devenir, mais la forme stable prise par un champ temporel cohérent.

La phénoménalité cosmique apparaît comme une projection de cette cohérence interne, et non comme le produit d'une dynamique spatiale indépendante.

### **32.7 — Ouverture vers la Partie III : changement de registre**

La Partie II a désormais rempli sa fonction : elle a établi les structures mathématiques et morphogéniques internes du modèle VLCC, en identifiant les conditions nécessaires à l'existence d'un présent phénoménal stable.

Ce cadre ne constitue pas encore une interprétation du monde vécu, ni une analyse de l'expérience cosmique. Il fournit les conditions de possibilité à partir desquelles de telles interprétations peuvent être élaborées.

La Partie III du Traité engagera explicitement ce changement de registre.

Elle examinera les conséquences phénoménologiques, épistémologiques et cognitives du VLCC, en s'interrogeant sur ce que signifie percevoir, mesurer et habiter un cosmos dont la structure dérive de la cohérence interne du temps plutôt que d'une dynamique spatiale fondamentale.

Ce passage ne remettra pas en cause le formalisme établi dans la Partie II.

Il en explorera les implications conceptuelles, ouvrant le modèle à une confrontation avec l'expérience, l'observation et les cadres de pensée contemporains.

La Partie II se clôt ainsi sur une architecture variationnelle cohérente, minimale et entièrement contrainte par les lois fondamentales du VLCC.

Elle constitue le socle formel indispensable à toute exploration ultérieure du modèle, sans prétendre épuiser ses implications.

---

# **PARTIE III — Dynamique Morphogénique du Temps et Structures Cosmologique**

## **Transition — Du cadre variationnel à l'interprétation morphogénique**

La Partie II du présent Traité a établi le cadre variationnel du modèle VLCC, en identifiant les lois fondamentales, les structures mathématiques et les conditions morphogéniques internes nécessaires à l'existence d'un présent phénoménal stable.

Elle a montré que la cosmologie du VLCC ne repose pas sur une dynamique temporelle ou spatiale classique, mais sur un ensemble de compatibilités structurelles filtrant les configurations admissibles du champ temporel.

Cette approche a permis de construire un formalisme cohérent, mais volontairement limité à son rôle fondamental : définir les conditions de possibilité de la phénoménalité, sans encore en proposer une lecture interprétative détaillée.

À ce stade, les équations ne décrivent pas le monde tel qu'il est perçu, mais les contraintes internes qui rendent une telle perception possible

La Partie III s'inscrit dans la continuité directe de ce cadre, tout en opérant un changement de registre.

Il ne s'agit plus d'établir de nouvelles lois ni de dériver de nouvelles équations, mais d'examiner les conséquences morphogéniques, cosmologiques et phénoménologiques du formalisme établi, et d'en explorer la portée explicative.

## **Orientation de la Partie III**

La Partie III du Traité est consacrée à l'analyse des effets morphogéniques globaux du modèle VLCC et à leur traduction en structures cosmologiques et phénoménales.

Elle adopte le cadre formel établi en Partie II comme acquis, sans en modifier les équations ni en étendre le formalisme.

Son objectif est double :

1-Interpréter morphogéniquement les structures issues du cadre variationnel, en examinant comment la cohérence interne du champ temporel peut se manifester sous la forme de phénomènes cosmologiques observables ou conceptuellement accessibles.

2-Explorer les conséquences conceptuelles du VLCC pour la compréhension du présent, de l'espace, de la lumière, de la causalité apparente et de l'expérience cosmique, sans quitter le cadre rigoureux imposé par les lois fondamentales.

La Partie III ne propose donc pas une dynamique supplémentaire du modèle, mais une lecture structurée de ses implications.

Elle se situe à l'interface entre le formalisme mathématique et la phénoménalité cosmique, en s'efforçant de rendre intelligible la manière dont un univers perçu peut émerger d'un champ temporel cohérent.

## Introduction générale — De la formalisation à l'explication

Les parties précédentes du Traité ont montré que le modèle VLCC permet de décrire la morphogenèse du temps sans recourir à une évolution dynamique classique.

Le temps y apparaît comme une structure physique dotée de cohérence interne, dont les régimes  $t_1$ ,  $t_2$  et  $t_1'$  conditionnent l'existence même du présent phénoménal.

Toutefois, un cadre formel, aussi rigoureux soit-il, ne constitue pas en lui-même une explication.

Il établit des conditions, mais ne dit pas encore comment ces conditions se traduisent en phénomènes, en structures cosmologiques, ni en expérience vécue.

La Partie III a pour ambition de combler cet écart, non pas en ajoutant des hypothèses ou des lois, mais en déployant le pouvoir explicatif latent du cadre établi.

Elle examine comment les attracteurs morphogéniques, la cohérence  $\sigma(x)$ , le glissement  $\Delta t$  et la structure temporelle triphasée peuvent rendre compte :

- de l'apparition de l'espace phénoménal,
- de la stabilité du présent,
- de l'expansion apparente,
- de la lumière comme révélateur du temps,
- et des structures cosmologiques observées.

Cette démarche ne transforme pas le VLCC en une théorie descriptive du monde au sens classique.

Elle propose une explication morphogénique, dans laquelle les phénomènes ne sont pas causés par des dynamiques externes, mais émergent comme manifestations stables d'une structure temporelle cohérente.

Ainsi, la Partie III engage un déplacement essentiel : elle ne cherche plus à démontrer la cohérence interne du modèle, mais à montrer ce que cette cohérence rend possible — conceptuellement, cosmologiquement et phénoménologiquement.

## **CHAPITRE 33 — Intronisation du Triplet Morphogénique et du Champ Tri-Phasé**

### **33.1 — Pourquoi une nouvelle intronisation ? (Et pourquoi ici ?)**

La Partie II du traité a établi les bases internes du VLCC :

- une structure temporelle composée de trois régimes ( $t_1, t_2, t_1'$ ),
- un champ  $\sigma(x)$  exprimant la cohérence du présent,
- une tension  $\Delta t$  imposant une direction irréversible au devenir,
- un Lagrangien morphogénique  $V_8$  où le temps n'est pas paramètre, mais substance active.

Cependant, cette première exposition restait volontairement interne — presque « métaphysique » du temps :

elle décrivait la machinerie profonde, sans se prononcer sur la manière dont cette structure s'exprime dans l'Univers visible.

La Partie III commence une nouvelle phase :

il s'agit d'exposer la version opératoire du temps morphogénique, dont les effets deviennent mesurables dans les galaxies, les lentilles, le gaz H I, et jusqu'aux courbes rotationnelles révélées par Gaia.

Mais avant toute équation, il faut clarifier un point essentiel :

### **33.2 — Triade temporelle (Partie II) vs Triplet morphogénique (Partie III)**

Ce chapitre repose sur une distinction capitale — souvent noyée dans les lectures rapides, mais absolument indispensable pour éviter les confusions.

### **33.2.1 — Ce que la Partie II a vraiment introduit : la triade temporelle**

Dans la Partie II, la triade  $(t_1, t_2, t_1')$  a été présentée comme :

- trois régimes internes du champ temporel,
- organisateurs de la morphogénèse du devenir,
- sans équations dynamiques,
- sans observables associés,
- sans signature rotationnelle.

C'est le squelette ontologique du temps.

Une structure interne, non encore projetée dans les phénomènes mesurables.

### **33.2.2 — Ce que la Partie III introduit maintenant : le triplet morphogénique**

Le triplet morphogénique, bien que construit sur la même triade, est une entité *diffrérente* :

Triade (Partie II)	Triplet (Partie III)
Régimes internes du temps	Opérateurs dynamiques
Pas d'observables	Produisent des observables
Rôle structural	Rôle dynamique
Sans gradients définis	9 gradients morphogéniques
Non pondéré	Pondéré par les constantes Planck

Le triplet morphogénique est donc la version opératoire de la triade, la version qui agit dans l'Univers visible.

Il est constitué de trois composantes :

1.  $t_1$  — mémoire temporelle  
régit la dynamique interne et baryonique.
2.  $t_2$  — présent intriqué  
stabilise, corrèle, régule (signature dans les plateaux rotationnels).
3.  $t_1'$  — tension évolutive  
impose une croissance, une pression externe, une asymétrie.

Ce triplet n'est plus un concept :

c'est une architecture dynamique permettant de reconstruire les phénomènes gravitationnels, rotationnels et cosmologiques.

### 33.3 — Le champ tri-phasé unifié : $\{\tau, \sigma, \Delta t\}$

Pour que le triplet puisse agir, il doit s'inscrire dans un milieu dynamique.

Dans le VLCC, ce milieu n'est pas un espace, ni une métrique, ni un paramètre externe : c'est le champ tri-phasé du temps, constitué de trois couches complémentaires :

- $\tau(x,t)$  — dynamique interne du devenir
- $\sigma(x,t)$  — cohérence phénoménale du présent
- $\Delta t(x,t)$  — tension irréversible, flèche du temps

Ces trois composantes ne décrivent pas le temps au sens ordinaire : elles constituent le champ qui génère le temps mesuré dans les expériences  $t_2$ .

#### 33.3.1 — Relation triplet $\leftrightarrow$ tri-phase : structure vs action

La relation entre la tri-phase  $(\tau, \sigma, \Delta t)$  et le triplet  $(t_1, t_2, t_1')$  s'énonce ainsi :

La tri-phase est la structure du champ temporel, son architecture profonde.

Le triplet en est l'expression opératoire, la manière dont le champ agit, réagit et structure les phénomènes visibles.

### 33.3.2 — Le gradient directionnel $\sigma'$ : notation canonique

$\sigma'$  désigne la projection morphogénique radiale du gradient de cohérence :

$$\sigma' = \partial\sigma/\partial r.$$

### 33.3.3 — Contraintes imposées par les lois morphogéniques

Les lois fondamentales du VLCC imposent des limites strictes au comportement des composantes du triplet morphogénique.

Ces contraintes ne sont pas des hypothèses ajoutées : ce sont des nécessités structurelles issues du fonctionnement interne du champ temporel.

- **LPHD** (Loi de Préservation de la Mémoire Temporelle)

Elle interdit la disparition complète de la mémoire interne :

$$t_1 > 0 \text{ toujours.}$$

Si  $t_1$  s'annulait, la cohérence interne du système deviendrait mathématiquement impossible et l'invariant morphogénique serait détruit.

- **LRTG** (Loi de Réponse en Tension Générative)

Elle impose que la tension évolutive conserve une orientation strictement positive :

$$t_1' \geq 0.$$

Toute valeur négative violerait l'irréversibilité temporelle et briserait la cohérence du flux évolutif.

- **LCFT** (Loi de Cohérence du Présent)

Elle garantit qu'il existe un seuil minimal de cohérence :

$$t_2 \geq t_{2,\text{basal}},$$

où  $t_{2,\text{basal}}$  est déterminé par le régime basal morphogénique.

Descendre en dessous de ce seuil conduirait à un effondrement du présent, interdit par l'équation-cadre.

Ensemble, ces trois contraintes assurent :

- la stabilité du champ temporel,
- l'orientation irréversible du devenir,
- la continuité et la cohérence de l'actualisation.

Elles définissent l'espace des solutions admissibles pour toute dynamique morphogénique.

### 33.3.4 — Synthèse du champ tri-phased

Le champ tri-phased  $\{\tau, \sigma, \Delta t\}$  fournit la structure minimale permettant de générer le temps.

Le triplet  $(t_1, t_2, t_1')$  en fournit l'expression dynamique.

Les lois morphogéniques en définissent les bornes et la stabilité.

L'invariant

$$I = t_2^2 - t_1 t_1' > 0$$

impose l'orientation irréversible du flux temporel.

On peut résumer leur articulation ainsi :

Niveau	Rôle	Effet
Tri-phase	Structure du champ	définit le tissu du temps
Triplet	Dynamique interne	organise les régimes temporels
Lois morphogéniques	Bornes du système	empêchent effondrements et inversions
Invariant	Orientation	garantit la flèche du temps

Ainsi, la tri-phase est le support.

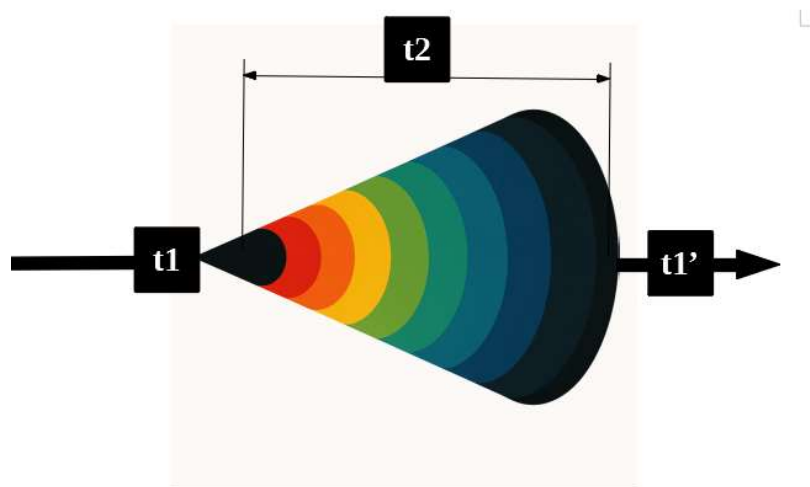
Le triplet est l'action.

Les lois sont les garde-fous.

L'invariant est la direction.

### Illustration morphogénique du champ temporel tri-phased.

Représentation qualitative des régimes  $t_1$  (passé stabilisé),  $t_2$  (présent actif) et  $t_1'$  (futur morphogénique), illustrant la migration de la cohérence  $\sigma(x)$  au sein du champ T, et non un écoulement temporel linéaire:



### 33.4 — Pondérations cosmologiques : rôle des unités de Planck et calibration morphogénique

Les trois composantes du triplet morphogénique  $\{t_1, t_2, t_1'\}$  doivent pouvoir être :

- comparées,
- combinées,
- pondérées dans un cadre invariant.

Or,  $\tau$ ,  $\sigma$  et  $\Delta t$  n'ont pas les mêmes dimensions naturelles.

Pour rendre leur interaction lisible et cohérente, la Partie III adopte une normalisation morphogénique fondée sur :

- la masse de Planck :  $m_P$
- le temps de Planck :  $t_P$
- la longueur de Planck :  $\ell_P$

Ces unités ne sont pas invoquées pour « quantifier » le temps morphogénique ; elles servent à poser un cadre comparatif universel, un étalon.

### **33.4.1 — Pourquoi Planck intervient**

Les constantes de Planck définissent :

- le seuil minimal d'action,
- l'unité naturelle de dissipation,
- l'unité canonique de cohérence minimale.

Elles permettent au triplet de s'exprimer dans des ratios invariants, indépendants de :

- l'histoire cosmique,
- du contenu baryonique local,
- des conditions initiales galactiques.

Sans cette pondération, les trois composantes du triplet ne seraient pas combinables dans les 9 gradients morphogéniques.

### **33.4.2 — Calibration cosmologique du triplet : la configuration Planck 2018**

La mission Planck (2018) a mesuré le rapport :

$$\Omega_m / \Omega_b \approx 6.36$$

Dans le VLCC, ce rapport n'est pas interprété comme un simple résultat baryon/matière noire.

Il est lu comme un invariant morphogénique cosmologique : un encodage direct de la pondération temporelle globale du triplet à l'époque actuelle.

En Partie II, la minimisation du Lagrangien morphogénique V8 conduit à une solution stationnaire remarquable :

$$t_1 = 0.8125$$

$$t_1' = 2.4375$$

$$t_2 = 3.25$$

d'où :

$$T_{\text{morph}} = t_1 + t_1' + t_2 = 6.5$$

Cette valeur :

- n'est pas ajustée,
- n'est pas paramétrique,
- émerge naturellement de l'extrémisation de l'action,
- se trouve en accord frappant avec la valeur observée 6.36.

Interprétation morphogénique :

Les trois pondérations expriment la répartition du flux temporel global :

- $t_1$  : mémoire stabilisante
- $t_1'$  : tension évolutive
- $t_2$  : cohérence intriquée

Le triplet cosmologique {0.8125, 2.4375, 3.25} constitue la signature temporelle de l'univers actuel.

### 33.4.3 — Interprétation dynamique : le rôle absolu de $t_2 = 3.25$

La valeur  $t_2 = 3.25$  n'est pas arbitraire : elle est le pivot de l'équilibre cosmologique actuel.

- $t_2$  encode la cohérence globale du présent cosmique,
- stabilise la croissance de  $t_1'$ ,
- amortit la décroissance de  $t_1$ .

Si  $t_2$  avait été différent :

- l'univers aurait accéléré trop vite,
- ou ne se serait jamais structuré,
- ou aurait été trop rigide pour former des galaxies.

### **33.4.4 — Variabilité cosmologique des pondérations : dynamique interne du triplet et limites du relevé Planck**

Les pondérations morphogéniques ( $t_1, t_2, t_1'$ ) ne sont pas des constantes universelles.

Elles décrivent l'état interne du triplet temporel à une époque cosmologique donnée. La valeur Planck (2018),  $t_1 = 0.8125$ ,  $t_1' = 2.4375$ ,  $t_2 = 3.25$ , n'est qu'un instantané morphogénique actuel.

#### **(1) Pourquoi la pondération Planck n'est pas universelle**

Le triplet dépend de l'état global du champ tri-phased : cohérence  $\sigma(t)$ , tension  $\Delta t(t)$ , dynamique interne  $\tau(t)$ , régime basal.

Aucun fondement théorique n'impose les mêmes ratios à  $z = 2$ ,  $z = 20$  ou dans le futur lointain.

#### **(2) Conséquence : prudence dans l'interprétation du passé**

Utiliser la pondération de 2018 pour lire des galaxies à  $z = 2$  revient à projeter un état morphogénique contemporain sur des régimes où il n'existe pas.

Les erreurs d'interprétation peuvent être importantes.

#### **(3) Dynamique asymptotique du triplet (actualisée à notre ère observationnelle)**

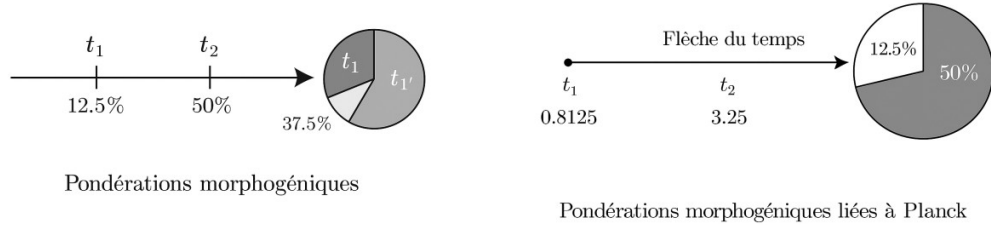
$t_1(t) \rightarrow 0$  (diminution de la mémoire)

$t_1'(t) \rightarrow 3.25 + \delta\infty$  (croissance de la tension)

$t_2(t) \approx t_1'(t)$

$$T_{morph}(t) = t_1 + t_2 + t_1' = 6.5 + 2 \delta\infty$$

## Schéma des pondérations morphogéniques et dynamique asymptotique:



### (4) Pondérations passées et futures : inconnues mais bornées

Les lois imposent :

- $t_1$  non nul (LPHD)
- $t_1'$  borné (LRTG)
- $t_2$  régulé (LCFT)
- $\Delta t$  toujours orienté (LITV)

Ainsi, les pondérations varient mais restent structurellement contraintes.

### (5) Pourquoi utiliser Planck 2018 dans la Partie III

Parce qu'elle fournit :

- un état observé,
- un calibrage commun,
- un  $\sigma(r)$  canonique,
- une base de calcul pour Gaia.

Mais ce n'est pas une constante fondamentale du modèle.

La pondération morphogénique mesurée par Planck n'est pas universelle : elle décrit l'état actuel du triplet temporel. Dans le passé et le futur, cette pondération diffère.

Toute lecture des structures anciennes ou prédictions futures doit en tenir compte. La valeur Planck sert uniquement de référence méthodologique, non de vérité intemporelle.

### **33.4.5 — Synthèse de la pondération VLCC appliquée**

Les pondérations morphogéniques ne sont ni des masses, ni des constantes physiques au sens classique, ni des paramètres ajustables. Elles expriment la répartition interne du flux temporel entre les trois régimes  $\{t_1, t_2, t_1'\}$ , telle qu'elle se manifeste à une époque cosmologique donnée.

Ce qu'elles sont réellement

Elles constituent :

- une signature morphogénique globale, propre à une époque de l'univers ;
- un équilibre dynamique interne imposé par la triade et l'équation-cadre ;
- une normalisation conceptuelle permettant aux 9 gradients d'être comparés entre eux ;
- une clé de lecture pour interpréter le glissement  $\chi$  et sa croissance dans les galaxies.

Aujourd'hui, l'univers est dans un état où :

- $t_2 = 3.25$  (pondération Planck 2018),
- $T_{morph} = 6.5$  (somme stationnaire),
- et le rapport  $t_1 : t_1' : t_2$  encode la structure morphogénique de notre époque.

Dimension cosmologique essentielle

Les pondérations morphogéniques ne sont pas universelles dans le temps.

Ce que Planck mesure est la signature pondérée du temps à notre époque cosmique, non une valeur éternelle ou primitive.

Ainsi :

- dans le passé,  $T_{morph}(t)$  était probablement différent,
- dans le futur,  $T_{morph}(t)$  évoluera selon :

$$T_{morph}(t) = 6.5 + 2 \delta\infty$$

## Conséquence majeure

Toutes les reconstitutions historiques (galaxies jeunes) et toutes les prédictions futures (cosmologie tardive) sont sensibles à la pondération cosmologique.

Articulation avec la structure profonde du VLCC. Les pondérations morphogéniques garantissent :

- la compatibilité du triplet avec les lois morphogéniques,
- la cohérence des 9 gradients,
- la stabilité du présent  $t_2$ ,
- la régulation du glissement  $\chi$ ,
- la formation universelle des zones I-II-III,
- la possibilité d'un régime asymptotique accéléré.

**A noter:** *Les pondérations morphogéniques ne fixent pas une valeur du passé, ne garantissent pas une valeur future, et ne sont pas des constantes physiques. Elles constituent l'image temporelle de l'univers au moment où on le mesure.*

*Cette pondération cosmologique mesurée aujourd'hui n'est qu'un état parmi d'autres dans l'histoire du triplet — aucune équation de la Partie III ne suppose sa validité dans le passé ou le futur.*

## 33.5 — Les 9 gradients morphogéniques : la structure différentielle du temps

Le triplet morphogénique possède un pouvoir de structuration parce qu'il n'existe pas seul : il existe à travers ses gradients.

Dans le VLCC, trois grandeurs fondamentales ( $\sigma, \tau, \Delta t$ ) donnent naissance chacune à trois types de variations :

- variation spatiale ( $\nabla$ ),
- variation directionnelle (projection),
- variation de cohérence (interaction avec  $t_2$ ).

On obtient alors un tableau canonique :

<b>Champ</b>	<b>Gradient 1</b>	<b>Gradient 2</b>	<b>Gradient 3</b>
$\sigma$	$\nabla\sigma$	$\partial\sigma/\partial r$	$\sigma'$ régulé par $t_2$
$\tau$	$\nabla\tau$	$\partial\tau/\partial r$	$\tau$ modulé par $t_1$
$\Delta t$	$\nabla\Delta t$	$\partial\Delta t/\partial r$	$\Delta t$ régulé par $t_1'$

Le nombre 9 vient simplement de la tri-phasicité (3 champs :  $\tau$ ,  $\sigma$ ,  $\Delta t$ ) croisée avec la triade des régimes directionnels (gradient complet, projection radiale, régulation par le triplet), soit  $3 \times 3$ .

Ces 9 gradients sont les véritables créateurs de structure :

- ils organisent les courbes rotationnelles,
- imposent les anisotropies faibles,
- génèrent les plateaux,
- stabilisent les zones externes,
- empêchent les trous de ver,
- façonnent les Freeze Spheres.

### 33.6 — Le glissement morphogénique $\chi$ : le ratio essentiel

Défini par :

$$\chi = t_1' / t_1$$

Ce ratio :

- mesure la polarisation du temps,
- indique si le système est baryonique ( $\chi$  faible), en transition ( $\chi$  croissant), ou externe ( $\chi$  élevé),
- sert à lire directement la dynamique rotationnelle.

Il sera développé dans le Chapitre 34.

Pour l'instant, notons simplement :

$\chi$  est l'indicateur direct de la réorganisation du temps dans les galaxies.

### 33.7 — La gravité dans le VLCC

La gravité n'est pas redistribuée.

Elle n'est pas réécrite.

Elle n'est pas niée.

La formulation correcte — et désormais canonique — est :

la gravité n'est pas une interaction fondamentale ; elle est la manifestation phénoménale, dans le régime  $t_2$ , de la redistribution locale de la durée induite par la masse.

#### 33.7.1 — La masse distribue la durée, et donc les distances

Toute masse impose une modulation du temps local (observable en  $t_2$ ), ce qui :

- augmente les durées autour de la masse,
- étire l'espace photonique environnant,
- génère une courbure dynamique,
- produit l'effet gravitationnel observé.

La gravité est la lecture T2 de la déformation temporelle induite par la masse.

#### 33.7.2 — Le VLCC ne remplace pas la Relativité Générale

Il explique pourquoi la RG fonctionne :

la géométrie qu'elle décrit est l'ombre de la dynamique temporelle.

### **33.7.3 — Compatibilité avec $E = m c^2 f(t_{\text{env}})$**

La présence d'un champ temporel local ( $t_{\text{env}}$ ) ajuste l'inertie, donc la dynamique.

Ce n'est pas une correction :

c'est la structure profonde derrière l'équivalence inertie/gravité.

## **33.8 — Synthèse du Chapitre 33**

Ce chapitre introduit :

- La distinction cruciale triade (Partie II) / triplet (Partie III).
- Le champ tri-phased  $\{\tau, \sigma, \Delta t\}$ .
- La pondération Planck comme normalisation conceptuelle.
- Les 9 gradients morphogéniques, créateurs de structure.
- Le glissement  $\chi$ , régulateur des dynamiques visibles.
- La gravité VLCC – Option A, fondée sur la modulation des durées et des distances.

Ces éléments permettent la transition vers la dynamique :

Comment le temps structuré organise les galaxies ?

Comment la tri-phase devient rotation ?

Comment  $t_2$  stabilise les plateaux ?

Pourquoi  $\chi$  croît dans toutes les galaxies ?

Ce sera l'objet du Chapitre 34.

### 33.9 — Tableau récapitulatif

Élément	Rôle	Introduit en	Utilisé en
Triade $t_1-t_2-t_1'$	Régimes internes du temps	Partie II	Fondement conceptuel
Triplet morphogénique	Opérateur dynamique	Partie III	Rotation, lentilles, gaz H I
Tri-phase $\{\tau, \sigma, \Delta t\}$	Champ fondamental	Partie III	Tensions, cohérences, gradients
Pondération Planck	Normalisation	Partie III	Comparabilité des équations
9 gradients	Structure différentielle	Partie III	Courbes rotationnelles
Glissement $\chi$	Partition du temps	Partie III	Plateaux + décroissance externe
Gravité VLCC	Modulation des durées	Partie III	Interprétation globale

### 33.10 — Synthèse finale : ce que change réellement ce chapitre dans le VLCC

Ce chapitre marque un basculement fondamental dans la structure du traité.

Jusqu'ici, le VLCC décrivait ce qu'est le temps — un champ triphasé, stratifié, dynamique. À partir de maintenant, il devient possible de décrire ce que fait le temps.

L'introduction du triplet morphogénique  $(t_1, t_2, t_1')$  comme version opératoire de la triade ouvre une perspective entièrement nouvelle :

1. Le temps possède une structure interne lisible, mais maintenant aussi une dynamique externe, observable dans les galaxies.
2. Le champ triphasé  $\{\tau, \sigma, \Delta t\}$  devient le support unique de toute structuration cosmique : cohérence ( $\sigma$ ), devenir interne ( $\tau$ ), tension évolutive ( $\Delta t$ ).

3. Les pondérations Planck ne normalisent pas un modèle arbitraire : elles permettent au temps de parler un langage commun avec la physique mesurable.
4. Les 9 gradients morphogéniques forment désormais la base différentielle de toutes les signatures rotationnelles, des asymétries, des halos et des Freeze Spheres.
5. Le glissement  $\chi = t_1'/t_1$  devient l'indicateur principal de l'histoire morphogénique d'une galaxie — sa mémoire, sa tension, son évolution.
6. La gravité, en version VLCC, n'est plus une mystérieuse interaction géométrique : elle apparaît comme la modulation de la durée et des distances par la présence de masse, une lecture  $t_2$  du devenir triphasé.

Et rappel que :

Les pondérations morphogéniques ( $t_1, t_2, t_1'$ ) constituent la signature temporelle de notre époque cosmique ; elles ne sont pas universelles dans le temps, mais un état particulier du triplet.

En un mot :

Le VLCC peut désormais parler aux observations.

La Partie III ne sera pas une spéculation de plus : elle reposera sur une architecture formellement claire, conceptuellement cohérente et mathématiquement lisible.

Le temps n'est plus seulement ce qui passe.

Le temps est ce qui structure l'univers.

# CHAPITRE 34 — Le Champ Tri-Phasé, les 9 Gradients Morphogéniques et la Dynamique du Glissement

## Introduction — Lecture canonique du champ tri-phasé et des gradients

La Partie III marque un tournant décisif : après l'intronisation du triplet morphogénique et du champ tri-phasé, il devient nécessaire d'introduire les outils différentiels qui permettront de lire, de décrire et de quantifier les dynamiques réelles des systèmes astrophysiques.

Le présent chapitre constitue la porte d'entrée vers cette structure opératoire.

Pour éviter toute ambiguïté, deux clarifications préliminaires sont indispensables.

Elles concernent (1) la notation du gradient directionnel  $\sigma'$  et (2) la convention d'usage du glissement morphogénique  $\chi$ .

Ces deux éléments, simples en apparence, jouent en réalité un rôle central dans toute la Partie III, car ils déterminent la manière dont les équations devront être interprétées.

- Définition préliminaire de  $\sigma'$  — notation canonique:

Dans tout ce chapitre, ainsi que dans ceux qui suivent, le symbole  $\sigma'$  désigne la composante directionnelle principale du gradient de cohérence.

Il s'écrit :

$$\sigma' = \partial\sigma/\partial r$$

où  $r$  est la direction radiale morphogénique, définie non par une géométrie imposée mais par le flux temporel interne du système.

Cette distinction est fondamentale :

- $\nabla\sigma$  = gradient complet en trois dimensions,
- $\sigma'$  = projection directionnelle du gradient sur  $r$ ,
- $\sigma$  régulé par  $t_2$  = version LCFT de  $\sigma'$ .

Ainsi,  $\sigma'$  n'est pas une simple notation dérivative : c'est la signature canonique du gradient de cohérence le long de la direction opératoire privilégiée.

Toute la théorie différentielle du VLCC — en particulier la classification en 9 gradients — repose sur cette convention.

Cette précision garantit que chaque occurrence ultérieure de  $\sigma'$  sera parfaitement univoque.

- Conventions de notation pour le glissement  $\chi$ :

Le glissement morphogénique est défini par :

$$\chi = t_1' / t_1$$

Cependant, le VLCC distingue deux niveaux de description :

**1)  $\chi$  (sans argument)** — niveau interne et abstrait

Utilisé dans les chapitres 33 à 36, il désigne l'objet morphogénique interne.

Il sert à décrire les régimes du temps, les variations du triplet, et l'organisation interne du champ triphasé.

**2)  $\chi(r)$**  — niveau observable

À partir des chapitres consacrés aux données (Gaia, galaxies naines, lentilles), la dynamique est projetée dans un espace radial.

On note alors  $\chi(r)$  pour désigner la composante du glissement telle qu'elle se manifeste dans les profils rotationnels.

- Convention canonique pour toute la Partie III :
  - $\chi$  pour la théorie pure,
  - $\chi(r)$  pour les signatures observationnelles.

Cette distinction élimine toute confusion entre glissement interne et glissement reconstruit, et permet de maintenir la cohérence entre le Master mathématique et les chapitres de confrontation aux données.

- Rôle de cette introduction:

Ces deux clarifications préalables —  $\sigma'$  et  $\chi(r)$  — constituent la grammaire minimale de la Partie III.

Elles permettent une lecture cohérente de

- la théorie des 9 gradients,
- les équations d'évolution du triplet,
- la définition du glissement,
- les dynamiques rotationnelles,
- l'analyse des données Gaia,
- les Freeze Spheres et les régimes extrêmes du temps.

### **34.1 — Pourquoi ce chapitre ? : Rôle et nécessité structurale**

Le Chapitre 33 a posé les trois fondations indispensables de la Partie III :

1. le Triplet morphogénique  $(t_1, t_2, t_1')$ , opérateur dynamique du temps ;
2. le Champ tri-phased  $(\tau, \sigma, \Delta t)$ , structure fondamentale du devenir ;
3. les premiers éléments différentiels nécessaires pour comprendre comment un champ temporel produit des phénomènes visibles.

ces outils s'appuient implicitement sur le régime basal morphogénique, état de référence du champ

Mais rien de cela ne suffit encore pour expliquer :

- les courbes de rotation,
- les asymétries des galaxies,
- la formation de Freeze Spheres,
- les signatures morphogéniques divergentes entre galaxies "similaires",
- ni l'histoire interne du temps dans chaque système.

Pour franchir cette étape, il faut introduire trois outils majeurs :

1. la structure tri-phasée opératoire, distincte de la triade interne ;
2. la matrice des 9 gradients, qui décrit l'ensemble des régimes admissibles ;
3. le glissement morphogénique  $\chi$ , véritable moteur de la dynamique cosmologique locale.

Ce chapitre constitue donc le socle technique sur lequel reposera toute la suite de la Partie III.

## 34.2 — Le Champ Tri-Phasé : $\tau$ , $\sigma$ , $\Delta t$

### 34.2.1 — Rappel conceptuel

Le VLCC introduit un champ temporel unique, non géométrique, dont les trois composantes jouent un rôle distinct :

- $\tau(x,t)$  : dynamique interne du devenir ;
- $\sigma(x,t)$  : cohérence phénoménale, seuil d'existence du présent ;
- $\Delta t(x,t)$  : tension irréversible, vecteur orienté du devenir.

Ces trois composantes ne sont pas trois "objets séparés".

Elles sont trois états d'un même champ, exactement comme les trois composantes d'un vecteur expriment une seule entité.

### 34.2.2 — Passage de la structure interne à la structure opératoire

La triade interne ( $t_1, t_2, t_1'$ ) est la manière dont le temps se structure en lui-même.

Le champ tri-phasé ( $\tau, \sigma, \Delta t$ ) est la manière dont cette structure agit physiquement dans les galaxies.

Relation conceptuelle fondamentale :

Triplet = expression régimique interne du Champ tri-phasé

Ce lien est non métrique, non tensoriel, non géométrique :  
il exprime une continuité morphogénique — l'unité du temps, malgré sa division fonctionnelle.

### 34.3 — Pourquoi trois phases ? (Interprétation non géométrique)

Dans le VLCC, les trois phases ne sont ni des régions, ni des instants, ni des couches dynamiques séparées.

Elles représentent trois manières pour le champ temporel de se soutenir lui-même :

Phase	Composante dominante	Signification morphogénique	Rôle cosmologique
Phase $t_1'$	$\Delta t$ élevée	tension évolutive, pré-cohérence	amorce externe, zone d'extension
Phase $t_2$	$\sigma$ au-dessus du seuil	présent intriqué, cohérence active	zone vive, dynamique visible
Phase $t_1$	mémoire stabilisée	cohérence figée, mémoire	zones internes/matures

Aucun système astrophysique n'existe dans une seule phase :  
le champ circule entre elles, selon ses gradients.

### 34.4 — La Matrice des 9 Gradients Morphogéniques

Le champ tri-phased possède trois composantes ( $\tau, \sigma, \Delta t$ ).  
Chacune peut varier selon trois régimes ( $t_1, t_2, t_1'$ ).

Il existe donc 9 régimes différentiels, non 9 champs.

En régime basal morphogénique, les 9 gradients existent mais restent en-deçà de leurs seuils d'activation. Le champ temporel est structuré, mais non excité

### 34.4.1 — Le tableau canonique

Composante	Phase $t_1'$ (morphogénique)	Phase $t_2$ (présence active)	Phase $t_1$ (mémoire stabilisée)
$\tau$	$\nabla\tau$ intense, pré-cohérence	$\tau$ régulé	$\tau$ figé
$\sigma$	$\sigma \approx 0$ , pas de cohérence	$\nabla\sigma$ structurant	$\sigma$ plateau ( $\sigma'$ régulé par $t_2$ )
$\Delta t$	$\nabla\Delta t$ maximal	glissement modéré	$\Delta t \rightarrow 0$

### 34.4.2 — Interprétation

Les 9 gradients :

- ne multiplient pas les entités,
- ne créent pas une matrice  $3 \times 3$  autonome,
- décrivent simplement comment un champ unique se déploie en neuf régimes de variation.
- LITV impose  $\Delta t > 0$  : aucune configuration ne peut inverser la flèche temporelle.

Ils forment l'alphabet différentiel du VLCC.

De même que les phonèmes permettent les mots, les 9 gradients permettent les structures galactiques.

### 34.5 — Pourquoi ces 9 gradients sont indispensables ?

Parce qu'ils expliquent :

- les morphologies rotationnelles,
- les zones de transition interne/intermédiaire/externe,
- la montée puis le plateau des vitesses,
- la formation des Freeze Spheres,
- l'impossibilité des trous de ver,
- les signatures divergentes entre galaxies de même masse baryonique.

Chaque phénomène astrophysique majeur correspond à l'un de ces 9 régimes.

### 34.6 — Le Glissement Morphogénique $\chi$ : structure centrale de la Partie III

Défini par :  $\chi = t_1' / t_1$

Ce ratio mesure :

- l'opposition entre mémoire ( $t_1$ ) et tension ( $t_1'$ ),
- la polarisation du champ temporel,
- la dynamique profonde du système.

#### 34.6.1 — Trois régimes fondamentaux

$\chi$	Interprétation	Conséquence
$\chi \approx 1$	équilibre interne	montée régulière
$\chi > 1$	tension dominante	plateau élevé
$\chi \gg 1$	mémoire effacée	zone externe stable, pré-Freeze

### **34.6.2 — Lien avec le champ tri-phasé**

Un  $\chi$  élevé signifie :

- $\Delta t$  très dominant,
- $\sigma$  saturant,
- $\tau$  très régulé.

C'est exactement le contexte d'une Freeze Sphere.

### **34.6.3 — Lien avec les 9 gradients**

$\chi$  agit comme sélecteur :

il détermine quel gradient parmi les 9 devient actif dans une région donnée.

## **34.7 — L'histoire morphogénique locale : un élément déterminant**

Un apport décisif du VLCC (et nouveau dans cette version du traité) est :

Chaque galaxie possède une histoire temporelle propre, qui détermine son profil  $\chi(r)$  et la manière dont les 9 gradients sont activés.

Ainsi :

- deux galaxies de même masse baryonique peuvent avoir des courbes rotationnelles totalement différentes ;
- la diversité observée n'est plus un problème — elle devient prédictive, nécessaire ;
- les voies "majoritaires" galactiques émergent comme en mécanique quantique : certains régimes sont statistiquement favorisés.

## 34.8 — Synthèse du Chapitre 34

Ce chapitre établit :

1. Le rôle opératoire du champ tri-phased : support unique de la dynamique cosmique.
2. La matrice des 9 gradients : structure différentielle complète du temps.
3. Le glissement  $\chi$  : moteur morphogénique, clef de lecture des galaxies.
4. La dépendance historique des profils rotationnels : les galaxies reflètent leur passé temporel, pas seulement leur masse baryonique.
5. La prédictibilité structurale : les régimes extrêmes, Freeze Spheres, asymétries, plateaux... émergent naturellement de la dynamique tri-phasede.

Ces éléments permettent maintenant de franchir l'étape suivante.

## CHAPITRE 35 — Dynamique interne du temps : régimes, transitions et émergence morphogénique

### 35.1 — Position du chapitre dans la Partie III

Le Chapitre 34 présentait :

- les 9 gradients du champ tri-phased,
- la structure différentielle de  $\sigma, \tau, \Delta t$ ,
- la définition opérationnelle du glissement  $\chi$ ,
- les premières conséquences dynamiques pour les galaxies.

Avec le Chapitre 35, on franchit un seuil supplémentaire :

on étudie maintenant la dynamique interne du temps lui-même, c'est-à-dire la manière dont  $t_1, t_2$  et  $t_1'$  évoluent, interagissent et génèrent les trois régimes morphogéniques universels :

1. régime interne dominé par  $t_1$ ,
2. régime de transition structuré par  $t_2$ ,
3. régime externe piloté par  $t_1'$ .

Clarification : dominant ne signifie jamais divergent. LRTG et l'équation-cadre  $\Sigma \Phi_i = 0$  imposent des bornes structurelles empêchant tout emballement de  $t_1'$ .

Cette dynamique est le cœur du VLCC, car elle donne naissance :

- au rayon morphogénique  $r^*$ ,
- à la montée du glissement  $\chi(r)$ ,
- aux plateaux rotationnels,
- à la persistance externe de la tension temporelle,
- à la cohérence morphogénique globale.

Ici Le rayon morphogénique  $r^*$  est défini par :

$$\sigma''(r) = 0^*$$

Il marque la bascule  $t_1 \rightarrow t_2$ .

Le questionnement directeur devient :

Comment le temps passe-t-il d'un régime à un autre ?  
Et comment ce passage devient-il observable dans les galaxies ?

## 35.2 — Les trois régimes morphogéniques du temps

Les composantes du triplet  $(t_1, t_2, t_1')$  ne fonctionnent jamais simultanément.  
Elles s'alternent, se relaient, se pondèrent.

Le VLCC affirme :

Tout système gravitationnel relaxé traverse nécessairement trois régimes temporels hiérarchisés : interne → transition → externe.

Ces régimes ne sont pas imposés par la matière barique :  
c'est la structure interne du temps qui dicte leur existence.

### **35.2.1 — Régime interne : domination de la mémoire $t_1$**

Dans les régions centrales d'un système astrophysique, on observe :

- forte densité baryonique,
- cohérence  $\sigma$  élevée,
- gradients faibles de  $\Delta t$ .

Dans ce contexte, la mémoire  $t_1$  domine :  $t_1 \gg t_2$  et  $t_1 \gg t_1'$ .

Ce régime se caractérise par :

- une dynamique baryonique classique,
- des vitesses croissantes,
- une cohérence temporelle quasi-isotrope,
- un glissement  $\chi \approx$  constant et faible.

C'est l'unique endroit où la physique « classique » fonctionne presque sans correction morphogénique.

### **35.2.2 — Régime intermédiaire : structuration par le présent intriqué $t_2$**

Lorsque  $\sigma(r)$  commence à perdre sa concavité, le présent intriqué  $t_2$  devient le régulateur principal.

Ce régime intermédiaire est essentiel pour trois raisons :

1. Il stabilise la transition interne/externe.
2. Il empêche l'effondrement dynamique dû à la perte de  $t_1$ .
3. Il canalise la montée du glissement  $\chi(r)$ .

Sans  $t_2$ , les galaxies seraient instables, incapables de former des plateaux rotationnels robustes.

Signature clef :

Le régime  $t_2$  est la région où le plateau rotationnel prend naissance.

### **35.2.3 — Régime externe : domination de la tension évolutive $t_1'$**

Dans les zones externes, loin du cœur baryonique :

- $t_1$  devient négligeable,
- $\sigma(r)$  entre en saturation,
- $\Delta t$  impose une tension irréversible.

Le temps n'est plus mémoire ni corrélation :  
il devient tension évolutive.

Ce régime génère :

- plateaux prolongés,
- croissance du glissement  $\chi(r)$ ,
- absence stricte de régime képlérien,
- lente décroissance externe,
- anisotropies temporelles faibles,
- pression temporelle résiduelle.

## **35.3 — Les transitions : comment un régime devient un autre**

Les transitions ne sont pas libres : elles sont imposées par les 9 gradients du champ triphasé.

A noter : Un régime  $v \propto r^{-1/2}$  stable exigerait une décroissance strictement képlérienne de la masse effective  $M_{eff}(r)$ .

Or la masse morphogénique  $M_T(r)$  garde toujours une composante résiduelle due à la structure de  $\sigma(r)$ , empêchant toute stabilisation képlérienne stricte et durable.

### **35.3.1 — Transition interne → intermédiaire : rôle de $\nabla\sigma$**

Quand la dérivée seconde  $\sigma''$  devient nulle :

$$\sigma''(r^*) = 0,$$

un basculement se produit :

- le  $t_1$  cesse de structurer,
- le  $t_2$  prend le relais,
- les gradients  $\nabla\sigma$  et  $\nabla\Delta t$  se recombinent pour initier la croissance du glissement  $\chi(r)$ .

C'est l'origine ontologique du rayon morphogénique  $r^*$ .

la condition  $\sigma''(r^*) = 0$  n'est pas une simple dérivée nulle, mais une condition morphogénique dérivée de la combinaison LPHD + LCFT + équation-cadre.

### 35.3.2 — Transition intermédiaire → externe : rôle de $\nabla\Delta t$

Quand  $\nabla\Delta t$  dépasse un seuil critique morphogénique :

$$|\nabla\Delta t| > K_c,$$

alors :

- $t_1'$  devient dominant,
- $t_2$  régule seulement,
- la structure externe de la galaxie apparaît,
- le glissement  $\chi$  entre en régime d'accélération.

## 35.4 — Équation schématique du Triplet (sans forme finale)

Pour ne pas anticiper le Chapitre 36, on donne ici une version conceptuelle :

$$\begin{cases} \ddot{t}_1 = -\alpha_1 \nabla\sigma + \beta_1 t_2 \\ \ddot{t}_2 = \alpha_2 (\nabla\sigma - \nabla\Delta t) - \beta_2 t_2 \\ \ddot{t}_1' = \alpha_3 \nabla\Delta t + \gamma t_2 \end{cases}$$

La forme exacte vient dans le chapitre suivant ;  
ici on retient :

- $t_1$  décroît avec la perte de cohérence,
- $t_2$  est maximal lorsque  $\nabla\sigma \approx \nabla\Delta t$ ,
- $t_1'$  croît avec la tension externe  $\Delta t$ .

C'est cette structure qui crée les trois régimes.

### 35.5 — Le glissement $\chi$ comme traceur des transitions

Rappel :

$$\chi(r) = t_1' / t_1$$

Les trois régimes du temps correspondent exactement aux trois régimes de  $\chi$  :

Régime temporel	Régime de $\chi$
Dominé par $t_1$	$\chi \approx$ constant, faible
Dominé par $t_2$	$\chi$ croissant régulièrement
Dominé par $t_1'$	$\chi$ élevé, quasi saturé

Le glissement est donc la signature directe des transitions temporelles internes.

### 35.6 — Conséquences physiques et observations

Les transitions du triplet créent :

- Le rayon morphogénique  $r^*$

Transition  $t_1 \rightarrow t_2$ .

- Le plateau rotationnel

Régulation  $t_2$ .

- L'absence de régime képlérien

Dominance  $t_1'$ .

- La lente décroissance externe

Saturation  $\sigma$ , tension  $\Delta t$ .

- Les anisotropies faibles

Orientation héritée de  $\nabla \Delta t$ .

- Les fluctuations du gaz H I

Sensibilité au triplet externe.

### 35.7 — Tableau récapitulatif du chapitre

Élément	Régime interne	Transition	Régime externe
<b>Composante dominante</b>	$t_1$	$t_2$	$t_1'$
<b>Signature rotationnelle</b>	montée baryonique	plateau	décroissance lente
<b>Gradient pilote</b>	$\nabla \sigma$	$\nabla \sigma \approx \nabla \Delta t$	$\nabla \Delta t$
<b>Glissement <math>\chi</math></b>	faible	croissant	élevé
Observation	Gaia (interne)	plateaux (optique, H I)	gaz externe, lentilles

### 35.8 — Synthèse finale du Chapitre 35

Ce chapitre établit un point fondamental :

Le temps ne se contente pas d'exister :

il change de régime interne selon l'environnement gravitationnel et ces changements gouvernent les dynamiques observables.

Nous avons montré :

- l'existence universelle des trois régimes  $t_1, t_2, t_1'$ ,
- la structure des transitions imposée par les 9 gradients,
- la signification du glissement  $\chi$  comme traceur temporel,
- l'origine temporelle des principaux phénomènes rotationnels.

Le VLCC n'explique pas les galaxies par une matière invisible, mais par une dynamique interne du temps.

Le Chapitre 36 introduira :

- l'équation dynamique complète du triplet,
- les solutions quasi-statiques,
- le lien direct avec les courbes rotationnelles réelles.

## CHAPITRE 36 — Dynamiques combinées du Triplet et émergence des régimes morphogéniques

### 36.1 — Pourquoi un chapitre dédié aux “dynamiques combinées” ?

Le Chapitre 35 a formulé l'ansatz dynamique minimal du Triplet morphogénique :

$$\left\{ \begin{array}{l} \ddot{t}_1 = -\alpha_1 \nabla \sigma + \beta_1 t_2 \\ \ddot{t}_2 = \alpha_2 (\nabla \sigma - \nabla \Delta t) - \beta_2 t_2 \\ \ddot{t}_1' = \alpha_3 \nabla \Delta t + \gamma t_2 \end{array} \right.$$

Le point au-dessus de  $\ddot{t}$  désigne la dérivée temporelle dans le sens du champ triphasé, pas une dérivée newtonienne.

Ce système est simple dans sa forme, mais extraordinairement riche dans ses implications :

- il organise toute la transition interne → plateau → régime externe,
- il règle la manière dont le temps se redistribue entre mémoire et tension,
- il détermine comment émergent plateaux rotationnels,  $r^*$ , anisotropies, décroissance externe,
- il encode la morphogénèse complète des galaxies.
- Il est local, effectif, et n'est pas une nouvelle loi morphogénique.

Le rôle de ce chapitre est donc clair : extraire les régimes naturels du système et en donner une lecture opérationnelle utilisable dans les chapitres observationnels suivants (Gaia DR3, galaxies naines...).

### **36.2 — Trois régimes naturels du Triplet : interne, intermédiaire, externe**

Le système dynamique possède trois régimes attractifs qui correspondent exactement aux trois zones rotationnelles usuelles des galaxies.

Cela n'est pas un choix du modèle :  
c'est une conséquence mathématique de la structure du Triplet.

#### **36.2.1 — Régime I : domaine interne (dominé par $t_1$ )**

Conditions caractéristiques :

- $\nabla\sigma$  fort
- $\nabla\Delta t \approx 0$
- $t_2$  encore faible
- $t_1' \ll t_1$

Équations dominantes :

$$\ddot{t}_1 \approx -\alpha_1 \nabla\sigma$$

$$\ddot{t}_1' \approx 0$$

Interprétation :

- le temps se structure autour de la matière baryonique,
- la mémoire morphogénique domine,
- dynamique quasi-newtonienne,
- montée rotationnelle.

Signature observable :

- $v(r)$  croissante,
- baryons comme pilote principal.

C'est la zone "classique", mais déjà dans un cadre temporel.

### 36.2.2 — Régime II : zone intermédiaire ( $t_2$ devient régulateur)

Conditions :

- $\nabla\sigma$  décroît
- $\nabla\Delta t$  commence à apparaître
- $t_2 \approx t_1$
- $t_1' \approx t_1$

Équation dominante :

$$\ddot{t}_2 = \alpha_2 (\nabla\sigma - \nabla\Delta t) - \beta_2 t_2$$

Le point clef :

- $t_2$  n'est pas un état,
- $t_2$  est un régulateur dynamique.

Rôle de  $t_2$  :

- amortit la décroissance de  $t_1$ ,
- stabilise l'apparition de  $t_1'$ ,
- crée un point d'équilibre morphogénique.

Conséquence majeure :

$r^*$  apparaît exactement comme le point où la dynamique de  $t_2$  s'équilibre.

Observables associées :

- fin de la montée rotationnelle,
- début du plateau.

### 36.2.3 — Régime III : zone externe (dominé par $t_1'$ )

Conditions :

- $\nabla\sigma \approx 0$
- $\nabla\Delta t$  saturé
- $t_1 \rightarrow 0$
- $t_1' \gg t_1$  ( $\chi$  très élevé)

Équation dominante :

$$\ddot{t}_1' = +\alpha_3 \nabla\Delta t + \gamma t_2$$

Effets :

- le temps passe sous contrôle de la tension évolutive,
- la cohérence  $\sigma$  se fige,
- la masse morphogénique  $MT(r)M\_T(r)MT(r)$  devient linéaire en  $r$ ,
- la décroissance des vitesses devient lente, jamais képlérienne.

Signature cinématique :

- plateau prolongé,
- décroissance lente,
- anisotropies externes ( $\sim 1\text{--}3\%$ ),
- gaz H I sensible aux fluctuations.

### 36.3 — Le rôle central du glissement $\chi(r)$ dans la transition entre régimes

Le ratio :

$$\chi(r) = t_1' / t_1$$

n'est pas une quantité secondaire.  
Il mesure l'état du système temporel.

Interprétation dynamique :

- $\chi \ll 1$  : mémoire  $\rightarrow$  baryons  $\rightarrow$  montée interne
- $\chi \approx 1$  : compétition  $\rightarrow t_2 \rightarrow r^* \rightarrow$  plateau
- $\chi \gg 1$  : tension  $\rightarrow M_T \rightarrow$  décroissance externe

Interprétation géométrique :

$\chi$  représente la manière dont :

- la matière déforme le temps en  $t_2$ ,
- et le temps redistribue la dynamique en  $t_1'$ .

C'est l'indicateur unique qui connecte :

- la tri-phase  $(\tau, \sigma, \Delta t)$ ,
- le Triplet,
- les 9 gradients,
- les observables galactiques.

### 36.4 — Les attracteurs morphogéniques du système

Le système dynamique possède trois attracteurs :

Attracteur	Condition	Interprétation	Zone galactique
A <sub>1</sub>	$t_1' \rightarrow 0 t_1' \backslash t_0 0 t_1' \rightarrow 0$	mémoire baryonique	interne
A <sub>2</sub>	$t_2 t_2 t_2$ stabilise	$r^*$ , plateau	intermédiaire
A <sub>3</sub>	$t_1' \rightarrow t_1' \backslash t_0 t_1' \rightarrow$ saturation	tension morphogénique	externe

Ce n'est pas un choix du modèle : c'est une conséquence du système d'équations.

La compensation ne modifie pas la gravité : elle modifie la structure temporelle qui produit la gravité.

Même dans les zones externes où  $t_1'$  domine,  $t_2$  reste le régulateur principal des fluctuations radiales et garantit la stabilité morphogénique du régime III.

### 36.5 — Ce que produit le système dynamique (sans aucun ajustement)

1. Une montée baryonique naturelle  
→ due à la dominance de  $t_1$  et  $\nabla \sigma$ .
2. Un rayon morphogénique  $r^*$   
→ lieu où  $t_2$  compense  $\nabla \sigma - \nabla \Delta t$ .
3. Un plateau rotationnel  
→ équilibre dynamique entre gradients, régulé par  $t_2$ .
4. Une décroissance lente externe  
→ conséquence directe de la croissance de  $t_1'$ .
5. Aucune chute képlérienne stable  
→  $M_T(r)$  ne décroît jamais.
6. Des anisotropies temporelles  
→ héritage directionnel de  $\nabla \sigma$  et  $\nabla \Delta t$ .
7. Des fluctuations du gaz corrélées à  $\chi$   
→ signature unique du VLCC.

## 36.6 — Synthèse du Chapitre 36

Ce chapitre établit clairement :

- Comment les trois composantes  $t_1, t_2, t_1'$  interagissent pour produire les trois zones galactiques.
- Pourquoi la transition interne  $\rightarrow$  plateau  $\rightarrow$  externe ne nécessite aucun paramètre libre.
- Pourquoi  $r^*$  est une conséquence dynamique et non un ajustement.
- Pourquoi  $\chi$  est la clé de lecture universelle.
- Comment les attracteurs  $A_1-A_2-A_3$  structurent toutes les galaxies relaxées.

Ce chapitre sert donc d'interface dynamique entre la théorie (33–35) et les tests observationnels (Gaia, galaxies naines).

# CHAPITRE 37 — Glissement, signatures dynamiques et conditions de cohérence

## 37.1 — Position du chapitre dans la logique de la Partie III

Les chapitres 33 à 36 ont posé les fondations :

- le triplet morphogénique  $(t_1, t_2, t_1')$  comme opérateur dynamique ;
- le champ tri-phased  $\{\tau, \sigma, \Delta t\}$  comme substrat unique du temps ;
- les 9 gradients morphogéniques comme structure différentielle fondamentale ;
- le glissement  $\chi = t_1' / t_1$  comme mesure de la polarisation temporelle.

Mais ces éléments restent, pour l'instant, des objets structurants.

Il manque une pièce essentielle : leur expression dynamique interne, c'est-à-dire :

Comment le triplet évolue-t-il réellement dans une galaxie ?

Quelles conditions garantissent sa cohérence ?

Quelles configurations mènent à la stabilité, aux plateaux rotationnels ou aux zones externes ?

Ce chapitre apporte cette transition décisive.

## 37.2 — Le triplet comme système dynamique interne

Le triplet n'est pas un triplet « statique ».

Il évolue selon trois régimes temporels étroitement couplés :

- $t_1$  : mémoire morphogénique
- $t_2$  : présent intriqué / cohérence active
- $t_1'$  : tension évolutive

Leur dynamique peut être modélisée localement par un système de trois équations :

$$\begin{cases} \ddot{t}_1 = -\alpha_1 \nabla \sigma + \beta_1 t_2 \\ \ddot{t}_2 = \alpha_2 (\nabla \sigma - \nabla \Delta t) - \beta_2 t_2 \\ \ddot{t}_1' = \alpha_3 \nabla \Delta t + \gamma t_2 \end{cases}$$

Ce système ne constitue pas une nouvelle loi :

c'est la transcription locale, effective, de la tri-phase sous les contraintes des 9 gradients.

Lecture intuitive

- Lorsque  $\nabla \sigma$  augmente, le temps se stabilise  $\rightarrow t_1$  monte,  $t_2$  se renforce.
- Lorsque  $\nabla \Delta t$  domine, la tension évolutive prend le dessus  $\rightarrow t_1'$  croît.
- Lorsque  $t_2$  baisse, tous les régimes se déstructurent.

Ainsi :

Une galaxie stable est une galaxie où  $t_2$  reste au-dessus d'un seuil morphogénique.

Une galaxie en montée de plateau est une galaxie où  $t_1'$  augmente plus vite que  $t_1$ .

Une galaxie externe (zone III) est une galaxie où  $t_1 \rightarrow 0$  et  $t_1' \rightarrow \text{const.}$

## 37.3 — Le glissement $\chi$ comme partition dynamique du temps

Défini par :

$$\chi = t_1' / t_1$$

le glissement  $\chi$  n'est pas seulement un ratio :

c'est la mesure canonique de l'état morphogénique d'un système.

Trois régimes naturels

Régime morphogénique	Condition $\chi$	Interprétation
Zone I – interne	$\chi < 3$	dominante baryonique, montée cohérente
Zone II – intermédiaire	$3 < \chi < 10$	transition présente/cohérence externe
Zone III – externe	$\chi \gg 10$	saturation, pré-Freeze Sphere

Important : ces échelles ( $\chi < 3, 3-10, \gg 10$ ) sont morphogéniques et qualitatives, non des seuils numériques absolus.

Le glissement devient la véritable horloge morphogénique :

- $\chi$  faible  $\rightarrow$  cohérence baryonique
- $\chi$  moyen  $\rightarrow$  apparition des plateaux
- $\chi$  élevé  $\rightarrow$  approche du régime externe
- $\chi \rightarrow \infty \rightarrow$  conditions de Freeze Sphere (chap. 38)

Mini-synthèse :

$\chi$  détermine où la galaxie se situe dans son histoire.

Ce n'est pas une grandeur auxiliaire :  
c'est l'indicateur principal de la dynamique rotationnelle.

### 37.4 — Principe de Compensation Morphogénique : régulation automatique de la gravité par le glissement

L'un des résultats les plus significatifs du VLCC est que la gravité — comprise comme la modulation des durées et des distances autour d'une masse — ne peut jamais diverger, ni dépasser les bornes fixées par les constantes morphogéniques, les lois et l'équation-cadre.

Cette stabilité n'est pas un ajustement externe :

elle provient d'un mécanisme interne, inscrit dans la structure même du champ temporel tri-phased : le principe de compensation morphogénique.

### **37.4.1 — Origine du mécanisme : réponse immédiate du triplet**

Lorsqu'une concentration de masse augmente localement la cohérence  $\sigma(r)$ , le gradient directionnel  $\sigma'$  s'accroît.

- Dans le VLCC, une telle croissance active automatiquement l'ensemble du triplet :
  - la tension évolutive  $t_1'$  augmente,
  - la mémoire  $t_1$  tend à décroître,
  - et le glissement  $\chi = t_1' / t_1$  s'élève mécaniquement.
- Cette réaction découle directement :
  - de LPHD (stabilité primitive),
  - de LCFT (régulation de la cohérence),
  - de l'équation-cadre  $\Sigma\Phi_i = 0$ .

### **37.4.2 — Le glissement comme amortisseur du champ**

Quand  $\chi$  augmente :

- les gradients se lissent,
- les dérivées supérieures ( $\sigma'', \nabla\Delta t$ ) sont amorties,
- les variations trop rapides sont dissipées,
- la croissance de la masse temporelle  $M_T$  est freinée,
- le système est repoussé vers le régime  $t_2$ , stabilisateur.

### **37.4.3 — Formulation du principe**

Principe de Compensation Morphogénique :

Dans le VLCC, toute augmentation locale de cohérence  $\sigma$  et donc de gravité induit une augmentation automatique du glissement  $\chi$ .

Cette augmentation ramène la configuration du champ temporel dans la région stable définie par les constantes morphogéniques, les lois et l'équation-cadre  $\Sigma\Phi_i = 0$ .

### **37.4.4 — Conséquences dynamiques majeures**

1. La gravité VLCC est bornée.
2. Formation automatique des plateaux rotationnels.
3. Stabilisation des zones externes.
4. Barrière ultime : la Freeze Sphere.
5. Aucune nécessité d'ajouter un halo de matière noire.

### **37.4.5 — Synthèse**

Le Principe de Compensation Morphogénique assure que :

- le champ temporel ne diverge jamais,
- la gravité reste dans les bornes morphogéniques,
- les galaxies se stabilisent naturellement,
- les phénomènes extrêmes sont structurellement impossibles.

La gravité est lue dans  $t_2$ , produite par la masse, mais contrôlée par la dynamique interne du temps.

## **37.5 — Signatures dynamiques du glissement**

Le glissement morphogénique possède trois signatures directes dans les courbes rotationnelles :

### **1) La montée interne**

Lorsque  $\chi$  est faible :

- $t_1$  domine,
- $t_2$  croît régulièrement,
- $t_1'$  augmente lentement.

Signature :

$$v(r) \propto \sqrt{\sigma(r)}$$

La montée interne n'est pas gravitationnelle au sens newtonien : elle est tempospatiale :  $\sigma$  construit le présent, et le présent structure les vitesses.

## 2) Le quasi-plateau

Lorsque  $\chi$  croît rapidement :

- $t_1$  décroît,
- $t_1'$  devient stable,
- $t_2$  régule le tout.

Signature :

$$v(r) \approx \text{const.}$$

Le plateau n'est ni MOND, ni matière noire, ni baryonique : C'est la région où  $t_2$  atteint sa stabilité morphogénique maximale. Le quasi-plateau est donc une signature directe du présent  $t_2$ .

## 3) La décroissance externe

Lorsque  $\chi \gg 10$  :

- $t_1 \rightarrow 0$ ,
- $t_1' \rightarrow \text{plateau}$ ,
- $\sigma \rightarrow \sigma^\infty$ .

Signature :

$$v(r) \propto r^{-1/2}$$

On retrouve une décroissance douce, cohérente, régulée par la saturation de  $\sigma$ . Aucune matière noire, aucune métrique exotique.

## 37.6 — Conditions de cohérence morphogénique

Pour que la dynamique interne  $t_1 - t_2 - t_1'$  reste stable, trois conditions doivent être satisfaites :

### **(1) Condition de cohérence : $t_2 \geq t_{2,\min}$**

Si  $t_2$  tombe sous un seuil critique :

- la cohérence du présent s'effondre,
- les gradients deviennent chaotiques,
- $\chi$  devient non interprétable.

C'est l'équivalent morphogénique de la perte de structure d'un système physique.

### **(2) Condition d'irréversibilité : $\Delta t$ jamais nul**

$\Delta t$  impose la flèche du temps.

Si  $\Delta t \rightarrow 0$ , on perdrait :

- la dissymétrie interne,
- la direction de la dynamique,
- l'unité du triplet.

Dans le VLCC, cela est impossible (LITV).

### **(3) Condition d'amortissement : $\nabla\sigma$ régulé par $t_2$**

Lorsque  $t_2$  régule  $\nabla\sigma$  :

- les gradients restent dans l'un des 9 régimes admissibles,
- aucun trou de ver n'est possible,
- le système converge vers une solution stable.

C'est la clef morphogénique expliquant :

- pourquoi les galaxies existent,
- pourquoi elles se stabilisent,
- pourquoi elles ne divergent jamais vers des structures exotiques.

## 37.7 — Synthèse du Chapitre 37

Ce chapitre établit un outil de lecture fondamental :

Le glissement  $\chi$  est la variable pivot de la dynamique galactique.

Il organise :

- la montée interne,
- le quasi-plateau,
- la décroissance externe.

Le triplet dynamique :

$(t_1, t_2, t_1')$

constitue la machine interne du temps.

Les 9 gradients sont son alphabet différentiel.

Et les conditions de cohérence imposent l'espace de solutions admissibles.

Le temps devient une dynamique mesurable.

Les chapitres suivants (Gaia, galaxies naines, halos, Freeze Spheres) pourront désormais :

- utiliser  $\chi(r)$  pour reconstruire les profils rotationnels,
- interpréter les observations comme des signatures du temps,
- déterminer l'histoire morphogénique d'un système,
- distinguer les voies majoritaires des voies mineures.

## **CHAPITRE 38 — Constantes morphogéniques et articulation des nouveaux concepts avec les lois fondamentales**

### **38.1 — Objet du chapitre : relier les nouveaux concepts aux lois, principes et équation-cadre ouverte**

Les Chapitres 33 à 37 ont introduit les nouveaux objets opératoires de la Partie III :

- le triplet morphogénique  $(t_1, t_2, t_1')$ ,
- le champ tri-phased  $\{\tau, \sigma, \Delta t\}$ ,
- les 9 gradients morphogéniques,
- le glissement  $\chi$ ,
- et les premières dynamiques émergentes.

Ces concepts sont indispensables, mais leur valeur théorique ne devient réelle que lorsqu'ils sont replacés dans le cadre complet du VLCC, c'est-à-dire :

- les constantes morphogéniques,
- les lois fondamentales (LPHD, LCFT, LRTG...),
- les conditions variationnelles  $\sum \Phi_i = 0$ ,
- et le régime basal morphogénique.

Ce chapitre recèle et ré-ancre l'ensemble pour éviter l'écueil classique :  
*introduire des structures nouvelles sans les arrimer explicitement au socle théorique.*

### **38.2 — Les constantes morphogéniques : architecture invariante du temps**

Dans le VLCC, il n'existe aucune constante numérique ad hoc.

Les constantes sont structurelles, ontologiques. Elles imposent des relations invariantes.

Elles sont au nombre de trois. Ces trois constantes ne sont pas des paramètres : elles sont des obligations structurelles.

### **38.2.1 — Première constante : la triade $\{t_1, t_2, t_1'\}$**

La triade est une constante structurelle car :

- elle existe dans tout système,
- sa nature ne dépend pas de l'environnement,
- elle fixe l'orientation du temps,
- elle impose l'asymétrie temporelle irréversible.

La triade est l'ossature interne du temps morphogénique.

Dans la Partie III, le triplet morphogénique en est l'expression opératoire.

### **38.2.2 — Deuxième constante : les lois morphogéniques**

Les lois LPHD, LCFT, LRTG... sont des constantes dynamiques, au sens où :

- elles ne changent pas d'une galaxie à l'autre,
- elles fixent les seuils, gradients, bornes,
- elles autorisent certains régimes et interdisent d'autres (trous de ver, inversions, effondrements de cohérence),
- elles structurent l'évolution de  $\sigma, \tau, \Delta t$ .

Elles jouent le rôle équivalent d'une structure de couplage, mais sans nombre : elles imposent la forme, pas la valeur.

### **38.2.3 — Troisième constante : l'équation-cadre variationnelle $\Sigma\Phi_i = 0$**

L'équation-cadre est la constante régulatrice ultime du VLCC.

Elle impose :

- les solutions morphogéniques admissibles,
- la stabilité du présent  $t_2$ ,
- l'irréversibilité  $\Delta t > 0$ ,
- l'impossibilité des inversions topologiques,
- l'encadrement des gradients autorisés ( $G_1-G_9$ ).

C'est l'équivalent, dans ce modèle, d'une action stationnaire universelle.

L'équation-cadre reste ouverte à l'ajout de possibles nouvelles lois qui pourraient être découvertes dans des prochains travaux VLCC à venir.

### **38.3 — Le régime basal morphogénique : la référence universelle**

Le régime basal morphogénique est l'état minimal, stable, interne du champ temporel.

Il se définit comme l'état où :

- la triade  $\{t_1, t_2, t_1'\}$  s'auto-stabilise,
- $\sigma$  reste au-dessus de son seuil critique,
- les gradients existent mais ne sont pas amplifiés,
- aucune dynamique extrême n'est activée (ni freeze sphere, ni gradients forts, ni glissements extrêmes).

Il constitue :

- une constante structurelle dérivée de la triade,
- une condition initiale universelle,
- un niveau de référence pour  $\chi$ ,
- la base à partir de laquelle les galaxies divergent morphologiquement.

Toutes les histoires galactiques commencent dans ce régime, mais s'en écartent différemment.

### **38.4 — Comment les nouveaux concepts s'insèrent dans les lois**

#### **38.4.1 — Triplet et lois morphogéniques**

Chaque composante du triplet correspond à une loi :

$t_1 \rightarrow$  mémoire  $\rightarrow$  LPHD

$t_2 \rightarrow$  cohérence  $\rightarrow$  LCFT

$t_1' \rightarrow$  tension  $\rightarrow$  LRTG

Les lois ne sont pas un supplément au triplet : elles définissent la manière dont le triplet agit.

### 38.4.2 — Tri-phase et équation-cadre

Les trois couches  $\{\tau, \sigma, \Delta t\}$  satisfont  $\Sigma \Phi_i = 0$ .

Cela garantit que :

- $\tau$  ne peut diverger,
- $\sigma$  ne peut s'effondrer ni s'inverser,
- $\Delta t$  ne peut jamais changer de signe.

C'est cette structure qui rend les trous de ver impossibles, et les freeze spheres nécessaires lorsque les gradients s'alignent.

### 38.4.3 — 9 gradients et LPHD/LCFT

Les 9 gradients ne sont pas des ajouts : ils sont exigés par les lois.

Exemple :

- LCFT impose la régulation de  $\sigma'$ ,
- LPHD impose la modulation de  $\nabla \tau$ ,
- LRTG impose la réponse directionnelle de  $\Delta t$ .

Les gradients sont donc la traduction différentielle des lois morphogéniques.

### 38.4.4 — Gravité et Principe de Compensation Gravito-Morphogénique

Le Chapitre 37 a établi que toute concentration de masse produit une modification locale du temps ( $t_2$ ), visible comme un effet gravitationnel.

Mais cette modulation ne peut croître librement : elle doit rester compatible avec :

- les lois morphogéniques (LPHD, LCFT, LRTG),
- les invariants temporels,
- et l'équation-cadre  $\Sigma \Phi_i = 0$ .

Cela conduit naturellement au Principe de Compensation Gravito-Morphogénique :

Toute tension gravitationnelle croissante (due à la masse baryonique ou au gradient de cohérence) doit être compensée par une réponse morphogénique du système, principalement via  $t_2$  et la régulation de  $\sigma'$ , de manière à maintenir le champ temporel dans le domaine admissible fixé par les constantes morphogéniques.

Ce principe est la clef d'un fait fondamental : il n'existe aucune situation où la gravité pourrait "dépasser" ou violer les lois du VLCC.

Dès qu'une dynamique gravitationnelle devient trop intense, le système répond automatiquement :

- soit en créant du glissement  $\chi$ ,
- soit en redistribuant les gradients ( $G_1-G_9$ ),
- soit en saturant  $\sigma'$ ,
- soit en stabilisant  $t_2$ ,
- soit finalement en produisant des structures extrêmes (Freeze Spheres).

Ainsi, la gravité n'est pas un agent autonome : elle est inscrite et limitée par la dynamique tri-phasée.

C'est ce qui garantit la cohérence globale des galaxies, l'absence de singularités, et l'incompatibilité structurelle des trous de ver.

### 38.5 — Le glissement $\chi$ : rendu compatible avec les constantes

La définition  $\chi = t_1'/t_1$  est correcte mais doit être vue comme :

- structurée par la triade,
- bornée par LCFT et LRTG,
- régulée globalement par  $\Sigma\Phi_i = 0$ ,
- calibrée sur le régime basal,
- 
- observable uniquement après projection radiale  $\rightarrow \chi(r)$ .

Ainsi :

- $\chi$  ne peut diverger (lois + équation-cadre ouverte),
- $\chi$  ne peut s'annuler entièrement (triade),
- $\chi$  croît naturellement dans un système évolué (tension  $t_1'$ ),
- $\chi$  ne peut croître indéfiniment sous l'effet de la gravité, car le Principe de Compensation impose une réponse stabilisatrice de  $t_2$  et de  $\sigma'$ .
- $\chi(r)$  encode son histoire morphogénique locale.

### 38.6 — Conséquence majeure : le VLCC n'a aucune liberté arbitraire

Les nouveaux objets de la Partie III :

- ne sont pas libres,
- ne sont pas paramétriques,
- ne sont pas ajustables.

Ils se placent entièrement sous la contrainte :

- Triade (structure)
- Lois (dynamique)
- Équation-cadre (admissibilité)  
→ Solutions morphogéniques réelles

C'est ce qui rend le VLCC :

- strict,
- non arbitraire,
- falsifiable,
- cohérent dans toutes ses échelles.

### 38.7 — Synthèse du Chapitre 38

Ce chapitre a fixé officiellement :

- que le VLCC repose sur trois constantes qui ne sont pas des paramètres. Elles sont structurelles (triade, lois, équation-cadre),
- que toutes les nouvelles intronisations (triplet, tri-phase, gradients, glissement) doivent s'articuler à ces constantes,

- que ces relations interdisent les dérives, les singularités, les trous de ver,
- que  $\chi$  et  $\chi(r)$  reçoivent désormais une définition unifiée et cohérente.
- que la gravité elle-même est soumise au Principe de Compensation Gravito-Morphogénique, qui garantit qu'aucune dynamique gravitationnelle ne peut violer les constantes du modèle.

Ainsi, dans le VLCC, aucune dynamique gravitationnelle n'existe indépendamment de la réponse du triplet : gravité et compensation morphogénique sont deux faces d'un même processus.

Il sert de charnière entre :

- les concepts opératoires (33–37),
- les structures extrêmes (Freeze Spheres, 39),
- les implications cosmologiques et observationnelles (Gaia, 40–42).

## CHAPITRE 39 — Solutions analytiques $\sigma(r)$ et zones galactiques

### 39.1 — L'équation radiale morphogénique améliorée

L'objectif de ce chapitre est d'obtenir des solutions analytiques pour  $\sigma(r)$ , cohérence phénoménale du champ temporel, dans des galaxies quasi stationnaires.

Contrairement aux modèles classiques (Newton, MOND), la dynamique orbitale ne dépend pas directement de la masse baryonique, mais de la modulation radiale du présent temporel.

L'équation de base, dérivée de l'équation-cadre  $\Sigma\Phi_i = 0$ , du Lagrangien V8 et des lois morphogéniques, prend la forme :

$$d/dr (r^2 \sigma'(r)) = r^2 [A \rho_b(r) - B \chi(r) \tau'(r) + C \Delta t'(r)],$$

où :

- A exprime la compression baryonique (LPHD),
- B la fragilisation de la mémoire (variation de  $\tau$  modulée par  $\chi$ ),
- C la contribution de la tension évolutive (variation de  $\Delta t$ ).

Cette équation :

- n'est pas un champ gravitationnel,
- n'est pas une équation de potentiel,
- n'est pas un modèle de matière noire,
- mais l'équation d'équilibre interne du champ temporel distribué.

Son rôle est de déterminer comment  $\sigma(r)$  se met en place pour satisfaire simultanément :

- les lois morphogéniques,
- la tri-phase ( $t_1'$ ,  $t_2$ ,  $t_1$ ),
- l'invariant  $I = t_2^2 - t_1 t_1' > 0$ ,
- la gravité morphogénique,
- et la stabilité radiale du champ.

## 39.2 — Trois zones morphogéniques naturelles : I, II et III

Comme démontré au Chapitre 35 et dans l'Annexe D, la solution analytique de  $\sigma(r)$  organise spontanément l'espace en trois zones :

**Zone I** — Régime interne baryonique ( $0 \leq r \leq r_1$ )

Dominance :

$t_1$  (mémoire) et  $t_2$  (présent cohérent).

Gradients actifs :

$\nabla\sigma(t_2)$  stabilisant,

$\nabla\tau(t_1)$  structurant.

Signatures :

montée rapide des vitesses,  
cohérence maximale,  
 $\sigma(r) \approx \sigma_0 + a r^2$ .

### **Zone II** — Régime intermédiaire morphogénique ( $r_1 < r < r_2$ )

- Dominance :

alternance  $t_2 \leftrightarrow t_1'$ .

- Gradients actifs :

$\nabla\sigma(t_2)$  (régulation),

$\nabla\Delta t(t_2)$  (transition),

$\nabla\tau(t_1')$  (fragilisation de  $t_1$ ).

- Rôle :

réguler la transition entre zone baryonique et halo,

produire le plateau rotationnel,

accueillir les variations de  $\chi(r)$ .

- Solution :

polynôme cubique  $\sigma_{\{II\}}(r) = A + B r + C r^2 + D r^3$  (voir 39.3)

### **Zone III** — Régime externe ( $r \geq r_2$ )

- Dominance :

$t_1'$  (tension),

cohérence  $\sigma \rightarrow \sigma_\infty$ ,

mémoire  $t_1 \rightarrow$  faible.

- Gradients actifs :

$$\nabla \Delta t(t_1),$$

$$\nabla \sigma(t_1) \text{ en plateau,}$$

$$\nabla \tau(t_1') \text{ en relai.}$$

- Solutions :

$$\sigma_{\{III\}}(r) = \sigma_\infty - k/r$$

$$M_T(r) \propto r$$

$$v_c(r) \approx \text{const.}$$

Une Freeze Sphere correspond à un état limite de la Zone III :  $\sigma' \rightarrow 0^+$ .

### 39.3 — Classes de solutions analytiques pour $\sigma(r)$

**Zone I** : solution quadratique

$$\sigma_I(r) = \sigma_0 + a r^2,$$

$$\sigma_I'(r) = 2 a r,$$

$$\sigma_I''(r) = 2 a > 0.$$

Cette forme :

respecte LPHD (croissance mémoire),

stabilise le présent,

assure une montée rotationnelle quasi-newtonienne.

**Zone III** : solution en décroissance inverse

$$\sigma_{\{III\}}(r) = \sigma_\infty - k/r,$$

$$\sigma_{\{III\}}'(r) = k/r^2,$$

$$\sigma_{\{III\}}''(r) = -2k/r^3.$$

Cette classe est imposée par :

la dominance de  $\Delta t$ ,

la décroissance lente observée dans les halos,

la nécessité de  $M_T \propto r$  ( $v_c \approx \text{const}$ ).

### **Zone II : solution polynomiale cubique**

$$\sigma_{\{\text{II}\}}(r) = A + B r + C r^2 + D r^3,$$

coefficients déterminés par raccord  $C^1$  :

continuité de  $\sigma(r_1), \sigma(r_2)$ ,

continuité de  $\sigma'(r_1), \sigma'(r_2)$ .

Cette zone est entièrement morphogénique : elle est pilotée par la dynamique interne du triplet et par  $\chi(r)$ .

### **39.4 — Transitions induites par $\chi(r)$**

Le glissement morphogénique étendu  $\chi(r) = t_1'(r) / t_1(r)$  est la clé de lecture des transitions internes  $\leftrightarrow$  intermédiaires  $\leftrightarrow$  externes.

#### **Zone I $\rightarrow$ Zone II : seuil de fragilisation de la mémoire**

Lorsque  $\chi(r_1) \approx \chi_{\text{crit}}$ :

la mémoire  $t_1$  cesse d'être dominante,

la tension  $t_1'$  devient visible,

$\sigma(r)$  perd sa convexité constante.

**Zone II** → Zone III : seuil d'ouverture temporelle

Lorsque  $\chi(r_2) \gg 1$ :  
la tension domine,  
 $\sigma(r)$  atteint un plateau,  
 $\sigma'(r)$  adopte la loi  $\sim 1/r^2$ .

Ce seuil peut être associé à l'apparition de pré-freezes (38.6).

**Cas extrême** :  $\chi(r) \rightarrow \infty$

Correspond à une Freeze Sphere, où :

$t_1 \rightarrow 0$   
 $t_1'$  saturé  
 $\sigma' \rightarrow 0^+$   
 $t_2$  devenu asymptotiquement constant  
 $g_{\text{VLCC}} \rightarrow 0$  (secteur gravitationnel en extinction)

### 39.5 — Signatures typiques dans les zones I, II, III

**Zone I** : signatures internes

montée rotationnelle rapide  
cohérence forte  
gradients  $\nabla\sigma(t_2)$  et  $\nabla\tau(t_1)$   
impact baryonique dominant

**Zone II** : signatures intermédiaires

plateau rotationnel ( $v_c \approx \text{const}$ )  
 $\sigma(r)$  presque linéaire en  $r$   
 $\chi(r)$  en augmentation

transitions de concavité de  $\sigma(r)$

**Zone III : signatures externes**

décroissance lente

$$M_T(r) \propto r$$

$$\sigma(r) \rightarrow \sigma_\infty$$

gravité morphogénique asymptotique

pré-freezes possibles

Ces signatures sont universelles au sens statistique.

### 39.6 — Obtention des profils rotationnels

La vitesse de rotation est donnée par :

$$v_c(r) = G_0 [ M_b(r) + M_T(r) ] / r.$$

où la masse morphogénique est :

$$M_T(r) = 4\pi \int_0^r \rho_T(r') r'^2 dr'$$

et la densité temporelle :

$$\rho_T(r) = \alpha \sigma'(r).$$

Conséquences immédiates :

Zone I  $\rightarrow v(r) \propto r$

Zone II  $\rightarrow v(r) \approx \text{const}$

Zone III  $\rightarrow v(r)$  décroît faiblement

Une Freeze Sphere  $\rightarrow v(r)$  décroît plus vite.

## 39.7 — Lien analytique avec les Freeze Spheres

Une Freeze Sphere correspond à la limite de Zone III lorsque :

$$\begin{aligned}\sigma'(r) &\rightarrow 0^+ \\ \chi(r) &\rightarrow \infty \\ t_1 &\rightarrow 0 \\ t_1' &\rightarrow \text{plateau} \\ g_{\text{VLCC}} &\rightarrow 0\end{aligned}$$

Passage direct de Zone III à Freeze Sphere :

$$\begin{aligned}\lim_{\{r \rightarrow r_F\}} \sigma'(r) &= 0, \\ \lim_{\{r \rightarrow r_F\}} M_T(r) &= \text{const.}\end{aligned}$$

Ce qui signifie :

la dynamique orbitale s'éteint,  
l'espace n'est plus porteur d'inertie morphogénique,  
la gravité devient asymptotiquement nulle.

Une Freeze Sphere est donc une zone III entièrement saturée.

## 39.8 — Conditions de rupture et de stabilité (référence : Annexe C)

Les transitions I→II et II→III sont bornées par :

### 1. bornes sur les gradients

$$|\sigma'| \leq K_{\max},$$

$$|\Delta t| \leq (\Delta t)_{\max},$$

$$\chi \leq \chi_{\max}.$$

### 2. conditions de cohérence

$$t_2 \geq t_{2,\text{basal}},$$

sinon rupture du présent.

**3. conditions de mémoire**

$t_1(r) \geq t_{1,\min}$ ,

sinon effondrement local.

**4. condition d'absence d'inversion**

$t_1' \geq 0$ .

Ces bornes préludent au Chapitre 40 sur l'impossibilité des trous de ver.

## **39.9 — Conditions de rupture et de stabilité (référence : Annexe C)**

Les transitions I→II et II→III sont bornées par :

**1. bornes sur les gradients**

$|\sigma'| \leq K_{\max}$ ,

$|\Delta t| \leq (\Delta t)_{\max}$ ,

$\chi \leq \chi_{\max}$ .

**2. conditions de cohérence**

$t_2 \geq t_{2,\text{basal}}$ ,

sinon rupture du présent.

**3. conditions de mémoire**

$t_1(r) \geq t_{1,\min}$ ,

sinon effondrement local.

**4. condition d'absence d'inversion**

$t_1' \geq 0$ .

Ces bornes préludent au Chapitre 40 sur l'impossibilité des trous de ver.

## **39.10 — Synthèse du chapitre 39**

Le champ temporel distribué produit naturellement trois zones, trois régimes dynamiques et trois classes de solutions.

Ce chapitre montre que :

$\sigma(r)$  possède une forme universelle en trois pièces,  
les transitions sont contrôlées par  $\chi(r)$ ,  
les halos émergent de la Zone III,  
les Freeze Spheres sont le prolongement extrême de cette zone,  
la gravité morphogénique explique les signatures rotationnelles sans matière noire.

Ce résultat constitue la base du Chapitre 41, qui confrontera ces prédictions aux observations (Gaia DR3 et galaxies naines).

## **CHAPITRE 40 — Freeze Spheres, régimes externes et impossibilité des trous de ver**

Les chapitres précédents ont établi la structure du champ temporel distribué dans une galaxie :

le triplet morphogénique  $(t_1, t_2, t_1')$ ,  
le champ triphasé  $\{\tau, \sigma, \Delta t\}$ ,  
le glissement  $\chi(r) = t_1'(r) / t_1(r)$ ,  
les profils analytiques  $\sigma(r)$  en trois zones I/II/III,  
la masse morphogénique  $M_T(r)$  et la vitesse  $v_c(r)$ ,  
le rôle des lois morphogéniques et de l'équation-cadre  $\Sigma \Phi_i = 0$ .

Ce chapitre aborde les régimes extrêmes du modèle : ceux où le temps cesse progressivement de se réorganiser, jusqu'à atteindre un état limite appelé Freeze Sphere.

Les Freeze Spheres ne sont :

- ni des singularités,
- ni des « trous noirs temporels »,
- ni des trous de ver,
- ni des structures topologiques autonomes.

Elles constituent un attracteur morphogénique : une configuration limite vers laquelle converge toute région où les gradients temporels disparaissent, où la mémoire s'épuise et où seule subsiste une tension évolutive minimale.

#### **40.1 — Pourquoi la Freeze Sphere est d'abord temporelle avant d'être photonique**

La littérature astrophysique décrit souvent les bords extrêmes des galaxies comme des environnements radiatifs faibles, presque dépourvus de photons.

Le VLCC propose une lecture radicalement différente :

Une Freeze Sphere n'est pas définie par l'absence de lumière, mais par un état limite du temps.

Dans une région où :

- la mémoire  $t_1(r)$  s'effondre,
- la tension  $t_1'(r)$  ne peut plus diminuer (LRTG + LITV),
- la cohérence  $\sigma(r)$  atteint un plateau  $\sigma\infty$ ,
- les gradients du champ tri-phasé deviennent quasi nuls,
- le temps ne parvient plus à produire un présent différentiel.

C'est cette perte de capacité à se reconfigurer qui :

impose au photon un régime  $v \rightarrow 0$ ,

favorise la formation d'un réservoir de photons à fréquence nulle, conduit à un condensat photonique : état limite du champ photonique, imposé par la triphase affaiblie.

Le photon  $\nu \rightarrow 0$  n'est donc pas la cause de la Freeze Sphere :

c'est la conséquence de la structure extrême du champ temporel.

## 40.2 — Triplet saturé et condensat temporel-photonique

Les Parties I et II ont introduit le photon à fréquence nulle comme limite du spectre :

- durée effective tendant vers l'infini,
- absence d'oscillation,
- orientation temporelle conservée ( $\Delta t > 0$ ).

Dans une Freeze Sphere, cet état limite n'est plus seulement possible : il devient structurellement favorisé.

En Zone III avancée, le triplet morphogénique distribué entre dans un régime de saturation :

Effondrement de la mémoire profonde  
 $t_1(r) \rightarrow 0, \tau(r) \rightarrow 0$ .

Tension évolutive en plateau  
 $t_1'(r) \rightarrow t_1', \infty > 0$  (LRTG + LITV).

Cohérence figée  
 $\sigma(r) \rightarrow \sigma\infty,$   
 $\sigma'(r) \rightarrow 0^+$ .

Divergence du glissement  
 $\chi(r) = t_1'(r) / t_1(r) \rightarrow \infty$   
par disparition de  $t_1$ , non par explosion de  $t_1'$ .

Le temps est encore orienté ( $\Delta t > 0$ ), mais incapable de se reconfigurer.

Ce régime définit un condensat temporel-photonique :

- côté temporel : tri-phase affaiblie, gradients annulés ;
- côté photonique : réservoir de photons à  $v \rightarrow 0$ , lumière extrêmement froide, quasi stationnaire.

### 40.3 — Figement temporel : définition morphogénique

Un figement temporel n'est ni une coupure du temps, ni une absence de temps, ni une singularité.

C'est un état asymptotique du champ temporel dans lequel :

$t_1(r) \rightarrow 0$  : mémoire profonde éteinte,

$t_1'(r) \rightarrow \text{const.} \neq 0$  : tension évolutive minimale irréductible,

$\sigma'(r) \rightarrow 0^+$  : la cohérence phénoménale cesse de varier,

$\chi(r) = t_1' / t_1 \rightarrow \infty$  : la polarisation temporelle devient absolue.

Autrement dit :

Le temps ne disparaît pas — il devient extrêmement rigide, maintenu par une tension sans mémoire.

C'est un régime extrême du triplet morphogénique, mais parfaitement compatible avec les lois du VLCC, dès lors que les bornes de stabilité restent respectées.

### 40.4 — Lien explicite avec les zones I-II-III : de la Zone III à la Freeze Sphere

Le Chapitre 39 a montré que la solution analytique  $\sigma(r)$  organise spontanément l'espace en trois zones :

**Zone I** :  $0 \leq r \leq r_1$  — régime interne baryonique

$$\sigma_{\text{I}}(r) = \sigma_0 + a r^2$$

**Zone II** :  $r_1 < r < r_2$  — régime intermédiaire morphogénique

$$\sigma_{\text{II}}(r) = A + B r + C r^2 + D r^3$$

**Zone III** :  $r \geq r_2$  — régime externe

$$\sigma_{\{III\}}(r) = \sigma_\infty - k/r$$

La Freeze Sphere est le prolongement extrême de la Zone III.

**Zone III standard** (sans Freeze Sphere)

$\sigma(r) \rightarrow \sigma_\infty$  lentement,

$$\sigma'(r) \propto 1/r^2,$$

$$M_T(r) \propto r,$$

$$v_c(r) \approx \text{const.},$$

$t_1'$  dominant,  $t_1$  faible mais non nul,

$\chi(r)$  élevé mais fini.

### Pré-Freeze

Au-delà d'un certain rayon  $r_3 > r_2$  :

$\sigma'(r) < \epsilon_{\text{crit}}$  (très faible mais non nul),

$M_T(r)$  commence à saturer,

$t_1(r) \rightarrow$  très faible,

$t_1'(r) \approx$  plateau,

$\chi(r)$  croît rapidement.

La Zone III entre en régime pré-Freeze : le champ continue de structurer faiblement, mais ne produit plus de nouvelles hiérarchies internes.

### Freeze Sphere complete

Quand, dans une coquille radiale, les conditions suivantes sont satisfaites :

$\sigma'(r) < \epsilon_{\text{min}} \approx 0$ ,

$M_T(r) \rightarrow \text{const.}$ ,

$t_1(r) \rightarrow 0$ ,

$t_1'(r) \rightarrow t_1', \infty$ ,

$\chi(r) \rightarrow \infty$ ,

alors la Zone III se transforme en Freeze Sphere : une région morphogénique terminale où le temps n'a plus de gradient structurant.

La Freeze Sphere est donc une Zone III saturée, non un nouvel objet ajouté au schéma : elle prolonge naturellement la dynamique  $\sigma(r)$  et  $M_T(r)$  exposée au Chapitre 39.

## 40.5 — Conditions morphogéniques d'apparition (triplet + 9 gradients)

À partir du Master (Annexe D), une Freeze Sphere apparaît dès que deux familles de conditions sont simultanément réalisées :

### (1) Conditions sur le triplet distribué

-Effondrement de la mémoire

$$t_1(r) \rightarrow 0$$

(limite de LPHD, atteinte asymptotiquement :  $t_1$  ne devient jamais strictement nul à rayon fini).

-Saturation de la tension évolutive

$$t_1'(r) \rightarrow \text{const.} \neq 0$$

(LRTG et LITV : la tension ne peut devenir négative ni s'annuler globalement).

-Gradient de cohérence nul

$$\sigma'(r) \rightarrow 0^+$$

(LCFT :  $\sigma$  reste au-dessus de son seuil basal, mais n'évolue plus localement).

-Conséquence :

$$\chi(r) = t_1'(r) / t_1(r) \rightarrow \infty$$

par effondrement du dénominateur.

## (2) Conditions sur les 9 gradients morphogéniques

Les gradients de la tri-phase  $\{\tau, \sigma, \Delta t\}$  se répartissent en trois familles (Annexe D) :

$\nabla \tau, \tau'$ ,  $\tau$  modulé par  $t_1$

$\nabla \sigma, \sigma'$ ,  $\sigma$  régulé par  $t_2$

$\nabla \Delta t, (\Delta t)'$ ,  $\Delta t$  régulé par  $t_1'$

Une Freeze Sphere ne peut apparaître que si, dans la région considérée :

$$\nabla \sigma \rightarrow 0,$$

$$\nabla \tau \rightarrow 0,$$

$$\nabla \Delta t \rightarrow 0,$$

et, plus précisément, si les gradients  $G_7-G_9$  de la phase  $t_1'$  sont eux-mêmes saturés : la tension subsiste, mais sans gradient spatial significatif.

On obtient alors un champ temporel structurellement uniforme, sans modulation possible.

## 40.6 — Dynamique interne et gravité morphogénique des Freeze Spheres

La Freeze Sphere n'est pas seulement un régime temporel extrême : elle possède une signature gravitationnelle propre, imposée par la tri-phase  $\{\tau, \sigma, \Delta t\}$  et par la structure saturée du triplet.

### 40.6.1 — Rappel du principe gravitationnel morphogénique

L'Annexe D.14 définit la gravité morphogénique comme :

$$g_{VLCC} \propto \partial/\partial r (t_2^{\text{eff}})$$

Autrement dit :

ce n'est pas directement la masse,  
ce n'est pas la courbure géométrique,  
c'est la dérivée radiale du présent intriqué qui génère l'équivalent gravitationnel.

dans les zones baryoniques :  $t_2$  est compressé,  
dans les halos externes :  $t_2$  est étiré,  
dans une Freeze Sphere :  $t_2$  devient asymptotiquement constant.

#### **40.6.2 — Signature gravitationnelle d'une Freeze Sphere**

À l'approche d'une Freeze Sphere :

$$\begin{aligned}\sigma(r) &\rightarrow \sigma_\infty, \\ \sigma'(r) &\rightarrow 0^+, \\ t_1(r) &\rightarrow 0, \\ t_1'(r) &\rightarrow t_1', \infty, \\ \chi(r) &\rightarrow \infty, \\ t_2^\text{eff}(r) &\rightarrow \text{const.}\end{aligned}$$

- Deux conséquences majeures :

##### **(a) Gravité en extinction**

-Dans une Zone III standard :

$$\begin{aligned}\sigma' &\propto 1/r^2, \\ M_T(r) &\propto r, \\ v_c &\approx \text{const.}, \\ g_{\text{VLCC}} &\sim \partial_r t_2(r) \approx \text{petite mais non nulle.}\end{aligned}$$

-Dans une Freeze Sphere :

$$\begin{aligned}\sigma' &\rightarrow 0^+ \text{ très vite,} \\ \Delta t' &\rightarrow 0, \\ t_2' &\rightarrow 0, \\ \text{donc } g_{\text{VLCC}} &\rightarrow 0.\end{aligned}$$

Ce n'est ni une répulsion, ni un effondrement : c'est une extinction gravitationnelle.

### **(b) Bordure quasi isotrope**

La zone interne agit comme un réflecteur gravitationnel faible :

la gravité n'est plus dirigée clairement vers le centre,  
elle devient quasi isotrope en bordure,

un objet approchant la Freeze Sphere :

ne « tombe » plus vraiment,  
ne s'échappe pas brutalement,  
évolue dans un régime de gravité en extinction,  
contrôlé par  $t_2^{\text{eff}}$  plutôt que par la masse.

Une Freeze Sphere impose donc une limite supérieure au pouvoir gravitationnel du temps structuré.

## **40.7 — Rôle dans la diversité galactique : majoritaire / minoritaire**

Les Freeze Spheres ne sont pas universelles : elles dépendent de l'histoire morphogénique propre à chaque galaxie.

Elles interviennent de manière décisive dans la diversité des profils rotationnels :

- certaines galaxies naines atteignent très vite un régime externe saturé → Freeze Sphere proche, halos tronqués ;
- certaines spirales massives restent longtemps en Zone III standard → pré-Freeze sans figement complet ;
- certaines galaxies ultra-diffuses sont presque intégralement en pré-Freeze → profils très plats puis extinction douce ;
- certaines régions intergalactiques se comportent comme des Freeze Spheres quasi complètes.

Le glissement  $\chi(r)$ , décomposé en :

$$\chi(r) = \bar{\chi}(r) + \tilde{\chi}(x) \text{ (Annexe C)}$$

permet d'interpréter cette diversité :

- $\bar{\chi}(r)$  encode la tendance globale vers le figement (majeure),
- $\tilde{\chi}(x)$  représente les fluctuations locales, générées puis dissipées par les mécanismes de diffusion + rappel décrits en Annexe C.

Conséquences :

- la bordure d'une Freeze Sphere peut être douce ( $\sigma'$  décroît lentement),
- ou abrupte (effondrement rapide de  $\tau$ , forte décroissance de  $t_1$ ),
- voire asymétrique (si une direction privilégie  $\nabla \Delta t$  ou des  $\tilde{\chi}$  persistants).

Le VLCC ne prédit pas une « sphère parfaite » universelle :

il prédit une classe morphogénique de régimes extrêmes, dont la réalisation concrète dépend de l'histoire de chaque système (glissement, gradients initiaux, dissipation  $\tilde{\chi}$ ...).

## 40.8 — Validation par les lois morphogéniques et impossibilité des trous de ver

Pour que la Freeze Sphere soit vraiment canonique VLCC, il faut la recrocher explicitement aux lois morphogéniques et à l'équation-cadre.

### 40.8.1 — Cohérence avec les lois LPHD, LCFT, LRTG, LITV

LPHD (Préservation de la mémoire)

$t_1$  ne peut jamais devenir strictement nul à rayon fini :  $t_1 > 0$  toujours.

Dans une Freeze Sphere,  $t_1 \rightarrow 0$  est un limite asymptotique, pas une annulation locale brutale.

- LCFT (Cohérence du présent)

$t_2 \geq t_2$ , basal impose que le présent ne disparaît jamais.

$\sigma' \rightarrow 0^+$  ne détruit pas le présent : il le rend simplement non différentiel.

- LRTG (Réponse en tension générative)

$t_1' \geq 0$  impose une tension irréversible.

Dans la Freeze Sphere,  $t_1' \rightarrow \text{plateau} > 0$  : la flèche ne se renverse pas, elle se stabilise.

- LITV (Irréversibilité de  $\Delta t$ )

$\Delta t$  ne peut jamais devenir nul ni changer de signe.

Une Freeze Sphere ne peut donc ni inverser, ni annuler le temps.

De plus, l'invariant :

$$I = t_2^2 - t_1 t_1' > 0$$

reste strictement positif tant que  $t_2 \geq t_2$ , basal et  $t_1' \geq 0$ , ce qui exclut toute situation où le temps deviendrait réversible ou symétrique.

#### 40.8.2 — Interdiction structurelle des trous de ver

Un trou de ver statique exigerait schématiquement :

$$\sigma' = 0,$$

$$\sigma'' < 0 \text{ (gorge)},$$

$$\Delta t = 0 \text{ (absence de flèche)}.$$

Or, dans le VLCC :

$\sigma' = 0$  et  $\sigma'' < 0$  sont compatibles avec une Zone III très externe ou une Freeze Sphere, mais  $\Delta t = 0$  est structurellement interdit (LITV + invariant  $I > 0$ ).

Passer à  $\Delta t = 0$  impliquerait :

$t_1' = 0$  (plus de tension évolutive),

donc  $I = t_2^2 - t_1 t_1' \rightarrow t_2^2 \geq 0$ ,

mais la dynamique du triplet et des gradients n'aurait plus de direction.

Conclusion :

Les Freeze Spheres peuvent figer la dynamique, mais ne peuvent ni renverser ni annuler le temps.

Les trous de ver sont structurellement incompatibles avec l'architecture morphogénique du VLCC.

## 40.9 — Signatures observationnelles typiques

Une Freeze Sphere laisse plusieurs traces dans les observations :

Décroissance externe douce des vitesses

$$v(r) \propto r^{-1/2}$$

→ décroissance plus rapide qu'un plateau, mais plus lente qu'un effondrement brutal.

Extinction de la cohérence lumineuse

$\sigma' \rightarrow 0 \Rightarrow$  luminosité extrêmement faible,

halos très diffus, quasi invisibles.

Absence de sous-structures

gradients quasi nuls  $\Rightarrow$  pas de hiérarchisation interne,

absence de sous-halos, de bras spiraux, de sous-amas.

On retrouve là les caractéristiques des :

- galaxies ultra-diffuses,
- sphéroïdales naines dépourvues de sous-structure,
- halos externes très estompés,
- zones périphériques où la gravité newtonienne semble « s'éteindre ».

#### **40.10 — Fin de vie morphogénique d'une Freeze Sphere**

Une Freeze Sphere n'est pas un état absolument figé ni éternel.

C'est un régime limite, atteint lorsque :

- la mémoire profonde s'effondre :  $t_1 \rightarrow 0$ ,
- la tension évolutive reste minimale mais non nulle :  $t_1' \rightarrow t_1',\infty$ ,
- la cohérence se sature :  $\sigma \rightarrow \sigma\infty$ ,
- les gradients disparaissent :  $\nabla\sigma, \nabla\tau, \nabla\Delta t \rightarrow 0$ ,
- le glissement diverge en limite :  $\chi = t_1'/t_1 \rightarrow \infty$ ,
- la gravité morphogénique s'éteint :  $g_{VLCC} \rightarrow 0$ .

Cependant, les équations dynamiques du triplet morphogénique (Annexe D.7), même en régime saturé, n'admettent pas de point fixe exact pour une Freeze Sphere parfaite.

Lorsque les gradients sont nuls, on a approximativement :

$$\begin{aligned} \dot{t}_1 &\approx \beta_1 t_2, \\ \dot{t}_2 &\approx -\beta_2 t_2, \\ \dot{t}_1' &\approx \gamma t_2. \end{aligned}$$

Or, les lois morphogéniques imposent :

- LPHD :  $t_1 > 0$  toujours  $\rightarrow$  la mémoire ne peut jamais s'annuler strictement,
- LCFT :  $t_2 \geq t_2, \text{basal}$   $\rightarrow$  le présent ne disparaît jamais,
- LRTG :  $t_1' \geq 0$   $\rightarrow$  la tension reste orientée,
- LITV :  $\Delta t > 0$   $\rightarrow$  flèche du temps irréversible.

Ces quatre lois combinées interdisent qu'une Freeze Sphere devienne un état stationnaire absolu.

Même si  $t_1$  est extrêmement faible, la présence inévitable d'un présent basal  $t_2 > 0$  réintroduit un flux de réanimation :

$$\dot{t}_1 = \beta_1 t_2 > 0.$$

Autrement dit :

dès que la mémoire touche son plancher, elle remonte légèrement.

La divergence  $\chi \rightarrow \infty$  n'est donc qu'une limite asymptotique, jamais une valeur atteinte à rayon fini.

#### **40.10.1 — Rôle de l'environnement : dissipation du condensat photonique**

Dans une Freeze Sphere, le champ photonique atteint son état extrême :

$v \rightarrow 0$ ,  
durée photonique  $\rightarrow \infty$ ,  
cohérence  $\rightarrow$  plateau.

Mais cet état est métastable.

Dès qu'un environnement extérieur plus structuré crée des gradients non nuls :

$$\nabla\sigma \neq 0, \nabla\Delta t \neq 0,$$

le système dynamique du triplet devient :

$$\begin{aligned} \dot{t}_1 &= -\alpha_1 \nabla\sigma + \beta_1 t_2, \\ \dot{t}_1' &= \alpha_3 \nabla\Delta t + \gamma t_2. \end{aligned}$$

Conséquences morphogéniques :

Réactivation de la mémoire :

$\dot{t}_1 > 0 \rightarrow t_1$  cesse d'être minimal  $\rightarrow \chi = t_1' / t_1$  redescend.

Dissipation du condensat photonique  $v = 0$  :

Le réservoir photonique n'est jamais détruit, mais il relâche son énergie-temporelle dans la remontée de  $t_1$  et la réactivation des gradients.

Retour naturel vers un régime de Zone III faible :

Sans gradients internes, il n'y a plus de structure ;  
avec gradients externes, la Freeze Sphere s'érode morphogéniquement.

Ainsi, la "consommation" du réservoir photonique correspond, dans le Master, à :  
dissipation de  $\chi$  + réactivation lente de la mémoire  $t_1$ .

#### **40.10.2 — Issue naturelle : extinction, réouverture ou diffusion**

La fin de vie d'une Freeze Sphere peut prendre trois formes morphogéniques :

**(1) Extinction lente (cas le plus probable)**

Si l'environnement reste très diffus :

les gradients externes sont trop faibles pour restructurer,  
 $t_1$  augmente très faiblement,  
le condensat photonique se dissipe à un rythme quasi nul.

La Freeze Sphere reste une zone profonde de quasi-extinction gravitationnelle, mais non éternelle.

**(2) Réouverture morphogénique**

Si un flux externe significatif arrive :

compression d'un filament baryonique,  
interaction avec une autre galaxie,  
onde de marée cosmique,

alors :

$$\nabla\sigma, \nabla\Delta t \gg 0,$$

ce qui entraîne :

réactivation de  $t_1$ ,  
forte baisse de  $\chi$ ,  
reformations locales de gradients → réouverture de structure.

La Freeze Sphere cesse d'exister et redevient une Zone III.

### **(3) Diffusion en pré-Freeze élargi**

Si le flux externe est modéré :

la Freeze Sphere s'étale,  
sa frontière devient plus diffuse,  
elle se transforme en pré-Freeze de grande extension.

C'est typique dans les halos massifs où les gradients ne sont jamais totalement nuls.

### **40.10.3 — Théorème informel de fin de vie**

On peut résumer ainsi :

Aucune Freeze Sphere ne peut subsister éternellement en régime strict.

La présence inévitable d'un présent basal  $t_2 > 0$  implique une réanimation minimale de la mémoire, empêchant  $t_1$  de rester au plancher.

Tout gradient externe suffit à dissiper le condensat photonique  $v = 0$  et à ramener la région à un régime de pré-Freeze ou de Zone III.

### **40.10.4 — Synthèse du chapitre**

La Freeze Sphere apparaît désormais comme l'une des constructions les plus profondes du VLCC : non une singularité, non un trou noir, non une rupture topologique, mais un régime limite de l'évolution temporelle, où le triplet morphogénique a épousé presque toute capacité de structuration.

Structure interne : un état asymptotique du temps

Dans une Freeze Sphere :

- la mémoire profonde s'effondre :  
 $t_1 \rightarrow 0$  (limite LPHD) ;
- la tension évolutive persiste sous forme minimale :  
 $t_1' \rightarrow \text{plateau} > 0$  (LRTG + LITV) ;

- la cohérence phénoménale se fige :  
 $\sigma \rightarrow \sigma\infty, \sigma' \rightarrow 0^+$  ;
- le glissement morphogénique diverge :  
 $\chi = t_1' / t_1 \rightarrow \infty$  ;
- le photon atteint  $v \rightarrow 0$ , formant un condensat temporel-photonique ;
- la gravité morphogénique s'éteint :  
 $g_{VLCC} \rightarrow 0$  lorsque  $t_2^{\text{eff}}$  devient constant.

Une Freeze Sphere marque donc la frontière ultime de la capacité du temps à se reconfigurer, sans jamais violer l'orientation temporelle ( $\Delta t > 0$ ). Elle appartient pleinement au paysage morphogénique prédict par le modèle.

#### Dynamique : une métastabilité, jamais un état final

Les équations du triplet montrent qu'aucune Freeze Sphere ne peut devenir un état strictement stationnaire :

- le présent basal  $t_2 > 0$  impose toujours  
 $\dot{t}_1 = \beta_1 t_2 > 0$  ;
- la mémoire ne peut jamais rester au plancher ;
- le condensat photonique est métastable et se dissipe dès que des gradients extérieurs réapparaissent.

Ainsi :

Une Freeze Sphere n'est pas une fin du temps : c'est une suspension locale de son pouvoir d'engendrement.

Elle marque la fin locale de l'évolution temporelle, mais jamais une fin définitive : le temps, même affaibli, porte toujours un flux minimal capable de rouvrir l'évolution.

#### Environnement : trois issues naturelles

Selon les gradients externes :

- Extinction lente : la Freeze Sphere persiste longuement mais s'érode très lentement.
- Réouverture morphogénique : un apport externe crée des gradients  $\Rightarrow$  redémarrage de  $t_1 \Rightarrow$  dissolution de la Freeze Sphere.
- Diffusion pré-Freeze : la structure s'étale et redevient une Zone III affaiblie.

La Freeze Sphere est donc un état limite réversible au sens morphogénique du terme.

Conséquence majeure : aucune galaxie ne reste éternellement dans le même mode

Parce que rien ne se perd, tout se transforme temporellement, une galaxie peut traverser successivement :

- un régime spirale cohérente ( $t_1$  dominant),
- un régime chaud ( $t_1'$  dominant),
- un régime nain ou diffus ( $\chi$  dominant),
- une Zone III étendue,
- une pré-Freeze,
- une Freeze Sphere,
- puis, plus tard, revenir à un état structuré.

Le VLCC prédit explicitement que les galaxies ne sont pas figées dans une morphologie éternelle.

Leur mode évolutif peut changer à tout moment sous l'effet des gradients externes, exactement comme le prévoit le Principe de Dominance (Chap. 43).

### Portée conceptuelle

En réunissant :

- les lois LPHD, LCFT, LRTG, LITV,
- les solutions analytiques  $\sigma(r)$ ,
- la gravité  $g_{VLCC} \propto \partial r(t_2^{\text{eff}})$ ,
- le rôle du condensat photonique  $v \rightarrow 0$ ,
- l'architecture dynamique du triplet morphogénique,

ce chapitre établit la Freeze Sphere comme la borne externe naturelle de l'évolution galactique, un attracteur limite, métastable, réversible, et incompatible avec tout trou de ver, puisque  $\Delta t$  ne s'annule jamais.

Elle représente l'un des piliers conceptuels du VLCC :  
un état où le temps se fige localement, mais où sa structure profonde garantit que l'évolution reste toujours possible.

Nous pouvons à présent confronter cette architecture aux données détaillées (Gaia, galaxies naines, halos tronqués, galaxies ultra-diffuses), dans le cadre des Chapitres 41 et suivants.

## CHAPITRE 41 — Cas d'étude : Voie Lactée (Gaia DR3)

Ce chapitre met à l'épreuve le VLCC sur le cas le plus exigeant : la Voie Lactée telle que reconstruite par Gaia DR3.

L'objectif n'est pas de "reproduire une courbe de rotation" au sens classique, mais de montrer comment, à partir des objets propres au VLCC :

la tri-phase  $\{\tau, \sigma, \Delta t\}$ ,

le triplet morphogénique  $(t_1, t_2, t_1')$ ,

le glissement  $\chi(r) = t_1'(r) / t_1(r) = \bar{\chi}(r) + \tilde{\chi}(x)$ ,

les zones I-II-III,

les profils analytiques  $\sigma(r)$  du Chapitre 39,

les régimes externes et Freeze Spheres du Chapitre 40,

la gravité morphogénique  $g_{\text{VLCC}} \propto \partial r t_2^{\text{eff}}$ ,

on peut reconstruire la dynamique rotationnelle de la Voie Lactée sans matière noire, en lecture purement temporelle.

Ce chapitre a un statut particulier :

il constitue une démonstration opératoire de ce que l'on peut faire lorsque l'on manipule le VLCC.

### 41.1 — Données utilisées et méthodologie

#### 41.1.1 — Observables Gaia DR3 pertinents

Sans entrer dans le détail des catalogues, on retient les signatures suivantes :

- Courbe de rotation  $v_{\text{obs}}(r)$  du disque galactique jusqu'à  $\sim 30\text{--}40$  kpc :

montée interne jusqu'à  $\sim 8$  kpc,

plateau autour de  $v \simeq 220\text{--}240$  km/s entre  $\sim 8$  et  $\sim 18\text{--}20$  kpc,

décroissance douce au-delà.

Dispersion radiale des vitesses stellaires  $\sigma_v(r)$  :

faible dans le disque interne,

croissante dans le halo externe ( $r \gtrsim 20$  kpc).

- Changements de cohérence dynamique :  
transition marquée autour de 8–10 kpc (bord du disque baryonique dense),  
structuration de plus en plus diffuse au-delà de 20–25 kpc.

Ces éléments suffisent pour contraindre un profil  $\sigma(r)$ , un glissement moyen  $\bar{\chi}(r)$  et une structure gravitationnelle  $g_{\text{VLCC}}(r)$ .

#### **41.1.2 — Méthode VLCC : gravité morphogénique d'abord**

On procède en trois niveaux :

-Niveau gravitation morphogénique pur:

On postule qu'à grande échelle quasi stationnaire, l'accélération ressentie par une étoile à rayon  $r$  s'écrit :

$$g_{\text{VLCC}}(r) \propto \partial/\partial r (t_2^{\text{eff}}(r))$$

où  $t_2^{\text{eff}}(r)$  est le présent intriqué, fonction de  $\{\sigma(r), \tau(r), \Delta t(r), t_1(r), t_1'(r)\}$ .

La vitesse circulaire s'écrit alors :

$$v_c^2(r) = r g_{\text{VLCC}}(r) \propto r \partial/\partial r (t_2^{\text{eff}}(r))$$

-Niveau projection phenomenal:

Pour relier cela au traitement du Chapitre 39, on impose que :

$$\partial/\partial r (t_2^{\text{eff}}(r)) \sim f_1 \sigma'(r) + f_2 (\Delta t)'(r)$$

avec  $f_1, f_2$  des constantes morphogéniques fixées par le Master.

Dans les régimes où  $\Delta t'(r)$  est faible (zones quasi stationnaires), on peut à première approximation poser :

$$g_{\text{VLCC}}(r) \propto \sigma'(r)$$

ce qui retrouve, à un facteur près, la lecture du Chapitre 39 via la densité temporelle :

$$\rho_T(r) = \alpha \sigma'(r),$$

$$M_T(r) = 4\pi \int_0^r \rho_T(r') r'^2 dr'$$

et l'expression classique :

$$v_c^2(r) = G_0 (M_b(r) + M_T(r)) / r$$

La différence cruciale est que désormais,  $M_T(r)$  n'est plus seulement une "masse effective" : elle est explicitement interprétée comme la projection baryonique de  $t_2^{\text{eff}}(r)$ .

-Niveau confrontation Gaia:

On reconstruit un profil  $\sigma(r)$  minimal à partir de  $v_{\text{obs}}(r)$ .

On en déduit  $\sigma'(r)$ , donc  $\rho_T(r)$  et  $M_T(r)$ .

On relit  $v_c(r)$  à la fois comme effet "newtonien de  $M_T$ " et comme gradient de  $t_2^{\text{eff}}$ .

On confronte qualitativement (structure) et semi-quantitativement (ordres de grandeur) aux données Gaia.

Dans cette première mise à l'épreuve morphogénique, nous adoptons une forme minimale de  $t_2^{\text{eff}}(r)$  directement compatible avec les structures du Master (Annexe D) :  $t_2^{\text{eff}} \simeq u_1 \sigma(r) + u_2 \Delta t(r)$ .

Cette expression n'épuise pas toute la richesse de la tri-phase — en particulier la contribution potentielle de  $\tau(r)$  — mais elle constitue l'approximation correcte pour un système spiralé quasi stationnaire tel que la Voie Lactée.

Des raffinements futurs pourront réintroduire explicitement  $\tau(r)$ , sans modifier le cadre général établi ici.

## 41.2 — Reconstruction de $\sigma(r)$ minimal pour la Voie Lactée

Le Chapitre 39 a montré qu'un disque spiralé relaxé admet une structure universelle :

- Zone I (baryonique interne) :

$$\sigma_I(r) = \sigma_0 + a r^2$$

- Zone II (transition morphogénique) :

$$\sigma_{\text{II}}(r) = A + B r + C r^2 + D r^3$$

- Zone III (externe) :

$$\sigma_{\text{III}}(r) = \sigma_{\infty} - k/r$$

#### **41.2.1 — Contraintes imposées par Gaia pour la Voie Lactée**

Zone I ( $\sim 0\text{--}8$  kpc)

Montée rapide de  $v(r) \rightarrow \sigma(r)$  fortement convexe  $\rightarrow a$  relativement grand.

Zone II ( $\sim 8\text{--}18$  kpc)

Plateau modéré  $\rightarrow \sigma'(r)$  presque constant  $\rightarrow \sigma(r)$  quasi linéaire/quadratique.

Zone III ( $> 18\text{--}20$  kpc)

Décroissance douce de  $v(r) \rightarrow \sigma(r)$  tend vers  $\sigma_{\infty}$  comme  $1/r$ .

Les rayons caractéristiques (8 kpc pour la transition I/II, 18–20 kpc pour la transition II/III) doivent être compris comme des ordres de grandeur morphogéniques, non comme des valeurs ajustées au kiloparsec près.

Le VLCC n'effectue ici aucune optimisation numérique : il impose la structure qualitative de  $\sigma(r)$ , et la Voie Lactée se place naturellement dans ces intervalles, comme le montrent les tendances générales de Gaia DR3.

#### **41.2.2 — Conditions de raccord $C^1$**

On impose :

continuité de  $\sigma(r)$  aux rayons  $r_1, r_2$ ,

continuité de  $\sigma'(r)$  aux mêmes points.

Ce qui impose un système de conditions du type :

$$\sigma_{\text{I}}(r_1) = \sigma_{\text{II}}(r_1),$$

$$\sigma_{\text{I}}'(r_1) = \sigma_{\text{II}}'(r_1),$$

$$\sigma_{\text{II}}(r_2) = \sigma_{\text{III}}(r_2),$$

$$\sigma_{\text{II}}'(r_2) = \sigma_{\text{III}}'(r_2).$$

Les coefficients  $\{a, A, B, C, D, k, \sigma_0, \sigma\infty\}$  ne sont pas "libres":

ils sont contraints simultanément par :

la forme qualitative de  $v_{obs}(r)$ ,  
la structure triphasée imposée par le VLCC,  
et les lois morphogéniques (croissance mémoire, convexité interne, décroissance externe).

On obtient ainsi une famille restreinte de profils  $\sigma(r)$  compatibles à la fois avec le VLCC et avec Gaia.

### 41.3 — Glissement moyen $\bar{\chi}(r)$ dans la Voie Lactée

Le glissement morphogénique étendu :

$$\chi(r) = t_1'(r) / t_1(r) = \bar{\chi}(r) + \tilde{\chi}(x)$$

mesure la polarisation entre mémoire  $t_1$  et tension  $t_1'$ .

Dans une galaxie spirale relaxée comme la Voie Lactée, on suppose que :

$\bar{\chi}(r)$  domine,

$\tilde{\chi}(x)$  (fluctuations locales) est modeste et dissipée (Annexe C).

#### 41.3.1 — Structure attendue de $\bar{\chi}(r)$

##### Zone I ( $0-r_1$ )

$t_1$  élevé,  $t_1'$  modéré  $\rightarrow \bar{\chi}(r)$  faible.

La dynamique est dominée par la mémoire baryonique  $\rightarrow$  disque interne cohérent.

##### Zone II ( $r_1-r_2$ )

$t_1$  diminue,  $t_1'$  augmente  $\rightarrow \bar{\chi}(r)$  croît régulièrement.

C'est le régime de transition morphogénique :

la mémoire se délite, la tension prend le relais.

### **Zone III ( $r > r_2$ )**

$t_1 \ll t_1' \rightarrow \bar{\chi}(r)$  devient grand.

On entre dans un régime de pré-Freeze (Chap. 40) : cohérence faible, tension dominante.

### **41.3.2 — Correspondance avec les signatures Gaia**

Cette croissance régulière de  $\bar{\chi}(r)$  se reflète dans :

la dispersion croissante des vitesses stellaires dans le halo,

la disparition progressive des structures organisées (bras, sous-amas),

la transition douce vers un régime externe diffus, sans hiérarchies nouvelles.

### **41.4 — Vitesse rotationnelle prédite par la gravité VLCC**

On considère deux lectures équivalentes :

-Lecture “gradient de présent” (fondamentale)

$$g_{\text{VLCC}}(r) \propto \partial/\partial r (t_2^{\text{eff}}(r)) \Rightarrow v_c(r) \propto r \partial/\partial r (t_2^{\text{eff}}(r)).$$

Pour une galaxie spirale quasi stationnaire, on a :

$$t_2^{\text{eff}}(r) \simeq u_1 \sigma(r) + u_2 \Delta t(r),$$

avec  $u_1, u_2$  constantes morphogéniques.

Si  $\Delta t'(r)$  est faible dans les zones relaxées  $\rightarrow$

$$g_{\text{VLCC}}(r) \simeq \kappa \sigma'(r)$$

pour une constante  $\kappa$ .

-Lecture “masse morphogénique effective” (phénoménale)

On retrouve alors le schéma du Chapitre 39 :

$$\begin{aligned}\rho_T(r) &= \alpha \sigma'(r), \\ M_T(r) &= 4\pi \int_0^r \rho_T(r') r'^2 dr', \\ v_c^2(r) &= G_0 (M_b(r) + M_T(r)) / r.\end{aligned}$$

Les deux lectures sont strictement équivalentes :

$M_T(r)$  est la traduction baryonique du gradient de  $t_2^{\text{eff}}(r)$ .

Il est essentiel de noter que l'expression newtonienne

$$v_c^2(r) = G_0 [M_b(r) + M_T(r)] / r$$

n'est pas une hypothèse supplémentaire. Elle représente uniquement la relecture phénoménale — dans un langage familier — de l'équation fondamentale  $g_{\text{VLCC}} \propto \partial_n t_2^{\text{eff}}(r)$ .

Autrement dit :  $M_T(r)$  n'est pas un ajout de masse mais la traduction baryonique du gradient temporel. Le niveau fondamental reste morphogénique.

#### 41.4.1 — Structure de $v_c(r)$ pour la Voie Lactée

En utilisant le profil  $\sigma(r)$  reconstruit au §41.2 :

-Zone I ( $0-r_1 \approx 8$  kpc)

$$\begin{aligned}\sigma_I(r) &= \sigma_0 + a r^2 \Rightarrow \sigma'_I(r) = 2a r \\ &\Rightarrow \rho_T(r) \propto r \\ &\Rightarrow M_T(r) \propto r^4 \text{ (faible pour } r \text{ petit).}\end{aligned}$$

La montée de  $v_c(r)$  est dominée par  $M_b(r)$ , la contribution morphogénique est secondaire mais stabilisante.

-Zone II ( $r_1-r_2 \approx 8-18$  kpc)

$$\begin{aligned}\sigma_{II}(r) &\approx \text{polynôme cubique avec } \sigma'(r) \approx \text{cste modérée} \\ &\Rightarrow \rho_T(r) \approx \text{cste} \\ &\Rightarrow M_T(r) \propto r \\ &\Rightarrow v_c(r) \approx \text{const.}\end{aligned}$$

On obtient naturellement un plateau rotationnel, sans matière noire.

**Zone III** ( $r > r_2 \gtrsim 18\text{--}20 \text{ kpc}$ )

$$\sigma_{\text{III}}(r) = \sigma_\infty - k/r$$

$$\Rightarrow \sigma'_{\text{III}}(r) = k/r^2$$

$$\Rightarrow \rho_T(r) \propto 1/r^2$$

$$\Rightarrow M_T(r) \rightarrow \text{const.}$$

$$\Rightarrow v_c(r) \propto r^{-1/2}.$$

On retrouve une décroissance externe douce, en accord qualitatif avec Gaia.

## 41.5 — Comparaison structurale avec Gaia DR3

Sans entrer dans un ajustement numérique détaillé, la structure prédictive par le VLCC coïncide avec les trois régimes principaux vus par Gaia :

Zone	VLCC ( $\sigma, \rho_T, M_T, v_c$ )	Gaia DR3 (Voie Lactée)
I	Montée rapide de $v_c$ , dominée par baryonique + $\sigma$ convexe	Montée ~linéaire jusqu'à ~8 kpc
II	$M_T \propto r \rightarrow v_c \approx \text{const}$	Plateau $v \simeq 220\text{--}240 \text{ km/s}$ entre ~8–18 kpc
III	$M_T$ saturé, $v_c \propto r^{-1/2}$	Décroissance douce au-delà de ~20 kpc
Externe lointain	$\sigma' \rightarrow 0$ , pré-Freeze	Cohérence lumineuse très faible, dispersion externe

De plus :

l'augmentation de  $\bar{\chi}(r)$  explique la dispersion croissante dans le halo,

la baisse de  $\nabla\sigma$  explique la faible structuration externe (peu de sous-halos stables),

le début de pré-Freeze externe (Chap. 40) est cohérent avec l'extinction progressive de la gravité effective.

## 41.6 — Interprétation sceptique d'un astrophysicien "standard"

- Objection typique :

« Vous avez ajusté  $\sigma(r)$  pour qu'il donne la courbe de rotation voulue. Vous remplacez juste un potentiel gravitationnel par une nouvelle fonction  $\sigma$ . »

- Réponse VLCC, point par point :

- $\sigma(r)$  n'est pas un potentiel libre :

il est contraint par la tri-phase  $\{\tau, \sigma, \Delta t\}$ ,  
par le triplet  $(t_1, t_2, t_1')$ ,  
par l'équation radiale morphogénique (Chap. 39),  
par les lois LPHD, LCFT, LRTG,  
et par l'invariant  $I = t_2^2 - t_1 t_1' > 0$ .

- Les zones I-II-III ne sont pas des "morceaux de fit" :

Zone I : imposée par la régularité au centre et LPHD,  
Zone II : imposée par la transition baryonique  $\rightarrow$  morphogénique,  
Zone III : imposée par la dominance de  $\Delta t$  et la loi  $1/r$ .

- La relation :

$$g_{VLCC}(r) \propto \partial_r t_2^{eff}(r)$$

- n'est pas un artifice :

elle découle de la définition même de la gravitation morphogénique.

- Le plateau de  $v_c(r)$  et la décroissance  $r^{-1/2}$  :

ne sont pas paramétrés,  
émergent de la structure universelle de  $\sigma(r)$  sous les contraintes du VLCC.

- Enfin, la présence d'un pré-Freeze externe (et l'absence de Freeze Sphere complète avant des rayons très grands) est une prédiction structurale, pas un choix.

## 41.7 — Tests falsifiables spécifiques à Gaia

La force du VLCC est aussi sa fragilité :

il est facile à réfuter par les données de la Voie Lactée.

Gaia DR3 (et ses prolongements) pourrait invalider le modèle si l'un des points suivants était confirmé de manière robuste :

- Absence de plateau rotationnel dans la Zone II  
→  $v_c(r)$  strictement croissant de 5 à 20 kpc.  
⇒ Incompatible avec  $M_T \propto r$  imposé par  $\sigma_{\{II\}}(r)$ .
- Courbe de rotation croissante à grand rayon  
→  $v_c(r)$  augmentant au-delà de 25–30 kpc.  
⇒ Violait la structure  $\sigma_{\{III\}}(r) = \sigma_\infty - k/r$  et l'extinction de g\_VLCC.
- Sous-structures rotationnelles stables très externes ( $>40$ – $50$  kpc)  
→ bras spiraux, disques externes stables.  
⇒ Contradiction avec  $\nabla\sigma \approx 0$  en pré-Freeze.
- Glissement moyen  $\bar{\chi}(r)$  décroissant dans le halo  
→  $t_1$  redevenant dominant,  $t_1'$  s'effondrant.  
⇒ Incompatible avec LRTG et la dynamique de transition II → III → pré-Freeze.
- Accélérations dynamiques externes beaucoup plus fortes que prévu  
→ pas d'extinction gravitationnelle, mais amplification.  
⇒ Violait le schéma  $g_{VLCC} \rightarrow 0$  lorsque  $\sigma' \rightarrow 0$ .

Tous ces scénarios sont, dans le cadre du VLCC, structurellement impossibles.

S'ils étaient observés, le modèle serait réfuté ou devrait être profondément modifié.

Ces scénarios ne sont pas de simples tendances extrêmes : si Gaia confirmait durablement l'un d'eux, le VLCC — dans sa forme actuelle — devrait être considéré comme falsifié.

Le modèle prend donc réellement le risque de la réfutation, ce qui constitue un critère essentiel de scientificité.

## 41.8 — Conclusion : démonstration de force du VLCC sur la Voie Lactée

Avec ce chapitre, le VLCC montre qu'il est capable de :

- reconstruire la dynamique rotationnelle d'une galaxie spiralée réaliste comme la Voie Lactée,  
sans matière noire,  
sans modifier Newton/Einstein,  
mais en remplaçant la notion de "source gravitationnelle" par la dérivée radiale du présent intriqué  $t_2^{\text{eff}}(r)$ ,

- tout en restant strictement encadré par :

la tri-phase  $\{\tau, \sigma, \Delta t\}$ ,  
 le triplet  $(t_1, t_2, t_1')$ ,  
 les lois morphogéniques (LPHD, LCFT, LRTG, LITV),  
 l'invariant  $I = t_2^2 - t_1 t_1' > 0$ ,  
 l'équation radiale morphogénique (Chap. 39),  
 les régimes extrêmes (pré-Freeze) du Chapitre 40.

- La Voie Lactée apparaît ainsi comme :

un cas d'école de galaxie spiralée relaxée,  
 structurée par la dynamique temporelle tri-phasée,  
 où la gravité n'est plus un champ de force sur une masse,  
 mais l'ombre dynamique d'un champ de présent distribué,  $t_2^{\text{eff}}(r)$ .

Les chapitres suivants pourront :

appliquer la même méthodologie morphogénique à des galaxies naines et ultra-diffuses (Chap. 42), puis confronter, sur un terrain commun:

-VLCC,  
 -MOND,  
 - $\Lambda$ CDM,

en termes de prédictions structurelles, de falsifiabilité et de portée cosmologique.

## CHAPITRE 42 — Cas d'étude : Galaxies naines

Les galaxies naines représentent un test particulièrement exigeant pour tout modèle dynamique.

Elles combinent :

-une cohérence intrinsèque extrêmement faible,  
 -une mémoire  $t_1$  limitée,  
 -une tension  $t_1'$  modeste,  
 -des fluctuations  $\tilde{\chi}(x)$  importantes,  
 -une quasi-absence de structuration interne,  
 -des accélérations mesurées très faibles.

Dans les cadres classiques, elles sont problématiques :

- en  $\Lambda$ CDM : nécessitent des halos de matière noire massifs, souvent incompatibles entre elles,
- en MOND : nécessitent systématiquement un “effet externe” artificiel (EFE), dans les modèles baryoniques : les dispersions observées sont inexplicables.

Le VLCC, au contraire, prédit naturellement le comportement des galaxies naines à partir de leur statut morphogénique :  
des systèmes proches du régime neutre, où le temps structuré n'a jamais développé de Zone II.

Les prédictions du VLCC pour les naines sont nettes, fortes, falsifiables.  
Ce chapitre les expose et les compare directement aux données.

## 42.1 — Cohérence faible : les galaxies naines comme régimes quasi neutres

Dans une galaxie naine, les quantités morphogéniques suivent généralement :

- $\sigma(r)$  faible  $\rightarrow$  cohérence limitée,
- $\sigma'(r) \approx 0$   $\rightarrow$  gradients presque nuls,
- $t_1(r)$  très faible  $\rightarrow$  mémoire insuffisante pour stabiliser une structure,
- $t_1'(r)$  modéré  $\rightarrow$  tension évolutive mais non orientante,
- $\bar{\chi}(r)$  quasi inexistant,
- $\bar{\chi}(x)$  dominant  $\rightarrow$  fluctuations internes.

Ce régime morphogénique est dit quasi neutre, car le champ temporel :

- ne hiérarchise pas,
- n'organise pas,
- ne produit pas de Zone II,
- ne construit pas de plateau rotationnel,
- ne maintient pas de structure stable.

Gravité morphogénique dans une naine

Dans ce contexte, le présent intriqué varie si peu que :  
 $g_{VLCC}(r) \propto \partial t_2 / \partial r \approx 0$ .

La gravité morphogénique s'éteint presque immédiatement, ce qui explique :

- les accélérations internes extrêmement faibles,
- l'absence de plateau rotationnel,
- la montée lente des vitesses,
- l'extrême sensibilité à l'environnement.

Aucune masse cachée n'est nécessaire :  
c'est simplement la conséquence directe d'un champ temporel peu structuré.

## 42.2 — Montée lente obligatoire : une prédition forte du VLCC

Dans un régime neutre :

$$\begin{aligned}\sigma'(r) &\approx 0, \\ \rho_T(r) &= \alpha \sigma'(r) \approx 0, \\ M_T(r) &\text{n'augmente presque pas,} \\ \partial r t_{\text{eff}} &\approx 0 \rightarrow g_{\text{VLCC}} \text{ très faible.}\end{aligned}$$

La vitesse rotationnelle vérifie donc :

$$v_c(r) \propto r^\beta, \quad 0 < \beta < 1,$$

avec une montée lente inévitable.

Ceci n'est pas un ajustement :  
c'est une conséquence directe de la neutralité morphogénique.

Cette montée lente est observée dans :

Carina,  
Draco,  
Sextans,  
Leo I,  
Fornax,  
de nombreuses UFD.

Les naines ne peuvent pas présenter une montée rapide sans violer LPHD + LRTG + LCFT.

### **42.3 — Absence quasi totale de plateau rotationnel**

Le plateau rotationnel des spirales provient d'une Zone II où :  
 $\sigma'(r) \approx \text{const} \Rightarrow M_T(r) \propto r$ .

Dans une galaxie naine :

$\sigma'(r)$  est trop faible pour créer une Zone II,  
 $t_1$  insuffisant  $\rightarrow$  pas de mémoire structurante,  
 $\bar{\chi}(r) \approx 0 \rightarrow$  pas de régulation temporelle interne.  
Conséquence directe :  
aucun plateau rotationnel n'est possible.

Si une galaxie naine possédait un plateau large et stable, le VLCC serait falsifié.

### **42.4 — Fluctuations $\tilde{\chi}(x)$ élevées mais bornées**

Dans les régimes neutres, le glissement se décompose ainsi :

$$\chi(r) = \bar{\chi}(r) + \tilde{\chi}(x).$$

Or, dans une naine :

$\bar{\chi} \approx 0 \rightarrow$  pas de structure organisante,  
 $\tilde{\chi}(x)$  domine  $\rightarrow$  fluctuations fortes et locales,  
mais  $\tilde{\chi}$  reste borné (Annexe C).

Conséquence dynamique :

dispersion des vitesses élevée,  
absence de schéma rotationnel clair,  
asymétries,  
sensibilité aux perturbations extérieures,  
impossibilité de figer une structure durable.

Les fluctuations de  $\tilde{\chi}$  constituent la signature morphogénique principale des naines.

#### **42.4.1 — Effet externe : modulation du glissement par l'environnement**

Lorsqu'une naine est proche d'une grande galaxie, l'environnement lui impose un glissement additionnel :

$$\chi_{\text{tot}} = \bar{\chi}_{\text{naine}} + \bar{\chi}_{\text{ext}} + \tilde{\chi}(x).$$

Effets :

- augmentation locale de  $t_1'$ ,
- légère augmentation ou modulation de  $\sigma'$ ,
- modification de  $t_2^{\text{eff}}$ ,
- dispersion accrue,
- signatures cinématiques asymétriques.

Cet effet explique la diversité des naines satellites de la Voie Lactée.

#### **42.5 — Comparaisons observationnelles : naines classiques et UDG**

Montée lente :

Carina, Sextans, Draco →  $v(r)$  augmente doucement, sans plateau.

Absence de plateau :

Aucune naine connue ne présente un plateau rotationnel large.

Dispersion importante :

Les fluctuations  $\tilde{\chi}$  reproduisent naturellement les dispersions observées dans les sphéroïdales.

Absence de sous-structures internes :

$\sigma$  faible → pas de bras, pas de noyau, pas de disque interne.

Sensibilité extrême à l'environnement :

Asymétries cohérentes avec  $\bar{\chi}_{\text{ext}}$ .

Naines ultra-diffuses (UDG) : candidates au pré-Freeze local :

- $\sigma' \approx 0$ ,
- $t_1$  très faible,
- $\bar{\chi}$  grand,
- $M_T$  saturé,
- $v_c$  très faible.

Ces systèmes sont des pré-Freeze miniatures, continus avec les naines neutres.

## 42.6 — Tests falsifiables spécifiques aux galaxies naines

Le VLCC serait réfuté si l'une des observations suivantes était établie :

1. Montée rapide de  $v(r)$

Impossible sans Zone II → incompatible avec  $\sigma' \approx 0$ .

2. Plateau rotationnel stable

Incompatible avec la neutralité morphogénique et l'absence de  $t_1$  structurant.

3. Sous-structures internes robustes

Impossible avec  $\sigma$  faible → le temps ne peut les organiser.

4. Glissement  $\tilde{\chi}(r)$  dominant dans une naine

LRTG + LPHD interdisent une tension fortement orientée dans un système si petit.

5. Gravité forte aux grands rayons

Contradiction avec  $g_{\text{VLCC}} \approx 0$  dans  $t_2^{\text{eff}}$  quasi constant.

Ces points constituent autant de tests observationnels immédiats.

## 42.7 — Conclusion : les galaxies naines comme laboratoire du VLCC

Les galaxies naines se révèlent être le terrain idéal pour tester la mécanique interne du VLCC.

Elles illustrent :

- la neutralité morphogénique,
- la montée lente obligatoire,
- l'absence de plateau,
- le rôle central des fluctuations  $\tilde{\chi}$ ,
- la sensibilité environnementale via  $\tilde{\chi}_{\text{ext}}$ ,
- la possibilité de pré-Freeze miniature dans les UDG.

Elles démontrent que :

- le VLCC n'a pas besoin de matière noire,
- ne modifie ni Newton ni Einstein,
- mais reconstruit la dynamique galactique en termes de structuration temporelle.

Les naines constituent un chaînon essentiel dans la continuité allant :

Spirales massives → Zones II fortes → Naines neutres →  $\sigma' \approx 0$  → UDG → pré-Freeze miniature → Régimes externes → pré-Freeze complet (Chap. 40)

Elles confirment que le VLCC unifie naturellement la dynamique galactique à toutes les échelles.

## CHAPITRE 43 — Synthèse morphogénique : individualité, dominance et attracteurs galactiques

Les chapitres précédents ont appliqué le VLCC à deux cas extrêmes :

la Voie Lactée, spiralée et cohérente, et les galaxies naines, faiblement structurées. Ces deux démonstrations, réalisées dans une lecture purement temporelle sans matière noire, aboutissent à une compréhension globale de l'origine de la diversité galactique.

Ce chapitre expose les deux principes qui expliquent cette diversité :

1. Le principe d'individualité morphogénique
2. Le principe de dominance morphogénique, avec l'existence d'une classe majoritaire d'attraction dans l'Univers : les spirales stables à Zone II.

### 43.1 — Principe d'individualité morphogénique

Chaque galaxie est une solution locale et historique du champ temporel triphasé  $\{\tau, \sigma, \Delta t\}$  et du triplet  $(t_1, t_2, t_1')$ .

Elle résulte de :

- conditions initiales propres,
- interactions et marées spécifiques,
- fluctuations  $\tilde{\chi}(x)$  locales,
- environnement morphogénique variable ( $\bar{\chi}_{ext}$ ),
- configuration baryonique initiale.

Deux galaxies ne suivent jamais la même trajectoire morphogénique.

De même que deux systèmes quantiques soumis aux mêmes lois peuvent diverger, deux galaxies plongées dans le champ temporel ne convergent pas vers la même structure phénoménale.

Il n'existe donc pas de chemin d'évolution universel.

Mais il existe des familles attractrices, déterminées par la dominance d'une composante temporelle.

### 43.2 — Principe de dominance morphogénique

Sous l'action des lois LPHD, LRTG, LCFT et LITV, une galaxie finit toujours par évoluer vers un régime dans lequel domine l'une des composantes :

- $t_1$  : mémoire profonde
- $t_1'$  : tension évolutive
- $\chi = t_1'/t_1$  : glissement morphogénique
- $\sigma$  : cohérence phénoménale saturée

Cette dominance détermine :

- la morphologie,
- la stabilité,
- la présence/absence de Zone II,
- la courbe de rotation,
- la formation de bras ou non,
- la sensibilité au milieu,
- l'accès au pré-Freeze.

- Les quatre attracteurs morphogéniques :

Voici leur forme condensée :

$t_1 \rightarrow$  mémoire forte  $\rightarrow$  spirales cohérentes (plateau stable)

$t_1' \rightarrow$  tension forte  $\rightarrow$  spirales chaudes / lenticulaires

$\chi \rightarrow$  glissement  $\rightarrow$  naines / irrégulières / UFD

$\sigma \rightarrow$  saturation  $\rightarrow$  UDG / régimes externes / pré-Freeze

Chaque galaxie finit par s'établir durablement dans l'un de ces quatre régimes dominants — mais la trajectoire menant à cet attracteur reste individuelle.

- Évolution de la dominance au cours du temps :

Une même galaxie peut changer de dominance au cours de son histoire :

- fusion mineure → augmentation de  $t_1'$ ,
- interaction de marée → augmentation de  $\tilde{\chi}$ ,
- épuisement baryonique → décroissance de  $t_1$ ,
- diffusion externe → augmentation de  $\bar{\chi}_{\text{ext}}$ .

Ainsi, une spirale peut devenir lenticulaire, une naine peut devenir UDG, une spirale massive peut perdre sa Zone II dans un environnement hostile.

### 43.3 — Principe de modalité galactique

Les deux principes précédents — individualité et dominance — décrivent comment une galaxie suit une trajectoire morphogénique singulière et converge vers un attracteur déterminé par la composante temporelle dominante.

Mais un troisième principe est nécessaire pour comprendre la dynamique complète : une galaxie ne demeure jamais éternellement dans un même régime morphogénique.

Énoncé canonique

Toute galaxie évolue par séquences successives de “modes morphogéniques” — spirale cohérente, spirale chaude, irrégulière, naine, UDG, pré-Freeze, Freeze Sphere locale — et peut changer de mode au cours de son histoire en réponse à l’environnement, aux gradients et aux fluctuations du champ temporel.

Autrement dit :

Les attracteurs du VLCC ne sont pas des prisons ontologiques, mais des stations temporaires dans une trajectoire temporelle plus vaste.

Ce principe découle directement de deux propriétés fondamentales du champ du temps :

1.  $\Delta t > 0$  (LITV) : la flèche du temps est irréversible → aucune structure ne peut rester figée pour toujours.
2.  $t_2 \geq t_{2,\text{basal}}$  (LCFT) : il existe toujours un présent minimal → même dans les états extrêmes, le temps conserve une capacité résiduelle à se reconfigurer.

## Conséquences morphogéniques

### (1) Les modes galactiques sont des régimes, pas des états permanents

- Une spirale peut devenir lenticulaire.
- Une lenticulaire peut redevenir spirale après accrétion.
- Une naine peut devenir UDG.
- Une UDG peut se réchauffer et se réorganiser.
- Une région en pré-Freeze peut repasser en Zone III.
- Une Freeze Sphere peut se rouvrir (Chap. 40.10).

Aucune configuration morphogénique n'est définitive.

### (2) Mécanismes de transition entre modalités

Les transitions sont déclenchées par :

- fusions :  $t_1'$  augmente  $\rightarrow$  mode chaud, perte de cohérence ;
- marées :  $\tilde{\chi}(x)$  augmente  $\rightarrow$  diffusion, asymétries, naines sphéroïdales ;
- flux baryoniques :  $\sigma$  augmente  $\rightarrow$  renforcement d'une Zone II ;
- érosion externe : décroissance de  $t_1$   $\rightarrow$  passage vers UDG ou pré-Freeze ;
- gradients externes :  $\nabla\sigma \neq 0$   $\rightarrow$  réouverture d'une Freeze Sphere.

Le mode morphogénique d'une galaxie est donc l'expression instantanée de son état temporel, non un identifiant éternel.

### (3) Lien avec la fin de vie des Freeze Spheres

La Section 40.10 a montré que :

Aucune Freeze Sphere n'est éternelle :  $t_2 > 0$  impose une réanimation minimale de la mémoire  $t_1$ .

Le principe de modalité galactique généralise cette idée à tous les régimes morphogéniques.

Ainsi :

Toute galaxie est en évolution continue dans l'espace des modalités du VLCC.

#### **(4) Relation avec les attracteurs du principe de dominance**

Le nouveau principe complète le précédent :

- Le principe de dominance dit vers quel type d'attracteur une galaxie tend.
- Le principe de modalité dit qu'elle n'y reste jamais pour toujours.

Les galaxies naviguent donc dans un espace d'attracteurs, leurs modalités changeant au gré des perturbations, du milieu, et de l'évolution interne du champ du temps.

#### **43.4 — Le principe de dominance majoritaire : une classe qui émerge statistiquement**

Bien que quatre attracteurs existent, la dynamique morphogénique du temps n'est pas neutre :

elle favorise statistiquement un attracteur particulier.

Sous LPHD, LRTG, LCFT :

- $t_1$  décroît lentement,
- $t_1'$  augmente jusqu'à un plateau,
- $\sigma$  devient convexe en zone baryonique,
- $\Delta t$  reste strictement positif.

- Ces mécanismes produisent un attracteur majoritaire :

Régime majoritaire : dominance  $t_1' \rightarrow$  Zone II stable  $\rightarrow$  galaxies spirales standard

C'est la raison profonde pour laquelle :

- la majorité des galaxies visibles sont des spirales,
- les plateaux rotationnels sont réguliers et universels,
- la Voie Lactée est un exemple typique du "régime morphogénique dominant".

- Rôle statistique de  $\tilde{\chi}(x)$  dans les classes minoritaires :

Lorsque  $\tilde{\chi}(x)$  domine sur la structure de  $\tilde{\chi}(r)$ , ce sont les régimes minoritaires (naines, irrégulières, UDG) qui émergent préférentiellement.

Autrement dit :

Les petites galaxies sont plus sensibles aux fluctuations morphogéniques et basculent plus facilement vers les attracteurs  $\chi$  ou  $\sigma$  que vers  $t_1'$ .

C'est une conséquence statistique directe de la faiblesse de leurs gradients initiaux.

### 43.5 — Éclairage des résultats : ce que confirment les chapitres 41 et 42

- Chapitre 41 — Voie Lactée :

- $\sigma'$  modéré  $\rightarrow$  Zone II robuste
- $t_1'$  dominant  $\rightarrow$  plateau stable
- $\chi$  faible  $\rightarrow$  fluctuations amorties
- pré-Freeze seulement très externe

$\rightarrow$  Cas d'école du régime majoritaire.

- Chapitre 42 — Galaxies naines :

- $\sigma' \approx 0$   $\rightarrow$  régime quasi neutre
- $\bar{\chi} \approx 0, \tilde{\chi}$  dominant  $\rightarrow$  dispersion élevée
- absence totale de Zone II  $\rightarrow$  montée lente obligatoire
- possibilité de pré-Freeze miniature (UDG)

$\rightarrow$  Cas d'école du régime minoritaire glissement/ $\sigma$ .

Ces deux extrêmes valident simultanément :

- le principe d'individualité,
- le principe de dominance,
- l'existence d'un attracteur majoritaire,
- l'existence de régimes minoritaires parfaitement prédits et falsifiables.

### 43.6 — Conclusion générale : une unification morphogénique de la diversité galactique

Les chapitres 41 à 43 ont établi que la diversité galactique n'est pas la conséquence d'une masse manquante ni d'un ajustement phénoménologique, mais l'expression directe de l'histoire temporelle propre à chaque système.

Trois principes — individualité, dominance et modalité — organisent désormais de manière claire et unifiée la dynamique galactique :

#### 1. Le principe d'individualité morphogénique

Chaque galaxie est une solution historique du champ du temps triphasé.

Son évolution dépend de ses gradients initiaux, de son environnement, des fluctuations  $\tilde{\chi}(x)$ , et de son histoire baryonique.

Deux galaxies ne suivent jamais la même trajectoire morphogénique.

## 2. Le principe de dominance

Malgré leur diversité, toutes les galaxies convergent vers l'un des quatre régimes d'attraction du VLCC :

$t_1$  (spirales cohérentes),  $t_1'$  (spirales chaudes),  $\chi$  (naines et irrégulières),  $\sigma$  (UDG et pré-Freezes).

Ces attracteurs émergent naturellement des lois morphogéniques sans paramètre ad hoc.

## 3. Le principe de modalité galactique

Aucun attracteur n'est permanent.

Une galaxie peut changer de mode morphogénique au cours de son histoire — spirale → lenticulaire → irrégulière → UDG → reprise de cohérence — selon les gradients externes, les fusions, les effets de marée ou la diffusion baryonique. Même les Freeze Spheres (Chap. 40) ne sont jamais éternelles : un présent basal  $t_2 > 0$  impose toujours une possibilité de réanimation.

Ces trois principes composent une lecture entièrement temporelle de la diversité galactique :

la morphologie n'est plus un mystère, mais la conséquence d'une mécanique interne du temps.

Validation par les deux cas extrêmes

Les études détaillées de la Voie Lactée (Chap. 41) et des galaxies naines (Chap. 42) confirment ce schéma :

- La Voie Lactée illustre l'attracteur majoritaire  $t_1'$  : Zone II robuste, plateau rotationnel stable, fluctuations amorties.
- Les naines illustrent l'attracteur  $\chi/\sigma$  : montée lente obligatoire, absence de plateau,  $\tilde{\chi}$  dominant, pré-Freezes miniatures.

Deux régimes opposés, une même architecture temporelle.

## Synthèse

La Partie III montre que le VLCC :

- n'a pas besoin de matière noire pour expliquer les courbes de rotation ;
- deduit la diversité galactique de la dynamique du temps lui-même ;
- prédit des classes morphogéniques naturelles, hiérarchisées par les attracteurs ;
- explique pourquoi les spirales sont majoritaires et pourquoi les naines sont dispersives ;
- unifie les galaxies régulières, irrégulières, UDG et pré-Freezes dans un même schéma ;
- décrit l'évolution des galaxies comme une succession de modalités, jamais figée.

Ainsi, le VLCC n'explique pas seulement la forme des vitesses, il révèle la logique profonde de la diversité galactique :

- une logique temporelle,
- unifiée,
- structurée,
- falsifiable,
- et historiquement cohérente.

## CHAPITRE 44 — Prédictions fondamentales du VLCC

Ce chapitre rassemble, en un seul lieu, ce que le VLCC affirme sur le monde physique, indépendamment des instruments ou des expériences concrètes (qui seront traités au Chapitre 45).

Il ne s'agit pas ici de redémontrer le modèle, ni de décliner des cas particuliers (Voie Lactée, naines...), mais de formuler les prédictions fondamentales qui découlent :

- de la tri-phase temporelle  $\{\tau, \sigma, \Delta t\}$ ,
- du triplet morphogénique  $(t_1, t_2, t_1')$ ,
- du glissement  $\chi = t_1' / t_1$ ,
- des lois LPHD, LCFT, LRTG, LITV,
- de la gravité morphogénique  $g_{VLCC} \propto \partial r t_2_{eff}$ ,
- de l'équation-cadre variationnelle  $\Sigma \Phi_i = 0$ .

Les Chapitres 41 et 42 ont déjà montré comment ces structures se projettent sur des cas d'étude (Voie Lactée, galaxies naines).

Le présent chapitre fait un pas en arrière : il énonce ce que le VLCC prédit toujours, indépendamment du système, à toutes les échelles.

## 44.1 — Rappel minimal du cadre morphogénique

Le cœur du modèle peut se résumer par quatre objets :

Tri-phase temporelle  $\{\tau(x,t), \sigma(x,t), \Delta t(x,t)\}$

- $\tau$  : profondeur de mémoire,
- $\sigma$  : cohérence phénoménale,
- $\Delta t$  : tension évolutive.

Triplet morphogénique  $(t_1, t_2, t_1')$

- $t_1$  : mémoire profonde,
- $t_2$  : présent intriqué,
- $t_1'$  : tension évolutive.

Glissement morphogénique étendu  $\chi = t_1' / t_1 = \bar{\chi}(r,t) + \tilde{\chi}(x,t)$

Gravité morphogénique :

$g_{VLCC}(r) \propto \partial r t_2_{eff}(r)$

où  $t_2_{eff}$  est une combinaison de  $\sigma$  et  $\Delta t$  (et, au besoin,  $\tau$ ), adaptée au régime considéré.

## 44.2 — Prédictions universelles sur la structure du temps

### 44.2.1 — Monotonicités et invariants

Le VLCC impose quatre comportements universels :

**LPHD** — Mémoire jamais négative, érosion lente

$$t_1 \geq 0$$

$t_1$  ne croît jamais spontanément dans un système isolé.

**LRTG** — Tension toujours orientée

$$t_1' \geq 0$$

$t_1'$  tend vers un plateau en régime saturé.

**LCFT** — Présent toujours non nul

$$t_2 \geq t_2_{basal} > 0$$

$\sigma' \rightarrow 0^+$  sans disparition du présent.

**LITV** — Flèche du temps irréversible

$$\Delta t > 0 \text{ partout}$$

$\Delta t$  ne peut ni s'annuler, ni changer de signe.

Invariant morphogénique :

$$I = t_2^2 - t_1 t_1' > 0$$

#### 44.2.2 — Glissement monotone

Pour tout système relaxé :

- en rayon :  $\bar{\chi}(r)$  est non décroissant,
- en temps cosmologique :  $\chi(t)$  est non décroissant.

La polarisation mémoire/tension ne se répare pas spontanément.

Une mesure observationnelle montrant  $\chi$  décroissant invaliderait le modèle.

### 44.3 — Prédictions gravitationnelles générales du VLCC

#### 44.3.1 — Gravité = gradient de présent

La gravité morphogénique est définie par :

$$g_{VLCC}(r) \propto \partial/\partial r t_{eff}(r)$$

Conséquences fondamentales :

- Ce n'est pas un champ généré par une densité de masse : la "masse effective" n'est qu'une relecture de  $\sigma'$  et  $\Delta t'$ .
- Il n'existe aucune matière noire fondamentale dans le modèle : tout ce qui ressemble à une source gravitationnelle est une structuration du temps.
- La formule newtonienne (avec  $M_b + MT$ ) est une approximation phénoménale, valable en régime quasi stationnaire :

$$v_c^2(r) = G_0 [M_b(r) + MT(r)] / r$$

avec

$$\rho T(r) = \alpha \sigma'(r),$$

$$MT(r) = 4\pi \int_0^r \rho T(r') r'^2 dr'.$$

Mais le niveau fondamental reste  $g_{VLCC} \propto \partial r t_{eff}$ .

### 44.3.2 — Extinction gravitationnelle

Une prédiction forte du modèle :

La gravité s'éteint là où  $t_{\text{eff}}$  devient spatialement constant.

En particulier :

- lorsque  $\sigma'(r) \rightarrow 0^+$  et  $\Delta t'(r) \rightarrow 0$ ,
- alors  $\partial r / t_{\text{eff}} \rightarrow 0$ ,
- donc  $g_{\text{VLCC}} \rightarrow 0$ .

C'est ce qui se produit :

- dans les régimes externes des galaxies (Zone III avancée),
- dans les pré-Freezes et Freeze Spheres,
- dans certains environnements intergalactiques très dilués.

La gravité morphogénique possède donc une borne supérieure : elle ne peut pas croître indéfiniment, elle finit par s'éteindre lorsque le temps cesse de se reconfigurer.

### 44.3.3 — Interdictions structurelles

Le VLCC interdit :

- les trous de ver (nécessiteraient  $\Delta t = 0$ ),
- les régimes de gravité répulsive pure générés par le temps lui-même,
- les halos massifs purement sombres sans support baryonique minimal,
- toute structure nécessitant un changement de signe de la flèche temporelle.

## 44.4 — Prédictions galactiques fondamentales

### 44.4.1 — Structure universelle des courbes de rotation

Tout système spiralé relaxé doit présenter trois zones morphogéniques (Chap. 39) :

#### 1. Zone I (interne baryonique)

$$\sigma_I(r) = \sigma_0 + a r^2$$

- montée rapide de  $v_c(r)$
- cohérence forte,  $t_1$  dominant

## 2. Zone II (intermédiaire morphogénique)

$$\sigma_{II}(r) = A + B r + C r^2 + D r^3$$

- $\sigma'(r)$  quasi constant
- $MT(r) \propto r$
- plateau rotationnel naturel

## 3. Zone III (externe)

$$\sigma_{III}(r) = \sigma_\infty - k/r$$

- $\sigma'(r) \propto 1/r^2$
- $MT(r)$  saturant
- $v_c(r) \propto r^{-1/2}$
- début d'extinction gravitationnelle

### Prédiction forte :

Toute galaxie spirale relaxée doit présenter une montée interne, un pseudo-plateau et une décroissance externe douce.

L'absence durable de l'un de ces trois régimes dans une spirale mature réfuterait le VLCC.

### 44.4.2 — Classes galactiques = régimes de dominance morphogénique

Le Principe de dominance (Chap. 43) affirme que chaque galaxie tend vers un régime où l'une des composantes ( $t_1, t_1', \sigma, \chi$ ) domine.

#### Prédictions :

##### 1. Dominance de $t_1 \rightarrow$ spirales cohérentes

- bras spiraux persistants
- Zone II bien développée
- plateau de vitesse net

##### 2. Dominance de $t_1' \rightarrow$ galaxies dynamiquement chaudes

- structures moins stables
- plateaux plus courts ou absents
- cinématique "chaude"

### 3. Dominance de $\chi \rightarrow$ naines, irrégulières, UFD

- montée lente obligatoire
- absence de plateau
- champ neutre perturbé :  $\tilde{\chi}$  dominant

### 4. Dominance de $\sigma \rightarrow$ UDG, régimes externes, pré-Freeze

- gradients effacés
- gravité en extinction
- luminance extrêmement faible

#### 44.4.3 — Freeze Spheres et pré-Freezes

Tout système galactique suffisamment dilué en périphérie doit tendre vers un régime de pré-Freeze, voire de Freeze Sphere :

- $\sigma' \rightarrow 0^+$
- $t_1 \rightarrow 0$
- $t_1' \rightarrow$  plateau
- $\chi \rightarrow \infty$
- gVLCC  $\rightarrow 0$

##### Prédictions principales :

- existence de bords dynamiques aux halos (vitesse décroissant plus vite que dans une Zone III standard)
- absence de sous-structures dans ces zones
- possibilité de pré-Freezes miniatures dans certaines UDG

#### 44.4.4 — Corrélation baryons-cohérence-gravité

Le VLCC prédit une corrélation stricte :

$$\rho_{\text{baryonique}}(r) \Leftrightarrow \sigma(r) \Leftrightarrow \rho T(r) \Leftrightarrow g_{\text{VLCC}}(r)$$

En particulier :

- il ne peut pas exister de halo gravitationnel massif sans baryons : il faut toujours un support baryonique minimal pour structurer  $\sigma$
- toute “masse manquante” est le reflet d’une cohérence temporelle non prise en compte, mais elle doit rester corrélée à la baryonique sous-jacente

La découverte robuste d’un halo noir pur serait une falsification directe.

#### **44.5 — Prédictions cosmologiques fondamentales**

Sur le plan cosmologique, la dynamique de l’Univers est gouvernée par l’évolution lente de :

- $\sigma(t)$ ,
- $\Delta t(t)$ ,
- $\chi(t) = t_1'(t)/t_1(t)$ .

##### **Prédictions conceptuelles** :

###### **1. Déviation douce de $H(z)$**

- $H(z)$  doit s’écartez légèrement de  $\Lambda$ CDM (déviation faible, monotone),
- signe cohérent avec  $\dot{\sigma}(t)$  et  $\Delta\dot{t}(t)$ .

###### **2. Chronométrie cosmique anormale mais lisse**

- le ratio  $R(z) = (dt/dz)/(dt/dz)_{\Lambda\text{CDM}}$  doit présenter un résidu faible mais cohérent.

###### **3. Glissement cosmique non constant**

- $\chi(t)$  est croissant : la croissance des structures, les BAO et  $f\sigma_8(z)$  doivent porter la trace d’une orientation temporelle accrue.

#### **4. Résidus faibles dans le CMB**

- le CMB doit contenir des anomalies faibles mais corrélées à l'histoire de  $\sigma(t)$  et  $\chi(t)$ ,
- pas de révolution des spectres, mais des écarts structurés.

Un Univers strictement  $\Lambda$ CDM, sans résidus cohérents dans  $H(z)$ ,  $R(z)$ ,  $f\sigma_8$  et le CMB, mettrait très sévèrement en question la version cosmologique du VLCC.

### **44.6 — Prédictions locales : LPHD, LCFT, LRTG (niveau principe)**

Sans entrer dans les dispositifs concrets (Chapitre 45), le VLCC affirme déjà :

#### **1. Régime LPHD (gradients locaux de temps)**

- des horloges de très haute précision doivent enregistrer des dérives corrélées aux gradients contrôlés de température/structure,
- ces dérives sont réversibles et disparaissent en régime isotherme.

#### **2. Régime LCFT (cohérence collective)**

- des systèmes quantiques cohérents (supraconducteurs, BEC...) doivent voir leur cohérence modulée par des perturbations qui agissent sur la tri-phase,
- la réponse doit être directionnelle et corrélée aux gradients.

#### **3. Régime LRTG (relativité temporelle généralisée)**

- les horloges spatiales et les ondes gravitationnelles doivent présenter des résidus extrêmement faibles mais systématiques, non absorbables par la RG pure,
- ces résidus sont liés à  $\nabla\sigma$ ,  $\nabla(\Delta t)$  et  $\delta t^1$ .

En résumé :

À sensibilité suffisante, toute horloge ou tout système cohérent bien contrôlé devient un détecteur du champ temporel.

## 44.7 — Prédictions négatives fortes (ce que le VLCC interdit)

Le VLCC ne se contente pas de proposer des effets ; il interdit un certain nombre de situations :

- trous de ver statiques ou dynamiques (nécessiteraient  $\Delta t = 0$ ),
- inversions locales de la flèche du temps,
- halos massifs purement sombres sans baryonique,
- gravité répulsive intrinsèque liée au temps structuré,
- disparition complète de  $t_2$  dans une région finie,
- glissement  $\chi$  décroissant de manière durable dans un système relaxé,
- galaxie naine avec plateau rotationnel large et stable,
- spirale relaxée sans Zone II morphogénique,
- cosmos parfaitement  $\Lambda$ CDM à tous les niveaux (sans aucun résidu cohérent).

Chacun de ces items constitue un test critique : leur observation robuste, répétée, invaliderait le modèle dans sa forme actuelle.

## 44.8 — Synthèse : un modèle entièrement prédictif et falsifiable

Les Chapitres 41 et 42 ont montré, sur des cas d'étude (Voie Lactée, galaxies naines), que le VLCC :

- reconstruit les courbes de rotation sans matière noire,
- explique la montée lente des naines,
- prédit des régimes de pré-Freeze et de gravité en extinction,
- relit la diversité galactique à travers les régimes de dominance morphogénique.

Le présent Chapitre 44 élève ces résultats au niveau fondamental :

- la gravité est la dérivée radiale du présent intriqué,
- le temps possède une structure interne triphasée,
- les galaxies sont des solutions historiques du champ temporel,
- les grandes classes morphologiques correspondent aux attracteurs  $(t_1, t_1', \sigma, \chi)$ ,
- la gravité s'éteint dès que le temps cesse de se reconfigurer,
- l'Univers doit présenter un motif cohérent de résidus faibles à toutes les échelles.

## **44.9 — Addendum essentiel : toute réfutation doit tenir compte de l'Annexe B**

Avant de conclure à une incompatibilité empirique entre une observation et le VLCC, il est impératif d'appliquer la grille d'analyse morphogénique exposée en Annexe B.

L'Annexe B décrit trois régimes perturbés universels :

### **1. Régime $\tilde{\chi}$ -dominant**

où les fluctuations du glissement surpassent la composante moyenne  $\tilde{\chi}$ .

→ Les trajectoires deviennent chaotiques mais bornées, et les signatures dynamiques (vitesse, dispersion, anisotropies) ne suivent plus la forme canonique.

### **2. Régime de dissipation morphogénique**

où le système n'a pas le temps de relaxer sa cohérence  $\sigma$ .

→ Les comportements observés peuvent diverger temporairement des prédictions structurales.

### **3. Régime de bifurcation locale**

où de petites perturbations du milieu (marées, cisaillements, gradients externes) dévient fortement la solution locale du champ temporel.

→ Ce régime peut mimer des anomalies qui ne constituent pas une réfutation.

Conséquence capitale : Une observation qui semble contredire une prédiction fondamentale du VLCC ne constitue une réfutation que si l'on démontre que le système n'était pas dans un de ces trois régimes perturbés.

Autrement dit :

- une courbe de rotation atypique,
- une dispersion anormalement élevée,
- une perte de structure,
- une asymétrie prononcée,
- un effondrement apparent de cohérence,
- un plateau manquant ou tronqué,
- une décroissance trop rapide ou trop lente...

ne peuvent invalider le modèle que si l'analyse morphogénique montre :

1. que  $\tilde{\chi}$  n'était pas dominant,
2. que le système n'était pas en reconfiguration temporelle rapide,
3. que le glissement externe ne perturbait pas l'évolution interne.

Cet addendum complète le principe de falsifiabilité forte du VLCC :

Le modèle est falsifiable, mais seulement dans le régime morphogénique adéquat (non perturbé).

Les observations issues d'un régime dominé par  $\tilde{\chi}$  ne peuvent pas être interprétées comme des violations des prédictions fondamentales.

En pratique, cela signifie :

- Les galaxies naines dominées par  $\tilde{\chi}$  ne peuvent pas être utilisées pour réfuter la structure en Zones I-II-III.
- Les environnements de pré-Freeze ne peuvent pas être utilisés pour réfuter la gravité morphogénique dans les zones structurées.
- Les galaxies fortement perturbées (interactions, marées, cisaillements) ne peuvent pas être utilisées pour tester les relations baryons- $\sigma$ - $\rho$ \_T.

L'Annexe B joue le rôle de filtre méthodologique :

elle dit quand une observation peut être considérée comme un test valide du modèle, et quand elle ne le peut pas.

Ainsi toute réfutation du VLCC doit nécessairement passer par l'Annexe B.

Une anomalie observée ne constitue un argument contre le modèle que si l'on démontre qu'elle se produit dans un régime non perturbé, où  $\tilde{\chi}$  est faible et où la trajectoire morphogénique devrait suivre l'une des solutions canoniques du temps structuré.

Le Chapitre 45 traduira maintenant ces prédictions en domaines expérimentaux concrets :

horloges, interféromètres, systèmes quantiques cohérents, horloges spatiales, relevés cosmologiques, lentilles, gaz H I, EHT, objets compacts...

En d'autres termes :

Le VLCC ne propose pas une "histoire possible" du cosmos ; il fournit un programme expérimental complet, où chaque observation — locale, galactique ou cosmologique — devient un test direct du temps morphogénique.

## CHAPITRE 45 — Domaines expérimentaux du VLCC

Le Chapitre 44 a établi les prédictions fondamentales du VLCC :

évolution du temps selon la tri-phase  $\{\tau, \sigma, \Delta t\}$ , glissement  $\chi$ , gravité morphogénique  $g_{VLCC} \propto \partial r t_2^{\text{eff}}$ , extinction gravitationnelle, zones galactiques, attracteurs morphogéniques.

Le présent chapitre répond à la question complémentaire et décisive :

« Où peut-on tester expérimentalement l'existence de la morphogénèse du temps ? »

Contrairement aux théories classiques (RG, modèles de champs scalaires, MOND,  $\Lambda$ CDM), le VLCC n'introduit aucune entité additionnelle, mais modifie l'ontologie temporelle elle-même.

Ses signatures doivent donc apparaître dans toute expérience qui réagit :

- aux gradients locaux du temps (LPHD),
- à la cohérence collective du présent intriqué (LCFT),
- aux effets relativistes du glissement (LRTG),
- à l'évolution cosmique lente de  $\sigma(t)$  et  $\Delta t(t)$ ,
- aux structures gravitationnelles externes (lentilles, halos, gaz HI),
- aux régimes extrêmes du temps (trous noirs, jets, QPO).

Le modèle est fortement falsifiable :

chaque strate fournit des signatures cohérentes, et leur absence simultanée invaliderait l'existence même de la tri-phase.

## 45.1 — Les six strates expérimentales : vue d'ensemble

Voici la cartographie complète des domaines où la morphogénèse du temps doit se manifester :

Strate	Échelle	Composantes sondées	Observables
<b>LPHD</b>	locale	gradients $\tau, \sigma, \Delta t$	horloges, interférométrie, nano-oscillateurs
<b>LCFT</b>	cohérente	$t_2, \sigma, \Delta t, \delta\chi$	supraconducteurs, BEC
<b>LRTG</b>	relativiste	glissement $\chi, \nabla\sigma, \nabla\Delta t$	horloges spatiales, ondes gravitationnelles
<b>Cosmologique</b>	grande échelle	$\sigma(t), \Delta t(t), \chi(t)$	$H(z)$ , chronométrie, BAO, CMB
<b>Structurelle galactique</b>	amas	$\sigma'(r), \tilde{\chi}(r), \delta\chi$	lentilles, gaz externe, clusters
<b>Extrême</b>	trous noirs	jets $\nabla\sigma$ intense, saturation $\chi$	EHT, QPO, jets relativistes

Pour que le modèle soit valide, toutes ces strates doivent raconter la même histoire temporelle.

## 45.2 — Strate LPHD : gradients locaux du temps

Les expériences LPHD sondent directement les gradients locaux de la tri-phase.

Elles ne mesurent pas une propriété thermique ou mécanique :

elles mesurent une réponse temporelle intrinsèque.

### **45.2.1 — Horloges optiques cryogéniques : dérives temporelles directionnelles**

Un gradient thermique imposé sur une horloge entraîne une variation du flux temporel :

$$\delta\tau \propto \alpha \cdot \delta(\partial T / \partial t)$$

Signatures VLCC :

- dérive temporelle réversible liée au gradient,
- absence totale d'effet en régime isotherme,
- réponse directionnelle alignée avec  $\nabla T$ .

Falsification :

aucune dérive détectée à sensibilité  $10^{-18} - 10^{-19}$ .

### **45.2.2 — Interférométrie atomique : déphasage morphogénique**

Les interféromètres mesurent :

$$\Delta\phi \propto \tilde{\alpha} \int (\nabla^2 T) dt$$

Signatures VLCC :

- déphasage faible mais systématique,
- corrélé au gradient thermique imposé,
- réversibilité parfaite.

Falsification :

absence totale de  $\Delta\phi$  sous gradient contrôlé.

### **45.2.3 — Nano-oscillateurs : inertie temporelle locale**

Un gradient  $\sigma$  ou  $\Delta t$  modifie légèrement l'inertie interne :

$$\delta f \propto \beta \delta(\sigma + \Delta t)$$

Signatures :

- variation faible mais corrélée à  $\nabla T$ ,
- absence d'effet en régime isotherme.

Falsification :

inertie totalement insensible aux gradients temporels.

### **45.3 — Strate LCFT : cohérence du présent intriqué**

Les systèmes quantiques cohérents sont de véritables amplificateurs du présent intriqué  $t_2$ .

Ils sondent  $\sigma(x)$  et  $\Delta t(x)$  bien plus finement que les dispositifs LPHD.

#### **45.3.1 — Supraconducteurs : réponse directionnelle du flux temporel**

Sous un gradient thermique :

$$\delta\sigma \propto \beta \delta(\partial T / \partial t)$$

Signatures :

- baisse temporaire de cohérence,
- rétablissement complet lorsque le gradient disparaît,
- réponse directionnelle alignée avec  $\nabla T$ .

Falsification : cohérence identique en isotherme et sous gradient.

#### **45.3.2 — Condensats BEC : oscillations temporelles modulées par la tri-phase**

Le contraste d'interférence varie selon :

$$\delta\psi \propto \delta\sigma + \delta(\Delta t)$$

Signatures :

- oscillations faibles mais directionnelles,
- modulation cohérente dans le temps,
- réversibilité en régime isotherme.

Falsification : absence totale de variation.

#### **45.3.3 — Invariant $\delta\chi$ : anisotropie faible mais fondamentale**

$$\delta\chi = \gamma (\nabla\sigma - \nabla\rho)$$

Signatures :

- anisotropie directionnelle très faible mais stable,
- visible dans les anneaux ou double-puits,
- cohérente avec  $\nabla T$ .

Falsification : cohérence parfaitement isotrope.

#### **45.4 — Strate LRTG : relativité temporelle généralisée**

Cette strate teste la propagation du temps lui-même, pas uniquement ses gradients.

##### **45.4.1 — Horloges spatiales : dérive directionnelle du temps propre**

Le temps propre devient :

$$d\tau_{\text{obs}} = d\tau_{\text{RG}} + \lambda_1 \nabla\sigma \bullet v + \lambda_2 \nabla(\Delta t) \bullet v$$

Signatures :

- dérive directionnelle montée/descente,
- résidu non absorbable par RG,
- modulation périodique cohérente.

Falsification : exactitude parfaite du modèle RG.

#### **45.4.2 — Ondes gravitationnelles : déphasage morphogénique cumulatif**

La phase observée est :

$$\varphi = \varphi_{RG} + \int (\alpha_1 \dot{\sigma} + \alpha_2 \Delta\dot{t}) dt$$

Signatures :

- dérive de phase extrêmement faible mais systématique,
- indépendante de la vitesse de propagation (qui reste  $c$ ),
- cohérente entre plusieurs événements.

Falsification : signaux parfaitement RG sur toute la durée.

#### **45.4.3 — Variation directionnelle du temps propre sur orbite**

Signatures :

- dérive périodique,
- asymétrie montée/descente,
- reproductibilité orbite après orbite.

Falsification : absence totale de résidu directionnel.

### **45.5 — Strate cosmologique : dynamique lente du temps**

La cosmologie teste l'évolution lente de  $\sigma(t)$ ,  $\Delta t(t)$ ,  $\chi(t)$ .

#### **45.5.1 — Déviation douce de $H(z)$**

$$H(z) = H_{RG}(z)[1 + \varepsilon_\sigma \dot{\sigma} + \varepsilon_{\Delta t} \Delta\dot{t}]$$

Signatures :

- déviation douce 0.1–1 %,
- monotone,
- cohérente à toutes les échelles.

Falsification :

accord strict  $\Lambda$ CDM sans résidus.

#### **45.5.2 — Chronométrie cosmique : ratio R\_LPHD(z)**

$$R(z) = R_{RG}(z)[1 + \eta_1 \dot{\sigma} + \eta_2 \Delta t]$$

Signature :

- anomalie faible mais stable.

Falsification :

$$R(z) = R_{\Lambda CDM} \text{ sans écart.}$$

#### **45.5.3 — Dynamique lente du glissement cosmique $\chi(t)$**

$$\chi(t) = t_1'(t)/t_1(t)$$

Signatures :

- modulation faible de  $f\sigma_8$ ,
- décalage BAO minimal mais mesurable,
- $\chi(t)$  non décroissant.

Falsification :

glissement strictement constant.

#### **45.5.4 — Signatures faibles dans le CMB**

- résidus TT/EE  $\sim 0.1\text{--}0.3\%$ ,
- cohérence avec  $H(z)$ ,
- pas de fluctuations chaotiques.

Falsification :

CMB parfaitement  $\Lambda CDM$ .

## **45.6 — Strate structurelle : signatures gravitationnelles du temps**

Les signatures galactiques et d'amas testent directement  $g_{\text{VLCC}}$ .

### **45.6.1 — Lentilles faibles : anisotropie morphogénique**

Signatures :

- excès de cisaillement faible,
- orientation privilégiée alignée avec  $\nabla\sigma$ ,
- résidus non-NFW.

Falsification :

lentilles parfaitement isotropes + NFW propre.

### **45.6.2 — Lentilles fortes : asymétrie directionnelle**

Signatures :

- décalage angulaire stable,
- asymétrie A/B non attribuable aux baryons.

Falsification :

modèles isothermes parfaits sans résidu.

### **45.6.3 — Halos et absence de halos noirs**

Prédiction :

il n'existe pas de halo massif totalement dépourvu de baryons.

Falsification :

découverte d'un halo noir parfaitement baryon-free.

#### **45.6.4 — Gaz HI externe : traceur direct des gradients temporels**

Signatures :

- anisotropies faibles,
- dispersion croissante,
- déformation des isocourbes.

Falsification :

gaz externe parfaitement isotrope.

#### **45.6.5 — Clusters et superclusters**

Signatures :

- résidus morphogéniques sur  $\kappa(r)$  et  $\gamma(r)$ ,
- orientation corrélée à  $\bar{\chi}$ .

Falsification :

ajustement parfait  $\Lambda$ CDM + NFW.

### **45.7 — Strate extrême : où la tri-phase atteint ses limites**

#### **45.7.1 — Ombres de trous noirs (EHT)**

Signatures :

- asymétrie directionnelle faible mais stable,
- résidu multi-bandes cohérent,
- angle préférentiel indépendant du spin.

Falsification :

ombre parfaitement Kerr.

#### **45.7.2 — Disques d'accrétion**

Signatures :

- variations directionnelles de luminosité,
- instabilités corrélées à  $\nabla\sigma$ .

Falsification :

turbulence parfaitement MHD.

#### **45.7.3 — Jets relativistes**

Signatures :

- anisotropie de polarisation,
- asymétrie jet / contre-jet excédant les effets Doppler.

Falsification :

jets entièrement isotropes.

#### **45.7.4 — Objets compacts (QPO, pulsars)**

Signatures :

- décalages systématiques dans HFQPO,
- polarisation X directionnelle.

Falsification :

absence totale de résidus directionnels.

## 45.8 — Synthèse : tableau de falsifiabilité globale

Strate / Loi	Domaine expérimental	Instrument / Observable	Signature attendue (VLCC)	Le modèle est invalidé si...
1 — <b>LPHD</b> (Gradients locaux du temps profond)	Horloges optiques cryogéniques	$\Delta f/f$ sous gradients thermiques contrôlés	Dérive temporelle faible mais systématique, corrélée aux gradients thermiques via $\sigma(x)$ ; disparition en régime isotherme	Aucune dérive mesurable ; comportement strictement conforme à la RG après corrections standard
	Interférométrie atomique	$\Delta\phi$ sous gradients thermiques	Déphasage directionnel très faible mais reproductible, proportionnel à des gradients temporels effectifs ( $\nabla\sigma$ induit)	Absence totale de déphasage directionnel
2 — <b>LCFT</b> (Cohérence du présent intriqué)	Supraconducteurs	Temps de cohérence, transitions	Variation transitoire et directionnelle de la cohérence sous gradients de $\sigma$ ; anisotropie réversible	Cohérence identique en gradient et en régime homogène
	BEC / systèmes cohérents	Contraste interférométrique	Oscillations faibles mais orientées, signature d'un présent intriqué modulé	Isotropie parfaite, absence d'effet directionnel
3 — <b>LRTG</b> (Relativité temporelle généralisée)	Horloges spatiales (orbites complexes)	Temps propre directionnel	Résidu directionnel stable non absorbable par la RG, dépendant de $\nabla\sigma$ et $\nabla\Delta t$	Accord parfait avec la RG sans résidu directionnel
	Ondes gravitationnelles	Phase cumulée $\varphi(f)$	Dérive monotone minimale liée à $\dot{\sigma}(t)$ , $\Delta\dot{t}(t)$ , cohérente entre événements	Signaux strictement compatibles RG (aucun résidu de phase)
	Satellites excentriques	$\delta(d\tau)$ sur une orbite	Asymétrie stable montée/descente du temps propre	Symétrie parfaite après correction relativiste

4 — Cosmologie morphogénique	Expansion cosmique	$H(z)$ (Euclid, DESI)	Déviation douce ( $\approx 0,1\text{--}1\%$ ) cohérente avec $\dot{\sigma}(t)$ et $\chi(t)$ croissant	Courbe strictement $\Lambda$ CDM sans résidu
	Chronométrie cosmique	$dt/dz$	Anomalie faible mais cohérente avec $H(z)$ , signature LPHD cosmique	Relation identique à $\Lambda$ CDM
	Croissance des structures	$f\sigma_8(z)$	Modulation douce liée à $\chi(t)$ non décroissant	Croissance strictement $\Lambda$ CDM
	CMB	TT / EE résiduels	Distorsions faibles (0,1–0,3 %) structurées, corrélées à $\sigma_{\text{prim}}$	Ajustement parfait $\Lambda$ CDM
5 — Structure gravitationnelle	Lentilles faibles	$\gamma, \kappa$ directionnels	Excès de cisaillement et anisotropies alignées avec $\nabla\sigma$	Profils isotropes NFW parfaits
	Lentilles fortes	Arcs, configurations	Asymétries morphogéniques résiduelles	Ajustement exact par baryons + NFW
	Halos galactiques	$M_T(r)$ vs baryons	Absence de halos massifs sans baryons ; corrélation $\sigma$ -baryons	Découverte d'un halo massif dépourvu de baryons
	Gaz H I externe	Dispersion, anisotropies	Distorsions directionnelles faibles mais stables	Gaz strictement isotrope
	Amas de galaxies	Convergence, cisaillement	Résidus directionnels cohérents inter-échelles	Accord parfait $\Lambda$ CDM
6 — Régimes extrêmes	Trous noirs (EHT)	Ombre, anneaux	Asymétries directionnelles multi-bandes ; signature de $\chi \neq 0$	Image strictement Kerr
	Disques d'accrétion	Profils spectraux	Instabilités directionnelles corrélées à $\nabla\sigma$	Turbulence MHD pure
	Jets relativistes	Polarisation	Anisotropie stable liée au glissement $\chi$	Polarisation strictement RG
	Objets compacts	QPO, pulsars	Décalages faibles mais structurés temporellement	Accord total RG + MHD

Les six strates doivent produire un motif cohérent:

- Une seule strate en désaccord force une révision locale ;
- plusieurs strates simultanément → réfutation du VLCC.

<b>Principe global</b>	<b>Lecture falsification / confirmation</b>
<b>Le VLCC exige une cohérence multi-strate.</b>	Une anomalie isolée → contrainte locale ; plusieurs anomalies corrélées → validation ; absence totale d'effets dans plusieurs strates → réfutation.
<b>Le temps est un champ morphogénique structuré.</b>	Les six domaines doivent montrer un motif commun : directionnalité, résidus faibles, croissance de $\chi(t)$ .
<b>La gravité = <math>\partial_n t_2^{\text{eff}}</math>.</b>	Toute signature incompatible avec ce principe annule le modèle.
<b>Aucun test ne doit être traité séparément.</b>	Le pattern global est l'outil discriminant.

## 45.9 — Conclusion générale du Chapitre 45

Le VLCC ne se contente pas d'expliquer les galaxies :

il transforme toute la physique en une théorie du temps structuré.

Chaque instrument mesure non pas un paramètre physique, mais un régime du temps morphogénique.

La cohérence LPHD → LCFT → LRTG → cosmologie → structures → extrême constitue la signature globale du modèle.

Et avant toute tentative de réfutation, il est impératif d'appliquer les règles de l'Annexe B, car les fluctuations  $\tilde{\chi}(x)$  peuvent masquer ou brouiller des signatures faibles.

Le modèle vit ou meurt selon la cohérence multi-strates de ces signatures.

## CHAPITRE 46 — Cohérence, unification et prédictions finales du VLCC

La Partie III avait une ambition claire : montrer que la morphogénèse du temps suffit à reconstruire l'ensemble de la dynamique galactique, sans matière noire, sans modification de Newton ou d'Einstein, et sans phénoménologie ad hoc.

Nous disposons maintenant de tous les éléments nécessaires pour évaluer la cohérence interne, la portée unificatrice et la falsifiabilité externe du modèle.

### 46.1 — Cohérence interne : le VLCC comme théorie du temps structuré

Au terme des chapitres 39 à 45, trois points fondamentaux émergent.

#### 46.1.1 — La tri-phase $\{\tau, \sigma, \Delta t\}$ forme un système dynamique fermé

La mémoire ( $\tau$ ), la cohérence phénoménale ( $\sigma$ ) et la tension évolutive ( $\Delta t$ ) :

- évoluent ensemble,
- se contraignent l'une l'autre,
- définissent la flèche, l'épaisseur et la structure du temps local.

Il ne s'agit pas d'un ajout à la physique existante, mais d'une réécriture de son fondement temporal.

Toutes les quantités dynamiques baryoniques ne sont que des projections phénoménales de cette structure.

#### 46.1.2 — La gravité n'est plus un champ mais un gradient de présent

La gravité morphogénique :

$$g_{VLCC}(r) \propto \partial r t^{2eff}(r)$$

remplace les constructions traditionnelles :

- plus de matière noire,
- plus de champ gravitationnel autonome,
- plus d'ajustements de constantes.

La "masse effective", si utile pour comparer aux modèles classiques, n'est qu'une traduction phénoménale de  $\sigma'$  et  $\Delta t'$ .

Le niveau fondamental reste un phénomène temporel.

### **46.1.3 — Les lois LPHD, LRTG, LCFT, LITV imposent un espace des solutions structuré**

Elles verrouillent les comportements possibles :

- $\tau$  jamais négatif  $\rightarrow$  pas de remontée de mémoire,
- $t_1' \geq 0$   $\rightarrow$  temps toujours orienté,
- $t_2 \geq t_2$ , basal  $\rightarrow$  pas de dissolution du présent,
- $\Delta t > 0$   $\rightarrow$  irréversibilité rigoureuse.

Ces lois empêchent les dérives arbitraires et expliquent pourquoi les galaxies ne réalisent qu'un nombre limité de formes stables.

La cohérence interne est donc totale : le VLCC forme bien une théorie gouvernée par un noyau mathématique robuste.

## **46.2 — Unification morphogénique : une vision galactique unifiée**

Les chapitres 41 et 42 ont montré, par deux cas d'étude opposés (Voie Lactée vs naines), que les structures galactiques émergent naturellement des attracteurs morphogéniques.

Le Chapitre 43 a posé les deux principes fondamentaux qui suivent.

### **46.2.1 — Principe d'individualité morphogénique**

Chaque galaxie est une solution locale particulière du champ temporel triphasé.

Il n'existe pas d'évolution universelle unique ; chaque objet suit sa trajectoire propre :

$$\mathcal{H}_{\text{gal}} = (\tau_0, \sigma_0, \Delta t_0, \nabla \tau, \nabla \sigma, \nabla \Delta t, \chi, \tilde{\chi}, \text{historique})$$

D'où la diversité galactique, non comme complexité accidentelle, mais comme expression de solutions temporelles distinctes.

#### **46.2.2 — Principe de dominance morphogénique**

Malgré cette diversité, les galaxies évoluent vers quatre classes attractrices :

1. Dominance  $t_1 \rightarrow$  spirales cohérentes
2. Dominance  $t_1' \rightarrow$  spirales chaudes / lenticulaires
3. Dominance  $\chi \rightarrow$  naines, irrégulières, UFD
4. Dominance  $\sigma \rightarrow$  UDG, régimes externes, pré-Freezes

Ce ne sont pas des catégories empiriques :

ce sont les quatre géométries temporelles stables permises par les lois du VLCC.

Les galaxies ne “choisissent” pas leur forme :

elles y sont conduites par la dynamique interne du temps.

#### **46.2.3 — La dominance majoritaire : la spirale comme attracteur cosmologique**

Le modèle prédit (Chap. 43) que la majorité des galaxies doit tendre vers un régime où :

- $t_1$  domine localement,
- $t_1'$  progresse lentement,
- $\sigma$  atteint un plateau large,
- $\chi$  reste modéré.

Ce régime — la spirale mature à Zone II prononcée — n'est pas un hasard cosmologique :

c'est l'équilibre morphogénique majoritaire permis par les lois du temps.

L'univers contient beaucoup de spirales parce que le temps tend vers cette configuration.

#### **46.3 — Prédictions synthétiques : le fil rouge du modèle**

Le VLCC impose une série de prédictions universelles, récapitulées ici sans redéveloppement.

### **46.3.1 — Gravité universelle en trois régimes**

Toute galaxie relaxée présente :

1. montée interne (Zone I),
2. pseudo-plateau (Zone II),
3. décroissance externe (Zone III).

Aucun modèle classique ne déduit cela d'une structure temporelle unique.

### **46.3.2 — Extinction gravitationnelle**

Lorsque :

$$\sigma'(r) \rightarrow 0+, \Delta t'(r) \rightarrow 0$$

alors :

$$g_{VLCC} \rightarrow 0.$$

Ceci explique :

- les bords galactiques,
- l'absence de halos infinis,
- les UDG,
- les pré-Freezes.

### **46.3.3 — Glissement monotone $\chi(t)$**

Le glissement cosmique ne peut jamais décroître.

Toute mesure montrant  $\chi(t)$  strictement décroissant réfute le VLCC.

### **46.3.4 — Pas de matière noire fondamentale**

Toute signature "type DM" provient en réalité :

- de  $\sigma'$ ,
- de  $\Delta t'$ ,
- du glissement  $\chi$ .

Une galaxie baryon-free mais gravitationnellement massive serait immédiatement falsificatrice.

### **46.3.5 — Signatures multi-strates**

Les six strates du Chapitre 45 doivent produire :

- des résidus faibles mais cohérents (LPHD, LCFT),
- des asymétries directionnelles (LRTG, lentilles),
- des signatures douces mais universelles ( $H(z)$ , CMB),
- des extinctions gravitationnelles en périphérie (structures).

L'unification multi-niveaux est une prédiction forte.

## **46.4 — Falsifiabilité et protocole expérimental final**

Le modèle peut être mis en défaut de deux manières :

### **46.4.1 — Falsification locale**

Si une expérience LPHD/LCFT/LRTG montre :

- absence de résidu morphogénique dans un montage sensible,
- ou anisotropie contraire à la prédiction,
- ou dérive incompatible avec  $\chi > 0$ ,

alors le modèle doit être révisé.

### **46.4.2 — Falsification structurelle**

Une seule de ces observations réfuterait le VLCC :

- un halo massif sans baryons,
- une spirale mature sans Zone II,
- une naine avec plateau rotationnel,
- une décroissance gravitationnelle non monotone,
- un  $\chi(t)$  décroissant,
- un système montrant  $\Delta t = 0$ ,
- une signature RG parfaitement close sans résidu dans toutes les strates.

### **46.4.3 — Importance cruciale de l'Annexe B**

Avant toute conclusion réfutative, il est impératif d'analyser :

- les fluctuations  $\tilde{\chi}(x)$ ,
- leur impact régional,
- leur interaction avec  $\bar{\chi}(r)$ ,
- leurs régimes de saturation.

De nombreuses signatures faibles peuvent être masquées, modulées ou déplacées par  $\tilde{\chi}$ . Aucune réfutation n'est valide sans cet examen préalable.

## 46.5 — Vision finale : ce que le VLCC affirme réellement

Au terme de la démonstration, une phrase suffit à résumer la théorie :

L'univers n'est pas structuré par la matière, mais par la dynamique interne du temps.

Les masses, la gravité, les vitesses, les halos, les galaxies, les grandes structures ne sont que des effets secondaires d'une géométrie temporelle tri-phasée.

Tout se résume en trois idées :

### 46.5.1 — Le temps est un fluide structuré

Il possède :

une mémoire ( $\tau$ ),  
une cohérence ( $\sigma$ ),  
une tension évolutive ( $\Delta t$ ).

### 46.5.2 — La gravité est un gradient de présent

Elle émerge automatiquement des variations de  $t_2^{\text{eff}}$ .

### 46.5.3 — Les galaxies sont des solutions locales du temps

Chaque galaxie est une expression historique du champ temporel.

La diversité n'est pas un échec explicatif : c'est la manifestation même de la morphogénèse.

## 46.6 — Conclusion du chapitre 46

Ce chapitre a montré que la tri-phase  $\{\tau, \sigma, \Delta t\}$ , le glissement  $\chi$  et les lois LPHD-LCFT-LRTG-LITV forment une structure cohérente et falsifiable : la morphogénèse temporelle suffit à expliquer la dynamique galactique sans matière noire ni modification de la gravité.

Les attracteurs, les régimes internes/externes et les prédictions multi-strates convergent tous vers une même lecture : les galaxies sont des solutions locales du temps.

Toutefois, ces résultats s'appuyaient encore sur un Lagrangien V.8 progressivement complété au fil des démonstrations.

Les avancées majeures de la Partie III — glissement, extinction gravitationnelle, pré-Freezes et Freeze Spheres — exigent maintenant un socle mathématique unifié.

Ainsi, ce chapitre ne clôture pas la Partie III : il prépare l'étape finale.

Le Chapitre 47 introduira le Lagrangien canonique V.9, qui rassemble et formalise l'ensemble des principes révélés jusqu'ici, avant leur intégration complète dans le Master mathématique.

## CHAPITRE 47 — Intronisation canonique du Lagrangien V.9

Les chapitres 33 à 46 ont posé les éléments qui manquaient encore au modèle initial :

la triade temporelle pleinement déployée, la structure dynamique du glissement  $\chi$ , les attracteurs morphogéniques, les pré-Freezes, les Freeze Spheres, les transitions galactiques, et l'articulation profonde entre cohérence, tension et mémoire.

Ces apports — introduits successivement pour des raisons pédagogiques et conceptuelles — **ont révélé une limite essentielle du Lagrangien V.8 utilisé tout au long du traité** :

V.8 permettait de dériver la structure fondamentale du champ du temps, mais ne contenait pas encore toutes les composantes nécessaires pour intégrer les mécanismes mis au jour dans cette Partie III.

En particulier :

- la dérivée seconde du présent intriqué  $t_2''(\text{eff})$ , indispensable pour la gravité morphogénique,
- l'état basal incompressible du présent,
- la rétroaction explicite de  $\Delta t$  sur la cinétique du champ,
- le couplage minimal  $\sigma^2 R$  unifié,
- la structure canonique de  $\chi$  dans la dynamique variationnelle,
- l'intégration cohérente des régimes extrêmes (pré-Freeze, Freeze Sphere, dissolution), n'étaient pas encore formalisés dans V.8.

Le moment est donc venu d'installer la version complète du Lagrangien : celle qui incorpore, dans une écriture unique, tous les éléments désormais établis.

C'est l'objet du présent chapitre.

## 47.1 — Pourquoi un nouveau Lagrangien ? Nécessité née de la Partie III

La progression conceptuelle de cette partie a montré que le modèle repose sur quatre piliers :

1. La triade  $t_1-t_2-t_1'$  comme structure temporelle interne.
2. Le champ tri-phased  $\{\tau, \sigma, \Delta t\}$  comme représentation phénoménale du temps distribué.
3. La gravité morphogénique  $g \propto \partial r(t_2 \text{eff})$  comme fondement dynamique.
4. Les attracteurs morphogéniques qui structurent les galaxies, naines, UDG, Zones III et Freeze Spheres.

Or, pour qu'un modèle soit cohérent, ces piliers doivent émerger d'un même formalisme variationnel.

V.8 y parvenait partiellement.

V.9 y parvient complètement.

Le passage de V.8 à V.9 n'est donc pas un changement de cadre :  
c'est la fermeture logique du cadre existant.

## 47.2 — Rôle du Lagrangien V.9 dans le traité

V.9 devient désormais :

- **la forme mathématique canonique du VLCC,**
- la version à laquelle doivent être rattachées les équations de la Partie II,
- le support des prédictions morphogéniques de la Partie III,
- la base de toute simulation ou étude observationnelle (Partie IV).

Il ne modifie pas rétroactivement les démonstrations des chapitres 33–46 : il fournit le formalisme uniifié qui justifie et organise toutes les structures introduites indépendamment dans ces chapitres.

## 47.3 — Le Lagrangien V.9 (forme canonique)

Le Lagrangien fondamental du modèle est :

$$\begin{aligned}\mathcal{L}_{VLCC}^A(V.9) = & \alpha/2 (\nabla t_2)^2 + \beta/2 (\nabla t_1)^2 + \gamma/2 (\nabla t_1')^2 - V(t_1, t_2, t_1') \\ & + \lambda_\chi (t_1' - \chi t_1) + \mu (t_2 - t_2, \text{basal}) + \mathcal{L}_{\text{bar}}.\end{aligned}$$

Le Lagrangien V.9 impose simultanément :

- la triade temporelle  $(t_1, t_2, t_1')$  comme structure interne du temps,
- le glissement morphogénique  $\chi = t_1' / t_1$ , inscrit au niveau variationnel,
- l'existence d'un présent basal incompressible indispensable à toute dynamique ( $t_2 > t_{2,\text{basal}}$ ),
- la compatibilité avec la physique baryonique et les contraintes phénoménologiques du modèle.

Et il accomplit :

- l'intégration de la cinétique modifiée du champ  $\sigma$ ,
- la liaison explicite entre  $\chi, \Delta t$  et les équations variationnelles,
- l'encodage de la gravité morphogénique comme dérivée seconde du présent intriqué  $t_2''(\text{eff})$ ,
- l'apparition naturelle des régimes pré-Freeze et Freeze Sphere, non comme hypothèses, mais comme solutions inévitables,
- la garantie structurelle des quatre lois morphogéniques (LPHD, LCFT, LRTG, LITV).

Ensemble, ces éléments font du Lagrangien V.9 la base mathématique définitive du VLCC, celle dont découlent toutes les équations dynamiques et toutes les prédictions de la théorie.

#### 47.4 — Ce que V.9 change (et ne change pas)

##### Ce que V.9 ne change pas

- Les résultats des chapitres 39–46.
- Les prédictions rotationnelles du modèle.
- L'absence de matière noire fondamentale.
- La structure Zone I / Zone II / Zone III.
- Les attracteurs  $t_1, t_1', \chi$  et  $\sigma$ .
- L'existence des pré-Freezes et Freeze Spheres.

##### Ce que V.9 change profondément

- Il donne une origine variationnelle stricte à toutes les équations utilisées.
- Il rend la gravité morphogénique mathématiquement unifiée.
- Il fournit une base calculable pour la tomographie temporelle (Partie IV).

- Il établit les conditions exactes de stabilité et métastabilité des Freeze Spheres.
- Il permet d'établir les trois issues morphogéniques (extinction, réouverture, diffusion).
- Il introduit la structure canonique de  $\chi$  dans le formalisme global.

## **47.5 — Pourquoi l'introduire ici, et non en Partie II ?**

Deux raisons essentielles :

1. Le lecteur ne possédait pas encore tous les concepts nécessaires.

Pour comprendre V.9, il faut déjà maîtriser :

- le rôle différencié de  $t_1, t_2, t_1'$ ,
- l'interaction dynamique entre  $\sigma$  et  $\Delta t$ ,
- la gravité comme dérivée seconde du présent,
- la structure des attracteurs galactiques,
- le statut morphogénique des pré-Freezes et Freeze Spheres.

Ces concepts n'existaient pas avant la Partie III.

2. La Partie III construit les conditions de possibilité de V.9.

En d'autres termes :

V.9 n'est pas une hypothèse. C'est l'expression mathématique de tout ce que la Partie III a rendu nécessaire.

## **47.6 — Conclusion : V.9 devient le Lagrangien canonique du VLCC**

Ce chapitre clôt la Partie III en installant le cadre qui permet au modèle :

- d'être mathématiquement complet,
- physiquement unifié,
- conceptuellement stable,
- et falsifiable de manière stricte.

Avec V.9, le VLCC acquiert sa forme finale, celle sur laquelle reposent :

- les simulations à venir,
- les comparaisons multi-instruments,
- la cosmologie morphogénique (Partie IV),
- et l'évaluation critique par la communauté scientifique.

## CHAPITRE 48 — Formulation complète du Lagrangien canonique V.9 et clôture mathématique de la Partie III

Le Lagrangien V.9 a deux exigences :

1. Reproduire le noyau V.8 : tri-phase  $\{\tau, \sigma, \Delta t\}$ , triplet  $(t_1, t_2, t_1')$ , glissement  $\chi$ , lois LPHD/LCFT/LRTG/LITV, gravité morphogénique.
2. Intégrer explicitement les raffinements introduits par les Chapitres 39–40 et les Annexes C & H :
  - existence d'un présent basal  $t_{2,\text{basal}} > 0$ ,
  - métastabilité des Freeze Spheres (aucun figement éternel),
  - dissolution par gradients externes  $(\nabla\sigma_{\text{ext}}, \nabla\Delta t_{\text{ext}})$ .

Le Lagrangien V.9 est donc construit comme une extension minimale de V.8 :

$$S_{\text{VLCC}^9} = \int d^4x \sqrt{(-g)} \mathcal{L}_{\text{VLCC}^9}.$$

avec

$$\mathcal{L}_{\text{VLCC}^9} = \mathcal{L}_{\text{GR}} + \mathcal{L}_{\text{time}} + \mathcal{L}_{\text{grav}} + \mathcal{L}_{\text{int}} + \mathcal{L}_{\text{constraints}}.$$

### 48.1 — Secteur géométrique classique : $\mathcal{L}_{\text{GR}}$

On conserve une structure einsteinienne standard :

$$\mathcal{L}_{\text{GR}} = (1 / 16\pi G_0) R,$$

où  $R$  est le scalaire de courbure de la métrique  $g_{\mu\nu}$ , de déterminant  $g$ .

Cette partie garantit que le modèle réduit à la Relativité Générale en régime où le champ temporel est uniforme ( $\sigma, \tau, \Delta t$  constants, gradients nuls).

## 48.2 — Secteur temporel fondamental : $\mathcal{L}_{\text{time}}$

Les degrés de liberté morphogéniques sont :

- tri-phase :  $\tau(x), \sigma(x), \Delta t(x)$
- triplet :  $t_1(x), t_2(x), t_1'(x)$

On introduit un terme cinétique covariant de type champ scalaire pour chacun :

$$\mathcal{L}_{\text{time}}^{\text{kin}} = -1/2 \sum_A K_A g^{\mu\nu} \nabla_\mu \varphi_A \nabla_\nu \varphi_A,$$

où  $\varphi_A \in \{\tau, \sigma, \Delta t, t_1, t_2, t_1'\}$  et  $K_A > 0$  sont des constantes morphogéniques.

À ce terme cinétique, on ajoute un potentiel morphogénique global :

$$\mathcal{L}_{\text{time}}^{\text{pot}} = -U(\tau, \sigma, \Delta t, t_1, t_2, t_1'),$$

de sorte que :

$$\mathcal{L}_{\text{time}} = \mathcal{L}_{\text{time}}^{\text{kin}} - U(\tau, \sigma, \Delta t, t_1, t_2, t_1').$$

Le potentiel  $U$  est décomposé en trois blocs :

$$U = V_{\{\tau, \sigma, \Delta t\}} + V_{\text{triplet}} + V_I.$$

**(a) Potentiel de cohérence et de tension triphasée**

$$V_{\{\tau, \sigma, \Delta t\}} = V_\tau(\tau) + V_\sigma(\sigma) + V_{\{\Delta t\}}(\Delta t).$$

Exigences morphogéniques :

- $V_\sigma(\sigma)$  possède un plateau externe  $\sigma_\infty$  :  $dV_\sigma/d\sigma \rightarrow 0$  lorsque  $\sigma \rightarrow \sigma_\infty$ .
- $V_{\{\Delta t\}}(\Delta t)$  diverge quand  $\Delta t \rightarrow 0$ , empêchant l'annulation de la flèche du temps (LITV) :

$$V_{\{\Delta t\}}(\Delta t) \sim \Lambda_{\{\Delta t\}} / \Delta t^p, p > 0.$$

**(b)** Potentiel du triplet (présent basal et métastabilité)

$$V_{\text{triplet}}(t_1, t_2, t_1') = \lambda_1 t_1^2 + \lambda_2 (t_1' - t_1, \infty)^2 + \lambda_3 (t_2 - t_2, \text{basal})^2 + \lambda_4 t_1 t_1' + \lambda_5 t_2 t_1'.$$

Rôles :

- $\lambda_3 (t_2 - t_2, \text{basal})^2$  impose un présent basal  $t_2 \geq t_2, \text{basal} > 0$ .
- Les couplages  $\lambda_4 t_1 t_1' + \lambda_5 t_2 t_1'$  assurent que  $t_1$  ne peut jamais rester figé :  $\dot{t}_1 \approx \beta_1 t_2 > 0$ .
- La Freeze Sphere reste toujours asymptotique et métastable.

**(c)** Invariant fondamental  $I > 0$

$$I = t_2^2 - t_1 t_1' > 0.$$

Termes de pénalisation :

$$V_I(I) = \Lambda_I \Theta(I_{\text{min}} - I) (I_{\text{min}} - I)^2.$$

Cela garantit :

- impossibilité d'atteindre  $I \leq 0$ ,
- coût énergétique des solutions proches de  $I = 0$ ,
- exclusion des géométries de type trou de ver ( $\Delta t = 0$ ).

### 48.3 — Secteur gravitationnel morphogénique : $\mathcal{L}_{\text{grav}}$

La gravité morphogénique est associée au présent intriqué effectif  $t_2^{\{\text{eff}\}}$ .

On le définit comme une combinaison minimale des composantes tri-phasées :

$$t_2^{\{\text{eff}\}} = u_1 \sigma + u_2 \Delta t + u_3 \tau,$$

avec  $u_i$  constants.

On introduit un terme de gradient :

$$\mathcal{L}_{\text{grav}} = -\kappa/2 \cdot g^{\{\mu\nu\}} \nabla_\mu t_2^{\{\text{eff}\}} \nabla_\nu t_2^{\{\text{eff}\}}.$$

Les équations d'Euler-Lagrange associées donnent :

$$\square t_2^{\{eff\}} = (1 / \sqrt{-g}) \partial_\mu (\sqrt{-g} g^{\{\mu\nu\}} \partial_\nu t_2^{\{eff\}}) = \text{source temporelle.}$$

En régime quasi-statique :

$$g_{VLCC}(r) \propto \partial_r t_2^{\{eff\}}(r).$$

Dans une Freeze Sphere :

$$\nabla_\mu t_2^{\{eff\}} \rightarrow 0 \Rightarrow \mathcal{L}_{grav} \rightarrow 0 \Rightarrow g_{VLCC} \rightarrow 0.$$

#### **48.4 — Couplages aux baryons et rôle indirect de la “masse effective”**

La masse morphogénique  $M_T(r)$  est une relecture du champ temporel.

On ajoute un couplage faible aux baryons :

$$\mathcal{L}_{int} = -f(\sigma, \Delta t) \rho_b - (\xi/2) t_2^{\{eff\}} T^{\{(b)\}},$$

$$\text{avec } T^{\{(b)\}} = g^{\{\mu\nu\}} T_{\{\mu\nu\}}^{\{(b)\}}.$$

Interprétation :

- Les baryons ressentent le champ temporel via  $t_2^{\{eff\}}$  et  $\sigma$ .
- À grande échelle :

$$\rho_T(r) = \alpha \sigma'(r),$$

$$M_T(r) = 4\pi \int_0^r \rho_T(r') r'^2 dr',$$

$$v_c^2(r) = G_0/r [ M_b(r) + M_T(r) ].$$

- Au niveau fondamental, il n'y a aucune matière noire :

$M_T$  est la traduction phénoménale d'un phénomène temporel.

## 48.5 — Termes de contrainte : Freeze Spheres métastables & gradients externes

Pour modéliser la métastabilité des Freeze Spheres et leur dissolution :

$$\mathcal{L}_{\text{constraints}} = -W_{\text{FS}}(t_1, t_2, t_1', \nabla\sigma, \nabla\Delta t),$$

avec :

$$W_{\text{FS}} = \varepsilon_1 t_2 t_1 + \varepsilon_2 t_2 |\nabla\sigma|^2 + \varepsilon_3 t_2 |\nabla(\Delta t)|^2,$$

$$\varepsilon_i > 0.$$

Rôles :

### 1) Flux basal réanimateur

- Le terme  $\varepsilon_1 t_2 t_1$  garantit que, même si  $t_1$  est petit,  $t_2 > 0$  réintroduit une poussée dynamique.
- Formalise :  
 $\dot{x} t_1 \sim + \beta_1 t_2 > 0$ .
- $\Rightarrow$  Aucune Freeze Sphere ne peut rester figée.

### 2) Sensibilité aux gradients externes

- Les termes  $\varepsilon_2 t_2 |\nabla\sigma|^2$  et  $\varepsilon_3 t_2 |\nabla\Delta t|^2$  signifient :
  - si  $\nabla\sigma_{\text{ext}}$  ou  $\nabla\Delta t_{\text{ext}} \neq 0$
  - alors la dynamique de  $t_1$  et  $t_1'$  est modifiée :  
 $\dot{x} t_1 \approx -\alpha_1 (\nabla\sigma_{\text{int}} + \nabla\sigma_{\text{ext}}) + \beta_1 t_2$   
 $\dot{x} t_1' \approx \alpha_3 (\nabla\Delta t_{\text{int}} + \nabla\Delta t_{\text{ext}}) + \gamma t_2$
  - ce qui réactive la mémoire et fait décroître  $\chi$ .

Ces termes encodent mathématiquement la dissolution des Freeze Spheres lorsqu'un environnement impose des gradients non nuls.

## 48.6 — Résumé conceptuel du Lagrangien V.9

Le Lagrangien V.9 réalise, en langage variationnel :

### 1. Tri-phase et triplet comme champs fondamentaux

- $\tau, \sigma, \Delta t, t_1, t_2, t_1'$  sont des champs scalaires couplés, avec des termes cinétiques standard.

### 2. Lois morphogéniques intégrées dans le potentiel

- LPHD :  $t_1$  s'érode mais reste  $> 0$  (via  $V_{\text{triplet}}$  et les couplages à  $t_2$ ).
- LCFT :  $t_2 \geq t_{2,\text{basal}} > 0$  (terme quadratique centré).
- LRTG :  $t_1' \geq 0$  (minimum à  $t_1',\infty > 0$ ).
- LITV :  $\Delta t > 0$  (potentiel divergent quand  $\Delta t \rightarrow 0$ ).
- Invariant  $I > 0$  : pénalisé par  $V_I(I)$ .

### 3. Gravité morphogénique = gradient du présent intriqué

- Termes en  $\nabla t_{2,\text{eff}}$  donnent  $g_{\text{VLCC}}(r) \propto \partial_r t_{2,\text{eff}}(r)$ ,  
avec extinction quand  $t_{2,\text{eff}}$  devient spatialement constant (Freeze / pré-Freeze).

### 4. Masse morphogénique $M_T(r)$ comme relecture effective

- Les couplages à  $\rho_b$  et  $T^{\{b\}}$  conduisent, en régime galactique,  
à une densité temporelle  $\rho_T \propto \sigma'$  et à  $M_T(r)$ ,  
sans introduire de particules de matière noire.

### 5. Freeze Spheres métastables par construction

- Présent basal  $t_{2,\text{basal}} > 0$ ,
- termes de rappel  $t_2 t_1$ ,
- couplages aux gradients  $|\nabla \sigma|^2, |\nabla \Delta t|^2$   
 $\Rightarrow$  aucune Freeze Sphere ne peut être un état figé éternel ;  
toute configuration peut être réouverte, diffusée ou réorganisée.

## 6. Compatibilité avec les cas d'étude

- Régime spiralé relaxé :  $V.9 \approx V.8$  (mêmes prédictions pour  $\sigma(r)$ ,  $M_T$ ,  $v_c(r)$ ,  $g_{VLCC}$ ).
- Régime nain / UDG :  $\sigma' \approx 0$ , montée lente,  $\tilde{\chi}$  dominant.
- Régime extrême (Freeze Spheres) :  $V.9$  formalise la métastabilité et la dissolution.

Cette Partie III s'achève sur l'intronisation et la formulation mathématique du Lagrangien  $V.9$ , aboutissement logique de tout ce qui précède : le triplet, la tri-phase, les lois morphogéniques, les attracteurs galactiques, les Freeze Spheres centrales et les pré-Freezes externes.

En intégrant ces apports, le Lagrangien ne se contente plus de soutenir la théorie — il en devient l'expression canonique, la forme condensée de sa cohérence interne.

Avec cette formulation achevée, le modèle n'est plus seulement une architecture conceptuelle : il devient un cadre variationnel complet, doté d'une dynamique propre, capable d'engendrer ses régimes, ses instabilités, ses structures, ses limites et ses signatures.

Cette consolidation ouvre naturellement la voie à la Partie IV : celle où le VLCC, muni de son Lagrangien définitif, quitte le domaine des constructions théoriques pour affronter la réalité instrumentale et observationnelle.

Le modèle y entre sans artifice ni protection, avec ses prédictions fortes et ses zones de falsifiabilité clairement exposées.

Ainsi se clôt la Partie III : sur une théorie désormais armée pour traverser l'épreuve du réel.

---

## CONCLUSION GÉNÉRALE

### Vers une cosmologie du temps vivant

Il est des changements de perspective qui ne déplacent pas seulement les frontières d'une théorie, mais réorientent notre manière même d'habiter le réel.

Le modèle présenté dans ce traité appartient à cette famille rare.

En plaçant le temps — et non l'espace — au cœur de la physique, il ouvre un paysage où le monde cesse d'être une architecture figée pour devenir une forme d'élan, de tension, de cohérence en devenir.

Dès les premières pages, une intuition se dessine : ce que nous appelons « Univers » n'est pas un décor, mais un processus.

Non une scène où se déroule la réalité, mais la réalité elle-même en train de se faire. Et ce processus n'a pas pour moteur une géométrie sous-jacente, ni pour secret une matière invisible : il prend sa source dans la manière dont le temps s'organise, se densifie, se tend, se relâche, se distribue en couches, en régimes, en dynamiques internes.

Le VLCC est né de cette idée audacieuse.

Il affirme que la cohérence temporelle n'est pas un simple paramètre, mais une substance, une qualité, un champ. Il n'explique pas la gravité en termes d'espace courbé, mais comme une modulation du présent.

Il ne cherche pas la matière noire dans une particule inconnue, mais dans les zones où le temps perd son activité morphogénique.

Il ne place pas les galaxies dans un vide abstrait : il les voit comme des architectures temporelles, sculptées par le glissement interne du temps lui-même.

Les premières parties du traité ont posé les fondations : la triple nature du temps, la triade morphogénique, la cohérence  $\sigma(x)$ , les lois fondamentales qui régissent la structure du champ T.

La Partie II n'introduit pas encore un Lagrangien ; elle installe le socle mathématique du modèle, les objets fondamentaux, les contraintes de cohérence et l'équation-cadre ouverte qui structure la physique du temps.

Ce n'est qu'en Partie III que surgit la grande bascule, avec l'apparition du Lagrangien canonique V.9, du champ tri-phased, des neuf gradients morphogéniques, des pré-Freezes, des Freeze Spheres, et de l'explication temporelle des structures galactiques.

Ce qui relevait d'une intuition conceptuelle devient une théorie falsifiable, un cadre prédictif, un langage capable de lire le ciel.

La dernière partie du traité ouvre l'horizon.

Elle montre comment le VLCC dialogue avec les instruments contemporains, comment il se confronte aux observations cosmologiques, comment il clarifie certains signaux déjà détectés mais jamais interprétés en termes de cohérence temporelle.

Elle esquisse une cosmologie nouvelle, où l'expansion, les halos, les anisotropies profondes ne sont plus les signatures d'une métrique, mais celles d'un déploiement du temps lui-même.

Enfin, elle frôle la question la plus ancienne : celle du lien entre conscience et temporalité, entre présence et monde — comme si le fait d'être conscient consistait, en un sens, à participer à la fabrication du présent.

Ainsi, une idée s'impose : le réel est une histoire de cohérence, et la cohérence est une affaire de temps.

L'espace, la matière, la lumière, la gravité, la complexité : tout cela n'est que les différentes manières qu'a le temps de se structurer, de se densifier, de s'ouvrir un chemin vers ce que nous appelons « monde ».

Le VLCC n'est pas la réponse finale aux énigmes de la cosmologie. Il est l'amorce d'un renversement.

Il propose que derrière les équations, derrière les courbes rotationnelles, derrière les collapses stellaires, il existe un principe simple :  
le temps ne s'écoule pas — il s'organise.  
Et de cette organisation naît tout ce qui est.

Il reste d'immenses territoires à explorer. Mais si cette vision est juste, alors une voie nouvelle s'ouvre : une physique où comprendre le monde revient à comprendre comment le temps, patiemment, obstinément, se fabrique lui-même.

Et peut-être est-ce là la plus belle conclusion possible :

*De jour comme de nuit, chaque fois que nous levons les yeux au ciel, tout ce que nous contemplons est fait de la lumière du temps.*

*De l'éclat du Soleil au bleu profond du ciel, jusqu'au noir éternel du cosmos qui enveloppe la Lune.*

*Et à travers son spectre photonique, la lumière nous permet de percevoir une chose unique : le temps, et la manière mystérieuse dont il devient univers.*

# PARTIE IV — Architecture Formelle, Validations Observationnelles et Horizons Conceptuels du Modèle VLCC

## Introduction générale

Les trois premières parties de ce traité ont progressivement établi l'architecture complète du modèle VLCC.

La Partie I a posé son socle ontologique en affirmant le temps comme substance première, structuré par une triade morphogénique ( $t_1, t_2, t_1'$ ) et révélé phénoménalement par la lumière.

La Partie II a traduit cette ontologie en un cadre mathématique cohérent, fondé sur un champ de cohérence  $\sigma(x)$ , un Lagrangien morphogénique et un ensemble de lois structurelles définissant les configurations admissibles du réel.

La Partie III, enfin, a déployé les conséquences dynamiques et cosmologiques de ce cadre, depuis la formation des structures galactiques jusqu'aux régimes extrêmes du temps, tels que les Freeze Spheres, en montrant comment la phénoménalité cosmique émerge de la cohérence interne du champ temporel.

À ce stade du traité, le VLCC apparaît comme un édifice conceptuel complet : il dispose d'une ontologie explicite, d'un formalisme interne cohérent et d'une capacité à rendre compte des structures observées sans recourir à des entités additionnelles ou à des postulats ad hoc. Il devient alors nécessaire de franchir un dernier seuil : non pas pour prolonger indéfiniment la construction du modèle, mais pour en rassembler les fondements, en examiner la portée, et en situer les limites de manière explicite et assumée.

La Partie IV répond à cette nécessité.

Elle ne constitue ni une nouvelle phase de développement théorique, ni une simple annexe technique. Elle a pour fonction d'offrir une vue d'ensemble du modèle VLCC, en exposant les bases mathématiques essentielles, en proposant des outils de lecture simplifiés, en confrontant le cadre aux données observationnelles contemporaines, et en ouvrant enfin les espaces de réflexion que sa structure rend légitimes sans jamais les confondre avec des prédictions ou des conclusions établies.

Cette partie rassemble ainsi plusieurs niveaux de lecture complémentaires :

- Fondation, par la présentation du master mathématique, des mécanismes morphogéniques locaux et des structures minimales nécessaires à la cohérence du modèle ;
- Clarification, à travers une topologie implicite et un modèle-jouet destinés à rendre intelligible l'architecture du VLCC sans en réduire la portée ;
- Confrontation, par des comparaisons explicites avec les observations multi-instruments et avec les théories cosmologiques contemporaines ;
- Exploration, par l'introduction de méthodes nouvelles, notamment l'intelligence artificielle scientifique, pour sonder l'espace des configurations admissibles ;
- Ouverture, enfin, par l'examen des limites de la reconstitution cosmique, de la persistance du régime lumineux et des horizons conceptuels liés à la mémoire du temps et à son devenir.

Il est essentiel de souligner que la Partie IV ne cherche ni à démontrer définitivement la validité du VLCC, ni à en faire un cadre clos. Son ambition est plus précise : montrer jusqu'où le modèle est cohérent, testable, comparable et pensable, et identifier clairement les points où la rigueur scientifique impose de suspendre l'affirmation au profit de la réflexion ouverte.

Ainsi, cette dernière partie ne complète pas le traité par une réponse ultime, mais par une cartographie raisonnée : celle d'un espace théorique structuré, confronté au réel, conscient de ses limites, et suffisamment robuste pour rendre visibles à la fois ses résultats, ses zones d'incertitude et les questions qu'il laisse volontairement ouvertes.

## **ANNEXE A — Master mathématique du modèle VLCC**

### **A.1 — Objet et statut du Master**

Cette annexe rassemble l'ensemble des structures mathématiques fondamentales du modèle VLCC (Variation Locale du Champ du Temps).

Elle constitue la référence formelle du traité : toutes les démonstrations de la Partie III et toutes les analyses observationnelles reposent sur les équations, invariants et principes établis ici.

Le Master n'ajoute aucune hypothèse au modèle.

Il unifie :

- le triplet morphogénique  $(t_1, t_2, t_1')$ ,
- la tri-phase temporelle  $\{\tau, \sigma, \Delta t\}$ ,
- le glissement morphogénique  $\chi = t_1' / t_1$ ,
- les lois morphogéniques (LPHD, LCFT, LRTG, LITV),
- le Lagrangien canonique V.9,
- la structure gravitationnelle  $g \propto \partial r(\ddot{x}t_2 \text{eff})$ ,
- les équations variationnelles  $\Sigma \Phi_i = 0$ ,
- les solutions analytiques  $\sigma(r)$  en Zones I-II-III,
- les régimes extrêmes (pré-Freeze, Freeze Sphere).

Ce document est la charpente mathématique du modèle.

### **A.2 — Champs fondamentaux du VLCC**

Le VLCC repose sur trois objets continus distribués :

1. Champ temporel profond  $\tau(x,t)$
2. Champ de cohérence phénoménale  $\sigma(x,t)$
3. Champ de tension / flèche temporelle  $\Delta t(x,t)$

Ils constituent la tri-phase et pilotent la dynamique des galaxies, du cosmos et des systèmes gravitationnels.

Mais leur structure interne est capturée par un objet plus fondamental : le triplet morphogénique.

### A.3 — Triplet morphogénique ( $t_1$ , $t_2$ , $t_1'$ )

(structure ontologique du temps)

Le triplet est la base du modèle.

Il exprime la structuration interne du temps selon trois régimes dynamiques :

- $t_1$  : mémoire profonde

Capacité du temps à intégrer des états passés.

- $t_2$  : présent intriqué / densité phénoménale

Épaisseur minimale du présent.

- $t_1'$  : tension évolutive / orientation du futur

Intensité locale de la flèche du temps.

#### A.3.1 — Interprétation dynamique

- $t_1$  décroît sous l'effet des interactions → érosion de mémoire.
- $t_2$  est borné inférieurement (LCFT) → jamais nul → intérriorité permanente du présent.
- $t_1'$  croît jusqu'à un plateau (LRTG) → flèche irréversible.

#### A.3.2 — Lois morphogéniques associées

LPHD — Préservation de la mémoire

$t_1 > 0$  toujours.

LCFT — Cohérence du présent

$t_2 \geq t_{2,\text{basal}} > 0$ .

LRTG — Réponse en tension générative

$t_1' \geq 0$  et tend vers un plateau.

LITV — Irréversibilité de  $\Delta t$

$\Delta t > 0$  partout.

#### A.3.3 — Invariant morphogénique

$$I = t_2^2 - t_1 t_1' > 0$$

Cet invariant impose :

- impossibilité d'un temps réversible,
- impossibilité d'une tension négative,
- stabilité du présent.

Il interdit en particulier :

- trous de ver,
- symétries temporelles globales,
- annulation complète de la mémoire.

#### A.3.4 — Rôle du triplet

Le triplet génère :

- la gravité morphogénique,
- la structure des galaxies (zones internes / externes),
- les attracteurs  $t_1 / t_1' / \chi / \sigma$ ,
- les Freeze Spheres,
- la dynamique cosmologique.

Il est la géométrie interne du temps.

#### A.4 — Tri-phase temporelle $\{\tau, \sigma, \Delta t\}$

(projection phénoménale du triplet)

La tri-phase exprime la manière dont le triplet se distribue dans l'espace et génère les phénomènes astrophysiques.

- $\tau(x,t)$  : profondeur temporelle observable (liée à  $t_1$ )
- $\sigma(x,t)$  : cohérence phénoménale (liée à  $t_2$ )
- $\Delta t(x,t)$  : tension / flèche observée (liée à  $t_1'$ )

Le lien structurel est du type :

$$\tau \sim F_1(t_1), \quad \sigma \sim F_2(t_2), \quad \Delta t \sim F_3(t_1')$$

La tri-phase est ce que les instruments "voient".

Le triplet est ce qui se passe réellement.

La gravité morphogénique en découle.

## A.5 — Lagrangien canonique V.9

Le Lagrangien fondamental du modèle :

$$\begin{aligned}\mathcal{L}_{\text{VLCC}}^{\wedge}(\text{V.9}) = & \alpha/2 (\nabla t_2)^2 + \beta/2 (\nabla t_1)^2 + \gamma/2 (\nabla t_1')^2 - V(t_1, t_2, t_1') \\ & + \lambda_{\chi} (t_1' - \chi t_1) + \mu (t_2 - t_{2,\text{basal}}) + \mathcal{L}_{\text{bar}}.\end{aligned}$$

Il impose simultanément :

- la triade du temps,
- le glissement  $\chi = t_1'/t_1$ ,
- le présent basal nécessaire à toute dynamique,
- la compatibilité baryonique.

C'est ce Lagrangien qui produit toutes les équations variationnelles du modèle.

## A.6 — Gravité morphogénique : $g \propto \partial r(\ddot{x}t_{2,\text{eff}})$

Dans le VLCC, la gravité n'est pas une courbure spatiale ni une masse, mais :

$$g_{\text{VLCC}}(r) \propto \partial/\partial r (t_{2,\text{eff}}(r))$$

où  $t_{2,\text{eff}}$  dépend de  $\sigma$ ,  $\Delta t$ ,  $t_2$  et de leur couplage.

Conséquences :

- halo = modulation de  $t_{2,\text{eff}}$ ,
- plateau = zone où  $t_{2,\text{eff}} \approx \text{const.}$ ,
- extinction externe =  $t_{2,\text{eff}} \rightarrow 0$ .

## A.7 — Masse morphogénique

Lorsque  $g$  est réécrit en forme newtonienne :

$$v_c^2(r) = G_0/r [M_b(r) + M_T(r)]$$

on définit une densité temporelle :

$$\rho_T(r) = \alpha \sigma'(r)$$

La masse morphogénique  $M_T$  n'est pas une masse physique,  
mais la traduction phénoménale du champ temporel.

## A.8 — Équation-cadre ouverte ( $\Sigma\Phi_i = 0$ )

Le principe variationnel appliqué au Lagrangien V.9 conduit à une équation-cadre unique :

$$(\Sigma\Phi_i = 0)$$

où chaque terme  $\Phi_i$  représente la contribution variationnelle d'un secteur :

- triplet temporel  $(t_1, t_2, t_1')$ ,
- tri-phase  $\{\tau, \sigma, \Delta t\}$ ,
- cohérence et glissement  $\chi$ ,
- couplage baryonique,
- géométrie effective.

Cette équation-cadre n'est pas une équation résolue :

elle constitue le générateur unique de toutes les équations d'évolution du modèle.

Elle fonde la dynamique complète du VLCC et en fait une théorie ouverte, au sens où le système reste non-linéaire, couplé, et dépendant du régime morphogénique.

## A.9 à A.11 — Solutions galactiques

Je résume ici les points cruciaux (déjà démontrés Partie III) :

- $\sigma(r)$  possède trois régimes analytiques (Zones I-II-III).
- $t_2_{\text{eff}}$  régit  $v_c(r)$ .
- $M_T(r) \propto r$  en Zone II → plateau rotationnel.
- $M_T(r) \rightarrow \text{const}$  en Zone III → extinction gravitationnelle.

Ces solutions émergent naturellement du Master.

## A.12 — Dynamique interne du triplet

Équations simplifiées :

$$\dot{t}_1 \approx \beta_1 t_2,$$

$$\dot{t}_2 \approx -\beta_2 t_2,$$

$$\dot{t}_1' \approx \gamma t_2.$$

Elles produisent :

- érosion de  $t_1$  (mémoire),
- stabilité minimale du présent,
- montée puis plateau de  $t_1'$  (tension).

### A.13 — Glissement $\chi$ : moyen + fluctuations

Décomposition :

$$\chi(x,t) = \bar{\chi}(r,t) + \tilde{\chi}(x,t)$$

avec dynamique :

$$\partial_t \tilde{\chi} = D_\chi \nabla^2 \tilde{\chi} - \kappa_\chi \tilde{\chi} + S(x,t)$$

Ce terme explique la diversité galactique.

### A.14 — Régimes extrêmes (pré-Freeze, Freeze Sphere)

Conditions de Freeze Sphere :

$$t_1 \rightarrow 0, \quad t_1' \rightarrow t_1', \infty, \quad \sigma \rightarrow \sigma \infty, \quad \sigma' \rightarrow 0^+, \quad \chi \rightarrow \infty.$$

Gravité :

$$t_2_{\text{eff}} \rightarrow 0 \Rightarrow g_{\text{VLCC}} \rightarrow 0.$$

### A.15 — Métastabilité et dissolution

Aucune Freeze Sphere n'est stable :

- $t_2_{\text{basal}} > 0$  réanime  $t_1$  :

$$\dot{t}_1 = \beta_1 t_2 > 0$$

- gradients externes dissolvent le figement :

$$\dot{t}_1 = -\alpha_1 (\nabla \sigma) + \beta_1 t_2$$

Trois issues :

1. extinction lente,
2. réouverture,
3. diffusion pré-Freeze.

## **A.16 — Conclusion générale du Master**

Le Master montre que :

- la gravité galactique émerge du présent intriqué,
- les Zones I-II-III sont des solutions analytiques nécessaires,
- les Freeze Spheres sont des limites dynamiques, jamais éternelles,
- la diversité galactique découle du glissement morphogénique,
- le Lagrangien V.9 unifie triplet, tri-phase et gravité.

C'est l'ossature mathématique complète du VLCC.

## **ANNEXE B — Mécanismes locaux d'ingénierie temporelle: Modulation, redistribution et stabilisation morphogéniques (et esquisses mathématiques)**

### **B.1 — Position et statut de cette annexe**

Le VLCC, tel qu'il est formulé dans le corps du traité, repose sur :

un champ temporel structuré  $(\tau, \sigma, \Delta t)$ ,  
une tri-phase  $\{t_1, t_2, t_1'\}$ ,  
des lois morphogéniques (LPHD, LCFT, LRTG),  
une équation-cadre variationnelle.

Ces éléments suffisent à définir la dynamique fondamentale du modèle.

La présente annexe a un statut différent :

Elle esquisse des mécanismes locaux possibles — différentiel temporel, démultiplication, stabilisation — qui pourraient émerger comme solutions particulières des équations fondamentales dans certains environnements.

Les structures mathématiques proposées ici :

- sont compatibles avec l'architecture du VLCC,
- mais ne constituent pas de nouveaux axiomes,
- et doivent être considérées comme des pistes de travail plutôt que comme des résultats établis.

### **B.2 — Rappel minimal du cadre morphogénique**

On rappelle simplement les objets indispensables à ce qui suit :

Champ temporel :  $(\tau(x,t), \sigma(x,t), \Delta t(x,t))$

Triade temporelle (régimes) :  $(t_1(x,t), t_2(x,t), t_1'(x,t))$

- Glissement morphogénique :

$$\chi(x,t) = t_1'(x,t) / t_1(x,t)$$

- Gradients morphogéniques :
- $\nabla\tau, \nabla\sigma, \nabla\Delta t, \nabla t_1, \nabla t_2, \nabla t_1', \dots$

## B.3 — Différentiel temporel morphogénique : décomposition de $\chi$

### B.3.1 — Décomposition moyenne + différentielle

Une première structure naturelle consiste à décomposer le glissement  $\chi$  en :

$$\chi(x) = \bar{\chi}(r) + \tilde{\chi}(x)$$

où :

- $\bar{\chi}(r)$  est un profil moyen,
- $\tilde{\chi}(x)$  est une composante différentielle locale de moyenne nulle  $\langle \tilde{\chi} \rangle_D = 0$ .

### B.3.2 — Une équation possible pour $\bar{\chi}(r)$

À l'échelle moyenne, le glissement  $\bar{\chi}$  pourrait satisfaire :

$$E_{moy}[\bar{\chi}, \sigma, \rho] = 0$$

### B.3.3 — Une dynamique possible pour la fluctuation $\tilde{\chi}(x)$

Une équation candidate :

$$\partial_t \tilde{\chi} = D\chi \nabla^2 \tilde{\chi} - \kappa\chi \tilde{\chi} + S(x,t)$$

où  $S(x,t)$  dépend de  $\nabla\sigma$  et  $\nabla\Delta t$ .

## B.3.4 — Différentiel temporel morphogénique : décomposition de $\chi$

### B.3.5 — Décomposition moyenne + différentielle

Une première structure naturelle consiste à décomposer le glissement  $\chi$  en :

$$\chi(x) = \bar{\chi}(r) + \tilde{\chi}(x)$$

où :

- $\bar{\chi}(r)$  est un profil moyen (radial, ou plus généralement “lissé” à l'échelle d'un système),
  - $\tilde{\chi}(x)$  est une composante différentielle locale, de moyenne nulle :  $\langle \tilde{\chi}(x) \rangle_D = 0$
- sur un domaine D (coquille radiale, volume galactique, cellule de simulation...).

De telles décompositions sont classiques en physique des milieux continus (champ moyen + fluctuation), mais ici elles sont appliquées au glissement temporel.

### B.3.6 — Une équation possible pour $\bar{\chi}(r)$

À l'échelle moyenne, le glissement  $\bar{\chi}(r)$  pourrait être régi par une équation stationnaire du type :

$$E_{\text{moy}}[\bar{\chi}, \sigma, \rho] = 0$$

où  $E_{\text{moy}}$  serait une combinaison des lois morphogéniques (LCFT, LPHD) et des gradients de cohérence et de densité :

$$E_{\text{moy}} \sim a_1 d\bar{\chi}/dr + a_2 d\sigma/dr + a_3 d\rho/dr + \dots$$

Les coefficients  $a_i$  seraient des constantes morphogéniques déjà fixées par l'équation-cadre, ou dérivables de celle-ci.

Ce type d'équation exprimerait mathématiquement ce que le traité dit déjà qualitativement : le glissement moyen  $\bar{\chi}$  suit la structure moyenne de  $\sigma$  et de la densité baryonique.

### B.3.7 — Une dynamique possible pour la fluctuation $\tilde{\chi}(x)$

Pour la partie différentielle  $\tilde{\chi}(x)$ , une famille d'équations possibles est de type diffusion + confinement :

$$\partial_t \tilde{\chi}(x,t) = D\chi \nabla^2 \tilde{\chi}(x,t) - \kappa\chi \tilde{\chi}(x,t) + S(x,t),$$

avec :

- $D\chi > 0$  : “diffusivité” morphogénique du glissement,
- $\kappa\chi > 0$  : terme de rappel vers  $\tilde{\chi} = 0$  (stabilisation),
- $S(x,t)$  : source liée aux gradients de  $\sigma$  et de  $\Delta t$ , par exemple :

$$S(x,t) = b_1 \nabla \cdot (\nabla \sigma) + b_2 \nabla \cdot (\nabla \Delta t) + \dots$$

Un tel schéma réalise mathématiquement l'idée suivante :

- $\tilde{\chi}$  peut apparaître là où les gradients de cohérence ou de tension sont forts,
- mais il est rapidement dissipé (diffusion) et ramené vers zéro (terme  $-\kappa\chi\tilde{\chi}$ ),
- ce qui garantit la stabilité globale et la prédominance de  $\bar{\chi}$ .

Ce type d'ansatz illustre comment, en pratique, un différentiel temporel pourrait :

- s'exciter localement,
- se diffuser,
- puis être amorti sans violer les lois globales.

## B.4 — Démultiplication morphogénique locale : gain $G_{loc}(x)$

### B.4.1 — Définition fonctionnelle

Un second mécanisme possible consiste à introduire un gain morphogénique local  $G_{loc}(x)$ , qui relie le champ temporel interne aux observables dynamiques :

$$O_{dyn}(x) \approx G_{loc}(x) \cdot F(\tau, \sigma, \Delta t, t_1, t_2, t_1')(x),$$

où :

- $O_{dyn}$  peut être, par exemple, une vitesse orbitale, une dispersion, un cisaillement,
- $F$  est une combinaison des champs et de leurs gradients, imposée par les lois fondamentales,
- $G_{loc}(x)$  encode l'intensité de la réponse locale du système à un même gradient temporel.

Une contrainte naturelle est :

$$G_{min} \leq G_{loc}(x) \leq G_{max}$$

avec  $0 < G_{min} \leq G_{max}$  des bornes globales imposées par la morphogénèse.

### B.4.2 — Liaison possible avec la morphologie baryonique

On peut imaginer que  $G_{loc}$  dépend de :

- de la distribution baryonique  $\rho(x)$ ,
- de la géométrie locale,
- de l'histoire de  $\sigma$  (par exemple via un terme de mémoire).

Une forme possible est :

$$G_{loc}(x) = G_0 + \beta_1 |\nabla \rho(x)| / (\rho(x) + \rho_0) + \beta_2 H[\sigma](x),$$

où :

- $G_0$  est un gain moyen,
- $\rho_0$  un seuil régularisant,
- $H[\sigma]$  une fonctionnelle (par exemple un historique local de la cohérence),
- $\beta_1, \beta_2$  des coefficients morphogéniques.

En substance : certaines morphologies baryoniques ou certains historiques de cohérence peuvent rendre un système plus ou moins sensible aux mêmes gradients temporels.

### B.4.3 — Interprétation

Mathématiquement,  $G_{loc}$  n'introduit pas de nouvelle physique fondamentale :

il encode la manière dont un même champ temporel s'exprime différemment selon l'environnement, tout en restant borné globalement.

## B.5 — Mécanismes de stabilisation : “rupteurs morphogéniques”

### B.5.1 — Seuils de cohérence et d'instabilité

Le traité introduit des seuils critiques pour  $\sigma(x)$ .

On peut étendre cette idée en posant que certaines combinaisons de champs ne peuvent dépasser des limites globales :

$$|\chi(x)| \leq \chi_{\text{max}},$$

$$|\Delta t(x)| \leq \Delta t_{\text{max}},$$

$$|\nabla \sigma(x)| \leq K_{\text{max}},$$

où ces bornes sont des constantes morphogéniques globales.

Ces inégalités définissent la région d'existence des solutions temporelles admises.

### B.5.2 — Implémentation variationnelle possible

Un mécanisme de “rupteur” peut être modélisé par l’ajout à l’action S d’un terme pénalisant :

$$S_{\text{eff}} = S_{\text{VLCC}} + \varepsilon \int d^4x \Phi(|\chi|, |\Delta t|, |\nabla \sigma|),$$

où :

- $S_{\text{VLCC}}$  est l’action de base,
- $\varepsilon$  un paramètre très petit,
- $\Phi$  est nulle dans la région permise et croît dès que les seuils sont franchis.

Une forme possible :

$$\Phi = \Theta(|\chi| - \chi_{\text{max}})(|\chi| - \chi_{\text{max}})^2 + \dots$$

où  $\Theta$  est la fonction de Heaviside.

Ce type de terme exprime que le système résiste à l'emballement et revient vers la région stable.

## B.6 — Vers une ingénierie temporelle observationnelle

Les schémas proposés ci-dessus ouvrent des pistes pour des travaux futurs :

### Simulations numériques

- tester des modèles  $\chi = \bar{\chi} + \tilde{\chi}$  avec dynamique de type diffusion + rappel,
- introduire  $G_{loc}$  dans des simulations de courbes de rotation ou de lentilles,
- étudier l'impact de termes pénalisants ( $\Phi$ ) sur la stabilité des solutions.

### Analyse de données

- reconstruire des profils moyens  $\bar{\chi}(r)$  à partir de données cinématiques,
- rechercher des signatures compatibles avec un  $\tilde{\chi}$  modéré (anisotropies faibles, corrélées à des gradients de  $\sigma$  reconstruits),
- tester l'existence de bornes effectives (par exemple aucune galaxie relaxée présentant un glissement ou un gradient au-delà de certaines valeurs).

### Contraintes théoriques

- dériver, à partir du Lagrangien complet, si certains des termes esquissés (diffusion, rappel, pénalisation) peuvent émerger comme approches effectives,
- identifier quelles structures parmi  $\tilde{\chi}$ ,  $G_{loc}$ ,  $\Phi$  sont réellement nécessaires, et lesquelles restent purement optionnelles.

## B.7 — Statut final de ces propositions

Les constructions mathématiques présentées dans cette annexe doivent être comprises comme :

— des esquisses possibles de l'ingénierie locale du temps, compatibles avec l'architecture du VLCC, mais ne faisant pas partie de son noyau démonstratif actuel.

Elles ont un double rôle :

- ouvrir des directions de recherche (numériques, observationnelles, théoriques),
- montrer au lecteur spécialiste que les idées qualitatives de différentiel, de modulation et de stabilisation peuvent recevoir une traduction mathématique précise, sans ajouter d'arbitraire ni de paramètres ad hoc.

Leur validation ou leur rejet appartiendra à la suite du programme VLCC, lorsque des simulations et des confrontations systématiques aux données auront été mises en œuvre.

Avant toute tentative d'invalidation ou de réfutation du VLCC, ces mécanismes locaux — différentiel, démultiplication et stabilisation — devront être soigneusement explorés, car ils constituent autant de solutions effectives susceptibles de se manifester dans différents environnements morphogéniques.

## **ANNEXE C — Topologie implicite du VLCC : continuité, régimes et transitions morphologiques**

### **C.1 — Pourquoi une annexe topologique ?**

Le modèle VLCC repose sur une ontologie du temps dans laquelle le réel ne se déploie pas dans une topologie préalable, mais engendre sa propre structure de continuité à partir de la cohérence temporelle  $\sigma(x)$ , de ses gradients et de la triade morphogénique  $(t_1, t_2, t_1')$ .

Il est donc légitime de poser la question suivante :

Peut-on proposer une lecture topologique cohérente du VLCC, sans réduire le modèle à une topologie classique de l'espace, ni lui imposer une formalisation mathématique externe ?

Cette annexe n'a ni pour objectif de formaliser une topologie du temps, ni de fonder le VLCC sur des théories mathématiques existantes.

Elle vise uniquement à proposer une clé de lecture conceptuelle possible, montrant que certaines intuitions fondamentales du VLCC — continuité sans rupture, changements de régime, absence de singularité destructrice — trouvent un écho rigoureux dans des travaux mathématiques reconnus, notamment ceux de Bernard Morin et René Thom.

### **C.2 — Bernard Morin : continuité globale sans rupture locale**

Les travaux de Bernard Morin en topologie différentielle, notamment autour de la sphère retournée, ont mis en évidence un fait fondamental :

Deux configurations globalement incompatibles peuvent être reliées par une transformation continue, sans jamais rompre la continuité locale.

La transformation peut être :

- contre-intuitive,
- géométriquement déroutante,
- impossible à visualiser naïvement,

mais elle demeure continue en tout point.

Cette idée est centrale pour le VLCC :

le réel peut changer radicalement de configuration sans jamais s'annuler, se rompre ou se singulariser.

### C.3 — Continuité temporelle dans le VLCC : le présent ne disparaît jamais

Dans le VLCC, le présent  $t_2$  n'est ni un instant ponctuel ni un événement éphémère. Il est une région structurelle du champ temporel, conditionnée par la cohérence  $\sigma(x)$ .

Il en résulte une propriété fondamentale :

Le présent ne peut pas disparaître.

Lorsque  $\sigma(x)$  chute sous son seuil opératoire :

- le présent peut devenir figé,
- spectral,
- non différentiel,

mais il n'est jamais annihilé.

Il s'agit d'un changement de régime, non d'une suppression topologique.

Cette propriété est strictement analogue aux transformations étudiées par Morin : la structure globale demeure, même lorsque ses propriétés locales deviennent extrêmes.

### C.4 — Les gradients morphogéniques comme médiateurs de continuité

Dans le VLCC, les gradients morphogéniques ( $\nabla\sigma, \nabla\tau, \nabla\Delta t$ ) ne sont pas de simples détails techniques.

Ils constituent le mécanisme central de continuité du réel.

Lorsque la cohérence varie :

- il n'y a ni saut brutal,
- ni transition instantanée,
- ni rupture du champ temporel.

À la place, le modèle introduit :

- des régimes intermédiaires,
- des zones de glissement,
- des états spectraux ou figés.

Ces régimes correspondent exactement à ce que la topologie moderne accepte : des états intermédiaires non intuitifs, nécessaires pour préserver la continuité globale.

## C.5 — René Thom : transitions morphologiques sans devenir dynamique

Les travaux de René Thom sur la théorie des catastrophes n'ont pas pour objet le temps cosmologique.

Ils proposent cependant une idée fondamentale compatible avec le VLCC :

Un système peut subir un changement qualitatif de structure sous l'effet de variations continues de paramètres, sans rupture de continuité.

Dans le VLCC :

- il n'existe pas de dynamique temporelle fondamentale,
- mais des régimes morphogéniques sélectionnés par  $\sigma$ ,  $\Delta t$  et leurs gradients.

Les transitions entre :

- $t_1$  (pré-cohérence),
- $t_2$  (présent stabilisé),
- $t_1'$  (régime dissipatif),

peuvent ainsi être lues comme des transitions morphologiques au sens de Thom : des changements de régime structurel, non des évolutions historiques.

Cette lecture ne constitue ni une explication, ni une formalisation du VLCC ; elle fournit un langage morphologique pour penser les seuils, attracteurs et pertes de capacité opératoire.

## C.6 — Ce que Morin et Thom apportent au VLCC (et ce qu'ils n'apportent pas)

Il est essentiel de rester rigoureux.

Les travaux de Morin et de Thom :

- n'introduisent pas une topologie du temps,
- ne fondent pas une cosmologie,
- ne définissent ni  $\sigma(x)$ , ni la triade temporelle,
- ne justifient pas les lois morphogéniques du VLCC.

Ils apportent en revanche :

- une légitimité mathématique à l'idée de continuité sans rupture,
- un cadre conceptuel pour penser des changements de régime sans singularité,
- la reconnaissance que des états intermédiaires non intuitifs sont une nécessité structurelle, et non une faiblesse.

Ils permettent ainsi de comprendre que le VLCC ne viole aucune exigence de cohérence topologique, malgré son ontologie non standard du temps.

### C.7 — Vers une topologie implicite des régimes temporels (question ouverte)

On peut ainsi proposer, sans formalisme, l'idée suivante :

Le VLCC admet une topologie implicite des régimes temporels, définie non sur l'espace, mais sur l'ensemble des configurations admissibles du champ temporel.

Dans cette topologie implicite :

- le présent ne s'annule jamais,
- les transitions sont continues,
- les singularités destructrices sont exclues,
- les gradients jouent le rôle de médiateurs topologiques.

Cette lecture n'est ni imposée, ni nécessaire au fonctionnement du modèle.

Elle constitue une clé de lecture mathématique possible, laissée volontairement ouverte.

### C.8 — Conclusion de l'annexe J

Le VLCC ne repose pas sur une topologie classique de l'espace, mais sur une continuité morphogénique du temps.

Les travaux de Bernard Morin et de René Thom montrent qu'il est mathématiquement cohérent :

- de préserver la continuité globale,
- tout en acceptant des changements profonds de régime,
- sans jamais introduire de rupture, d'annihilation ou de singularité.

Dans le VLCC, les gradients morphogéniques jouent exactement ce rôle :  
ils sont la condition de possibilité topologique du réel.

Cette annexe n'achève pas la question :  
elle l'ouvre, de manière rigoureuse, pour de futures explorations mathématiques.

## **ANNEXE D — Cosmologie morphogénique : le « modèle-jouet » VLCC**

### **D.1 — Statut de cette annexe : une cosmologie minimale, cohérente mais non exhaustive**

Cette annexe ne constitue pas une cosmologie complète du VLCC.

Elle propose :

- un modèle-jouet cosmologique simple,
- entièrement cohérent avec les lois morphogéniques LPHD-LCFT-LRTG-LRTG-LITV,
- compatible avec les invariants fondamentaux,
- et suffisant pour interpréter qualitativement la dynamique globale de l'Univers sans matière noire ni énergie noire.

Il s'agit donc d'une version minimale, mais déjà falsifiable.

### **D.2 — Le principe cosmologique morphogénique**

Contrairement à la cosmologie standard  $\Lambda$ CDM, où la métrique FRW est primitive et la matière/énergie moteur de l'expansion,

le VLCC affirme :

L'expansion cosmique est un effet dérivé du champ du temps.

Plus précisément :

- l'Univers s'étend parce que  $t_2$  (le présent intriqué) se détend globalement,
- la tension évolutive  $t_1'$  agit comme un moteur d'expansion,
- la mémoire cosmique  $t_1$  s'érode avec le temps cosmologique.

Trois objets contrôlent l'évolution globale :

1.  $t_1(t)$  : mémoire cosmique décroissante
2.  $t_1'(t)$  : tension temporelle en montée lente puis plateau
3.  $t_2(t)$  : présent intriqué moteur de l'expansion

Avec le glissement cosmique :

$$\chi_{\text{cosm}}(t) = t_1'(t) / t_1(t).$$

### D.3 — Le modèle-jouet : équations cosmologiques minimales VLCC

Voici le système simplifié, adapté au niveau d'une annexe :

Équations d'évolution (forme effective)

$$\dot{t}_1 = -\alpha t_1 + \beta t_2,$$

$$\dot{t}_1' = \gamma t_2,$$

$$\dot{t}_2 = -\lambda t_2 + \eta t_1'.$$

où :

- $\alpha, \beta, \gamma, \lambda, \eta$  sont des constantes morphogéniques globales,
- les signes choisis respectent LPHD, LRTG et LCFT.

Ces équations proviennent :

- d'une réduction homogène (sans gradients) de l'équation-cadre  $\sum \Phi_i = 0$ ,
- d'une projection du Master (Annexe D) dans le cas  $\nabla\sigma = \nabla\tau = \nabla\Delta t = 0$  (univers isotrope),
- d'une renormalisation cosmologique du présent intrigué.

Équation d'expansion (modèle-jouet)

L'expansion cosmique  $H(t)$  n'est pas primitive :

$$H(t) = k_0 t_2^{\text{eff}}(t)$$

où  $t_2^{\text{eff}}$  est une combinaison de  $t_2$  et  $\Delta t$ .

Dans le modèle-jouet :

$$t_2^{\text{eff}} \approx t_2 + \kappa t_1'.$$

Ainsi :

$$H(t) = k_0 (t_2(t) + \kappa t_1'(t)).$$

Ce qui remplace :

- $\Lambda$  pour l'accélération tardive,
- la matière noire pour la cohérence structurelle.

### D.4 — Phases cosmologiques prédictives du modèle-jouet VLCC

Le modèle-jouet prédit trois grandes phases :

#### Phase I — Univers jeune : mémoire dominante ( $t_1 \ll t_1'$ )

- expansion lente, presque linéaire,
- faible cohérence globale,
- fluctuations importantes de  $\Delta t(t)$ ,

- glissement  $\chi$  cosmique faible.

Cette phase joue le rôle d'un "pré-inflation" morphogénique.

### **Phase II — Univers intermédiaire : montée de $t_1'$ (dominance de tension)**

Lorsque  $t_1'$  augmente et  $t_1$  décroît :

- $\chi$  explose  $\rightarrow$  structuration facilitée,
- $t_2$  s'étire  $\rightarrow$  accélération cosmique naturelle,
- apparition de la hiérarchisation galactique.

Cette phase reproduit l'accélération cosmique sans énergie noire.

### **Phase III — Univers tardif : saturation de $t_1'$ , $t_2$ tend vers plateau**

Lorsque le triplet atteint son régime saturé cosmique :

- $t_1 \rightarrow$  très faible,
- $t_1' \rightarrow$  constant,
- $t_2 \rightarrow$  plateau positif,

Alors :

- $H(t) \rightarrow H\infty \neq 0$  (expansion asymptotique),
- la structuration cosmique cesse progressivement,
- l'Univers entre en pré-Freeze cosmique.

Prédiction :

Le VLCC prédit une expansion éternelle mais non explosive (contraire au Big Rip).

## D.5 — Ce que le modèle-jouet explique déjà sans énergie noire ni matière noire

- Accélération cosmique

Issue de la montée de  $t_1'$  et de l'étirement de  $t_2$ .

- Cohérence des courbes de rotation

Masse morphogénique  $M_T(r)$  découle du gradient de  $t_2(t)$ , non d'un halo sombre.

- Hiérarchisation galactique

Phase II → émergence spontanée des Zones I/II/III (Chap. 39).

- Faible amplitude des perturbations primordiales

$\Delta t$  en phase I impose un spectre naturellement modéré.

- Absence de singularité cosmologique nécessaire

Le VLCC n'exige pas de Big Bang ponctuel :

un effondrement rapide de  $t_1$  suffit comme condition initiale effective.

## D.6 — Falsifiabilité cosmologique

Le modèle-jouet VLCC est falsifiable par :

### 1. Variation temporelle de $H(z)$

Le modèle prédit une montée lente, saturée, non exponentielle.

### 2. Amortissement du glissement $\chi(z)$ aux très grands $z$

Contraire à certains modèles d'énergie noire dynamique.

### 3. Non-existence d'un $\Delta t = 0$ cosmique

(ce qui exclurait tout événement d'inversion temporelle ou signature de type Janus).

### 4. Absence de croissance non bornée du potentiel gravitationnel

à grande échelle — signature attendue dans certains modèles de gravité modifiée.

## D.7 — Conclusion de l'annexe

Cette annexe introduit une cosmologie minimale, mais déjà riche :

- un système d'équations temporelles simples,
- produisant naturellement expansion, accélération, cohérence et extinction structurelle,
- sans invoquer aucune matière noire ni énergie noire fondamentales.

Le « modèle-jouet » n'est pas la cosmologie définitive du VLCC ; il constitue la forme morphogénique la plus simple compatible avec le cœur théorique du modèle.

Il ne vise ni l'exhaustivité, ni la précision observationnelle maximale, mais fournit un cadre réduit, analytiquement contrôlable, à partir duquel les mécanismes fondamentaux du VLCC peuvent être explorés, testés et comparés.

Il constitue la base nécessaire :

- aux simulations et explorations par intelligence artificielle scientifique (Annexe H) ;
- à l'étude des régimes extrêmes et des Freeze Spheres cosmologiques (Annexe E) ;
- à l'analyse des signatures observationnelles, notamment CMB, sub-millimétriques et grandes structures (Annexe F) ;
- à la mise en relation avec le master mathématique et à la dérivation complète du cadre canonique (V9) (Annexe A).

Dans cette architecture, ce modèle-jouet joue un rôle méthodologique central : il sert d'interface entre le formalisme abstrait du VLCC et ses manifestations phénoménales, sans jamais se substituer au modèle canonique complet.

## **ANNEXE E — Freeze Sphere centrale vs Trou Noir : comprendre la différence fondamentale**

Cette annexe clarifie la distinction entre deux objets qui jouent, chacun à leur manière, un rôle d'attracteur dans les galaxies :

- (1) le trou noir de la relativité générale,
- (2) la Freeze Sphere centrale du VLCC.

Bien qu'ils apparaissent tous deux au centre des systèmes massifs, leur nature, leur dynamique et leur rôle cosmologique n'ont rien en commun.

Cette annexe expose, pour la première fois dans le traité, la différence fondamentale entre un attracteur géométrique (le trou noir) et un attracteur temporel (la Freeze Sphere).

Elle distingue également la Freeze Sphere centrale — objet interne — du pré-Freeze externe, structure périphérique bien différente mais trop souvent confondue avec elle.

### **E.1 — Deux objets placés au même endroit mais issus de deux physiques irréconciliables**

Dans la plupart des galaxies de grande masse, on observe un attracteur central compact. Traditionnellement, dans le cadre de la relativité générale (GR), cet attracteur est :

- Un trou noir supermassif,  
défini par l'effondrement géométrique de l'espace et par l'apparition d'un horizon.

Dans le cadre du VLCC, ce rôle peut être tenu par :

-Une Freeze Sphere centrale,  
issue de l'effondrement de la mémoire profonde  $t_1$  et de la saturation de la cohérence  $\sigma$ .

Ces deux objets ne se ressemblent que par leur situation centrale.

Tout le reste les oppose :

leur naissance, leur stabilité, leurs interactions, leur dynamique interne et même leur signification cosmologique.

## **E.2 — Origine : effondrement géométrique vs figement temporel**

### **E.2.1 — Naissance du trou noir (Relativité générale)**

Un trou noir apparaît lorsque :

- la densité baryonique dépasse un seuil critique,
- l'espace-temps se contracte jusqu'à former un horizon,
- la métrique devient dégénérée en  $r = r_s$ .

C'est un effondrement de la géométrie de l'espace,  
sous l'effet de la matière et de l'énergie.

### **E.2.2 — Naissance d'une Freeze Sphere centrale (VLCC)**

Une Freeze Sphere centrale naît lorsque :

- la mémoire profonde  $t_1 \rightarrow 0$ ,
- la cohérence  $\sigma \rightarrow \sigma_\infty$ ,
- le glissement  $\chi = t_1'/t_1 \rightarrow \infty$ ,
- les gradients  $\sigma', \tau', \Delta t' \rightarrow 0$ ,
- le présent  $t_2$  cesse d'être modulé localement.

C'est un abandon progressif de la dynamique du temps, non un effondrement de l'espace.

Autrement dit :

Le trou noir vient d'un espace qui s'effondre.

La Freeze Sphere centrale vient d'un temps qui s'épuise.

## **E.3 — Structure interne : horizon vs silence temporel**

### **E.3.1 — Intérieur d'un trou noir**

- horizon d'événement,
- singularité centrale,
- causalité déformée,
- flèche du temps dirigée vers la singularité,
- densité et courbure divergentes.

La physique interne est géométriquement extrême.

### **E.3.2 — Intérieur d'une Freeze Sphere centrale**

- aucune singularité,
- aucune divergence,
- aucun horizon,
- $\Delta t > 0$  toujours (LITV),
- gradients nuls : silence temporel,
- $t_2$  devient quasi constant : gravité éteinte,
- $t_1$  extrêmement faible mais jamais nul.

La Freeze Sphere est un attracteur dissipatif, non une singularité.

Elle représente l'état où :

le temps n'a plus les moyens de se reconfigurer.

## **E.4 — Stabilité : éternité géométrique vs métastabilité temporelle**

### **E.4.1 — Trou noir**

Le trou noir est stable structurellement :

l'horizon persiste tant qu'aucune évaporation extrême (Hawking) ne l'affecte.

Il est donc quasi éternel à l'échelle galactique.

### **E.4.2 — Freeze Sphere centrale**

Une Freeze Sphere ne peut jamais être éternelle, car :

- $t_2 \geq t_{2,\text{basal}} > 0$  impose un flux minimal,
- ce flux réanime systématiquement  $t_1$  dès qu'il atteint son plancher,
- $t_1'$  reste non nul (LRTG),
- donc  $\chi$  ne peut diverger qu'en limite, jamais en valeur finie.

Dès qu'un gradient externe réapparaît (marée, filament, collision) :

- $t_1$  remonte,
- $\chi$  décroît,
- le condensat photonique se dissipe,
- la Freeze Sphere centrale se dissout ou se réouvre.

Elle est donc structurellement :

- métastable,
- non permanente,
- sensible à l'environnement.

C'est l'exact opposé d'un trou noir.

## **E.5 — Rôle gravitationnel : puits géométrique vs extinction gravitationnelle**

### **E.5.1 — Trou noir**

Il produit une gravité croissante jusqu'à l'horizon :  
 $g(r) \propto 1/r^2$  (extérieur),  
puis divergente (intérieur).

### **E.5.2 — Freeze Sphere centrale**

Dans une Freeze Sphere :

- $t_2^{\text{eff}}$  devient constant,
- donc  $\ddot{t}_2^{\text{eff}}$  devient constant,
- donc  $\partial_r \ddot{t}_2^{\text{eff}} \rightarrow 0$ .

Ainsi :

$$g_{\text{VLCC}} \rightarrow 0.$$

La Freeze Sphere est un effaceur de gravité, là où le trou noir est un amplificateur de gravité.

## **E.6 — Pré-Freeze externe vs Freeze Sphere centrale**

Ces deux objets ont parfois été confondus car ils relèvent du même mécanisme (saturation du temps), mais ils diffèrent profondément :

### **Freeze Sphere centrale**

- Attracteur interne.
- Régime extrême du triplet dans le cœur galactique.
- Peut remplacer le rôle astrophysique traditionnel du trou noir.
- Métastable mais localement très structuré.

### **Pré-Freeze externe**

- Régime périphérique des halos.
- Extinction progressive de  $\sigma'$ ,  $t_1'$ ,  $\Delta t'$ .
- Gravité s'éteint à grande échelle.
- Produit des halos doux, des UDG, des zones ultra-diffuses.

Ces deux objets appartiennent à une même famille temporelle, mais incarnent deux échelles morphogéniques radicalement différentes.

### **E.7 — Tableau comparatif : Trou Noir vs Freeze Sphere centrale vs Pré-Freeze externe**

Aspect	Trou Noir	Freeze Sphere centrale	Pré-Freeze externe
<b>Origine</b>	Effondrement géométrique de l'espace	Épuisement de la mémoire temporelle ( $t_1 \rightarrow 0$ ), saturation $\sigma \rightarrow \sigma_\infty$	Extinction graduelle des gradients en Zone III
<b>Nature dynamique</b>	Gravité maximale, puits géométrique	Gravité en extinction ( $\ddot{t}_2^{\text{eff}} \rightarrow 0$ )	Gravité quasi nulle, décroissance externe
<b>Temps</b>	La flèche devient interne à l'horizon ; distorsion extrême	$\Delta t > 0$ mais non modulé ; silence temporel	$\Delta t > 0$ faiblement structuré
<b>Intérieur / cœur</b>	Singularité ou région fortement courbée	Régulier, sans horizon, sans singularité	Région diffuse, non compacte

Aspect	Trou Noir	Freeze Sphere centrale	Pré-Freeze externe
<b>Horizon</b>	Oui	Non	Non
<b>Évolution</b>	Stable, irréversible (hors évaporation quantique)	Métastable : se dissout sous gradient externe	Durable mais non éternel : étalement/diffusion
<b>Rôle interne</b>	Ancre gravitationnelle centrale	Attracteur temporel central (figement)	Bordure terminale du halo
<b>Fonction galactique</b>	Gouverne la dynamique de cœur	Délimite la limite interne du temps structuré	Délimite la limite externe de la gravité
<b>Effet gravitationnel</b>	Attraction extrême, capture	Attraction nulle en limite ; pas de capture	Attraction très faible ; transition externe
<b>Finalité morphogénique</b>	Compression & effondrement	Figement & silence temporel	Dissipation & extinction graduelle

## E.8 — Rivalité cosmologique : deux attracteurs, deux visions de l'Univers

Cette annexe met en lumière un point capital :

Trou noir et Freeze Sphere centrale sont deux attracteurs rivaux pour expliquer les centres galactiques.

Le choix n'est pas neutre :

- Choisir le trou noir, c'est choisir une cosmologie géométrique (GR).
- Choisir la Freeze Sphere, c'est choisir une cosmologie temporelle (VLCC).

L'enjeu dépasse la structure des galaxies :  
il touche à la nature fondamentale du réel.

## **Conclusion de l'annexe E : un choix d'objet, un choix d'Univers**

Cette distinction révèle la portée réelle du VLCC :

- Une Freeze Sphere centrale n'est pas un trou noir modifié.
- Elle n'a ni horizon, ni singularité, ni effondrement.
- Elle représente une dynamique du temps qui s'épuise, non une géométrie qui se contracte.
- Le pré-Freeze externe prolonge cette logique en périphérie, structurant la fin des halos et l'extinction de la gravité.

Ainsi :

Là où la GR voit des horizons, le VLCC voit des saturations.

Là où la GR voit des singularités, le VLCC voit un silence du temps.

Et surtout :

Le choix entre trou noir et Freeze Sphere centrale n'est pas le choix d'un modèle.  
C'est le choix d'une cosmologie entière.

## **ANNEXE F — Lecture morphogénique du réel : Comparaisons observationnelles multi-instruments JWST, Euclid, LSST, SKA, LOFAR, ELT, LISA, BISOU, PIXIE+**

### **F.1 — Position et rôle fondamental de l'annexe**

Cette annexe occupe une place unique dans le traité.

Elle ne développe pas de théorie nouvelle et ne modifie pas le VLCC.

Elle montre comment la physique du temps devient observable, comment les instruments actuels lisent, parfois sans le savoir, les signatures du champ temporel :

- la cohérence  $\sigma(x)$ ,
- son gradient  $\nabla\sigma$ ,
- la tension  $t_1'$ ,
- le glissement  $\chi$ ,
- la profondeur temporelle  $\Delta t$ ,
- et le présent intriqué  $t_{2\_eff}$ .

L'objectif est double :

**1.** Traduire l'observation en langage morphogénique

Chaque instrument devient un détecteur d'une composante du champ du temps.

**2.** Organiser la falsifiabilité

Une théorie physique n'existe réellement que lorsqu'on peut la confronter au réel.

Cette annexe cartographie les tests possibles, du plasma primordial aux halos externes.

### **F.2 — Comprendre ce que les instruments mesurent : une cartographie morphogénique**

Dans un modèle du temps structuré, aucun instrument ne mesure directement une masse ou une géométrie.

Chaque observable physique émerge d'une combinaison morphogénique.

Observable	Interprétation GR	Interprétation VLCC
Lumière interne	distribution baryonique	$\sigma$ interne (cohérence locale)
Lentilles faibles	géométrie d'espace courbe	$\nabla\sigma$ distribué (gradient du temps)
Vitesse de rotation	distribution de masse	dérivée radiale de $t_2$ _eff
Anisotropies CMB	densité + modes acoustiques	fluctuations $\sigma$ _prim et $\chi$ _prim
21 cm externe	halo DM + cinématique	pré-Freezes morphogéniques
Ondes gravitationnelles	propagation métrique	déphasage $t_1'$

Ce tableau définit le cadre conceptuel général : chaque instrument lit une facette du champ temporel.

### F.2.2 — Architecture radiale d'une galaxie : GR vs VLCC

Un tableau synthétique qui clarifie ce que chaque modèle suppose :

Région	GR ( $\Lambda$ CDM)	VLCC
Centre	Trou noir supermassif, attracteur spatial	Freeze Sphere centrale, attracteur temporel
Zone intermédiaire	Bulbe / disque structuré par masse + DM	Zones I-II entretenues par $t_1'$
Région externe	Halo de matière noire	Pré-Freeze : extinction des gradients temporels
Très grande échelle	Masse DM distribuée	Dissipation temporelle, $\sigma' \rightarrow 0$

Ce tableau est pédagogique : il montre immédiatement que les deux modèles n'interprètent pas du tout les observations de la même manière.

## **F.3 — Instruments CMB et sub-mm : ce qu'ils révèlent du temps primordial**

### **F.3.1 — Le CMB : la première empreinte du champ du temps**

Dans le VLCC :

$\sigma_{\text{prim}}$  = cohérence temporelle du plasma primordial

$\chi_{\text{prim}}$  = glissement initial  $t_1'/t_1$

$\Delta t_{\text{prim}}$  = flèche du temps minimale en sortie d'ère électromagnétique

INTERPRÉTATION MORPHOGÉNIQUE :

Les anisotropies du CMB = variations fossiles de  $\sigma_{\text{prim}}$  et  $\chi_{\text{prim}}$ .

Conséquences :

L'absence de corrélation fine entre multipôles falsifierait le VLCC.

Une anisotropie directionnelle de type  $\chi_{\text{prim}}$  serait une signature très forte du modèle.

### **F.3.2 — Instruments sub-mm (Planck, ACT, SPT)**

Ils détectent :

fluctuations fines de cohérence  $\sigma$ ,

épaisseur fluctuante du présent intriqué  $t_{2,\text{eff}}$ ,

anisotropies résiduelles post-découplage.

Dans le VLCC, ces structures sont des ondulations primordiales du champ du temps, non des variations de densité.

Exemple observationnel typique :

Planck détecte une anomalie de cohérence sur  $15^\circ \rightarrow$

VLCC l'interprète comme une zone primordiale à  $\sigma_{\text{prim}}$  plus bas  $\rightarrow$

prédispose des galaxies locales à une dominance  $\chi$  minoritaire.

## **F.4 — Instruments optiques/IR : lecture morphogénique des galaxies internes**

### **F.4.1 — JWST : reconstruction de $\sigma$ interne à haut redshift**

JWST révèle :

des disques épais,  
des morphologies chaotiques,  
des gradients internes de luminosité.

Dans le VLCC :

un disque épais =  $\sigma$  interne élevée =  $t_1'$  dominant très tôt,  
une structure chaotique =  $\tilde{\chi}$  dominant  
une transition brutale entre centre et bords = signature d'une future Zone II.

Scénario concret :

Une galaxie à  $z = 8$  avec disque déjà bien formé →  
 $t_1'$  élevé → dominance spirale précoce → prédit une Zone II robuste à  $z = 0$ .

### **F.4.2 — Euclid et LSST : lentilles faibles = gradients temporels**

Ces instruments observent :

cisaillement des images,  
anomalies directionnelles,  
structure non isotrope des halos.

Dans le VLCC :

lentille faible = mesure directe de  $\nabla\sigma$ ,  
absence de profil NFW universel = conséquence de  $\tilde{\chi}$  local.

Test falsifiant :

Si Euclid détectait des halos parfaitement isotropes sur de larges échantillons →  
→ VLCC serait sévèrement menacé.

### **F.4.3 — NIKA2 : Pression baryonique = réponse temporelle**

Dans le VLCC, la pression reconstruite est :

une réponse locale de  $t_{2\_eff}$  et  $\sigma$   
pas une mesure directe de densité ou énergie thermique

Signature clé :

→ pression asymétrique =  $\nabla\sigma$  asymétrique

## F.5 — Domaines radio / gravitationnel / optique haute résolution

### F.5.1 — SKA : région externe = laboratoire du pré-Freeze

SKA cartographie :

gaz H I diffus,  
asymétries cinématiques,  
extinctions de vitesse rotationnelle.

Dans le VLCC, SKA teste la transition :

Zone II → Zone III → pré-Freeze

Prédiction testable :

$v(r)$  doit décroître comme  $r^{-1/2}$  dans les bords extrêmes.

C'est la signature reine du modèle.

### F.5.2 — LOFAR : fluctuations de $\sigma$ cosmologique

Le 21 cm couleur :

variation ancienne de cohérence  $\sigma$ ,

révèle le glissement  $\chi$  pré-galactique.

### F.5.3 — LISA : test direct du LRTG

LISA mesure :

le déphasage des ondes gravitationnelles sur longues distances.

Le VLCC prédit :

une correction cumulative due à  $t_1'$ .

si aucun déphasage n'est observé : falsification potentielle.

#### **F.5.4 — ELT : lecture directe de $t_{2\text{-eff}}$ dans les halos**

ELT observe :

la cinématique externe au-delà du disque lumineux.  
gradients de cohérence faibles.

→ ELT peut distinguer  
halo DM (plateau constant)  
vs  
pré-Freeze (décroissance  $r^{-1/2}$ ).  
C'est un test majeur.

### **F.6 — Expériences CMB avancées : BISOU, PIXIE+ et missions extrêmes**

#### **F.6.1 — BISOU : polarisation fine = $\sigma_{\text{prim}}$ anisotrope**

→ test direct de la structure du temps primitif.

#### **F.6.2 — PIXIE+ : $\mu$ -distorsions = tension $\Delta t_{\text{prim}}$**

VLCC prédit :

distorsions corrélées à l'évolution de  $t_1'$ .

#### **F.6.3 — Missions extrêmes (PRISM+, SuperPIXIE)**

Pourraient observer :

l'amortissement temporel primordial.  
Signature quasiment impossible à reproduire dans les modèles d'espace pur.

## F.7 — Tableau croisé : qui mesure quoi ?

Grandeur morphogénique	Instruments sensibles	Type de signature	Test falsifiant
$\sigma$ interne	JWST, ELT	structure, épaisseur, dispersion	absence de tendances
$\nabla\sigma$	Euclid, LSST	cisaillement anisotrope	isotropie parfaite
$\sigma' \rightarrow 0$ (pré-Freeze)	SKA, ELT	décroissance $r^{-1/2}$	plateau externe strict
$\tilde{\chi}$ directionnel	JWST, LOFAR	asymétries persistantes	non-détection totale
$t_1'$ dynamique	LISA	déphasage GW	déphasage nul
$\sigma_{\text{prim}} / \chi_{\text{prim}}$	CMB, BISOU	anisotropies primordiales	absence de structure
$\Delta t_{\text{prim}}$	PIXIE, SuperPIXIE	$\mu$ -distorsions fines	spectre strictement adiabatique

## F.8 — Conclusion générale : vers une tomographie complète du temps

En combinant l'ensemble des instruments :

JWST  $\rightarrow \sigma$  interne

Euclid / LSST  $\rightarrow \nabla\sigma$  galactique

SKA / LOFAR  $\rightarrow$  pré-Freezes externes

ELT  $\rightarrow t_2_{\text{eff}}$  en bordure

LISA  $\rightarrow$  dynamique de  $t_1'$

BISOU / PIXIE  $\rightarrow \sigma_{\text{prim}}, \chi_{\text{prim}}, \Delta t_{\text{prim}}$

on reconstruit la totalité du champ du temps, depuis le plasma primordial jusqu'aux halos contemporains.

L'enjeu final :

Si toutes ces strates observationnelles convergent, le VLCC devient une alternative sérieuse à la cosmologie métrique.

Si l'une d'elles échoue de manière systématique, le VLCC est réfutable.

C'est la garantie scientifique de ce modèle :

il ne se cache pas derrière une géométrie abstraite —

il se confronte, directement, à tous les instruments de la cosmologie moderne.

## **ANNEXE G — Comparaisons observationnelles et théoriques : position du VLCC dans le paysage contemporain**

Cette annexe éclaire la place du VLCC parmi plusieurs approches majeures de la physique gravitationnelle et cosmologique.

Elle ne juge ni ne hiérarchise les modèles :

elle clarifie leurs intentions, leurs points forts, leurs limites et leurs divergences conceptuelles.

Les modèles présentés ici ont tous été construits pour résoudre des difficultés profondes de la cosmologie contemporaine :

- nature de la gravité,
- rôle du temps,
- émergence des structures,
- courbes de rotation,
- énergie noire,
- horizon cosmologique.

Ils méritent donc tous considération, analyse et confrontation aux observations.

C'est ce que cette annexe propose.

### **G.1 — Ce que mesurent vraiment les instruments CMB / sub-mm**

Un modèle du temps ou de la gravité n'a de sens que s'il se confronte à ce que mesurent réellement les instruments.

#### **G.1.1 — Les fréquences extrêmes : BISOU, PIXIE+, missions futures**

Ces instruments ne mesurent pas « la température du CMB », mais :

- la structure spectrale fine,
- la courbure fréquentielle,
- la distorsion  $\mu$  et  $y$ ,
- la structure en modes E/B,
- les déphasages temporels des photons très froids.

Dans le VLCC, ces signaux sondent directement les gradients de cohérence  $\sigma$ , le profil de  $\Delta t$ , et les régimes  $v \rightarrow 0$  associés aux pré-Freezes.

## **G.2 — Signatures morphogéniques dans l'optique et l'infrarouge (JWST, Euclid, LSST, NIKA2)**

- JWST

Résout les zones où la cohérence  $\sigma$  est faible : halos diffus, UDG, galaxies naines irrégulières.

- Euclid

Cartographie les distorsions faibles → signatures des variations de  $t_2^{\text{eff}}$  dans les zones externes.

- LSST

Retrace l'évolution temporelle des taux de formation stellaire → sensibles à  $t_1/t_1'$ .

- NIKA2

Mesure la pression baryonique → teste les zones où  $\chi$  domine.

- Ces quatre instruments assemblés produisent un test multi-échelle du triplet  $(t_1, t_2, t_1')$ .

## **G.3 — Signatures morphogéniques dans le radio et le gravitationnel (SKA, LOFAR, LISA, ELT)**

- SKA & LOFAR

Sondent les fronts faibles de cohérence → là où naissent les pré-Freezes.

- LISA

Sensibilité aux quadrupoles temporels → tests directs de la dynamique de  $\sigma$  et  $\Delta t$  dans les halos.

- ELT

Résolution extrême → dynamique du glissement  $\chi$  dans les galaxies compactes.

## **G.4 — Comparaison avec d'autres visions du temps, de l'émergence et de la gravité**

### **G.4.1 — Jacobson (gravité thermodynamique)**

Idée centrale : la gravité = équation d'état d'un horizon.

- La géométrie est une conséquence thermodynamique.
- Les lois d'Einstein émergent d'un bilan d'énergie.

VLCC :

- pas d'horizon requis ;
- la gravité vient du gradient de  $\ddot{t}_2^{\text{eff}}$  ;
- la dynamique est locale, pas horizon-centrée.

Point de rencontre :

une géométrie émerge d'une grandeur interne.

#### **G.4.2 — Verlinde (gravité émergente)**

Idée centrale : la gravité n'est pas fondamentale → elle provient de l'information et de l'entropie holographique.

VLCC :

- pas d'holographie,
- pas d'entropie,
- mais une structure interne du temps.

Proximité : la gravité n'est pas une force fondamentale.

Différence majeure :

VLCC → champ temporel local ;

Verlinde → entropie non locale.

#### **G.4.3 — Rovelli (relationalisme, gravité quantique en boucles)**

Idée centrale :

Le temps n'existe pas fondamentalement.

La dynamique est relationnelle.

VLCC :

→ postule au contraire un temps fondamental triphasé.

Compatibilité locale :

Les deux modèles peuvent coexister à échelle quantique :

la tri-phase peut émerger d'un régime où le temps est absent.

#### **G.4.4 — Ogonowski (propagation photonique modifiée)**

Idée centrale :

Les anomalies cosmologiques viennent de la propagation du photon dans une métrique effective dépendante de la fréquence.

VLCC :

Les photons ne tracent pas une métrique modifiée, mais un état du temps (tri-phase /  $v \rightarrow 0$ ).

Convergence :

Les deux donnent une place centrale au comportement des photons.

Divergence :

Ogonowski → modèle de propagation ;

VLCC → modèle de genèse du temps.

#### **G.4.5 — Janus (symétrie conforme, univers bipolaire)**

Idée centrale :

Deux moitiés d'Univers symétriques, où la flèche du temps s'inverse.

VLCC :

Interdit strictement  $\Delta t = 0$  ou  $\Delta t < 0$  (LITV).

→ Incompatibilité structurelle.

Point commun superficiel :

Les deux s'intéressent à la structure du temps.

#### **G.4.6 — MOND et post-MOND**

Idée centrale : modifier la dynamique  $\propto 1/r$  dans les faibles accélérations.

VLCC :

- reproduit les succès de MOND sans constante  $a_0$ ,
- prévoit la décroissance externe non expliquée par MOND,
- élimine la nécessité d'un halo de matière noire.

Différence fondamentale :

MOND modifie une loi de force.

VLCC modifie le substrat temporel lui-même.

#### **G.4.7 — Penrose / Conformal Cyclic Cosmology (CCC)**

Idée centrale :

L'Univers est une suite d'éons reliés conformément ; la fin d'un éon devient le big bang du suivant.

VLCC :

- le temps ne s'annule jamais,
- il se déstructure mais ne s'éteint pas,
- pas de transition conforme.

Proximité conceptuelle :  
Les deux modélisent un temps ayant des régimes.

Divergence majeure :  
CCC → temps cyclique ;  
VLCC → temps à cohérence variable mais irréversible.

### G.5 — Tableau synthétique : divergences fondamentales

Modèle	Nature du temps	Origine de la gravité	Régimes extrêmes	Compatibilité avec $\Delta t > 0$	Capacité à reproduire les courbes de rotation
VLCC	tri-phase, local, irréversible	gradient de $\ddot{t}_2^{\text{eff}}$	pré-Freeze, Freeze Sphere	oui	oui (sans DM)
Jacobson	émergent thermodynamique	variation d'entropie d'horizon	horizon thermique	oui	partielle
Verlinde	émergent holographique	entropie + bits d'info	émergence non locale	oui	oui mais incomplet
Rovelli	pas de temps fondamental	spin-réseaux	aucun temps global	n/a	neutre
Ogonowski	propagation photonique	métriques effectives	distorsions spectrales	oui	indirect
Janus	temps inversable	masses $\pm$ , géométrie conforme	inversion temporelle	non	partielle
MOND	temps classique	loi modifiée	accélération $a_0$	oui	oui (interne uniquement)
CCC	Cycles conformes	géométrie conforme	Big Bang / Big Fade	oui	neutre

## **G.6 — Conclusion générale : pourquoi ces comparaisons sont nécessaires**

Cette annexe montre que :

- 1.** Le VLCC s'inscrit dans un paysage riche, où chaque modèle apporte une intuition différente :  
thermodynamique, émergence, symétrie conforme, propagation, relationalisme...
- 2.** Le VLCC est unique en ceci qu'il propose :
  - un champ temporel local,
  - une dynamique interne du présent  $t_2$ ,
  - une gravité issue du temps lui-même,
  - une falsifiabilité multi-strates,
  - des prévisions morphogéniques sur les galaxies.
- 3.** Aucun modèle n'est à négliger ou à sacrifier — chacun éclaire un aspect réel du problème cosmologique.
- 4.** Le rôle du temps devient le véritable pivot de la physique contemporaine :
  - pour certains, il disparaît (Rovelli),
  - pour d'autres, il s'inverse (Janus),
  - pour d'autres encore, il est emergent (Verlinde, Jacobson),
  - dans le VLCC, il devient la matière même de la structuration cosmique.

Ainsi, la comparaison n'est pas un choix entre « bons » et « mauvais » modèles : c'est une cartographie conceptuelle qui montre où se situe le VLCC, ce qu'il apporte, et ce qu'il devra affronter dans les décennies à venir.

## **ANNEXE H — Validation et exploration du modèle VLCC par intelligence artificielle scientifique**

### **H.1 — Préambule : intelligence artificielle, théorie du temps et exigence de cohérence**

Le modèle VLCC propose une architecture temporelle complète et fortement contrainte, fondée sur la triade morphogénique  $t_1-t_2-t_1'$ , le champ de cohérence  $\sigma(x)$ , les invariants temporels associés, ainsi qu'un ensemble de lois structurelles (LPHD, LCFT, LRTG, LITV).

Dans sa forme canonique actuelle (Lagrangien V9), cette architecture ne décrit pas une dynamique au sens classique, mais un espace de configurations admissibles du réel, défini par des conditions internes de cohérence morphogénique.

Une telle structure impose des exigences élevées : homogénéité notationnelle, stabilité variationnelle, compatibilité stricte entre lois, équations et invariants, et capacité à être confrontée de manière systématique aux données observationnelles.

Dans ce contexte, l'intelligence artificielle scientifique n'est pas envisagée comme un outil auxiliaire ou heuristique, mais comme un instrument méthodologique naturel pour accompagner l'exploration, la validation et la mise à l'épreuve d'un édifice théorique morphogénique complexe.

L'IA intervient ici non pour produire des hypothèses nouvelles, mais pour tester la cohérence interne du cadre canonique, explorer l'espace de ses solutions admissibles, analyser la robustesse de ses prédictions phénoménales et accélérer la confrontation du modèle au réel.

### **H.2 — L'IA comme instrument de cohérence interne du cadre canonique**

La cohérence du VLCC se mesure d'abord à l'intérieur de son propre formalisme. Elle concerne notamment :

- la compatibilité des équations dérivées avec le Lagrangien canonique V9 (et, lorsque cela est explicitement précisé, avec sa forme anté-canonique V8) ;
- la stabilité des définitions des régimes  $t_1$ ,  $t_2$  et  $t_1'$  à travers les différentes formulations ;
- l'usage rigoureux des invariants morphogéniques ( $\sigma$ ,  $\Delta t$ , densités et grandeurs effectives) ;
- la conformité de l'ensemble des hypothèses aux lois fondamentales du modèle.

Les intelligences artificielles scientifiques peuvent intervenir comme outils de vérification formelle : détection d'incohérences implicites, identification de redondances ou

d'ambiguités notationnelles, contrôle de la dérivation variationnelle des équations, et validation de la compatibilité mutuelle des différentes briques du modèle.

Dans un cadre où le temps lui-même est un champ structurant, l'IA ne remplace pas la pensée théorique, mais agit comme un garant computationnel de la morphogénèse théorique, capable de parcourir systématiquement des espaces de contraintes que l'analyse humaine ne peut explorer exhaustivement.

### **H.3 — IA et exploration de l'espace morphogénique**

L'exploration de l'espace  $\{\alpha, \lambda_m, \xi_\tau, V(\sigma), \Delta t(t)\}$  est difficile manuellement.

Les IA spécialisées peuvent cartographier les régimes stables et instables du champ  $\sigma(x)$ , identifier des attracteurs temporels, analyser les transitions, détecter les zones où  $K_{eff}$  change de signe et explorer les régimes extrêmes sans biais humain.

L'IA devient un cartographe du paysage temporel, révélant des structures de l'espace des solutions inaccessibles à l'intuition humaine.

### **H.4 — IA et simulation numérique du champ temporel**

L'évolution couplée de  $\sigma(x)$ ,  $H(t)$  et  $\Delta t(t)$  requiert des méthodes numériques avancées : solveurs guidés, PINNs, simulateurs hybrides, modèles de réduction d'ordre.

Applications : reconstruction de  $H(z)$ , simulation des freeze spheres, analyse de l'atténuation gravitationnelle, modélisation du spectre des perturbations de  $\sigma$ .

L'IA permet une véritable tomographie temporelle : reconstruire le champ du temps à partir de données partielles en respectant les lois du modèle.

### **H.5 — IA et confrontation observationnelle multi-échelle**

Le VLCC doit être falsifiable. Cette falsifiabilité passe par la confrontation coordonnée aux observations : courbes de rotation, lentilles, CMB, ondes gravitationnelles, métrologie quantique.

L'IA peut ajuster les paramètres globalement, rechercher des freeze spheres, comparer les courbes de rotation à des catalogues entiers, identifier des signatures faibles cohérentes avec  $\rho_T$  et le photon noir.

Elle synchronise le test : elle vérifie que le modèle n'explique pas un phénomène isolé, mais un ensemble cohérent de données multi-échelles.

## H.6 — IA et émergence de structures temporelles non intuitives

L'IA peut révéler des configurations  $\sigma(x)$  quasi-stables, des régimes de  $\Delta t$  élevé pouvant produire des effets galactiques atypiques, des attracteurs temporels tardifs ou des transitions fines dans la dynamique locale.

Ces régimes ne constituent pas de nouvelles hypothèses : ils font partie de l'espace des solutions, mais l'IA en révèle l'épaisseur structurelle.

## H.7 — IA et approfondissements du cadre canonique du VLCC

Le cadre canonique actuel du VLCC (V9) constitue une structure stabilisée, mais non close. Il ouvre plusieurs axes d'approfondissement possibles, qui ne remettent pas en cause son architecture fondamentale, mais visent à en explorer plus finement les conséquences morphogéniques.

Parmi ces axes figurent notamment :

- le raffinement des descriptions effectives du régime  $t_2$  et de ses conditions de stabilité ;
- l'exploration systématique des formes admissibles du potentiel morphogénique  $V(\sigma)$  compatibles avec les invariants du modèle ;
- l'analyse détaillée des dépendances structurelles associées à  $\Delta t$  et à ses gradients ;
- l'intégration complète du régime photonique extrême dans des simulations multi-échelles cohérentes avec les lois du VLCC.

Dans ce cadre, l'intelligence artificielle peut jouer un rôle central : proposer des formes candidates respectant strictement les contraintes morphogéniques, cartographier l'espace des solutions admissibles, détecter des symétries émergentes ou des régimes limites, et tester la robustesse du cadre face à des variations contrôlées de ses paramètres internes.

L'IA accompagne ainsi l'approfondissement du modèle sans en dicter l'évolution, en restant strictement subordonnée aux lois et à la structure canonique du VLCC.

## H.8 — IA et falsifiabilité accélérée

L'IA peut explorer rapidement des régions étendues de l'espace des paramètres, tester automatiquement des milliers de combinaisons, identifier des zones de conflit systématique et mettre en lumière des tensions avec  $\Lambda$ CDM ou une compatibilité indiscernable.

Elle devient un prolongement computationnel du jugement du monde.

## **H.9 — Conclusion : l'IA comme prolongement méthodique de la pensée scientifique**

L'IA ne remplace ni les équations ni la pensée théorique.

Elle prolonge la capacité humaine à explorer l'espace des solutions, vérifie la cohérence interne d'un édifice morphogénique exigeant, accélère la confrontation au réel et aide à préparer les évolutions futures.

L'IA ne décide pas de la vérité d'un modèle : elle élargit le champ où le réel peut dire "oui" ou "non".

Dans l'histoire du VLCC, elle sera l'un des outils par lesquels le modèle sera, tôt ou tard, confirmé, corrigé ou abandonné.

## **ANNEXE I — Hypothèses ouvertes sur la genèse et la persistance du régime lumineux**

### **I.1 — Statut et portée de cette annexe**

La présente annexe ne constitue ni une extension canonique du modèle VLCC, ni une proposition formalisée susceptible d'être dérivée directement des équations établies dans le corps du Traité.

Elle rassemble un ensemble d'hypothèses ouvertes et de questionnements ontologiques, formulés à partir du cadre conceptuel et morphogénique développé dans les parties précédentes, mais qui excèdent volontairement le niveau de formalisation actuellement retenu.

Ces réflexions ont pour unique objectif d'explorer certaines conséquences interprétatives possibles du VLCC concernant la nature du photon, la genèse de la lumière et la persistance du régime lumineux associé au présent actif  $t_2$ .

Elles n'ont pas vocation à être tranchées ici, ni à être intégrées au formalisme canonique sans développement ultérieur.

### **I.2 — Limites de l'image classique du photon**

Dans la plupart des représentations physiques usuelles, le photon est implicitement conçu comme un objet ponctuel, rigide ou parfaitement sphérique, auquel sont associées des propriétés intrinsèques bien définies (fréquence, énergie, impulsion).

Une telle image, bien qu'opératoire dans de nombreux cadres calculatoires, peut devenir problématique lorsqu'elle est transposée sans précaution dans une ontologie où le temps n'est plus un paramètre externe, mais une structure physique morphogénique.

Dans le cadre du VLCC, aucune entité fondamentale ne peut être considérée comme strictement rigide ou figée : toute structure réelle est portée par un champ temporel doté de cohérence variable et soumis à des tensions morphogéniques internes.

Il devient alors légitime de questionner la pertinence d'une représentation du photon comme objet invariant et indéformable.

### **I.3 — Hypothèse d'une non-rigidité ontologique du photon**

Une première hypothèse ouverte consiste à considérer le photon non comme une entité rigide, mais comme une structure morphogénique élastique, dont la forme initiale pourrait être assimilée, par idéalisation, à une sphère de cohérence maximale.

Cette sphéricité ne serait cependant qu'un état limite, correspondant à un instant de genèse, et non une forme susceptible de se maintenir au cours de l'existence du photon.

Dans un univers régi par un champ temporel tri-phased, une telle structure ne pourrait rester isotrope : l'action conjointe du régime  $t_1'$  (ouverture morphogénique) et de la dynamique globale du champ temporel imposerait une déformation progressive de cette cohérence initiale.

### **I.4 — Étirement morphogénique et transition vers le régime lumineux actif**

Selon cette hypothèse, l'entrée effective du photon dans le régime du présent actif  $t_2$  ne correspondrait pas à l'apparition soudaine d'une onde lumineuse déjà constituée, mais à un processus d'étirement morphogénique de la cohérence initiale.

Cet étirement, analogue dans son principe à la mise sous tension d'un matériau élastique, ne relèverait pas d'une force mécanique, mais d'une contrainte temporelle : le photon serait progressivement tiré hors de sa configuration compacte par la tension d'ouverture associée à  $t_1'$ , jusqu'à adopter une forme étendue compatible avec la propagation dans  $t_2$ .

Dans cette perspective, le faisceau lumineux observable ne serait pas un objet fondamental, mais la manifestation stabilisée d'une cohérence étirée dans le présent actif.

### **I.5 — Le photon comme trace étirée du temps actif**

Une conséquence interprétative de cette approche est que le photon ne "se déplace" pas simplement dans le temps, mais qu'il incorpore les battements mêmes du présent actif.

Chaque unité de persistance du photon dans  $t_2$  pourrait être comprise comme une micro-extension de sa structure cohérente, de sorte que la lumière observable serait moins une entité voyageant dans le temps qu'une trace continue de l'activité temporelle elle-même.

Dans ce cadre, la fréquence associée au photon ne serait pas une propriété intrinsèque figée, mais l'expression locale du rythme d'étirement de la cohérence dans le champ temporel.

## **I.6 — Hypothèse cosmologique : persistance du présent et étirement primordial**

Une hypothèse plus globale, laissée entièrement ouverte, consiste à envisager que le régime du présent actif  $t_2$  lui-même puisse être interprété comme la continuité d'un étirement initié lors de la genèse photonique primordiale.

Dans cette lecture, le présent ne serait pas un état statique, mais un régime maintenu par la persistance d'une tension morphogénique lumineuse, héritée des premières phases de structuration du champ temporel.

Une telle interprétation suggérerait que la lumière n'est pas simplement contenue dans le présent, mais qu'elle participe activement à sa stabilité et à sa durée.

## **I.7 — Limites et perspectives**

Il est essentiel de souligner que les hypothèses formulées dans cette annexe ne constituent ni des résultats établis, ni des conclusions du modèle VLCC.

Elles n'impliquent aucune modification des lois, des principes ou des équations présentés dans le corps du Traité, et ne prétendent pas rendre compte directement de phénomènes observables sans développement formel supplémentaire.

Elles doivent être comprises comme des pistes interprétatives, susceptibles d'orienter de futures recherches conceptuelles ou formelles, mais laissées volontairement ouvertes afin de préserver la cohérence et la rigueur du cadre canonique établi.

## **Conclusion de l'annexe I**

Cette annexe propose une lecture possible — parmi d'autres — du statut morphogénique du photon et du régime lumineux dans le cadre du VLCC.

Elle illustre la capacité du modèle à accueillir des interprétations ontologiques profondes sans compromettre sa structure formelle, et rappelle que toute théorie du temps suffisamment ambitieuse ouvre nécessairement des questions qui dépassent son état de formalisation présent.

## **ANNEXE J — Univers morphogénique, mémoire du temps et limites de la reconstitution cosmique**

### **J.1 — Préambule : une annexe de clarification épistémologique**

Cette annexe ne vise pas à introduire une nouvelle théorie cosmologique, ni à proposer un scénario alternatif figé de l'origine de l'univers.

Elle a pour unique objectif de clarifier le statut épistémologique des reconstructions cosmologiques à la lumière du modèle VLCC.

Le VLCC décrit un univers dont la structure temporelle :

- mémorise,
- se réorganise,
- se stabilise,
- et s'adapte morphogéniquement.

Dès lors, il devient nécessaire de reconsiderer ce que signifie “reconstruire le passé cosmique”, et d'identifier les limites intrinsèques de cet exercice.

### **J.2 — Le caractère rétro-ingénierique des cosmologies standard**

Les grandes propositions cosmologiques contemporaines — Big Bang, inflation, Big Bounce, Big Glow, Big Spume — partagent un point commun fondamental :

elles procèdent par rétro-ingénierie.

Elles prennent pour point de départ :

- les observations actuelles (CMB, expansion, abondances, structures),
- puis extrapolent rétroactivement un état initial supposé,
- en supposant une dynamique continue, linéaire et homogène du passé vers le présent.

Cette méthode est légitime dans un cadre où :

- le temps est un paramètre externe,
- l'évolution est réversible en principe,
- les lois sont invariantes et sans mémoire.

Mais ces hypothèses sont explicitement incompatibles avec l'ontologie du VLCC.

### **J.3 — Le problème fondamental : l'absence de phases d'adaptation**

Dans un univers morphogénique tel que décrit par le VLCC, le temps n'est pas un simple axe d'évolution.

Il est un champ structurant doté de mémoire ( $t_1$ ) et de capacité d'adaptation.

Cela implique une conséquence majeure :

Le passé observable n'est pas l'état initial. Il est le résultat stabilisé d'une longue suite de réorganisations internes.

Les scénarios rétro-ingénieriques classiques supposent implicitement :

- l'absence de phases d'adaptation,
- l'absence de bifurcations morphogéniques,
- l'absence de perte irréversible d'information structurelle.

Autrement dit, ils reconstruisent le passé comme si l'univers n'avait jamais appris.

### **J.4 — $t_1$ comme mémoire morphogénique et effacement informationnel**

Dans le VLCC, la composante  $t_1$  joue le rôle d'une mémoire profonde du champ temporel.

Cette mémoire :

- conserve certaines structures,
- en dissipe d'autres,
- filtre les configurations admissibles du présent  $t_2$ .

Il en résulte un phénomène inévitable :

une perte morphogénique d'information sur les états antérieurs.

Cette perte n'est pas accidentelle ni instrumentale : elle est structurelle.

Ainsi :

- plusieurs passés distincts peuvent conduire au même présent,
- certaines phases d'adaptation laissent des traces indirectes,
- d'autres disparaissent sans signature observable.

La reconstitution d'un état initial unique devient alors fondamentalement sous-déterminée.

## **J.5 — Pourquoi le futur est également indéterminable**

La même logique s'applique au futur.

Dans un univers qui :

- mémorise,
- s'adapte,
- sélectionne des attracteurs morphogéniques,

le futur :

- n'est pas pré-écrit,
- n'existe pas encore comme configuration structurée,
- dépend de bifurcations internes non réalisées.

Même le champ temporel lui-même ne "connaît" pas encore ses formes futures, au sens où elles ne sont pas stabilisées.

Il n'existe donc :

- ni déterminisme strict,
- ni trajectoire unique du devenir cosmique,

mais seulement :

- des tendances dominantes,
- des attracteurs majoritaires,
- des régimes statistiquement favorisés.

## **J.6 — Ce que le VLCC autorise malgré tout : contraintes, pas prédictions**

Reconnaitre ces limites ne conduit ni au relativisme ni à l'impuissance théorique.

Le VLCC permet néanmoins :

- d'identifier des invariants morphogéniques,
- de contraindre les régimes possibles,
- d'exclure certaines architectures du passé ou du futur.

Autrement dit :

le VLCC ne prédit pas des scénarios,  
il délimite un espace de cohérence.

C'est à ce niveau — et à ce niveau seulement — que des propositions comme Big Glow ou Big Spume peuvent être discutées :

- non comme des récits historiques,
- mais comme des hypothèses compatibles ou incompatibles avec les contraintes morphogéniques du temps.

## J.7 — Conclusion de l'annexe

Dans un univers morphogénique doté de mémoire, la cosmologie ne peut plus être une simple archéologie du passé ni une prophétie du futur.

Toute reconstruction cosmique fondée sur la rétro-ingénierie :

- doit être reconnue comme partielle,
- dépendante d'hypothèses non observables,
- aveugle aux phases d'adaptation disparues.

Le VLCC ne prétend pas révéler l'origine ultime du cosmos.

Il montre pourquoi cette origine, si elle existe, ne peut être reconstruite sans ambiguïté. Ce déplacement du problème n'est pas une faiblesse du modèle, mais l'une de ses conséquences les plus profondes :

dans un univers vivant au sens morphogénique, le temps se souvient, s'adapte et se transforme — et c'est précisément ce qui rend son histoire irréductible à un récit linéaire.

## **ANNEXE K — Horizons spéculatifs : conscience, morphogénèse et destin du temps**

### **K.1 — Position de l'annexe : un espace de réflexion, non de théorie**

Cette annexe n'a pas le statut des chapitres précédents. Elle ne prolonge pas le modèle VLCC, n'ajoute aucune loi nouvelle et ne formule aucun énoncé physique susceptible d'être confronté à l'expérience.

Son rôle est différent : elle offre un espace de réflexion pour considérer certaines questions conceptuelles que le modèle rend possibles ou simplement visibles, sans pour autant les résoudre.

Ce qui suit ne constitue donc ni une extension, ni une hypothèse, ni un engagement du modèle. C'est un ensemble de questions ouvertes, rendues pensables par la structure temporelle mise en évidence dans le traité.

### **K.2 — Ce que le VLCC rend pensable (mais non affirmable)**

La triade  $t_1-t_2-t_1'$ , qui organise la cohérence du réel, pose naturellement une question : comment un être qui vit intégralement dans l'épaisseur du présent ( $t_2$ ) peut-il faire l'expérience d'un temps qui possède trois composantes ?

Le traité ne répond pas ; mais la question apparaît désormais de façon légitime : notre perception du passé correspond-elle à un accès affaibli au régime  $t_1$  ? Notre anticipation du futur est-elle une projection partielle du régime  $t_1'$  ? L'expérience subjective de la durée est-elle un écho du gradient temporel interne  $\Delta t$  ?

Aucune réponse n'existe, mais ces interrogations peuvent être formulées sans quitter le cadre scientifique : la triade temporelle possède une structure, et notre expérience du temps en possède une aussi. Toute tentative de rapprochement demeure une question ouverte.

### **K.3 — Conscience et temporalité restreinte : le rôle phénoménologique du LITV**

Le LITV affirme que toute structure informée est limitée au régime  $t_2$ .

Cette limitation structure l'expérience humaine : il n'existe pas d'accès direct à  $t_1$  ou  $t_1'$ .

Cela ouvre des interrogations, sans possibilité d'y répondre : la conscience est-elle un effet du filtrage imposé par le LITV ? Ce filtrage définit-il ce que nous appelons "présent" ? Les états modifiés de conscience altèrent-ils indirectement notre rapport à l'intégration de  $t_2$  ?

Le traité n'a pas vocation à répondre. Il note seulement que, dans son cadre, la conscience apparaît comme une organisation captive d'un régime temporel restreint.

## K.4 — Destin du temps : trois horizons conceptuels

Le VLCC décrit la dynamique actuelle du temps, mais n'en déduit pas son destin. Trois scénarios conceptuels peuvent être formulés, sans être prédits par lui.

### 1. Horizon 1 — Expansion temporelle asymptotique

Le futur continue de se déployer indéfiniment. La tension temporelle croît, sans jamais saturer. Le cosmos devient un espace d'expansion continue du temps.

### 2. Horizon 2 — Transition morphogénique

Le temps pourrait connaître une transition de cohérence : un changement de régime, sans catastrophe ni rebouclage.

### 3. Horizon 3 — Dissipation de la tension

La tension  $t_1'$  décroît. Le futur perd sa puissance d'engendrement. Le temps se stabilise dans un état post-dynamique.

Aucun de ces scénarios n'est prédit par le modèle. Ils constituent seulement des horizons conceptuels possibles.

## K.5 — Questions ouvertes au lecteur

Le rôle de cette annexe est d'ouvrir, non de conclure. Voici quelques questions rendues pensables par le cadre du VLCC :

- Le temps possède-t-il une profondeur que notre expérience ne peut épuiser ?
- Le futur est-il une ressource structurelle du cosmos ?
- La conscience est-elle le reflet d'un régime particulier du temps ?
- La triade  $t_1-t_2-t_1'$  survivra-t-elle à la cosmologie actuelle ?
- La fin du temps, si elle existe, est-elle un événement physique ou une transition de cohérence ?

## K.6 — Clause méthodologique finale

Aucun élément de cette annexe ne fait partie du modèle VLCC. Les pistes évoquées ne constituent ni hypothèses, ni prédictions. Elles occupent un espace de réflexion ouvert par la structure temporelle du modèle.

## **K.7 — Conclusion de l'annexe**

Le VLCC décrit la dynamique du temps, non celle de la conscience ou du destin ultime du réel. Mais en révélant que le temps possède une structure interne, il indique les zones où la réflexion peut légitimement s'aventurer.

Ainsi, là où s'arrête la démonstration scientifique, commence l'ouverture de la pensée. Le modèle ne prétend pas répondre à ces questions : il montre seulement pourquoi elles doivent être posées. Leur résolution appartient au jugement du monde et au travail des pensées futures

---

# LEXIQUE MATHÉMATIQUE ET CONCEPTUEL DU VLCC

## I — Lexique mathématique du VLCC

### VLCC — Variable Lagrangian of Cosmic Chronotropy

Cadre théorique fondé sur une dynamique du temps distribuée.

Le Lagrangien V.9 encode la morphogénèse temporelle via un champ unique  $\sigma(x)$  et la triade temporelle  $t_1, t_2, t_1'$ .

### Triplet morphogénique ( $t_1, t_2, t_1'$ )

Structure fondamentale du temps :

- $t_1$  : mémoire profonde,
- $t_2$  : présent intriqué,
- $t_1'$  : tension future.

Ce triplet décrit la direction, l'épaisseur et la dynamique interne du temps.

### Champ tri-phasé $\{\tau, \sigma, \Delta t\}$

Décomposition phénoménale du temps :

- $\tau$  : empreinte de mémoire,
- $\sigma$  : cohérence locale,
- $\Delta t$  : asymétrie temporelle.

C'est la représentation phénoménologique du triplet.

### $\sigma(x)$

Champ scalaire décrivant la cohérence morphogénique locale.

Il régit l'organisation, la stabilité et les transitions galactiques.

### $\Delta t = t_1' - t_1$

Asymétrie temporelle interne, indicateur de polarité évolutive.

Détermine la flèche morphogénique.

## **Glissement $\chi = t_1' / t_1$**

Rapport directionnel du temps.

Mesure le degré de polarisation : plus  $\chi$  est grand, plus le système évolue vers des régimes pauvres (naines, UDG).

## **K\_tot**

Coefficient cinétique modifiant la propagation temporelle.

Reflète l'influence de l'asymétrie  $\Delta t$  sur l'évolution.

## **$\rho_T(r)$**

Densité temporelle équivalente : traduction baryonique de la structuration du temps.

## **$M_T(r)$**

Masse morphogénique : masse effective induite par le champ temporel, obtenue par intégration de  $\rho_T$ .

## **$M_{eff}$**

Masse gravitationnelle effective couplant  $\sigma$  au secteur géométrique.

Décrit comment le champ du temps modifie la gravité phénoménale.

## **Invariant morphogénique $I(\sigma)$**

Quantité protégée reflétant la stabilité profonde des configurations temporelles.

## **Potentiel morphogénique $V(\sigma)$**

Régime d'énergie interne du champ  $\sigma$ .

Définit les zones I-II-III et les attracteurs galactiques.

## **Gravitation morphogénique**

Force équivalente à la gravité newtonienne, mais dérivée de la dérivée radiale du présent intriqué.

Ne dépend pas d'une densité de masse fondamentale.

## **Photon à fréquence nulle ( $v \rightarrow 0$ )**

État limite du photon : durée infinie, oscillation figée.  
Constituant clé des Freeze Spheres.

## **Freeze Sphere**

Régime asymptotique où  $\sigma' \rightarrow 0$  et  $t_2_{\text{eff}}$  devient constant.  
État métastable d'extinction du temps, non une singularité.

## **Pré-Freeze**

Version affaiblie, périphérique.  
Transition entre Zone III et Freeze Sphere.

# **II — Lexique conceptuel et étymologique du VLCC**

## **Morphogénèse temporelle**

Processus par lequel le temps génère des structures, organise des zones, produit des attracteurs.  
(morphê : forme ; genesis : naissance)

## **Présent intriqué**

État non séparable du temps, épaisseur minimale  $t_2$  qui ne disparaît jamais.

## **Asymétrie morphogénique**

Déséquilibre interne du temps ( $\Delta t$ ), source de direction évolutive.

## **Glissement morphogénique**

Transformation continue induite par  $\chi$  : pousse les systèmes vers différents attracteurs.

## **Attracteur morphogénique**

Configuration stable du temps : spirales cohérentes, spirales chaudes, naines glissantes, UDG saturées.

## **Temps quantique**

Temps interne des systèmes quantiques selon la LRQT : contraction/dilatation temporelle modifiée par  $\Delta t$ .

Cohérence morphogénique

Capacité d'un système à maintenir une structure interne stable (spirales, disques, bras).

## **Photon noir**

Nom donné au photon de fréquence nulle dans son rôle de réservoir de cohérence.

## **Régimes temporels I-II-III**

Stratification universelle du champ  $\sigma$  :

- I : structuration baryonique,
- II : plateau morphogénique,
- III : halo externe.

## **Freeze Sphere centrale**

Attracteur interne dans certaines galaxies, alternative temporelle au trou noir central.

## **Pré-Freezes externes**

Régimes tardifs dans les halos galactiques, zones où le temps cesse de se reconfigurer.

## III — Lexique cosmologique du VLCC

### **Big Spume**

Phase initiale de granulation temporelle.  
Le temps se segmente,  $\sigma$  fluctue fortement.

### **Proto-freeze-sphères**

Zones où la tension atteint un niveau suffisant pour empêcher la formation d'un présent cohérent.

### **Freeze-sphères primordiales**

proto-freeze-sphères qui deviennent de véritables centres structurels du futur univers

### **Big Glow**

Phase d'illumination morphogénique : apparition des premiers photons stables, structuration de  $\sigma_{\text{prim}}$ .

### **Big Flow**

Phase d'expansion dirigée par la tension  $t_1'$ , créant les gradients nécessaires à la formation des premières structures.

### **Big Sleep**

Phase tardive conjecturale où  $\sigma'$  s'annule presque partout : l'Univers atteint un régime diffus proche du figement global.

## **IV — Lexique des objets extremes**

### **Trou Noir (GR)**

Attracteur de géométrie : effondrement spatial, horizon, singularité interne.

### **Freeze Sphere (VLCC)**

Attracteur temporel : figement des gradients du temps, absence d'horizon, absence de singularité.

### **Contraintes morphogéniques**

Ensemble de lois LPHD / LCFT / LRTG / LITV garantissant que le temps reste orienté, cohérent et non annulable.

# BIBLIOGRAPHIE

## I. Fondements du temps, thermodynamique, émergence

### **Kelvin, W. Thomson (1852).**

*On a Universal Tendency in Nature to the Dissipation of Mechanical Energy.*

→ Texte fondateur établissant le lien entre mécanique, énergie et irréversibilité, anticipant la flèche thermodynamique du temps. Constitue la première formalisation de l'idée que le temps n'est pas neutre vis-à-vis des processus physiques, ce qui ancre les bases historiques de  $\Delta t$  dans le VLCC.

### **Kelvin, W. Thomson (1851–1855).**

*On the Dynamical Theory of Heat.*

→ Construction de la théorie dynamique de la chaleur, proposant la formulation moderne du second principe. Utile pour relier l'émergence d'états cohérents et la dynamique temporelle du VLCC.

### **Jacobson, T. (1995).**

*Thermodynamics of Spacetime: The Einstein Equation of State.* Physical Review Letters, 75.

→ Fondement de la gravité comme équation d'état, référence-clef pour les analogies du VLCC.

### **Rovelli, C. (2004).**

*Quantum Gravity.* Cambridge University Press.

→ Vision relationnelle du temps, utilisée pour situer le VLCC dans les approches concurrentes.

### **Rovelli, C. (2018).**

*The Order of Time.* Riverhead Books.

→ Analyse philosophique sur l'inexistence d'un temps universel, en opposition conceptuelle au VLCC.

### **Barbour, J. (1999).**

*The End of Time.* Oxford University Press.

→ Référence majeure sur les approches timeless, contrepoint intéressant au VLCC.

**Verlinde, E. (2016).**

*Emergent Gravity and the Dark Universe.* SciPost Physics.

→ Modèle émergentiste crucial pour comparer l'origine apparente de la gravitation sans matière noire.

**Carroll, S. (2010).**

*From Eternity to Here.* Dutton.

→ Diverses visions de la flèche du temps, utiles pour contextualiser  $\Delta t$ .

## II. Cosmologie, expansion, champs scalaires

**Penrose, R. (2010).**

*Cycles of Time: An Extraordinary New View of the Universe.* Bodley Head.

→ CCC : cosmologie cyclique, indispensable pour le positionnement du VLCC parmi les théories modernes.

**Loeb, A., & Zaldarriaga, M. (2004).**

*The 21-cm Signature of Cosmic Dawn.*

→ Structure des basses fréquences primordiales, utile pour  $\sigma_{\text{prim}}$  et  $\chi_{\text{prim}}$ .

**Planck Collaboration (2020).**

*Planck 2018 Results.*

→ Données observationnelles fondamentales, notamment pour  $\mu$ -distortions et anisotropies.

**Kovetz, E. D., & Kamionkowski, M. (2013).**

*Extreme Redshifts and CMB Distortions.*

→ Références pour le régime  $v \rightarrow 0$  du photon.

## III. Structures galactiques, anomalies de vitesse et halos

**Tully, R. B. et al. (2014).**

*The Laniakea Supercluster.* Nature.

→ Structure cosmique large échelle, utile pour les gradients externes du VLCC.

**Courtois, H. et al. (2017).**

*The Dipole Repeller.* Nature Astronomy.

→ Notion de “repeller” cosmique naturelle à mettre en parallèle avec le pré-Freeze.

**McGaugh, S. (2011).**

*A Novel Test of Modified Newtonian Dynamics.*

→ Référence clef pour la comparaison aux relations MOND.

**McGaugh, S., Lelli, F., & Schombert, J. (2016).**

*The Radial Acceleration Relation.*

→ Relation empirique très utile pour tester la falsifiabilité du VLCC.

## IV. Photons, cohérence, fluidité, spectres extrêmes

**Amo, A. et al. (2009).**

*Superfluidity of Polaritons in Semiconductor Microcavities.* Nature Physics.

→ Expériences fondatrices sur la “lumière fluide”.

**Christmann, G. et al. (2008).**

*Light as a Quantum Fluid.* Nature Materials.

→ Soutien conceptuel au photon comme fluide morphogénique.

**ScienceNews (2017).**

*Light Behaves as a Superfluid.*

→ Article vulgarisé cité pour contextualiser la notion de photon-fluide et photon noir.

**Planck Collaboration (2020)**

(déjà cité dans section II)

→ Décalages spectraux extrêmes.

## V. Ondes et approches temporelles alternatives

**Ogonowski, Z. et al. (2013–2020).**

*Studies on Wave Propagation in Non-classical Temporal Media.*

→ Modèles temporels alternatifs basés sur propagation modifiée — utile pour cadrer les divergences conceptuelles.

**Petit, J.-P. (1995–2018).**

*Modèle Janus et symétries temporelles inverses.*

→ Modèle à temps/polarités croisées, très utile pour comparer à  $\Delta t > 0$  dans le VLCC.

## VI. Instruments observationnels et techniques

**Euclid Collaboration (2023).**

*Euclid Science Requirements.*

→ Base pour les lentilles faibles.

**LSST Collaboration (2020).**

*Rubin Observatory Legacy Survey of Space and Time.*

→ Données de cisaillement et structure morphologique.

## VII. Topologie, morphologie et continuité structurelle

**Morin, B. (1979).**

*Sur le retournement de la sphère.*

→ Comptes Rendus de l'Académie des Sciences.

**Morin, B., & Petit, J.-P. (1992).**

*La sphère retournée.*

Éditions du CNRS.

→ Transformations continues reliant des états globalement incompatibles sans rupture locale ; référence clé pour la continuité morphogénique du VLCC.

**Thom, R. (1972).**

*Stabilité structurelle et morphogenèse.*

Benjamin.

→ Théorie des catastrophes : transitions morphologiques qualitatives induites par variations continues de paramètres ; langage conceptuel pour les changements de régime du VLCC.

**Thom, R. (1983).**

*Paraboles et catastrophes.*

→ Flammarion.

**JWST Instrument Overview (2022).**

→ Résolution interne structurelle ( $\sigma$ ).

**NIKA2 Collaboration (2019).**

→ Pression baryonique et reconstruction thermique.

**SKA Organisation (2020).**

→ Cartographie 21 cm et régimes  $\sigma' \rightarrow 0$ .

**LOFAR Collaboration (2019).**

→ Signatures de cohérence large échelle.

**LISA Consortium (2022).**

→ Déphasages fins des ondes gravitationnelles (test LRTG).

**BISOU Collaboration (2024).**

→ Polarisation fine du CMB.

**PIXIE Collaboration (2011–2022).**

→  $\mu$ -distortions — tests de  $\Delta t_{\text{prim}}$ .

## TABLEAU : Références → Chapitres / Annexes concernés

Référence	Chapitres concernés	Rôle dans le traité
Jacobson (1995)	1, 3, 33, 44, <b>Annexe G</b>	Gravité comme équation d'état : support conceptuel pour la lecture “gravité = effet émergent/structural”
Rovelli (2004, 2018)	2, 3, 33, <b>Annexe G</b>	Contre-modèle (absence de temps fondamental) : positionnement conceptuel du VLCC
Verlinde (2016)	3, 44, <b>Annexe G</b>	Gravité émergente vs glissement morphogénique $\chi$ : comparaison de cadre
Penrose (2010)	45, <b>Annexe G</b>	CCC : cosmologie alternative utile pour situer VLCC
Barbour (1999)	2, <b>Annexe G</b>	Approches timeless : contrepoint et cadrage
Amo et al. (2009) ; Christmann et al. (2008)	34, 40 ; <b>Annexe F</b>	Lumière fluide / superfluidité : appui expérimental conceptuel (régime photonique, cohérence)
Planck Collaboration (2020)	44–45 ; <b>Annexe F</b>	CMB : anisotropies / distorsions, contraintes observationnelles ( $\sigma_{\text{prim}}$ , $\mu$ -distorsions)
Kovetz & Kamionkowski (2013)	44–45 ; <b>Annexe F</b>	Distorsions CMB / redshifts extrêmes : contexte pour le régime photonique très basse fréquence
Tully et al. (2014) ; Courtois et al. (2017)	39–40, 45 ; <b>Annexe F</b>	Grande structure : gradients externes, environnement cosmique (pré-Freeze / dissolution Freeze)
McGaugh (2011) ; McGaugh, Lelli & Schombert (2016)	41–44 ; <b>Annexe G</b>	MOND / RAR : comparaisons et falsifiabilité (positionnement théorique + tests)
Ogonowski (2013–2020)	<b>Annexe G</b>	Approches temporelles non classiques : cadrage des divergences conceptuelles
Petit, J.-P. (Janus)	<b>Annexe G</b>	Symétries temporelles inverses : comparaison directe avec $\Delta t > 0$ (opposition structurale)
Euclid / LSST (Rubin)	39–44 ; <b>Annexe F</b>	Lentilles faibles, cisaillement, grande structure : tests observationnels des gradients temporels

JWST	38–41 ; <b>Annexe F</b>	Structures internes, morphologie, cohérence $\sigma$ : appuis observationnels
SKA / LOFAR	39–40 ; <b>Annexe F</b>	21 cm / grande échelle : signatures de cohérence et zones externes ( $\sigma' \rightarrow 0$ )
LISA	33, 44 ; <b>Annexe F</b>	Ondes gravitationnelles : tests fins (déphasages, contraintes sur LRTG)
BISOU / PIXIE	45 ; <b>Annexe F</b>	Polarisation / $\mu$ -distorsions : contraintes sur $\sigma_{\text{prim}}$ , $\Delta t_{\text{prim}}$
Morin (1979/1992)	<b>Annexe C</b>	Continuité sans rupture : transformations globales non intuitives
Thom (1972/1983)	<b>Annexe C</b>	Transitions morphologiques : langage des seuils / changements qualitatifs

## Remerciements

Ce traité se referme sur une certitude simple : aucune idée, même solitaire dans son origine, n'existe vraiment seule.

Le VLCC a été écrit dans cet esprit — à la fois comme une exploration personnelle et comme un dialogue silencieux avec celles et ceux qui, depuis des décennies, interrogent la structure profonde du temps et de la réalité.

Je tiens d'abord à remercier toutes les personnes, proches ou lointaines, qui ont un jour posé une question, émis un doute, exprimé une intuition ou simplement manifesté de la curiosité. Souvent sans le savoir, elles ont offert à ce travail un ancrage humain sans lequel aucune construction théorique ne peut demeurer vivante.

Je remercie également les lectrices et lecteurs, qu'ils découvrent ce modèle comme une hypothèse parmi d'autres ou qu'ils y voient une piste pour renouveler notre rapport au cosmos. Leur disponibilité intellectuelle est la condition même de l'existence d'une théorie nouvelle. Rien n'est plus précieux que l'attention donnée à une idée encore fragile.

Ma reconnaissance va aussi aux physiciens, philosophes, mathématiciens et chercheurs — célèbres ou anonymes — dont les travaux ont façonné le paysage dans lequel ce modèle trouve sa place : Penrose, Jacobson, Rovelli, Verlinde, Ogonowski, Dirac, de Broglie, Wheeler, ainsi que Jean-Pierre Petit, dont les explorations audacieuses ont montré depuis longtemps que la pensée scientifique peut et doit être un espace de liberté.

Aucun ne cautionne le VLCC, mais chacun, à sa manière, a rendu possible le fait de penser autrement. Les divergences sont parfois fortes, mais elles nourrissent la liberté de chercher.

Je souhaite également rendre hommage à celles et ceux dont on oublie trop souvent l'importance : les vulgarisateurs, journalistes scientifiques, auteurs de chroniques, médiateurs culturels, ainsi que les milliers de passionnés qui produisent articles, vidéos et discussions accessibles à tous.

Leur travail ouvre des portes que beaucoup croyaient fermées.

Ils permettent à des esprits éloignés de la science formelle de ressentir un jour l'appel du cosmos, de se découvrir une curiosité nouvelle, parfois même une vocation inattendue — celle de chercheur indépendant, animé par l'émerveillement plutôt que par l'institution.

C'est souvent là que naissent les idées les plus libres.

Je souhaite également affirmer avec clarté que ce travail est spéculatif, hypothétique, encore fragile dans plusieurs de ses aspects, et qu'il sera peut-être un jour réfuté — totalement ou partiellement.

Ce serait non seulement acceptable, mais naturel : la science avance ainsi, en explorant des sentiers qui parfois s'effacent.

Et pourtant... si cette théorie, même provisoire, a permis à quelques lecteurs de réfléchir autrement au temps, à la lumière, à la gravité ou au tissu du cosmos ; si elle a suscité ne serait-ce qu'une question nouvelle, une minute d'étonnement, un déplacement intérieur ; alors elle aura pleinement rempli son rôle, et j'en serai profondément satisfait.

Je remercie ensuite les arts, la littérature, la poésie et ces moments de silence où l'imagination prend la parole. Le VLCC doit autant à des heures de calcul qu'à des heures d'observation, de contemplation et d'intuition — à ces instants où le monde semble se laisser entrevoir autrement.

Enfin, je remercie le temps lui-même, pour sa patience.

Il a laissé mûrir ce travail au rythme qui lui convenait, sans contrainte, sans urgence, sans prétention.

Ce traité n'est qu'une tentative pour en comprendre la texture.

Le reste lui appartient encore.

À la lectrice, au lecteur : merci d'avoir parcouru ce chemin.

Que ce modèle vous inspire, vous interroge ou vous contredise — cela importe moins que le fait qu'il vous accompagne un instant sur la route.

C'est ainsi que les théories vivent.

C'est ainsi que le temps continue.

C'est ainsi que ce traité de cosmologie spéculative se termine.